CIE02-Normfarbwerte, Buntwerte und Farbarten (n_a=2,5, n_b=−1,0).
Normierte *Ostwald (O)*-Farbwerte (Y_w=100), geordnet nach Wellenlänge.

	λ_n	Normfarbwerte und -anteile X	Y	Z	x	y	z	nu-Buntwerte A_{nu}	B_{nu}	C_{ABnu}	h_{ABnu}
00	396	31,24	12,19	76,69	0,260	0,101	0,638	48,7	−66,6	82,6	306
01	463	13,25	6,34	78,11	0,135	0,064	0,799	17,8	−72,8	75,0	283
02	466	13,27	8,01	79,21	0,132	0,079	0,788	13,8	−72,6	73,9	280
03	471	13,39	12,66	80,68	0,125	0,118	0,755	2,9	−70,2	70,3	272
04	475B	14,00	19,21	81,44	0,122	0,167	0,710	−11,2	−65,6	66,5	260
05	479	15,61	27,50	81,85	0,124	0,220	0,655	−27,1	−59,2	65,1	245
06	481	18,42	36,66	82,05	0,134	0,267	0,598	−42,2	−51,9	66,8	230
07	483	20,35	41,45	82,11	0,141	0,288	0,570	−48,9	−48,0	68,5	224
08	484	22,64	46,29	82,14	0,149	0,306	0,543	−54,8	−44,0	70,3	218
09	485	25,29	51,06	82,16	0,159	0,322	0,518	−59,6	−40,1	71,9	213
10	486C	29,62	57,81	81,62	0,175	0,341	0,482	−65,1	−34,0	73,5	207
11	490	26,32	58,17	63,51	0,177	0,393	0,429	−74,2	−15,6	75,8	191
12	497	23,01	58,66	42,48	0,185	0,472	0,342	−83,6	5,7	83,8	176
13	501	22,62	59,57	35,18	0,192	0,507	0,299	−86,8	13,7	87,9	170
14	506	22,26	60,29	28,28	0,200	0,543	0,255	−89,4	21,2	91,9	166
15	519	21,83	61,02	17,06	0,218	0,610	0,170	−92,3	33,1	98,0	160
16	522G	24,04	63,42	17,06	0,230	0,606	0,163	−92,5	35,0	99,0	159
17	535	27,22	66,19	9,71	0,263	0,641	0,094	−91,2	44,7	101,6	153
18	544	35,20	72,16	7,33	0,306	0,629	0,063	−85,7	52,0	100,2	148
19	561	65,07	87,80	5,54	0,410	0,554	0,034	−48,6	66,6	82,5	126
20	568	83,05	93,65	4,13	0,459	0,517	0,022	−17,8	72,8	75,0	103
21	569	83,03	91,98	3,02	0,466	0,516	0,016	−13,8	72,6	73,9	100
22	571	82,92	87,33	1,55	0,482	0,508	0,009	−2,9	70,2	70,3	92
23	573Y	82,30	80,76	0,80	0,502	0,492	0,004	11,3	65,6	66,5	80
24	577	80,69	72,49	0,38	0,525	0,472	0,002	27,2	59,2	65,1	65
25	581	77,87	63,33	0,18	0,550	0,447	0,001	42,2	51,8	66,9	50
26	583	75,96	58,54	0,13	0,564	0,434	0,000	48,9	48,0	68,5	44
27	585	73,67	53,70	0,09	0,577	0,421	0,000	54,9	44,0	70,4	38
28	587	71,01	48,93	0,07	0,591	0,407	0,000	59,7	40,1	72,0	33
29	592R	66,69	42,18	0,61	0,609	0,385	0,005	65,1	34,0	73,5	27
30	631	69,99	41,82	18,71	0,536	0,320	0,143	74,3	15,6	75,9	11
31	702	73,30	41,33	39,75	0,474	0,267	0,257	83,7	−5,7	83,9	356
32	706	73,69	40,41	47,04	0,457	0,250	0,291	86,9	−13,8	88,0	350
33	711	74,05	39,70	53,95	0,441	0,236	0,321	89,5	−21,3	92,0	346
34	724	74,48	38,97	65,18	0,416	0,218	0,364	92,3	−33,1	98,1	340
35	727M	72,26	36,57	65,17	0,415	0,210	0,374	92,6	−35,1	99,0	339
36	740	69,08	33,80	72,53	0,393	0,192	0,413	91,3	−44,7	101,7	333
37	749	61,10	27,83	74,91	0,372	0,169	0,457	85,7	−52,0	100,3	328
38	766	31,24	12,19	76,69	0,260	0,101	0,638	48,7	−66,6	82,6	306
39	828	13,25	6,34	78,11	0,135	0,064	0,799	17,8	−72,8	75,0	283
U=D50		**96,31**	**99,99**	**82,24**	**0,345**	**0,358**	**0,358**	**0,0**	**0,0**	**0,0**	**0**

$a=p_{an}=n_a p_a=2{,}5[(1{,}000x+0{,}000+0{,}000z)/y]$ $A_{nu}=(a-a_u)\,Y$ $C_{ABnu}=[A_{nu}^2+B_{nu}^2]^{1/2}$
$b=p_{bn}=n_b p_b=-1{,}0[(0{,}000x+0{,}000+1{,}000z)/y]$ $B_{nu}=(b-b_u)\,Y$ $h_{ABnu}=\mathrm{atan}[B_{nu}/A_{nu}]$

DG690−3N

CIE02-Normfarbwerte, Buntwerte und Farbarten (n_a=2,5, n_b=−1,0).
Normierte *Ostwald (O)*-Farbwerte (Y_w=100), geordnet nach Wellenlänge.

	λ_n	n-Farbart Y	p_{an}	p_{bn}	p_{rn}	h_{abn}	nu-Farbart p_{anu}	p_{bnu}	p_{rnu}	h_{abnu}
00	396	12,19	6,40	−6,29	8,97	315	3,99	−5,46	6,77	306
01	463	6,34	5,22	−12,32	13,38	292	2,81	−11,49	11,83	283
02	466	8,01	4,14	−9,88	10,72	292	1,73	−9,06	9,23	280
03	471	12,66	2,64	−6,37	6,89	292	0,23	−5,55	5,55	272
04	475B	19,21	1,82	−4,23	4,61	293	−0,58	−3,41	3,46	260
05	479	27,50	1,41	−2,97	3,29	295	−0,98	−2,15	2,36	245
06	481	36,66	1,25	−2,23	2,56	299	−1,15	−1,41	1,82	230
07	483	41,45	1,22	−1,98	2,33	301	−1,17	−1,15	1,65	224
08	484	46,29	1,22	−1,77	2,15	304	−1,18	−0,95	1,51	218
09	485	51,06	1,23	−1,60	2,03	307	−1,16	−0,78	1,40	213
10	486C	57,81	1,28	−1,41	1,90	312	−1,12	−0,58	1,27	207
11	490	58,17	1,13	−1,09	1,57	316	−1,27	−0,26	1,30	191
12	497	58,66	0,98	−0,72	1,21	323	−1,42	0,09	1,43	176
13	501	59,57	0,94	−0,59	1,11	328	−1,45	0,23	1,47	170
14	506	60,29	0,92	−0,46	1,03	333	−1,48	0,35	1,52	166
15	519	61,02	0,89	−0,27	0,93	342	−1,51	0,54	1,60	160
16	522G	63,42	0,94	−0,26	0,98	344	−1,45	0,55	1,56	159
17	535	66,19	1,02	−0,14	1,03	351	−1,37	0,67	1,53	153
18	544	72,16	1,21	−0,10	1,22	355	−1,18	0,72	1,38	148
19	561	87,80	1,85	−0,06	1,85	358	−0,55	0,75	0,94	126
20	568	93,65	2,21	−0,04	2,21	358	−0,19	0,77	0,80	103
21	569	91,98	2,25	−0,03	2,25	359	−0,15	0,78	0,80	100
22	571	87,33	2,37	−0,01	2,37	359	−0,03	0,80	0,80	92
23	573Y	80,76	2,54	−0,00	2,54	359	0,14	0,81	0,82	80
24	577	72,49	2,78	−0,00	2,78	359	0,37	0,81	0,89	65
25	581	63,33	3,07	−0,00	3,07	359	0,66	0,81	1,05	50
26	583	58,54	3,24	−0,00	3,24	359	0,83	0,82	1,17	44
27	585	53,70	3,42	−0,00	3,42	359	1,02	0,82	1,31	38
28	587	48,93	3,62	−0,00	3,62	359	1,22	0,82	1,47	33
29	592R	42,18	3,95	−0,01	3,95	359	1,54	0,80	1,74	27
30	631	41,82	4,18	−0,44	4,20	353	1,77	0,37	1,81	11
31	702	41,33	4,43	−0,96	4,53	347	2,02	−0,13	2,03	356
32	706	40,41	4,55	−1,16	4,70	345	2,15	−0,34	2,17	350
33	711	39,70	4,66	−1,35	4,85	343	2,25	−0,53	2,31	346
34	724	38,97	4,77	−1,67	5,06	340	2,37	−0,85	2,51	340
35	727M	36,57	4,94	−1,78	5,25	340	2,53	−0,95	2,70	339
36	740	33,80	5,11	−2,14	5,54	337	2,70	−1,32	3,00	333
37	749	27,83	5,48	−2,69	6,11	333	3,08	−1,86	3,60	328
38	766	12,19	6,40	−6,29	8,97	315	3,99	−5,46	6,77	306
39	828	6,34	5,22	−12,32	13,38	292	2,81	−11,49	11,83	283
U=D50		**99,99**	**2,407**	**−0,822**	**2,543**	**341**	**0,0**	**0,0**	**0,0**	**0**

$a=p_{an}=n_a p_a=2{,}5[(1{,}000x+0{,}000+0{,}000z)/y]$ $A_{nu}=(a-a_u)\,Y$ $C_{ABnu}=[A_{nu}^2+B_{nu}^2]^{1/2}$
$b=p_{bn}=n_b p_b=-1{,}0[(0{,}000x+0{,}000+1{,}000z)/y]$ $B_{nu}=(b-b_u)\,Y$ $h_{ABnu}=\mathrm{atan}[B_{nu}/A_{nu}]$

DG690−4N

CIE02-Normfarbwerte, Buntwerte und Farbarten (n_a=2,5, n_b=−1,0).
Normierte *Ostwald (O)*-Farbwerte (Y_w=100), geordnet nach Buntton winkel.

	λ_n	Normfarbwerte und -anteile X	Y	Z	x	y	z	nu-Buntwerte A_{nu}	B_{nu}	C_{ABnu}	h_{ABnu}
00	631	69,99	41,82	18,71	0,536	0,320	0,143	74,3	15,6	75,9	371
01	702	73,30	41,33	39,75	0,474	0,267	0,257	83,7	−5,7	83,9	356
02	706	73,69	40,41	47,04	0,457	0,250	0,291	86,9	−13,8	88,0	350
03	711	74,05	39,70	53,95	0,441	0,236	0,321	89,5	−21,3	92,0	346
04	724	74,48	38,97	65,18	0,416	0,218	0,364	92,3	−33,1	98,1	340
05	727M	72,26	36,57	65,17	0,415	0,210	0,374	92,6	−35,1	99,0	339
06	740	69,08	33,80	72,53	0,393	0,192	0,413	91,3	−44,7	101,7	333
07	749	61,10	27,83	74,91	0,372	0,169	0,457	85,7	−52,0	100,3	328
08	396	31,24	12,19	76,69	0,260	0,101	0,638	48,7	−66,6	82,6	306
09	463	13,25	6,34	78,11	0,135	0,064	0,799	17,8	−72,8	75,0	283
10	466	13,27	8,01	79,21	0,132	0,079	0,788	13,8	−72,6	73,9	280
11	471	13,39	12,66	80,68	0,125	0,118	0,755	2,9	−70,2	70,3	272
12	475B	14,00	19,21	81,44	0,122	0,167	0,710	−11,2	−65,6	66,5	260
13	479	15,61	27,50	81,85	0,124	0,220	0,655	−27,1	−59,2	65,1	245
14	481	18,42	36,66	82,05	0,134	0,267	0,598	−42,2	−51,9	66,8	230
15	483	20,35	41,45	82,11	0,141	0,288	0,570	−48,9	−48,0	68,5	224
16	484	22,64	46,29	82,14	0,149	0,306	0,543	−54,8	−44,0	70,3	218
17	485	25,29	51,06	82,16	0,159	0,322	0,518	−59,6	−40,1	71,9	213
18	486C	29,62	57,81	81,62	0,175	0,341	0,482	−65,1	−34,0	73,5	207
19	490	26,32	58,17	63,51	0,177	0,393	0,429	−74,2	−15,6	75,8	191
20	497	23,01	58,66	42,48	0,185	0,472	0,342	−83,6	5,7	83,8	176
21	501	22,62	59,57	35,18	0,192	0,507	0,299	−86,8	13,7	87,9	170
22	506	22,26	60,29	28,28	0,200	0,543	0,255	−89,4	21,2	91,9	166
23	519G	21,83	61,02	17,06	0,218	0,610	0,170	−92,3	33,1	98,0	160
24	522	24,04	63,42	17,06	0,230	0,606	0,163	−92,5	35,0	99,0	159
25	535	27,22	66,19	9,71	0,263	0,641	0,094	−91,2	44,7	101,6	153
26	544	35,20	72,16	7,33	0,306	0,629	0,063	−85,7	52,0	100,2	148
27	561	65,07	87,80	5,54	0,410	0,554	0,034	−48,6	66,6	82,5	126
28	568	83,05	93,65	4,13	0,459	0,517	0,022	−17,8	72,8	75,0	103
29	569	83,03	91,98	3,02	0,466	0,516	0,016	−13,8	72,6	73,9	100
30	571	82,92	87,33	1,55	0,482	0,508	0,009	−2,9	70,2	70,3	92
31	573	82,30	80,76	0,80	0,502	0,492	0,004	11,3	65,6	66,5	80
32	577Y	80,69	72,49	0,38	0,525	0,472	0,002	27,2	59,2	65,1	65
33	581	77,87	63,33	0,18	0,550	0,447	0,001	42,2	51,8	66,9	50
34	583	75,96	58,54	0,13	0,564	0,434	0,000	48,9	48,0	68,5	44
35	585	73,67	53,70	0,09	0,577	0,421	0,000	54,9	44,0	70,4	38
36	587R	71,01	48,93	0,07	0,591	0,407	0,000	59,7	40,1	72,0	33
37	592	66,69	42,18	0,61	0,609	0,385	0,005	65,1	34,0	73,5	27
38	631	69,99	41,82	18,71	0,536	0,320	0,143	74,3	15,6	75,9	11
39	702	73,30	41,33	39,75	0,474	0,267	0,257	83,7	−5,7	83,9	−3
U=D50		**96,31**	**99,99**	**82,24**	**0,345**	**0,358**	**0,358**	**0,0**	**0,0**	**0,0**	**0**

$a=p_{an}=n_a p_a=2{,}5[(1{,}000x+0{,}000+0{,}000z)/y]$ $A_{nu}=(a-a_u)\,Y$ $C_{ABnu}=[A_{nu}^2+B_{nu}^2]^{1/2}$
$b=p_{bn}=n_b p_b=-1{,}0[(0{,}000x+0{,}000+1{,}000z)/y]$ $B_{nu}=(b-b_u)\,Y$ $h_{ABnu}=\mathrm{atan}[B_{nu}/A_{nu}]$

DG690−7N

CIE02-Normfarbwerte, Buntwerte und Farbarten (n_a=2,5, n_b=−1,0).
Normierte *Ostwald (O)*-Farbwerte (Y_w=100), geordnet nach Buntton winkel.

	λ_n	n-Farbart Y	p_{an}	p_{bn}	p_{rn}	h_{abn}	nu-Farbart p_{anu}	p_{bnu}	p_{rnu}	h_{abnu}
00	631	41,82	4,18	−0,44	4,20	353	1,77	0,37	1,81	371
01	702	41,33	4,43	−0,96	4,53	347	2,02	−0,13	2,03	356
02	706	40,41	4,55	−1,16	4,70	345	2,15	−0,34	2,17	350
03	711	39,70	4,66	−1,35	4,85	343	2,25	−0,53	2,31	346
04	724	38,97	4,77	−1,67	5,06	340	2,37	−0,85	2,51	340
05	727M	36,57	4,94	−1,78	5,25	340	2,53	−0,95	2,70	339
06	740	33,80	5,11	−2,14	5,54	337	2,70	−1,32	3,00	333
07	749	27,83	5,48	−2,69	6,11	333	3,08	−1,86	3,60	328
08	396	12,19	6,40	−6,29	8,97	315	3,99	−5,46	6,77	306
09	463	6,34	5,22	−12,32	13,38	292	2,81	−11,49	11,83	283
10	466	8,01	4,14	−9,88	10,72	292	1,73	−9,06	9,23	280
11	471	12,66	2,64	−6,37	6,89	292	0,23	−5,55	5,55	272
12	475B	19,21	1,82	−4,23	4,61	293	−0,58	−3,41	3,46	260
13	479	27,50	1,41	−2,97	3,29	295	−0,98	−2,15	2,36	245
14	481	36,66	1,25	−2,23	2,56	299	−1,15	−1,41	1,82	230
15	483	41,45	1,22	−1,98	2,33	301	−1,17	−1,15	1,65	224
16	484	46,29	1,22	−1,77	2,15	304	−1,18	−0,95	1,51	218
17	485	51,06	1,23	−1,60	2,03	307	−1,16	−0,78	1,40	213
18	486C	57,81	1,28	−1,41	1,90	312	−1,12	−0,58	1,27	207
19	490	58,17	1,13	−1,09	1,57	316	−1,27	−0,26	1,30	191
20	497	58,66	0,98	−0,72	1,21	323	−1,42	0,09	1,43	176
21	501	59,57	0,94	−0,59	1,11	328	−1,45	0,23	1,47	170
22	506	60,29	0,92	−0,46	1,03	333	−1,48	0,35	1,52	166
23	519G	61,02	0,89	−0,27	0,93	342	−1,51	0,54	1,60	160
24	522	63,42	0,94	−0,26	0,98	344	−1,45	0,55	1,56	159
25	535	66,19	1,02	−0,14	1,03	351	−1,37	0,67	1,53	153
26	544	72,16	1,21	−0,10	1,22	355	−1,18	0,72	1,38	148
27	561	87,80	1,85	−0,06	1,85	358	−0,55	0,75	0,94	126
28	568	93,65	2,21	−0,04	2,21	358	−0,19	0,77	0,80	103
29	569	91,98	2,25	−0,03	2,25	359	−0,15	0,78	0,80	100
30	571	87,33	2,37	−0,01	2,37	359	−0,03	0,80	0,80	92
31	573	80,76	2,54	−0,00	2,54	359	0,14	0,81	0,82	80
32	577Y	72,49	2,78	−0,00	2,78	359	0,37	0,81	0,89	65
33	581	63,33	3,07	−0,00	3,07	359	0,66	0,81	1,05	50
34	583	58,54	3,24	−0,00	3,24	359	0,83	0,82	1,17	44
35	585	53,70	3,42	−0,00	3,42	359	1,02	0,82	1,31	38
36	587R	48,93	3,62	−0,00	3,62	359	1,22	0,82	1,47	33
37	592	42,18	3,95	−0,01	3,95	0	1,54	0,80	1,74	27
38	631	41,82	4,18	−0,44	4,20	−6	1,77	0,37	1,81	11
39	702	41,33	4,43	−0,96	4,53	−12	2,02	−0,13	2,03	−3
U=D50		**99,99**	**2,407**	**−0,822**	**2,543**	**341**	**0,0**	**0,0**	**0,0**	**0**

$a=p_{an}=n_a p_a=2{,}5[(1{,}000x+0{,}000+0{,}000z)/y]$ $A_{nu}=(a-a_u)\,Y$ $C_{ABnu}=[A_{nu}^2+B_{nu}^2]^{1/2}$
$b=p_{bn}=n_b p_b=-1{,}0[(0{,}000x+0{,}000+1{,}000z)/y]$ $B_{nu}=(b-b_u)\,Y$ $h_{ABnu}=\mathrm{atan}[B_{nu}/A_{nu}]$

DG690−8N

DG690−7R_pchartl=0_xcolorl=0(CIE02)

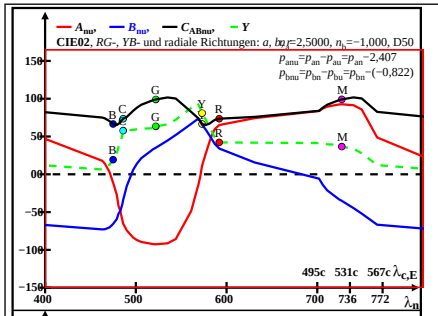

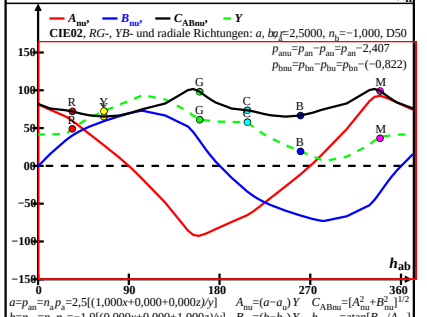

$a=p_{an}=n_a p_a=2{,}5[(1{,}000x+0{,}000+0{,}000z)/y]$ $A_{nu}=(a-a_u)\,Y$ $C_{ABnu}=[A_{nu}^2+B_{nu}^2]^{1/2}$
$b=p_{bn}=n_b p_b=-1{,}0[(0{,}000x+0{,}000+1{,}000z)/y]$ $B_{nu}=(b-b_u)\,Y$ $h_{ABnu}=\mathrm{atan}[B_{nu}/A_{nu}]$

DG691−3N

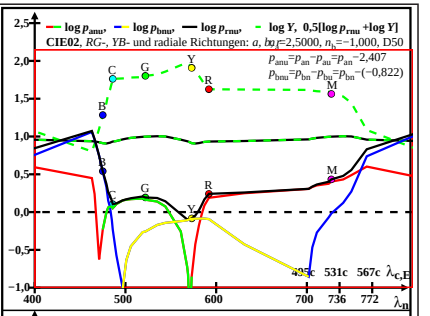

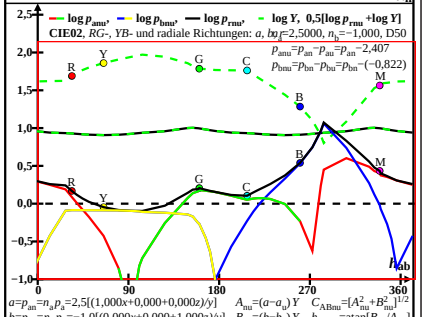

$a=p_{an}=n_a p_a=2{,}5[(1{,}000x+0{,}000+0{,}000z)/y]$ $A_{nu}=(a-a_u)\,Y$ $C_{ABnu}=[A_{nu}^2+B_{nu}^2]^{1/2}$
$b=p_{bn}=n_b p_b=-1{,}0[(0{,}000x+0{,}000+1{,}000z)/y]$ $B_{nu}=(b-b_u)\,Y$ $h_{ABnu}=\mathrm{atan}[B_{nu}/A_{nu}]$

DG691−4N

X_w=96,31, Y_w=99,99, Z_w=82,24
x_w=0,3457 y_w=0,3589 z_w=0,2952
$a'_{0,nu}=(a_0-a_{0,u})\,Y_{18}\,[Y/Y_{18}]^{1/3}$
$b'_{0,nu}=(b_0-b_{0,u})\,Y_{18}\,[Y/Y_{18}]^{1/3}$
$a_0=n_a[(1{,}000x+0{,}000+0{,}000z)/y]$
$b_0=n_b[(0{,}000x+0{,}000+1{,}000z)/y]$
n_a = 2,50, n_b = −1,00
n = D50

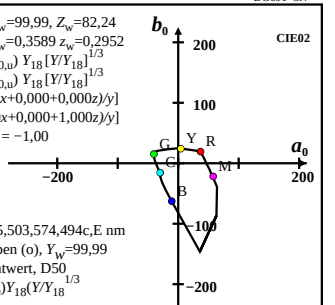

$\lambda_{B,G,Y,R}$=475,503,574,494c,E nm
Ostwald Farben (o), Y_w=99,99
max (m) Buntwert, D50
Farbart (a_0, b_0)$Y_{18}(Y/Y_{18}^{1/3}$

X_w=96,31, Y_w=99,99, Z_w=82,24
x_w=0,3457 y_w=0,3589 z_w=0,2952
$a_{0,nu}=(a_0-a_{0,u})\,Y_{18}$
$b_{0,nu}=(b_0-b_{0,u})\,Y_{18}$
$a_0=n_a[(1{,}000x+0{,}000+0{,}000z)/y]$
$b_0=n_b[(0{,}000x+0{,}000+1{,}000z)/y]$
n_a = 2,50, n_b = −1,00
n = D50

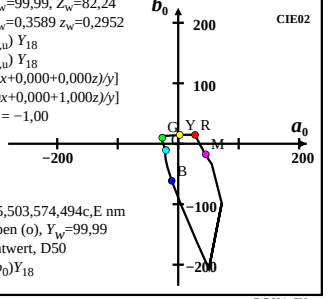

$\lambda_{B,G,Y,R}$=475,503,574,494c,E nm
Ostwald Farben (o), Y_w=99,99
max (m) Buntwert, D50
Farbart (a_0, b_0)Y_{18}

X_w=96,31, Y_w=99,99, Z_w=82,24
x_w=0,3457 y_w=0,3589 z_w=0,2952
$A_0=(a_0-a_{0,u})\,Y/[Y/Y_{18}]^{1/3}$
$B_0=(b_0-b_{0,u})\,Y/[Y/Y_{18}]^{1/3}$
$a_0=n_a[(1{,}000x+0{,}000+0{,}000z)/y]$
$b_0=n_b[(0{,}000x+0{,}000+1{,}000z)/y]$
n_a = 2,50, n_b = −1,00
n = D50

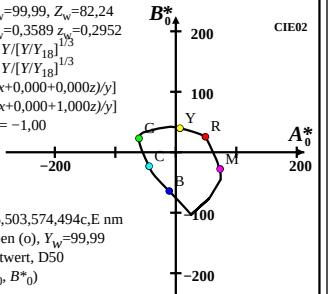

$\lambda_{B,G,Y,R}$=475,503,574,494c,E nm
Ostwald Farben (o), Y_w=99,99
max (m) Buntwert, D50
Buntheit (A^*_0, B^*_0)

X_w=96,31, Y_w=99,99, Z_w=82,24
x_w=0,3457 y_w=0,3589 z_w=0,2952
$A_0=(a_0-a_{0,u})\,Y$
$B_0=(b_0-b_{0,u})\,Y$
$a_0=n_a[(1{,}000x+0{,}000+0{,}000z)/y]$
$b_0=n_b[(0{,}000x+0{,}000+1{,}000z)/y]$
n_a = 2,50, n_b = −1,00
n = D50

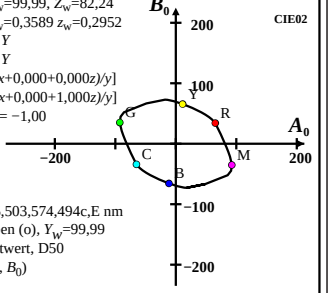

$\lambda_{B,G,Y,R}$=475,503,574,494c,E nm
Ostwald Farben (o), Y_w=99,99
max (m) Buntwert, D50
Buntwert (A_0, B_0)

DG691−8N

DG691−7R_pchartl=0_xcolorl=0(CIE02)

Siehe ähnliche Dateien: http://farbe.li.tu-berlin.de/DG69/DG69.HTM
Technische Information: http://farbe.li.tu-berlin.de oder http://130.149.60.45/~farbmetrik

TUB-Registrierung: 20180801-DG69/DG69L0NP.PDF /.PS
Anwendung für Messung von Offsetdruck-Ausgabe
TUB-Material: Code=rha4ta

CIE10-Normfarbwerte, Buntwerte und Farbarten (n_a=2,5, n_b=−1,0).
Normierte *Ostwald (O)*-Farbwerte (Y_w=100), geordnet nach Wellenlänge.

λ_n	Normfarbwerte und -anteile X	Y	Z	x	y	z	*nu*-Buntwerte A_{nu}	B_{nu}	C_{ABnu}	h_{ABnu}
00 376	55,24	26,06	71,08	0,362	0,171	0,466	75,1	−49,9	90,2	326
01 458	13,22	7,40	75,87	0,136	0,076	0,786	15,1	−69,8	71,5	282
02 460	13,26	8,89	77,33	0,133	0,089	0,777	11,6	−70,1	71,0	279
03 462	13,28	10,68	78,42	0,129	0,104	0,765	7,4	−69,7	70,1	276
04 462B	13,28	10,68	78,42	0,129	0,104	0,765	7,4	−69,7	70,1	276
05 468	13,66	17,92	80,19	0,122	0,160	0,717	−9,1	−65,6	66,2	262
06 471	14,70	24,41	80,73	0,122	0,203	0,673	−22,2	−60,9	64,8	249
07 473	15,60	28,17	80,89	0,125	0,225	0,648	−29,0	−58,0	64,8	243
08 475	18,32	36,37	81,08	0,134	0,267	0,597	−42,0	−51,5	66,5	230
09 477	22,35	45,10	81,16	0,150	0,303	0,546	−53,0	−44,5	69,2	220
10 477C	22,35	45,10	81,16	0,150	0,303	0,546	−53,0	−44,5	69,2	220
11 479	27,82	53,94	81,17	0,170	0,331	0,498	−60,7	−37,3	71,3	211
12 480	30,64	58,21	79,19	0,182	0,346	0,471	−63,9	−31,9	71,5	206
13 484	25,67	56,42	59,80	0,180	0,397	0,421	−72,0	−14,0	73,4	191
14 492	22,50	56,65	38,03	0,192	0,483	0,324	−80,5	7,9	80,9	174
15 503	21,56	57,40	24,28	0,208	0,555	0,235	−84,7	22,2	87,6	165
16 512G	22,19	58,45	18,53	0,223	0,589	0,186	−85,6	28,9	90,4	161
17 521	24,28	60,61	13,79	0,246	0,614	0,139	−85,6	35,3	92,7	157
18 531	29,00	64,47	10,07	0,280	0,622	0,097	−83,2	42,2	93,3	153
19 541	41,39	73,93	10,07	0,330	0,589	0,080	−75,0	49,9	90,1	146
20 563	83,41	92,59	5,28	0,460	0,510	0,029	−15,0	69,8	71,4	102
21 564	83,37	91,09	3,82	0,467	0,510	0,021	−11,5	70,0	71,0	99
22 565	83,35	89,31	2,74	0,475	0,509	0,015	−7,3	69,7	70,1	95
23 565Y	83,35	89,31	2,74	0,475	0,509	0,015	−7,3	69,7	70,1	95
24 568	82,96	82,07	0,96	0,499	0,494	0,005	9,1	65,6	66,2	82
25 571	81,93	75,58	0,44	0,518	0,478	0,002	22,2	60,8	64,8	69
26 573	81,03	71,82	0,27	0,529	0,469	0,001	29,1	58,0	64,9	63
27 577	78,31	63,62	0,08	0,551	0,447	0,000	42,1	51,5	66,5	50
28 581	74,28	54,89	0,01	0,575	0,424	0,000	53,1	44,5	69,3	39
29 581R	74,28	54,89	0,01	0,575	0,424	0,000	53,1	44,5	69,3	39
30 587	68,81	46,05	0,00	0,599	0,400	0,000	60,8	37,3	71,3	31
31 589	67,60	44,04	0,93	0,600	0,391	0,008	62,6	34,8	71,6	29
32 692	70,96	43,57	21,37	0,522	0,320	0,157	72,1	13,9	73,5	10
33 697	74,12	43,34	43,14	0,461	0,269	0,268	80,6	−7,9	81,0	354
34 708	75,07	42,59	56,88	0,430	0,244	0,325	84,8	−22,3	87,7	345
35 717M	74,44	41,54	62,63	0,416	0,232	0,350	85,7	−28,9	90,5	341
36 726	72,35	39,38	67,37	0,403	0,219	0,376	85,7	−35,4	92,7	337
37 736	67,62	35,52	71,08	0,388	0,203	0,408	83,2	−42,2	93,4	333
38 746	55,24	26,06	71,08	0,362	0,171	0,466	75,1	−49,9	90,2	326
39 823	13,22	7,40	75,87	0,136	0,076	0,786	15,1	−69,8	71,5	282
U=D50	**96,63**	**100,00**	**81,17**	**0,347**	**0,359**	**0,359**	**0,0**	**0,0**	**0,0**	**0**

$a=p_{an}=n_a p_a=2{,}5[(1{,}000x+0{,}000+0{,}000z)/y]$ $A_{nu}=(a-a_u)\,Y$ $C_{ABnu}=[A_{nu}^2+B_{nu}^2]^{1/2}$
$b=p_{bn}=n_b p_b=-1{,}0[(0{,}000x+0{,}000+1{,}000z)/y]$ $B_{nu}=(b-b_u)\,Y$ $h_{ABnu}=\mathrm{atan}[B_{nu}/A_{nu}]$

DG690−3N

CIE10-Normfarbwerte, Buntwerte und Farbarten (n_a=2,5, n_b=−1,0).
Normierte *Ostwald (O)*-Farbwerte (Y_w=100), geordnet nach Wellenlänge.

λ_n	*n*-Farbart Y	p_{an}	p_{bn}	p_{rn}	h_{abn}	*nu*-Farbart p_{anu}	p_{bnu}	p_{rnu}	h_{abnu}
00 376	26,06	5,29	−2,72	5,96	332	2,88	−1,91	3,46	326
01 458	7,40	4,46	−10,25	11,18	293	2,05	−9,44	9,66	282
02 460	8,89	3,72	−8,68	9,45	293	1,30	−7,87	7,98	279
03 462	10,68	3,10	−7,34	7,97	292	0,69	−6,53	6,56	276
04 462B	10,68	3,10	−7,34	7,97	292	0,69	−6,53	6,56	276
05 468	17,92	1,90	−4,47	4,86	293	−0,50	−3,66	3,69	262
06 471	24,41	1,50	−3,30	3,63	294	−0,90	−2,49	2,65	249
07 473	28,17	1,38	−2,87	3,18	295	−1,03	−2,06	2,30	243
08 475	36,37	1,25	−2,22	2,56	299	−1,15	−1,41	1,82	230
09 477	45,10	1,23	−1,79	2,18	304	−1,17	−0,98	1,53	220
10 477C	45,10	1,23	−1,79	2,18	304	−1,17	−0,98	1,53	220
11 479	53,94	1,28	−1,50	1,98	310	−1,12	−0,69	1,32	211
12 480	58,21	1,31	−1,36	1,89	314	−1,09	−0,54	1,22	206
13 484	56,42	1,13	−1,05	1,55	317	−1,27	−0,24	1,30	191
14 492	56,65	0,99	−0,67	1,19	325	−1,42	0,14	1,42	174
15 503	57,40	0,93	−0,42	1,02	335	−1,47	0,38	1,52	165
16 512G	58,45	0,94	−0,31	1,00	341	−1,46	0,49	1,54	161
17 521	60,61	1,00	−0,22	1,02	347	−1,41	0,58	1,52	157
18 531	64,47	1,12	−0,15	1,13	352	−1,29	0,65	1,44	153
19 541	73,93	1,39	−0,13	1,40	354	−1,01	0,67	1,21	146
20 563	92,59	2,25	−0,05	2,25	358	−0,16	0,75	0,77	102
21 564	91,09	2,28	−0,04	2,28	358	−0,12	0,76	0,78	99
22 565	89,31	2,33	−0,03	2,33	359	−0,08	0,78	0,78	95
23 565Y	89,31	2,33	−0,03	2,33	359	−0,08	0,78	0,78	95
24 568	82,07	2,52	−0,01	2,52	359	0,11	0,79	0,80	82
25 571	75,58	2,71	−0,00	2,71	359	0,29	0,80	0,85	69
26 573	71,82	2,82	−0,00	2,82	359	0,40	0,80	0,90	63
27 577	63,62	3,07	−0,00	3,07	359	0,66	0,81	1,04	50
28 581	54,89	3,38	−0,00	3,38	359	0,96	0,81	1,26	39
29 581R	54,89	3,38	−0,00	3,38	359	0,96	0,81	1,26	39
30 587	46,05	3,73	0,00	3,73	0	1,32	0,81	1,54	31
31 589	44,04	3,83	−0,02	3,83	359	1,42	0,79	1,62	29
32 692	43,57	4,07	−0,49	4,10	353	1,65	0,32	1,68	10
33 697	43,34	4,27	−0,99	4,38	346	1,86	−0,18	1,86	354
34 708	42,59	4,40	−1,33	4,60	343	1,99	−0,52	2,05	345
35 717M	41,54	4,48	−1,50	4,72	341	2,06	−0,69	2,17	341
36 726	39,38	4,59	−1,71	4,90	339	2,17	−0,89	2,35	337
37 736	35,52	4,75	−2,00	5,16	337	2,34	−1,18	2,62	333
38 746	26,06	5,29	−2,72	5,96	332	2,88	−1,91	3,46	326
39 823	7,40	4,46	−10,25	11,18	293	2,05	−9,44	9,66	282
U=D50	**100,00**	**2,415**	**−0,811**	**2,547**	**341**	**0,0**	**0,0**	**0,0**	**0**

$a=p_{an}=n_a p_a=2{,}5[(1{,}000x+0{,}000+0{,}000z)/y]$ $A_{nu}=(a-a_u)\,Y$ $C_{ABnu}=[A_{nu}^2+B_{nu}^2]^{1/2}$
$b=p_{bn}=n_b p_b=-1{,}0[(0{,}000x+0{,}000+1{,}000z)/y]$ $B_{nu}=(b-b_u)\,Y$ $h_{ABnu}=\mathrm{atan}[B_{nu}/A_{nu}]$

DG690−4N

CIE10-Normfarbwerte, Buntwerte und Farbarten (n_a=2,5, n_b=−1,0).
Normierte *Ostwald (O)*-Farbwerte (Y_w=100), geordnet nach Buntton winkel.

λ_n	Normfarbwerte und -anteile X	Y	Z	x	y	z	*nu*-Buntwerte A_{nu}	B_{nu}	C_{ABnu}	h_{ABnu}
00 692	70,96	43,57	21,37	0,522	0,320	0,157	72,1	13,9	73,5	370
01 697	74,12	43,34	43,14	0,461	0,269	0,268	80,6	−7,9	81,0	354
02 708	75,07	42,59	56,88	0,430	0,244	0,325	84,8	−22,3	87,7	345
03 717	74,44	41,54	62,63	0,416	0,232	0,350	85,7	−28,9	90,5	341
04 726	72,35	39,38	67,37	0,403	0,219	0,376	85,7	−35,4	92,7	337
05 736M	67,62	35,52	71,08	0,388	0,203	0,408	83,2	−42,2	93,4	333
06 376	55,24	26,06	71,08	0,362	0,171	0,466	75,1	−49,9	90,2	326
07 458	13,22	7,40	75,87	0,136	0,076	0,786	15,1	−69,8	71,5	282
08 460	13,26	8,89	77,33	0,133	0,089	0,777	11,6	−70,1	71,0	279
09 462	13,28	10,68	78,42	0,129	0,104	0,765	7,4	−69,7	70,1	276
10 462	13,28	10,68	78,42	0,129	0,104	0,765	7,4	−69,7	70,1	276
11 468	13,66	17,92	80,19	0,122	0,160	0,717	−9,1	−65,6	66,2	262
12 471B	14,70	24,41	80,73	0,122	0,203	0,673	−22,2	−60,9	64,8	249
13 473	15,60	28,17	80,89	0,125	0,225	0,648	−29,0	−58,0	64,8	243
14 475	18,32	36,37	81,08	0,134	0,267	0,597	−42,0	−51,5	66,5	230
15 477	22,35	45,10	81,16	0,150	0,303	0,546	−53,0	−44,5	69,2	220
16 477	22,35	45,10	81,16	0,150	0,303	0,546	−53,0	−44,5	69,2	220
17 479	27,82	53,94	81,17	0,170	0,331	0,498	−60,7	−37,3	71,3	211
18 480C	30,64	58,21	79,19	0,182	0,346	0,471	−63,9	−31,9	71,5	206
19 484	25,67	56,42	59,80	0,180	0,397	0,421	−72,0	−14,0	73,4	191
20 492	22,50	56,65	38,03	0,192	0,483	0,324	−80,5	7,9	80,9	174
21 503	21,56	57,40	24,28	0,208	0,555	0,235	−84,7	22,2	87,6	165
22 512	22,19	58,45	18,53	0,223	0,589	0,186	−85,6	28,9	90,4	161
23 521G	24,28	60,61	13,79	0,246	0,614	0,139	−85,6	35,3	92,7	157
24 531	29,00	64,47	10,07	0,280	0,622	0,097	−83,2	42,2	93,3	153
25 541	41,39	73,93	10,07	0,330	0,589	0,080	−75,0	49,9	90,1	146
26 563	83,41	92,59	5,28	0,460	0,510	0,029	−15,0	69,8	71,4	102
27 564	83,37	91,09	3,82	0,467	0,510	0,021	−11,5	70,0	71,0	99
28 565	83,35	89,31	2,74	0,475	0,509	0,015	−7,3	69,7	70,1	95
29 565	83,35	89,31	2,74	0,475	0,509	0,015	−7,3	69,7	70,1	95
30 568	82,96	82,07	0,96	0,499	0,494	0,005	9,1	65,6	66,2	82
31 571	81,93	75,58	0,44	0,518	0,478	0,002	22,2	60,8	64,8	69
32 573Y	81,03	71,82	0,27	0,529	0,469	0,001	29,1	58,0	64,9	63
33 577	78,31	63,62	0,08	0,551	0,447	0,000	42,1	51,5	66,5	50
34 581	74,28	54,89	0,01	0,575	0,424	0,000	53,1	44,5	69,3	39
35 581	74,28	54,89	0,01	0,575	0,424	0,000	53,1	44,5	69,3	39
36 587R	68,81	46,05	0,00	0,599	0,400	0,000	60,8	37,3	71,3	31
37 589	67,60	44,04	0,93	0,600	0,391	0,008	62,6	34,8	71,6	29
38 692	70,96	43,57	21,37	0,522	0,320	0,157	72,1	13,9	73,5	10
39 697	74,12	43,34	43,14	0,461	0,269	0,268	80,6	−7,9	81,0	−5
U=D50	**96,63**	**100,00**	**81,17**	**0,347**	**0,359**	**0,359**	**0,0**	**0,0**	**0,0**	**0**

$a=p_{an}=n_a p_a=2{,}5[(1{,}000x+0{,}000+0{,}000z)/y]$ $A_{nu}=(a-a_u)\,Y$ $C_{ABnu}=[A_{nu}^2+B_{nu}^2]^{1/2}$
$b=p_{bn}=n_b p_b=-1{,}0[(0{,}000x+0{,}000+1{,}000z)/y]$ $B_{nu}=(b-b_u)\,Y$ $h_{ABnu}=\mathrm{atan}[B_{nu}/A_{nu}]$

DG690−7N

CIE10-Normfarbwerte, Buntwerte und Farbarten (n_a=2,5, n_b=−1,0).
Normierte *Ostwald (O)*-Farbwerte (Y_w=100), geordnet nach Buntton winkel.

λ_n	*n*-Farbart Y	p_{an}	p_{bn}	p_{rn}	h_{abn}	*nu*-Farbart p_{anu}	p_{bnu}	p_{rnu}	h_{abnu}
00 692	43,57	4,07	−0,49	4,10	353	1,65	0,32	1,68	370
01 697	43,34	4,27	−0,99	4,38	346	1,86	−0,18	1,86	354
02 708	42,59	4,40	−1,33	4,60	343	1,99	−0,52	2,05	345
03 717	41,54	4,48	−1,50	4,72	341	2,06	−0,69	2,17	341
04 726	39,38	4,59	−1,71	4,90	339	2,17	−0,89	2,35	337
05 736M	35,52	4,75	−2,00	5,16	337	2,34	−1,18	2,62	333
06 376	26,06	5,29	−2,72	5,96	332	2,88	−1,91	3,46	326
07 458	7,40	4,46	−10,25	11,18	293	2,05	−9,44	9,66	282
08 460	8,89	3,72	−8,68	9,45	293	1,30	−7,87	7,98	279
09 462	10,68	3,10	−7,34	7,97	292	0,69	−6,53	6,56	276
10 462	10,68	3,10	−7,34	7,97	292	0,69	−6,53	6,56	276
11 468	17,92	1,90	−4,47	4,86	293	−0,50	−3,66	3,69	262
12 471B	24,41	1,50	−3,30	3,63	294	−0,90	−2,49	2,65	249
13 473	28,17	1,38	−2,87	3,18	295	−1,03	−2,06	2,30	243
14 475	36,37	1,25	−2,22	2,56	299	−1,15	−1,41	1,82	230
15 477	45,10	1,23	−1,79	2,18	304	−1,17	−0,98	1,53	220
16 477	45,10	1,23	−1,79	2,18	304	−1,17	−0,98	1,53	220
17 479	53,94	1,28	−1,50	1,98	310	−1,12	−0,69	1,32	211
18 480C	58,21	1,31	−1,36	1,89	314	−1,09	−0,54	1,22	206
19 484	56,42	1,13	−1,05	1,55	317	−1,27	−0,24	1,30	191
20 492	56,65	0,99	−0,67	1,19	325	−1,42	0,14	1,42	174
21 503	57,40	0,93	−0,42	1,02	335	−1,47	0,38	1,52	165
22 512	58,45	0,94	−0,31	1,00	341	−1,46	0,49	1,54	161
23 521G	60,61	1,00	−0,22	1,02	347	−1,41	0,58	1,52	157
24 531	64,47	1,12	−0,15	1,13	352	−1,29	0,65	1,44	153
25 541	73,93	1,39	−0,13	1,40	354	−1,01	0,67	1,21	146
26 563	92,59	2,25	−0,05	2,25	358	−0,16	0,75	0,77	102
27 564	91,09	2,28	−0,04	2,28	358	−0,12	0,76	0,78	99
28 565	89,31	2,33	−0,03	2,33	359	−0,08	0,78	0,78	95
29 565	89,31	2,33	−0,03	2,33	359	−0,08	0,78	0,78	95
30 568	82,07	2,52	−0,01	2,52	359	0,11	0,79	0,80	82
31 571	75,58	2,71	−0,00	2,71	359	0,29	0,80	0,85	69
32 573Y	71,82	2,82	−0,00	2,82	359	0,40	0,80	0,90	63
33 577	63,62	3,07	−0,00	3,07	359	0,66	0,81	1,04	50
34 581	54,89	3,38	−0,00	3,38	359	0,96	0,81	1,26	39
35 581	54,89	3,38	−0,00	3,38	359	0,96	0,81	1,26	39
36 587R	46,05	3,73	0,00	3,73	0	1,32	0,81	1,54	31
37 589	44,04	3,83	−0,02	3,83	0	1,42	0,79	1,62	29
38 692	43,57	4,07	−0,49	4,10	−6	1,65	0,32	1,68	10
39 697	43,34	4,27	−0,99	4,38	−13	1,86	−0,18	1,86	−5
U=D50	**100,00**	**2,415**	**−0,811**	**2,547**	**341**	**0,0**	**0,0**	**0,0**	**0**

$a=p_{an}=n_a p_a=2{,}5[(1{,}000x+0{,}000+0{,}000z)/y]$ $A_{nu}=(a-a_u)\,Y$ $C_{ABnu}=[A_{nu}^2+B_{nu}^2]^{1/2}$
$b=p_{bn}=n_b p_b=-1{,}0[(0{,}000x+0{,}000+1{,}000z)/y]$ $B_{nu}=(b-b_u)\,Y$ $h_{ABnu}=\mathrm{atan}[B_{nu}/A_{nu}]$

DG690−8N

DG690−7R_pchartl=0_xcolorl=1(CIE10)

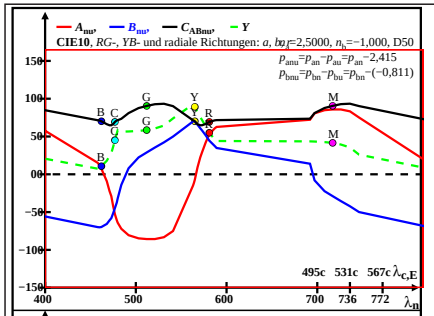

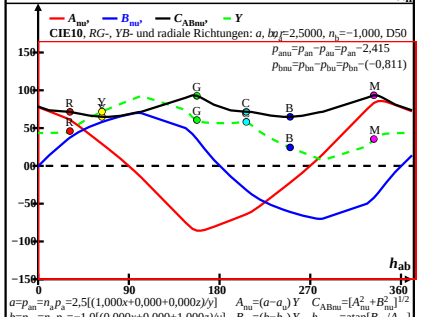

$a=p_{an}=n_a p_a=2{,}5[(1{,}000x+0{,}000+0{,}000z)/y]$ $A_{nu}=(a-a_u)\,Y$ $C_{ABnu}=[A_{nu}^2+B_{nu}^2]^{1/2}$
$b=p_{bn}=n_b p_b=-1{,}0[(0{,}000x+0{,}000+1{,}000z)/y]$ $B_{nu}=(b-b_u)\,Y$ $h_{ABnu}=\mathrm{atan}[B_{nu}/A_{nu}]$

DG691−3N

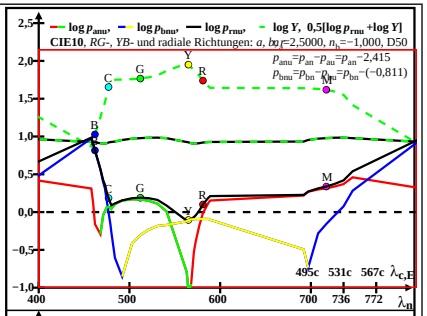

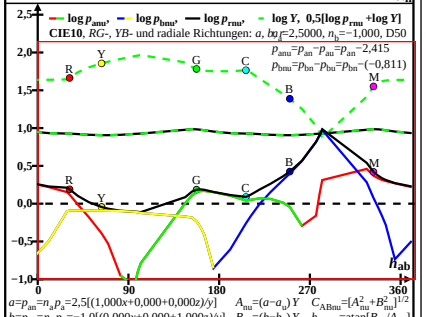

$a=p_{an}=n_a p_a=2{,}5[(1{,}000x+0{,}000+0{,}000z)/y]$ $A_{nu}=(a-a_u)\,Y$ $C_{ABnu}=[A_{nu}^2+B_{nu}^2]^{1/2}$
$b=p_{bn}=n_b p_b=-1{,}0[(0{,}000x+0{,}000+1{,}000z)/y]$ $B_{nu}=(b-b_u)\,Y$ $h_{ABnu}=\mathrm{atan}[B_{nu}/A_{nu}]$

DG691−4N

X_w=96,63, Y_w=100,00, Z_w=81,17
x_w=0,3478 y_w=0,3599 z_w=0,2921
$a'_{0,nu}=(a_0-a_{0,u})\,Y_{18}\,[Y/Y_{18}]^{1/3}$
$b'_{0,nu}=(b_0-b_{0,u})\,Y_{18}\,[Y/Y_{18}]^{1/3}$
$a_0=n_a[(1{,}000x+0{,}000+0{,}000z)/y]$
$b_0=n_b[(0{,}000x+0{,}000+1{,}000z)/y]$
n_a = 2,50, n_b = −1,00
n = D50

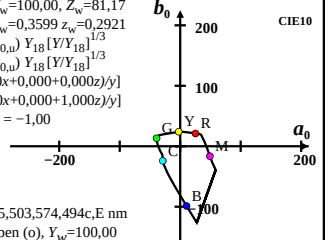

$\lambda_{B,G,Y,R}$=475,503,574,494c,E nm
Ostwald Farben (o), Y_w=100,00
max (m) Buntwert, D50
Farbart $(a_{0,10}, b_{0,10})Y_{18}(Y/Y_{18}^{1/3}$

X_w=96,63, Y_w=100,00, Z_w=81,17
x_w=0,3478 y_w=0,3599 z_w=0,2921
$A_0=(a_0-a_{0,u})\,Y/[Y/Y_{18}]^{1/3}$
$B_0=(b_0-b_{0,u})\,Y/[Y/Y_{18}]^{1/3}$
$a_0=n_a[(1{,}000x+0{,}000+0{,}000z)/y]$
$b_0=n_b[(0{,}000x+0{,}000+1{,}000z)/y]$
n_a = 2,50, n_b = −1,00
n = D50

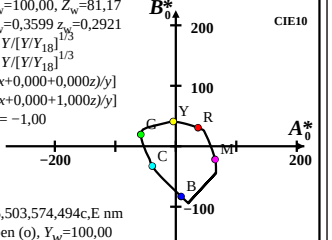

$\lambda_{B,G,Y,R}$=475,503,574,494c,E nm
Ostwald Farben (o), Y_w=100,00
max (m) Buntwert, D50
Buntheit $(A^*_{0,10}, B^*_{0,10})$

X_w=96,63, Y_w=100,00, Z_w=81,17
x_w=0,3478 y_w=0,3599 z_w=0,2921
$a_{0,nu}=(a_0-a_{0,u})\,Y_{18}$
$b_{0,nu}=(b_0-b_{0,u})\,Y_{18}$
$a_0=n_a[(1{,}000x+0{,}000+0{,}000z)/y]$
$b_0=n_b[(0{,}000x+0{,}000+1{,}000z)/y]$
n_a = 2,50, n_b = −1,00
n = D50

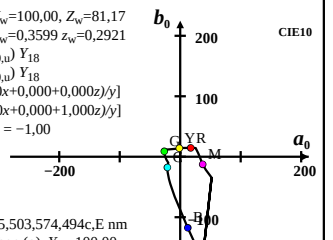

$\lambda_{B,G,Y,R}$=475,503,574,494c,E nm
Ostwald Farben (o), Y_w=100,00
max (m) Buntwert, D50
Farbart $(a_{0,10}, b_{0,10})Y_{18}$

X_w=96,63, Y_w=100,00, Z_w=81,17
x_w=0,3478 y_w=0,3599 z_w=0,2921
$A_0=(a_0-a_{0,u})\,Y$
$B_0=(b_0-b_{0,u})\,Y$
$a_0=n_a[(1{,}000x+0{,}000+0{,}000z)/y]$
$b_0=n_b[(0{,}000x+0{,}000+1{,}000z)/y]$
n_a = 2,50, n_b = −1,00
n = D50

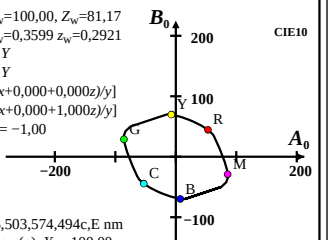

$\lambda_{B,G,Y,R}$=475,503,574,494c,E nm
Ostwald Farben (o), Y_w=100,00
max (m) Buntwert, D50
Buntwert $(A_{0,10}, B_{0,10})$

DG691−7N

DG691−8N

DG691−7R_pchartl=0_xcolorl=1(CIE10)

Siehe ähnliche Dateien: http://farbe.li.tu-berlin.de/DG69/DG69.HTM
Technische Information: http://farbe.li.tu-berlin.de oder http://130.149.60.45/~farbmetrik

TUB-Registrierung: 20180801-DG69/DG69L0NP.PDF /.PS
Anwendung für Messung von Offsetdruck-Ausgabe
TUB-Material: Code=rha4ta

Siehe ähnliche Dateien: http://farbe.li.tu-berlin.de/DG69/DG69.HTM
Technische Information: http://farbe.li.tu-berlin.de oder http://130.149.60.45/~farbmetrik

CIEF02-Normfarbwerte, Buntwerte und Farbarten (n_a=2,5, n_b=−1,0).
Normierte *Ostwald (O)*-Farbwerte (Y_w=100), geordnet nach Wellenlänge.

λ_n	Normfarbwerte und -anteile *X*	*Y*	*Z*	*x*	*y*	*z*	*nu*-Buntwerte A_{nu}	B_{nu}	C_{ABnu}	h_{ABnu}
00 386	51,50	23,94	74,68	0,343	0,159	0,497	71,0	−55,0	89,8	322
01 460	12,38	6,54	76,19	0,130	0,068	0,801	15,1	−70,8	72,4	282
02 465	12,41	9,58	78,25	0,123	0,095	0,780	7,9	−70,3	70,8	276
03 467	12,45	11,64	78,87	0,120	0,113	0,766	3,0	−69,3	69,3	272
04 473B	13,31	20,43	79,83	0,117	0,179	0,702	−15,9	−63,0	65,0	255
05 475	14,02	24,19	79,97	0,118	0,204	0,676	−23,2	−60,0	64,4	248
06 479	17,82	36,91	80,16	0,132	0,273	0,594	−44,4	−49,8	66,7	228
07 479	17,82	36,91	80,16	0,132	0,273	0,594	−44,4	−49,8	66,7	228
08 481	21,98	46,03	80,19	0,148	0,310	0,541	−56,0	−42,3	70,2	217
09 481	21,98	46,03	80,19	0,148	0,310	0,541	−56,0	−42,3	70,2	217
10 483C	27,52	55,03	80,21	0,169	0,338	0,492	−63,8	−34,9	72,8	208
11 484	28,85	57,21	79,07	0,174	0,346	0,478	−65,7	−32,0	73,1	205
12 489	25,36	57,41	57,70	0,180	0,408	0,410	−75,0	−10,5	75,7	187
13 497	22,33	57,50	36,81	0,191	0,492	0,315	−82,7	10,4	83,4	172
14 505	21,31	58,03	24,30	0,205	0,559	0,234	−86,6	23,3	89,7	164
15 512	21,41	58,69	18,79	0,216	0,593	0,190	−87,9	29,4	92,7	161
16 521G	22,42	59,91	14,10	0,232	0,621	0,146	−88,3	35,1	95,1	158
17 524	25,32	62,97	14,10	0,247	0,615	0,137	−88,5	37,6	96,1	156
18 539	30,29	66,55	7,57	0,290	0,637	0,072	−84,7	47,1	96,9	150
19 551	44,95	76,05	5,53	0,355	0,601	0,043	−70,9	56,9	91,0	141
20 568	84,08	93,45	4,02	0,463	0,514	0,022	−15,0	72,7	74,3	101
21 568	84,08	93,45	4,02	0,463	0,514	0,022	−15,0	72,7	74,3	101
22 569	84,05	90,41	1,96	0,476	0,512	0,011	−7,8	72,3	72,7	96
23 570Y	84,00	88,35	1,33	0,483	0,508	0,007	−2,9	71,2	71,3	92
24 573	83,15	79,56	0,38	0,509	0,487	0,002	16,0	65,0	66,9	76
25 575	82,44	75,80	0,24	0,520	0,478	0,001	23,3	62,0	66,3	69
26 580	78,64	63,07	0,05	0,554	0,444	0,000	44,5	51,7	68,3	49
27 580	78,64	63,07	0,05	0,554	0,444	0,000	44,5	51,7	68,3	49
28 585	74,48	53,96	0,02	0,579	0,420	0,000	56,1	44,3	71,5	38
29 590R	68,94	44,96	0,00	0,605	0,394	0,000	63,9	36,9	73,8	30
30 592	67,61	42,78	1,14	0,606	0,383	0,010	65,8	34,0	74,1	27
31 694	71,10	42,58	22,52	0,522	0,312	0,165	75,0	12,4	76,1	9
32 702	74,12	42,49	43,40	0,463	0,265	0,271	82,8	−8,4	83,2	354
33 710	75,15	41,96	55,91	0,434	0,242	0,323	86,7	−21,4	89,3	346
34 717	75,05	41,30	61,43	0,422	0,232	0,345	88,0	−27,4	92,2	342
35 726M	74,04	40,08	66,11	0,410	0,222	0,366	88,4	−33,1	94,4	339
36 729	71,14	37,02	66,11	0,408	0,212	0,379	88,6	−35,6	95,5	338
37 744	66,16	33,43	72,64	0,384	0,194	0,421	84,7	−45,1	96,0	331
38 756	51,50	23,94	74,68	0,343	0,159	0,497	71,0	−55,0	89,8	322
39 825	12,38	6,54	76,19	0,130	0,068	0,801	15,1	−70,8	72,4	282
U=D50	**96,46**	**100,00**	**82,22**	**0,346**	**0,358**	**0,358**	**0,0**	**0,0**	**0,0**	**0**

$a=p_{an}=n_a p_a=2{,}5[(1{,}000x+0{,}000+0{,}000z)/y]$ $A_{nu}=(a-a_u)\,Y$ $C_{ABnu}=[A_{nu}^2+B_{nu}^2]^{1/2}$
$b=p_{bn}=n_b p_b=-1{,}0[(0{,}000x+0{,}000+1{,}000z)/y]$ $B_{nu}=(b-b_u)\,Y$ $h_{ABnu}=\mathrm{atan}[B_{nu}/A_{nu}]$

DG690−3N

CIEF02-Normfarbwerte, Buntwerte und Farbarten (n_a=2,5, n_b=−1,0).
Normierte *Ostwald (O)*-Farbwerte (Y_w=100), geordnet nach Wellenlänge.

λ_n	*Y*	*n*-Farbart p_{an}	p_{bn}	p_{rn}	h_{abn}	*nu*-Farbart p_{anu}	p_{bnu}	p_{rnu}	h_{abnu}
00 386	23,94	5,37	−3,11	6,21	329	2,96	−2,29	3,75	322
01 460	6,54	4,73	−11,64	12,57	292	2,32	−10,82	11,07	282
02 465	9,58	3,23	−8,16	8,78	291	0,82	−7,34	7,39	276
03 467	11,64	2,67	−6,77	7,28	291	0,26	−5,95	5,96	272
04 473B	20,43	1,62	−3,90	4,23	292	−0,78	−3,08	3,18	255
05 475	24,19	1,44	−3,30	3,60	293	−0,96	−2,48	2,66	248
06 479	36,91	1,20	−2,17	2,48	299	−1,20	−1,34	1,80	228
07 479	36,91	1,20	−2,17	2,48	299	−1,20	−1,34	1,80	228
08 481	46,03	1,19	−1,74	2,11	304	−1,21	−0,92	1,52	217
09 481	46,03	1,19	−1,74	2,11	304	−1,21	−0,92	1,52	217
10 483C	55,03	1,25	−1,45	1,92	310	−1,16	−0,63	1,32	208
11 484	57,21	1,26	−1,38	1,87	312	−1,15	−0,56	1,27	205
12 489	57,41	1,10	−1,00	1,49	317	−1,30	−0,18	1,31	187
13 497	57,50	0,97	−0,64	1,16	326	−1,43	0,18	1,45	172
14 505	58,03	0,91	−0,41	1,00	335	−1,49	0,40	1,54	164
15 512	58,69	0,91	−0,32	0,96	340	−1,49	0,50	1,58	161
16 521G	59,91	0,93	−0,23	0,96	345	−1,47	0,58	1,58	158
17 524	62,97	1,00	−0,22	1,02	347	−1,40	0,59	1,52	156
18 539	66,55	1,13	−0,11	1,14	354	−1,27	0,70	1,45	150
19 551	76,05	1,47	−0,07	1,47	357	−0,93	0,74	1,19	141
20 568	93,45	2,24	−0,04	2,24	358	−0,16	0,77	0,79	101
21 568	93,45	2,24	−0,04	2,24	358	−0,16	0,77	0,79	101
22 569	90,41	2,32	−0,02	2,32	359	−0,08	0,80	0,80	96
23 570Y	88,35	2,37	−0,01	2,37	359	−0,03	0,80	0,80	92
24 573	79,56	2,61	−0,00	2,61	359	0,20	0,81	0,84	76
25 575	75,80	2,71	−0,00	2,71	359	0,30	0,81	0,87	69
26 580	63,07	3,11	−0,00	3,11	359	0,70	0,82	1,08	49
27 580	63,07	3,11	−0,00	3,11	359	0,70	0,82	1,08	49
28 585	53,96	3,45	−0,00	3,45	359	1,03	0,82	1,32	38
29 590R	44,96	3,83	0,00	3,83	0	1,42	0,82	1,64	30
30 592	42,78	3,95	−0,02	3,95	359	1,54	0,79	1,73	27
31 694	42,58	4,17	−0,52	4,20	352	1,76	0,29	1,78	9
32 702	42,49	4,36	−1,02	4,47	346	1,95	−0,19	1,96	354
33 710	41,96	4,47	−1,33	4,67	343	2,06	−0,51	2,12	346
34 717	41,30	4,54	−1,48	4,78	341	2,13	−0,66	2,23	342
35 726M	40,08	4,61	−1,64	4,90	340	2,20	−0,82	2,35	339
36 729	37,02	4,80	−1,78	5,12	339	2,39	−0,96	2,58	338
37 744	33,43	4,94	−2,17	5,40	336	2,53	−1,35	2,87	331
38 756	23,94	5,37	−3,11	6,21	329	2,96	−2,29	3,75	322
39 825	6,54	4,73	−11,64	12,57	292	2,32	−10,82	11,07	282
U=D50	**100,00**	**2,410**	**−0,821**	**2,547**	**341**	**0,0**	**0,0**	**0,0**	**0**

$a=p_{an}=n_a p_a=2{,}5[(1{,}000x+0{,}000+0{,}000z)/y]$ $A_{nu}=(a-a_u)\,Y$ $C_{ABnu}=[A_{nu}^2+B_{nu}^2]^{1/2}$
$b=p_{bn}=n_b p_b=-1{,}0[(0{,}000x+0{,}000+1{,}000z)/y]$ $B_{nu}=(b-b_u)\,Y$ $h_{ABnu}=\mathrm{atan}[B_{nu}/A_{nu}]$

DG690−4N

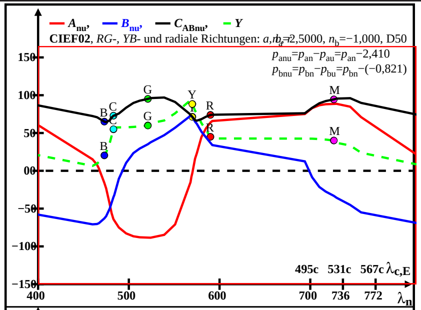

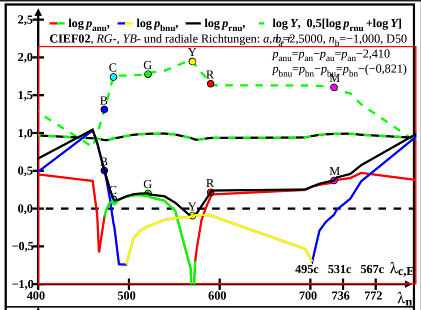

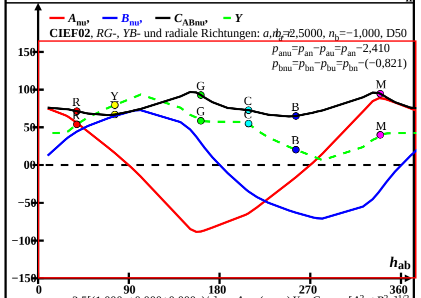

$a=p_{an}=n_a p_a=2{,}5[(1{,}000x+0{,}000+0{,}000z)/y]$ $A_{nu}=(a-a_u)\,Y$ $C_{ABnu}=[A_{nu}^2+B_{nu}^2]^{1/2}$
$b=p_{bn}=n_b p_b=-1{,}0[(0{,}000x+0{,}000+1{,}000z)/y]$ $B_{nu}=(b-b_u)\,Y$ $h_{ABnu}=\mathrm{atan}[B_{nu}/A_{nu}]$

DG691−3N

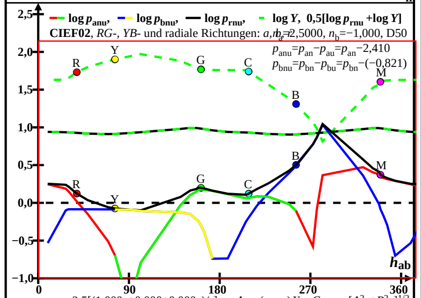

$a=p_{an}=n_a p_a=2{,}5[(1{,}000x+0{,}000+0{,}000z)/y]$ $A_{nu}=(a-a_u)\,Y$ $C_{ABnu}=[A_{nu}^2+B_{nu}^2]^{1/2}$
$b=p_{bn}=n_b p_b=-1{,}0[(0{,}000x+0{,}000+1{,}000z)/y]$ $B_{nu}=(b-b_u)\,Y$ $h_{ABnu}=\mathrm{atan}[B_{nu}/A_{nu}]$

DG691−4N

CIEF02-Normfarbwerte, Buntwerte und Farbarten (n_a=2,5, n_b=−1,0).
Normierte *Ostwald (O)*-Farbwerte (Y_w=100), geordnet nach Bunttonwinkel.

λ_n	Normfarbwerte und -anteile *X*	*Y*	*Z*	*x*	*y*	*z*	*nu*-Buntwerte A_{nu}	B_{nu}	C_{ABnu}	h_{ABnu}
00 592	67,61	42,78	1,14	0,606	0,383	0,010	65,8	34,0	74,1	387
01 694	71,10	42,58	22,52	0,522	0,312	0,165	75,0	12,4	76,1	369
02 702	74,12	42,49	43,40	0,463	0,265	0,271	82,8	−8,4	83,2	354
03 710	75,15	41,96	55,91	0,434	0,242	0,323	86,7	−21,4	89,3	346
04 717	75,05	41,30	61,43	0,422	0,232	0,345	88,0	−27,4	92,2	342
05 726M	74,04	40,08	66,11	0,410	0,222	0,366	88,4	−33,1	94,4	339
06 729	71,14	37,02	66,11	0,408	0,212	0,379	88,6	−35,6	95,5	338
07 744	66,16	33,43	72,64	0,384	0,194	0,421	84,7	−45,1	96,0	331
08 386	51,50	23,94	74,68	0,343	0,159	0,497	71,0	−55,0	89,8	322
09 460	12,38	6,54	76,19	0,130	0,068	0,801	15,1	−70,8	72,4	282
10 465	12,41	9,58	78,25	0,123	0,095	0,780	7,9	−70,3	70,8	276
11 467	12,45	11,64	78,87	0,120	0,113	0,766	3,0	−69,3	69,3	272
12 473B	13,31	20,43	79,83	0,117	0,179	0,702	−15,9	−63,0	65,0	255
13 475	14,02	24,19	79,97	0,118	0,204	0,676	−23,2	−60,0	64,4	248
14 479	17,82	36,91	80,16	0,132	0,273	0,594	−44,4	−49,8	66,7	228
15 479	17,82	36,91	80,16	0,132	0,273	0,594	−44,4	−49,8	66,7	228
16 481	21,98	46,03	80,19	0,148	0,310	0,541	−56,0	−42,3	70,2	217
17 481	21,98	46,03	80,19	0,148	0,310	0,541	−56,0	−42,3	70,2	217
18 483C	27,52	55,03	80,21	0,169	0,338	0,492	−63,8	−34,9	72,8	208
19 484	28,85	57,21	79,07	0,174	0,346	0,478	−65,7	−32,0	73,1	205
20 489	25,36	57,41	57,70	0,180	0,408	0,410	−75,0	−10,5	75,7	187
21 497	22,33	57,50	36,81	0,191	0,492	0,315	−82,7	10,4	83,4	172
22 505	21,31	58,03	24,30	0,205	0,559	0,234	−86,6	23,3	89,7	164
23 512G	21,41	58,69	18,79	0,216	0,593	0,190	−87,9	29,4	92,7	161
24 521	22,42	59,91	14,10	0,232	0,621	0,146	−88,3	35,1	95,1	158
25 524	25,32	62,97	14,10	0,247	0,615	0,137	−88,5	37,6	96,1	156
26 539	30,29	66,55	7,57	0,290	0,637	0,072	−84,7	47,1	96,9	150
27 551	44,95	76,05	5,53	0,355	0,601	0,043	−70,9	56,9	91,0	141
28 568	84,08	93,45	4,02	0,463	0,514	0,022	−15,0	72,7	74,3	101
29 568	84,08	93,45	4,02	0,463	0,514	0,022	−15,0	72,7	74,3	101
30 569	84,05	90,41	1,96	0,476	0,512	0,011	−7,8	72,3	72,7	96
31 570	84,00	88,35	1,33	0,483	0,508	0,007	−2,9	71,2	71,3	92
32 573Y	83,15	79,56	0,38	0,509	0,487	0,002	16,0	65,0	66,9	76
33 575	82,44	75,80	0,24	0,520	0,478	0,001	23,3	62,0	66,3	69
34 580	78,64	63,07	0,05	0,554	0,444	0,000	44,5	51,7	68,3	49
35 580	78,64	63,07	0,05	0,554	0,444	0,000	44,5	51,7	68,3	49
36 585R	74,48	53,96	0,02	0,579	0,420	0,000	56,1	44,3	71,5	38
37 590	68,94	44,96	0,00	0,605	0,394	0,000	63,9	36,9	73,8	30
38 592	67,61	42,78	1,14	0,606	0,383	0,010	65,8	34,0	74,1	27
39 694	71,10	42,58	22,52	0,522	0,312	0,165	75,0	12,4	76,1	9
U=D50	**96,46**	**100,00**	**82,22**	**0,346**	**0,358**	**0,358**	**0,0**	**0,0**	**0,0**	**0**

$a=p_{an}=n_a p_a=2{,}5[(1{,}000x+0{,}000+0{,}000z)/y]$ $A_{nu}=(a-a_u)\,Y$ $C_{ABnu}=[A_{nu}^2+B_{nu}^2]^{1/2}$
$b=p_{bn}=n_b p_b=-1{,}0[(0{,}000x+0{,}000+1{,}000z)/y]$ $B_{nu}=(b-b_u)\,Y$ $h_{ABnu}=\mathrm{atan}[B_{nu}/A_{nu}]$

DG690−7N

CIEF02-Normfarbwerte, Buntwerte und Farbarten (n_a=2,5, n_b=−1,0).
Normierte *Ostwald (O)*-Farbwerte (Y_w=100), geordnet nach Bunttonwinkel.

λ_n	*Y*	*n*-Farbart p_{an}	p_{bn}	p_{rn}	h_{abn}	*nu*-Farbart p_{anu}	p_{bnu}	p_{rnu}	h_{abnu}
00 592	42,78	3,95	−0,02	3,95	359	1,54	0,79	1,73	387
01 694	42,58	4,17	−0,52	4,20	352	1,76	0,29	1,78	369
02 702	42,49	4,36	−1,02	4,47	346	1,95	−0,19	1,96	354
03 710	41,96	4,47	−1,33	4,67	343	2,06	−0,51	2,12	346
04 717	41,30	4,54	−1,48	4,78	341	2,13	−0,66	2,23	342
05 726M	40,08	4,61	−1,64	4,90	340	2,20	−0,82	2,35	339
06 729	37,02	4,80	−1,78	5,12	339	2,39	−0,96	2,58	338
07 744	33,43	4,94	−2,17	5,40	336	2,53	−1,35	2,87	331
08 386	23,94	5,37	−3,11	6,21	329	2,96	−2,29	3,75	322
09 460	6,54	4,73	−11,64	12,57	292	2,32	−10,82	11,07	282
10 465	9,58	3,23	−8,16	8,78	291	0,82	−7,34	7,39	276
11 467	11,64	2,67	−6,77	7,28	291	0,26	−5,95	5,96	272
12 473B	20,43	1,62	−3,90	4,23	292	−0,78	−3,08	3,18	255
13 475	24,19	1,44	−3,30	3,60	293	−0,96	−2,48	2,66	248
14 479	36,91	1,20	−2,17	2,48	299	−1,20	−1,34	1,80	228
15 479	36,91	1,20	−2,17	2,48	299	−1,20	−1,34	1,80	228
16 481	46,03	1,19	−1,74	2,11	304	−1,21	−0,92	1,52	217
17 481	46,03	1,19	−1,74	2,11	304	−1,21	−0,92	1,52	217
18 483C	55,03	1,25	−1,45	1,92	310	−1,16	−0,63	1,32	208
19 484	57,21	1,26	−1,38	1,87	312	−1,15	−0,56	1,27	205
20 489	57,41	1,10	−1,00	1,49	317	−1,30	−0,18	1,31	187
21 497	57,50	0,97	−0,64	1,16	326	−1,43	0,18	1,45	172
22 505	58,03	0,91	−0,41	1,00	335	−1,49	0,40	1,54	164
23 512G	58,69	0,91	−0,32	0,96	340	−1,49	0,50	1,58	161
24 521	59,91	0,93	−0,23	0,96	345	−1,47	0,58	1,58	158
25 524	62,97	1,00	−0,22	1,02	347	−1,40	0,59	1,52	156
26 539	66,55	1,13	−0,11	1,14	354	−1,27	0,70	1,45	150
27 551	76,05	1,47	−0,07	1,47	357	−0,93	0,74	1,19	141
28 568	93,45	2,24	−0,04	2,24	358	−0,16	0,77	0,79	101
29 568	93,45	2,24	−0,04	2,24	358	−0,16	0,77	0,79	101
30 569	90,41	2,32	−0,02	2,32	359	−0,08	0,80	0,80	96
31 570	88,35	2,37	−0,01	2,37	359	−0,03	0,80	0,80	92
32 573Y	79,56	2,61	−0,00	2,61	359	0,20	0,81	0,84	76
33 575	75,80	2,71	−0,00	2,71	359	0,30	0,81	0,87	69
34 580	63,07	3,11	−0,00	3,11	359	0,70	0,82	1,08	49
35 580	63,07	3,11	−0,00	3,11	359	0,70	0,82	1,08	49
36 585R	53,96	3,45	−0,00	3,45	359	1,03	0,82	1,32	38
37 590	44,96	3,83	0,00	3,83	0	1,42	0,82	1,64	30
38 592	42,78	3,95	−0,02	3,95	0	1,54	0,79	1,73	27
39 694	42,58	4,17	−0,52	4,20	−7	1,76	0,29	1,78	9
U=D50	**100,00**	**2,410**	**−0,821**	**2,547**	**341**	**0,0**	**0,0**	**0,0**	**0**

$a=p_{an}=n_a p_a=2{,}5[(1{,}000x+0{,}000+0{,}000z)/y]$ $A_{nu}=(a-a_u)\,Y$ $C_{ABnu}=[A_{nu}^2+B_{nu}^2]^{1/2}$
$b=p_{bn}=n_b p_b=-1{,}0[(0{,}000x+0{,}000+1{,}000z)/y]$ $B_{nu}=(b-b_u)\,Y$ $h_{ABnu}=\mathrm{atan}[B_{nu}/A_{nu}]$

DG690−8N

DG690−7R_pchartl=0_xcolorl=2(CIEF02)

X_w=96,46, Y_w=100,00, Z_w=82,22
x_w=0,3461 y_w=0,3588 z_w=0,2950
$a'_{0,nu}=(a_0-a_{0,u})\,Y_{18}\,[Y/Y_{18}]^{1/3}$
$b'_{0,nu}=(b_0-b_{0,u})\,Y_{18}\,[Y/Y_{18}]^{1/3}$
$a_0=n_a[(1{,}000x+0{,}000+0{,}000z)/y]$
$b_0=n_b[(0{,}000x+0{,}000+1{,}000z)/y]$
n_a = 2,50, n_b = −1,00
n = D50

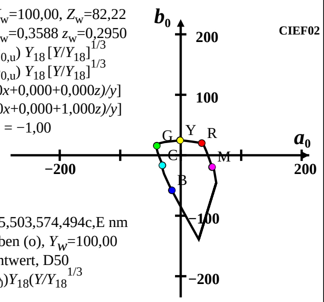

$\lambda_{B,G,Y,R}$=475,503,574,494c,E nm
Ostwald Farben (o), Y_W=100,00
max (m) Buntwert, D50
Farbart $(a_0, b_0)Y_{18}(Y/Y_{18})^{1/3}$

X_w=96,46, Y_w=100,00, Z_w=82,22
x_w=0,3461 y_w=0,3588 z_w=0,2950
$A_0=(a_0-a_{0,u})\,Y/[Y/Y_{18}]^{1/3}$
$B_0=(b_0-b_{0,u})\,Y/[Y/Y_{18}]^{1/3}$
$a_0=n_a[(1{,}000x+0{,}000+0{,}000z)/y]$
$b_0=n_b[(0{,}000x+0{,}000+1{,}000z)/y]$
n_a = 2,50, n_b = −1,00
n = D50

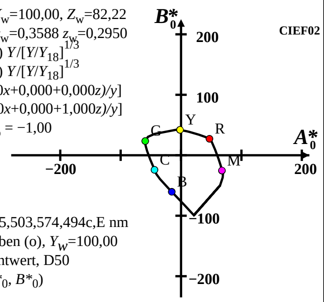

$\lambda_{B,G,Y,R}$=475,503,574,494c,E nm
Ostwald Farben (o), Y_W=100,00
max (m) Buntwert, D50
Buntheit (A^*_0, B^*_0)

X_w=96,46, Y_w=100,00, Z_w=82,22
x_w=0,3461 y_w=0,3588 z_w=0,2950
$a_{0,nu}=(a_0-a_{0,u})\,Y_{18}$
$b_{0,nu}=(b_0-b_{0,u})\,Y_{18}$
$a_0=n_a[(1{,}000x+0{,}000+0{,}000z)/y]$
$b_0=n_b[(0{,}000x+0{,}000+1{,}000z)/y]$
n_a = 2,50, n_b = −1,00
n = D50

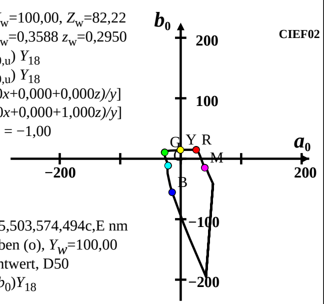

$\lambda_{B,G,Y,R}$=475,503,574,494c,E nm
Ostwald Farben (o), Y_W=100,00
max (m) Buntwert, D50
Farbart $(a_0, b_0)Y_{18}$

DG691−7N

X_w=96,46, Y_w=100,00, Z_w=82,22
x_w=0,3461 y_w=0,3588 z_w=0,2950
$A_0=(a_0-a_{0,u})\,Y$
$B_0=(b_0-b_{0,u})\,Y$
$a_0=n_a[(1{,}000x+0{,}000+0{,}000z)/y]$
$b_0=n_b[(0{,}000x+0{,}000+1{,}000z)/y]$
n_a = 2,50, n_b = −1,00
n = D50

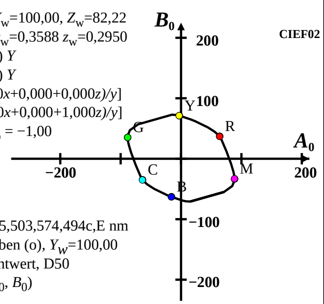

$\lambda_{B,G,Y,R}$=475,503,574,494c,E nm
Ostwald Farben (o), Y_W=100,00
max (m) Buntwert, D50
Buntwert (A_0, B_0)

DG691−8N

DG691−7R_pchartl=0_xcolorl=2(CIEF02)

TUB-Registrierung: 20180801-DG69/DG69L0NP.PDF /.PS
Anwendung für Messung von Offsetdruck-Ausgabe
TUB-Material: Code=rha4ta

Siehe ähnliche Dateien: http://farbe.li.tu-berlin.de/DG69/DG69.HTM
Technische Information: http://farbe.li.tu-berlin.de oder http://130.149.60.45/~farbmetrik

CIEF10-Normfarbwerte, Buntwerte und Farbarten (n_a=2,5, n_b=−1,0).
Normierte *Ostwald (O)*-Farbwerte (Y_w=100), geordnet nach Wellenlänge.

λ_n	Normfarbwerte und -anteile *X*	*Y*	*Z*	*x*	*y*	*z*	*nu*-Buntwerte A_{nu}	B_{nu}	C_{ABnu}	h_{ABnu}
00 380	52,92	25,78	74,65	0,345	0,168	0,486	69,9	−53,7	88,2	322
01 455	13,14	6,61	74,65	0,139	0,070	0,790	16,8	−69,2	71,3	283
02 460	13,28	9,49	77,94	0,131	0,094	0,773	10,2	−70,2	71,0	278
03 462	13,30	11,32	78,97	0,128	0,109	0,762	5,8	−69,7	70,0	274
04 464B	13,34	13,45	79,69	0,125	0,126	0,748	0,8	−68,7	68,7	270
05 468	13,69	18,67	80,47	0,121	0,165	0,713	−10,9	−65,3	66,2	260
06 471	14,73	25,21	80,80	0,121	0,208	0,669	−24,1	−60,3	65,0	248
07 472	15,63	28,96	80,89	0,124	0,230	0,644	−30,9	−57,4	65,2	241
08 475	18,33	37,06	80,98	0,134	0,271	0,593	−43,7	−50,9	67,1	229
09 477	22,39	45,70	81,01	0,150	0,306	0,543	−54,5	−43,9	70,0	218
10 477C	24,94	50,08	81,01	0,159	0,320	0,519	−58,7	−40,4	71,3	214
11 479	30,58	58,60	78,68	0,182	0,349	0,468	−65,2	−31,2	72,3	205
12 479	29,07	56,38	80,12	0,175	0,340	0,483	−63,6	−34,4	72,3	208
13 484	25,63	56,72	59,32	0,180	0,400	0,418	−73,0	−13,3	74,2	190
14 492	22,37	56,85	36,73	0,192	0,490	0,316	−81,5	9,3	82,0	173
15 503	21,57	57,63	22,95	0,211	0,564	0,224	−85,4	23,7	88,6	164
16 511G	22,30	58,68	17,25	0,227	0,597	0,175	−86,1	30,2	91,2	160
17 521	24,56	60,88	12,62	0,250	0,620	0,128	−85,7	36,6	93,3	156
18 532	29,89	65,12	9,04	0,287	0,625	0,086	−82,7	43,7	93,5	152
19 545	43,82	74,21	6,37	0,352	0,596	0,051	−69,8	53,7	88,1	142
20 563	83,59	93,38	6,37	0,455	0,509	0,034	−16,8	69,2	71,2	103
21 564	83,45	90,50	3,08	0,471	0,511	0,017	−10,1	70,2	70,9	98
22 565	83,43	88,67	2,06	0,479	0,509	0,011	−5,8	69,7	70,0	94
23 566Y	83,39	86,54	1,34	0,486	0,505	0,007	−0,7	68,7	68,7	90
24 568	83,04	81,32	0,56	0,503	0,493	0,003	10,9	65,3	66,2	80
25 571	82,00	74,78	0,23	0,522	0,476	0,001	24,1	60,3	65,0	68
26 573	81,10	71,03	0,14	0,532	0,466	0,000	31,0	57,3	65,2	61
27 577	78,40	62,93	0,05	0,554	0,445	0,000	43,8	50,9	67,2	49
28 581	74,33	54,29	0,02	0,577	0,421	0,000	54,5	43,9	70,0	38
29 584R	71,79	49,91	0,01	0,589	0,410	0,000	58,8	40,4	71,3	34
30 591	66,15	41,39	2,33	0,602	0,376	0,021	65,3	31,1	72,3	25
31 588	67,67	43,61	0,91	0,603	0,388	0,008	63,7	34,4	72,4	28
32 689	71,10	43,27	21,71	0,522	0,317	0,159	73,1	13,3	74,3	10
33 697	74,36	43,14	44,30	0,459	0,266	0,273	81,5	−9,3	82,1	353
34 708	75,16	42,36	58,08	0,428	0,241	0,330	85,4	−23,7	88,7	344
35 716M	74,43	41,31	63,78	0,414	0,230	0,355	86,1	−30,3	91,3	340
36 726	72,17	39,11	68,41	0,401	0,217	0,380	85,8	−36,7	93,3	336
37 737	66,83	34,86	71,99	0,384	0,200	0,414	82,8	−43,7	93,6	332
38 750	52,92	25,78	74,65	0,345	0,168	0,486	69,9	−53,7	88,2	322
39 820	13,14	6,61	74,65	0,139	0,070	0,790	16,8	−69,2	71,3	283
U=D50	**96,74**	**100,00**	**81,03**	**0,348**	**0,360**	**0,360**	**0,0**	**0,0**	**0,0**	**0**

$a=p_{an}=n_a p_a=2{,}5[(1{,}000x+0{,}000+0{,}000z)/y]$ $A_{nu}=(a-a_u)Y$ $C_{ABnu}=[A_{nu}^2+B_{nu}^2]^{1/2}$
$b=p_{bn}=n_b p_b=-1{,}0[(0{,}000x+0{,}000+1{,}000z)/y]$ $B_{nu}=(b-b_u)Y$ $h_{ABnu}=\text{atan}[B_{nu}/A_{nu}]$

DG690−3N

CIEF10-Normfarbwerte, Buntwerte und Farbarten (n_a=2,5, n_b=−1,0).
Normierte *Ostwald (O)*-Farbwerte (Y_w=100), geordnet nach Wellenlänge.

λ_n	*Y*	*n*-Farbart p_{an}	p_{bn}	p_{rn}	h_{abn}	*nu*-Farbart p_{anu}	p_{bnu}	p_{rnu}	h_{abnu}
00 380	25,78	5,13	−2,89	5,89	330	2,71	−2,08	3,42	322
01 455	6,61	4,96	−11,29	12,33	293	2,55	−10,48	10,78	283
02 460	9,49	3,49	−8,21	8,92	293	1,08	−7,40	7,48	278
03 462	11,32	2,93	−6,97	7,56	292	0,51	−6,16	6,18	274
04 464B	13,45	2,47	−5,92	6,42	292	0,06	−5,11	5,11	270
05 468	18,67	1,83	−4,31	4,68	293	−0,58	−3,50	3,54	260
06 471	25,21	1,46	−3,20	3,52	294	−0,95	−2,39	2,57	248
07 472	28,96	1,34	−2,79	3,10	295	−1,06	−1,98	2,25	241
08 475	37,06	1,23	−2,18	2,51	299	−1,18	−1,37	1,81	229
09 477	45,70	1,22	−1,77	2,15	304	−1,19	−0,96	1,53	218
10 477C	50,08	1,24	−1,61	2,04	307	−1,17	−0,80	1,42	214
11 479	58,60	1,30	−1,34	1,87	314	−1,11	−0,53	1,23	205
12 479	56,38	1,28	−1,42	1,91	312	−1,12	−0,61	1,28	208
13 484	56,72	1,12	−1,04	1,53	317	−1,28	−0,23	1,30	190
14 492	56,85	0,98	−0,64	1,17	326	−1,43	0,16	1,44	173
15 503	57,63	0,93	−0,39	1,01	336	−1,48	0,41	1,53	164
16 511G	58,68	0,95	−0,29	0,99	342	−1,46	0,51	1,55	160
17 521	60,88	1,00	−0,20	1,02	348	−1,40	0,60	1,53	156
18 532	65,12	1,14	−0,13	1,15	353	−1,27	0,67	1,43	152
19 545	74,21	1,47	−0,08	1,47	356	−0,94	0,72	1,18	142
20 563	93,38	2,23	−0,06	2,23	358	−0,17	0,74	0,76	103
21 564	90,50	2,30	−0,03	2,30	359	−0,11	0,77	0,78	98
22 565	88,67	2,35	−0,02	2,35	359	−0,06	0,78	0,78	94
23 566Y	86,54	2,40	−0,01	2,40	359	−0,00	0,79	0,79	90
24 568	81,32	2,55	−0,00	2,55	359	0,13	0,80	0,81	80
25 571	74,78	2,74	−0,00	2,74	359	0,32	0,80	0,86	68
26 573	71,03	2,85	−0,00	2,85	359	0,43	0,80	0,91	61
27 577	62,93	3,11	−0,00	3,11	359	0,69	0,80	1,06	49
28 581	54,29	3,42	−0,00	3,42	359	1,00	0,80	1,29	38
29 584R	49,91	3,59	−0,00	3,59	359	1,17	0,80	1,42	34
30 591	41,39	3,99	−0,05	3,99	359	1,57	0,75	1,74	25
31 588	43,61	3,87	−0,02	3,87	359	1,46	0,78	1,66	28
32 689	43,27	4,10	−0,50	4,13	353	1,69	0,30	1,71	10
33 697	43,14	4,30	−1,02	4,42	346	1,89	−0,21	1,90	353
34 708	42,36	4,43	−1,37	4,64	342	2,01	−0,56	2,09	344
35 716M	41,31	4,50	−1,54	4,76	341	2,08	−0,73	2,21	340
36 726	39,11	4,61	−1,74	4,93	339	2,19	−0,93	2,38	336
37 737	34,86	4,79	−2,06	5,21	336	2,37	−1,25	2,68	332
38 750	25,78	5,13	−2,89	5,89	330	2,71	−2,08	3,42	322
39 820	6,61	4,96	−11,29	12,33	293	2,55	−10,48	10,78	283
U=D50	**100,00**	**2,417**	**−0,810**	**2,549**	**341**	**0,0**	**0,0**	**0,0**	**0**

$a=p_{an}=n_a p_a=2{,}5[(1{,}000x+0{,}000+0{,}000z)/y]$ $A_{nu}=(a-a_u)Y$ $C_{ABnu}=[A_{nu}^2+B_{nu}^2]^{1/2}$
$b=p_{bn}=n_b p_b=-1{,}0[(0{,}000x+0{,}000+1{,}000z)/y]$ $B_{nu}=(b-b_u)Y$ $h_{ABnu}=\text{atan}[B_{nu}/A_{nu}]$

DG690−4N

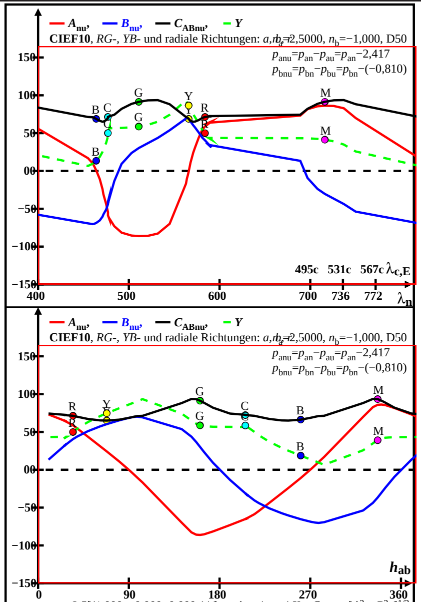

$a=p_{an}=n_a p_a=2{,}5[(1{,}000x+0{,}000+0{,}000z)/y]$ $A_{nu}=(a-a_u)Y$ $C_{ABnu}=[A_{nu}^2+B_{nu}^2]^{1/2}$
$b=p_{bn}=n_b p_b=-1{,}0[(0{,}000x+0{,}000+1{,}000z)/y]$ $B_{nu}=(b-b_u)Y$ $h_{ABnu}=\text{atan}[B_{nu}/A_{nu}]$

DG691−3N

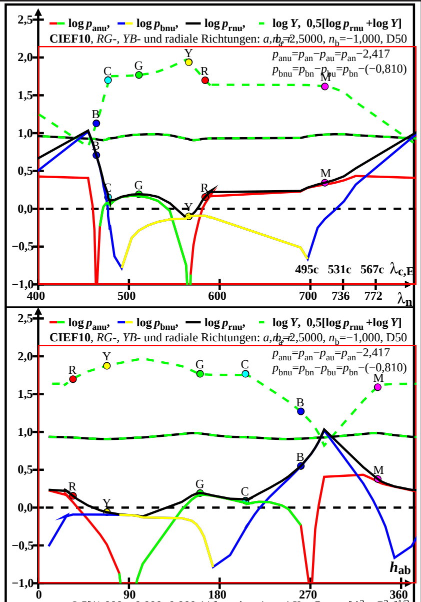

$a=p_{an}=n_a p_a=2{,}5[(1{,}000x+0{,}000+0{,}000z)/y]$ $A_{nu}=(a-a_u)Y$ $C_{ABnu}=[A_{nu}^2+B_{nu}^2]^{1/2}$
$b=p_{bn}=n_b p_b=-1{,}0[(0{,}000x+0{,}000+1{,}000z)/y]$ $B_{nu}=(b-b_u)Y$ $h_{ABnu}=\text{atan}[B_{nu}/A_{nu}]$

DG691−4N

CIEF10-Normfarbwerte, Buntwerte und Farbarten (n_a=2,5, n_b=−1,0).
Normierte *Ostwald (O)*-Farbwerte (Y_w=100), geordnet nach Bunttonwinkel.

λ_n	Normfarbwerte und -anteile *X*	*Y*	*Z*	*x*	*y*	*z*	*nu*-Buntwerte A_{nu}	B_{nu}	C_{ABnu}	h_{ABnu}
00 588	67,67	43,61	0,91	0,603	0,388	0,008	63,7	34,4	72,4	388
01 689	71,10	43,27	21,71	0,522	0,317	0,159	73,1	13,3	74,3	370
02 697	74,36	43,14	44,30	0,459	0,266	0,273	81,5	−9,3	82,1	353
03 708	75,16	42,36	58,08	0,428	0,241	0,330	85,4	−23,7	88,7	344
04 716	74,43	41,31	63,78	0,414	0,230	0,355	86,1	−30,3	91,3	340
05 726M	72,17	39,11	68,41	0,401	0,217	0,380	85,8	−36,7	93,3	336
06 737	66,83	34,86	71,99	0,384	0,200	0,414	82,8	−43,7	93,6	332
07 380	52,92	25,78	74,65	0,345	0,168	0,486	69,9	−53,7	88,2	322
08 455	13,14	6,61	74,65	0,139	0,070	0,790	16,8	−69,2	71,3	283
09 460	13,28	9,49	77,94	0,131	0,094	0,773	10,2	−70,2	71,0	278
10 462	13,30	11,32	78,97	0,128	0,109	0,762	5,8	−69,7	70,0	274
11 464	13,34	13,45	79,69	0,125	0,126	0,748	0,8	−68,7	68,7	270
12 468B	13,69	18,67	80,47	0,121	0,165	0,713	−10,9	−65,3	66,2	260
13 471	14,73	25,21	80,80	0,121	0,208	0,669	−24,1	−60,3	65,0	248
14 472	15,63	28,96	80,89	0,124	0,230	0,644	−30,9	−57,4	65,2	241
15 475	18,33	37,06	80,98	0,134	0,271	0,593	−43,7	−50,9	67,1	229
16 477	22,39	45,70	81,01	0,150	0,306	0,543	−54,5	−43,9	70,0	218
17 477	24,94	50,08	81,01	0,159	0,320	0,519	−58,7	−40,4	71,3	214
18 479C	30,58	58,60	78,68	0,182	0,349	0,468	−65,2	−31,2	72,3	205
19 479	29,07	56,38	80,12	0,175	0,340	0,483	−63,6	−34,4	72,3	208
20 484	25,63	56,72	59,32	0,180	0,400	0,418	−73,0	−13,3	74,2	190
21 492	22,37	56,85	36,73	0,192	0,490	0,316	−81,5	9,3	82,0	173
22 503	21,57	57,63	22,95	0,211	0,564	0,224	−85,4	23,7	88,6	164
23 511G	22,30	58,68	17,25	0,227	0,597	0,175	−86,1	30,2	91,2	160
24 521	24,56	60,88	12,62	0,250	0,620	0,128	−85,7	36,6	93,3	156
25 532	29,89	65,12	9,04	0,287	0,625	0,086	−82,7	43,7	93,5	152
26 545	43,82	74,21	6,37	0,352	0,596	0,051	−69,8	53,7	88,1	142
27 563	83,59	93,38	6,37	0,455	0,509	0,034	−16,8	69,2	71,2	103
28 564	83,45	90,50	3,08	0,471	0,511	0,017	−10,1	70,2	70,9	98
29 565	83,43	88,67	2,06	0,479	0,509	0,011	−5,8	69,7	70,0	94
30 566	83,39	86,54	1,34	0,486	0,505	0,007	−0,7	68,7	68,7	90
31 568	83,04	81,32	0,56	0,503	0,493	0,003	10,9	65,3	66,2	80
32 571Y	82,00	74,78	0,23	0,522	0,476	0,001	24,1	60,3	65,0	68
33 573	81,10	71,03	0,14	0,532	0,466	0,000	31,0	57,3	65,2	61
34 577	78,40	62,93	0,05	0,554	0,445	0,000	43,8	50,9	67,2	49
35 581	74,33	54,29	0,02	0,577	0,421	0,000	54,5	43,9	70,0	38
36 584R	71,79	49,91	0,01	0,589	0,410	0,000	58,8	40,4	71,3	34
37 591	66,15	41,39	2,33	0,602	0,376	0,021	65,3	31,1	72,3	25
38 588	67,67	43,61	0,91	0,603	0,388	0,008	63,7	34,4	72,4	28
39 689	71,10	43,27	21,71	0,522	0,317	0,159	73,1	13,3	74,3	10
U=D50	**96,74**	**100,00**	**81,03**	**0,348**	**0,360**	**0,360**	**0,0**	**0,0**	**0,0**	**0**

$a=p_{an}=n_a p_a=2{,}5[(1{,}000x+0{,}000+0{,}000z)/y]$ $A_{nu}=(a-a_u)Y$ $C_{ABnu}=[A_{nu}^2+B_{nu}^2]^{1/2}$
$b=p_{bn}=n_b p_b=-1{,}0[(0{,}000x+0{,}000+1{,}000z)/y]$ $B_{nu}=(b-b_u)Y$ $h_{ABnu}=\text{atan}[B_{nu}/A_{nu}]$

DG690−7N

CIEF10-Normfarbwerte, Buntwerte und Farbarten (n_a=2,5, n_b=−1,0).
Normierte *Ostwald (O)*-Farbwerte (Y_w=100), geordnet nach Bunttonwinkel.

λ_n	*Y*	*n*-Farbart p_{an}	p_{bn}	p_{rn}	h_{abn}	*nu*-Farbart p_{anu}	p_{bnu}	p_{rnu}	h_{abnu}
00 588	43,61	3,87	−0,02	3,87	359	1,46	0,78	1,66	388
01 689	43,27	4,10	−0,50	4,13	353	1,69	0,30	1,71	370
02 697	43,14	4,30	−1,02	4,42	346	1,89	−0,21	1,90	353
03 708	42,36	4,43	−1,37	4,64	342	2,01	−0,56	2,09	344
04 716	41,31	4,50	−1,54	4,76	341	2,08	−0,73	2,21	340
05 726M	39,11	4,61	−1,74	4,93	339	2,19	−0,93	2,38	336
06 737	34,86	4,79	−2,06	5,21	336	2,37	−1,25	2,68	332
07 380	25,78	5,13	−2,89	5,89	330	2,71	−2,08	3,42	322
08 455	6,61	4,96	−11,29	12,33	293	2,55	−10,48	10,78	283
09 460	9,49	3,49	−8,21	8,92	293	1,08	−7,40	7,48	278
10 462	11,32	2,93	−6,97	7,56	292	0,51	−6,16	6,18	274
11 464	13,45	2,47	−5,92	6,42	292	0,06	−5,11	5,11	270
12 468B	18,67	1,83	−4,31	4,68	293	−0,58	−3,50	3,54	260
13 471	25,21	1,46	−3,20	3,52	294	−0,95	−2,39	2,57	248
14 472	28,96	1,34	−2,79	3,10	295	−1,06	−1,98	2,25	241
15 475	37,06	1,23	−2,18	2,51	299	−1,18	−1,37	1,81	229
16 477	45,70	1,22	−1,77	2,15	304	−1,19	−0,96	1,53	218
17 477	50,08	1,24	−1,61	2,04	307	−1,17	−0,80	1,42	214
18 479C	58,60	1,30	−1,34	1,87	314	−1,11	−0,53	1,23	205
19 479	56,38	1,28	−1,42	1,91	312	−1,12	−0,61	1,28	208
20 484	56,72	1,12	−1,04	1,53	317	−1,28	−0,23	1,30	190
21 492	56,85	0,98	−0,64	1,17	326	−1,43	0,16	1,44	173
22 503	57,63	0,93	−0,39	1,01	336	−1,48	0,41	1,53	164
23 511G	58,68	0,95	−0,29	0,99	342	−1,46	0,51	1,55	160
24 521	60,88	1,00	−0,20	1,02	348	−1,40	0,60	1,53	156
25 532	65,12	1,14	−0,13	1,15	353	−1,27	0,67	1,43	152
26 545	74,21	1,47	−0,08	1,47	356	−0,94	0,72	1,18	142
27 563	93,38	2,23	−0,06	2,23	358	−0,17	0,74	0,76	103
28 564	90,50	2,30	−0,03	2,30	359	−0,11	0,77	0,78	98
29 565	88,67	2,35	−0,02	2,35	359	−0,06	0,78	0,78	94
30 566	86,54	2,40	−0,01	2,40	359	−0,00	0,79	0,79	90
31 568	81,32	2,55	−0,00	2,55	359	0,13	0,80	0,81	80
32 571Y	74,78	2,74	−0,00	2,74	359	0,32	0,80	0,86	68
33 573	71,03	2,85	−0,00	2,85	359	0,43	0,80	0,91	61
34 577	62,93	3,11	−0,00	3,11	359	0,69	0,80	1,06	49
35 581	54,29	3,42	−0,00	3,42	359	1,00	0,80	1,29	38
36 584R	49,91	3,59	−0,00	3,59	359	1,17	0,80	1,42	34
37 591	41,39	3,99	−0,05	3,99	0	1,57	0,75	1,74	25
38 588	43,61	3,87	−0,02	3,87	0	1,46	0,78	1,66	28
39 689	43,27	4,10	−0,50	4,13	−6	1,69	0,30	1,71	10
U=D50	**100,00**	**2,417**	**−0,810**	**2,549**	**341**	**0,0**	**0,0**	**0,0**	**0**

$a=p_{an}=n_a p_a=2{,}5[(1{,}000x+0{,}000+0{,}000z)/y]$ $A_{nu}=(a-a_u)Y$ $C_{ABnu}=[A_{nu}^2+B_{nu}^2]^{1/2}$
$b=p_{bn}=n_b p_b=-1{,}0[(0{,}000x+0{,}000+1{,}000z)/y]$ $B_{nu}=(b-b_u)Y$ $h_{ABnu}=\text{atan}[B_{nu}/A_{nu}]$

DG690−8N

DG690−7R_pchartl=0_xcolorl=3(CIEF10)

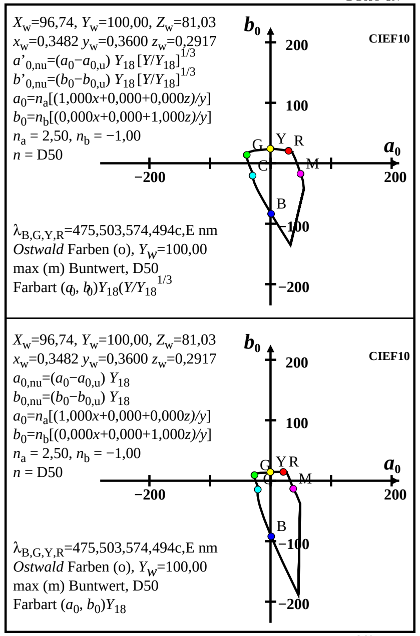

DG691−7N

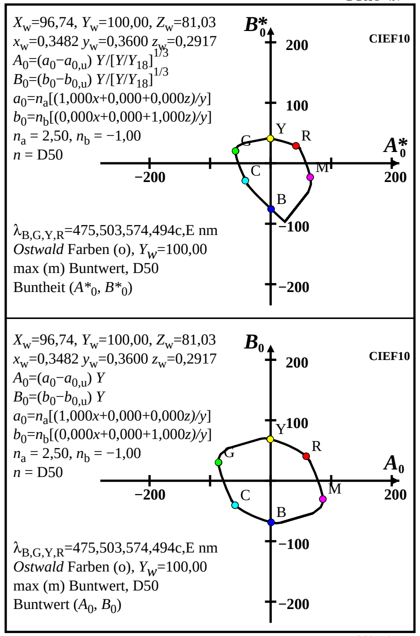

DG691−8N

DG691−7R_pchartl=0_xcolorl=3(CIEF10)

TUB-Registrierung: 20180801-DG69/DG69L0NP.PDF /.PS
Anwendung für Messung von Offsetdruck-Ausgabe

TUB-Material: Code=rha4ta

R17M-Normfarbwerte, Buntwerte und Farbarten (n_a=2,5, n_b=−1,0).
Normierte *Ostwald (O)*-Farbwerte (Y_w=100), geordnet nach Wellenlänge.

λ_n	Normfarbwerte und -anteile X	Y	Z	x	y	z	*nu*-Buntwerte A_{nu}	B_{nu}	C_{ABnu}	h_{ABnu}
00 373	50,84	23,58	64,46	0,366	0,169	0,464	71,6	−45,4	84,8	327
01 450	26,22	10,37	70,14	0,245	0,097	0,657	41,1	−61,7	74,2	303
02 463	19,81	9,03	72,37	0,195	0,089	0,715	28,3	−65,0	70,9	293
03 465	19,87	11,18	74,25	0,188	0,106	0,705	23,4	−65,2	69,2	289
04 470B	20,04	16,46	77,00	0,176	0,145	0,678	11,3	−63,6	64,7	280
05 474	20,76	23,15	78,71	0,169	0,188	0,641	−2,5	−60,0	60,0	267
06 477	22,69	31,32	79,75	0,169	0,234	0,596	−16,8	−54,4	56,9	252
07 479	24,27	35,77	80,07	0,173	0,255	0,571	−23,3	−51,1	56,2	245
08 481	28,86	45,22	80,48	0,186	0,292	0,520	−34,1	−43,9	55,6	232
09 482	30,21	48,30	79,14	0,191	0,306	0,501	−37,9	−40,1	55,2	226
10 487C	26,13	48,90	65,44	0,186	0,348	0,465	−49,5	−25,9	55,9	207
11 496	20,48	50,06	44,06	0,178	0,436	0,384	−66,4	−3,6	66,5	183
12 500	20,60	52,31	38,55	0,184	0,469	0,345	−71,4	3,7	71,5	177
13 509	19,40	53,50	28,42	0,191	0,528	0,280	−77,2	14,8	78,6	169
14 511	21,83	56,54	28,46	0,204	0,529	0,266	−78,2	17,2	80,1	167
15 518	24,65	60,36	24,01	0,226	0,553	0,220	−80,2	24,7	83,9	162
16 530G	29,99	65,40	16,35	0,268	0,585	0,146	−78,7	36,5	86,7	155
17 538	43,18	76,41	16,37	0,317	0,562	0,120	−71,6	45,3	84,7	147
18 553	67,80	89,62	10,69	0,403	0,533	0,063	−41,1	61,7	74,1	123
19 557	74,22	90,96	8,45	0,427	0,523	0,048	−28,2	65,0	70,9	113
20 558	74,15	88,81	6,58	0,437	0,523	0,038	−23,3	65,1	69,2	109
21 561	73,98	83,52	3,84	0,458	0,517	0,023	−11,3	63,6	64,6	100
22 565	73,26	76,83	2,11	0,481	0,504	0,013	2,5	59,9	60,0	87
23 570Y	71,33	68,67	1,09	0,505	0,486	0,007	16,9	54,4	56,9	72
24 572	69,75	64,22	0,76	0,517	0,476	0,005	23,4	51,1	56,2	65
25 578	65,16	54,77	0,35	0,541	0,455	0,002	34,1	43,9	55,6	52
26 581	63,81	51,69	1,69	0,544	0,441	0,014	38,0	40,0	55,2	46
27 600	67,89	51,09	15,38	0,505	0,380	0,114	49,6	25,9	56,0	27
28 705	73,42	47,68	42,28	0,449	0,291	0,258	71,4	−3,7	71,5	357
29 714R	74,62	46,49	52,41	0,430	0,267	0,302	77,2	−14,8	78,7	349
30 716	72,19	43,45	52,37	0,429	0,258	0,311	78,3	−17,2	80,2	347
31 723	69,37	39,63	56,82	0,418	0,238	0,342	80,2	−24,7	84,0	342
32 735	64,03	34,59	64,49	0,392	0,212	0,395	78,7	−36,5	86,8	335
33 743	50,84	23,58	64,46	0,366	0,169	0,464	71,6	−45,4	84,8	327
34 815	26,22	10,37	70,14	0,245	0,097	0,657	41,1	−61,7	74,2	303
U=D50	**94,03**	**100,00**	**80,83**	**0,342**	**0,363**	**0,363**	**0,0**	**0,0**	**0,0**	**0**

$a=p_{an}=n_a p_a=2{,}5[(1{,}000x+0{,}000+0{,}000z)/y]$ $A_{nu}=(a-a_u)\,Y$ $C_{ABnu}=[A_{nu}^2+B_{nu}^2]^{1/2}$
$b=p_{bn}=n_b p_b=-1{,}0[(0{,}000x+0{,}000+1{,}000z)/y]$ $B_{nu}=(b-b_u)\,Y$ $h_{ABnu}=\mathrm{atan}[B_{nu}/A_{nu}]$

DG690−3N

R17M-Normfarbwerte, Buntwerte und Farbarten (n_a=2,5, n_b=−1,0).
Normierte *Ostwald (O)*-Farbwerte (Y_w=100), geordnet nach Buntton-winkel.

λ_n	Normfarbwerte und -anteile X	Y	Z	x	y	z	*nu*-Buntwerte A_{nu}	B_{nu}	C_{ABnu}	h_{ABnu}
00 600	67,89	51,09	15,38	0,505	0,380	0,114	49,6	25,9	56,0	387
01 705	73,42	47,68	42,28	0,449	0,291	0,258	71,4	−3,7	71,5	357
02 714	74,62	46,49	52,41	0,430	0,267	0,302	77,2	−14,8	78,7	349
03 716	72,19	43,45	52,37	0,429	0,258	0,311	78,3	−17,2	80,2	347
04 723	69,37	39,63	56,82	0,418	0,238	0,342	80,2	−24,7	84,0	342
05 735M	64,03	34,59	64,49	0,392	0,212	0,395	78,7	−36,5	86,8	335
06 373	50,84	23,58	64,46	0,366	0,169	0,464	71,6	−45,4	84,8	327
07 450	26,22	10,37	70,14	0,245	0,097	0,657	41,1	−61,7	74,2	303
08 463	19,81	9,03	72,37	0,195	0,089	0,715	28,3	−65,0	70,9	293
09 465	19,87	11,18	74,25	0,188	0,106	0,705	23,4	−65,2	69,2	289
10 470	20,04	16,46	77,00	0,176	0,145	0,678	11,3	−63,6	64,7	280
11 474	20,76	23,15	78,71	0,169	0,188	0,641	−2,5	−60,0	60,0	267
12 477B	22,69	31,32	79,75	0,169	0,234	0,596	−16,8	−54,4	56,9	252
13 479	24,27	35,77	80,07	0,173	0,255	0,571	−23,3	−51,1	56,2	245
14 481	28,86	45,22	80,48	0,186	0,292	0,520	−34,1	−43,9	55,6	232
15 482	30,21	48,30	79,14	0,191	0,306	0,501	−37,9	−40,1	55,2	226
16 487	26,13	48,90	65,44	0,186	0,348	0,465	−49,5	−25,9	55,9	207
17 496	20,48	50,06	44,06	0,178	0,436	0,384	−66,4	−3,6	66,5	183
18 500C	20,60	52,31	38,55	0,184	0,469	0,345	−71,4	3,7	71,5	177
19 509	19,40	53,50	28,42	0,191	0,528	0,280	−77,2	14,8	78,6	169
20 511	21,83	56,54	28,46	0,204	0,529	0,266	−78,2	17,2	80,1	167
21 518	24,65	60,36	24,01	0,226	0,553	0,220	−80,2	24,7	83,9	162
22 530	29,99	65,40	16,35	0,268	0,585	0,146	−78,7	36,5	86,7	155
23 538G	43,18	76,41	16,37	0,317	0,562	0,120	−71,6	45,3	84,7	147
24 553	67,80	89,62	10,69	0,403	0,533	0,063	−41,1	61,7	74,1	123
25 557	74,22	90,96	8,45	0,427	0,523	0,048	−28,2	65,0	70,9	113
26 558	74,15	88,81	6,58	0,437	0,523	0,038	−23,3	65,1	69,2	109
27 561	73,98	83,52	3,84	0,458	0,517	0,023	−11,3	63,6	64,6	100
28 565	73,26	76,83	2,11	0,481	0,504	0,013	2,5	59,9	60,0	87
29 570	71,33	68,67	1,09	0,505	0,486	0,007	16,9	54,4	56,9	72
30 572	69,75	64,22	0,76	0,517	0,476	0,005	23,4	51,1	56,2	65
31 578	65,16	54,77	0,35	0,541	0,455	0,002	34,1	43,9	55,6	52
32 581Y	63,81	51,69	1,69	0,544	0,441	0,014	38,0	40,0	55,2	46
33 600	67,89	51,09	15,38	0,505	0,380	0,114	49,6	25,9	56,0	27
34 705	73,42	47,68	42,28	0,449	0,291	0,258	71,4	−3,7	71,5	−2
U=D50	**94,03**	**100,00**	**80,83**	**0,342**	**0,363**	**0,363**	**0,0**	**0,0**	**0,0**	**0**

$a=p_{an}=n_a p_a=2{,}5[(1{,}000x+0{,}000+0{,}000z)/y]$ $A_{nu}=(a-a_u)\,Y$ $C_{ABnu}=[A_{nu}^2+B_{nu}^2]^{1/2}$
$b=p_{bn}=n_b p_b=-1{,}0[(0{,}000x+0{,}000+1{,}000z)/y]$ $B_{nu}=(b-b_u)\,Y$ $h_{ABnu}=\mathrm{atan}[B_{nu}/A_{nu}]$

DG690−7N

DG690−7R_pchartl=0_xcolorl=4(R17M)

R17M-Normfarbwerte, Buntwerte und Farbarten (n_a=2,5, n_b=−1,0).
Normierte *Ostwald (O)*-Farbwerte (Y_w=100), geordnet nach Wellenlänge.

λ_n	*n*-Farbart Y	p_{an}	p_{bn}	p_{rn}	h_{abn}	*nu*-Farbart p_{anu}	p_{bnu}	p_{rnu}	h_{abnu}
00 373	23,58	5,39	−2,73	6,04	333	3,04	−1,92	3,59	327
01 450	10,37	6,32	−6,76	9,25	313	3,97	−5,95	7,15	303
02 463	9,03	5,48	−8,01	9,71	304	3,13	−7,20	7,85	293
03 465	11,18	4,44	−6,64	7,99	303	2,09	−5,83	6,19	289
04 470B	16,46	3,04	−4,67	5,57	303	0,69	−3,86	3,92	280
05 474	23,15	2,24	−3,40	4,07	303	−0,10	−2,59	2,59	267
06 477	31,32	1,81	−2,54	3,12	305	−0,53	−1,73	1,81	252
07 479	35,77	1,69	−2,23	2,80	307	−0,65	−1,43	1,57	245
08 481	45,22	1,59	−1,77	2,39	311	−0,75	−0,97	1,23	232
09 482	48,30	1,56	−1,63	2,26	313	−0,78	−0,83	1,14	226
10 487C	48,90	1,33	−1,33	1,89	314	−1,01	−0,53	1,14	207
11 496	50,06	1,02	−0,88	1,34	319	−1,32	−0,07	1,32	183
12 500	52,31	0,98	−0,73	1,22	323	−1,36	0,07	1,36	177
13 509	53,50	0,90	−0,53	1,05	329	−1,44	0,27	1,46	169
14 511	56,54	0,96	−0,50	1,08	332	−1,38	0,30	1,41	167
15 518	60,36	1,02	−0,39	1,09	338	−1,32	0,41	1,39	162
16 530G	65,40	1,14	−0,25	1,17	347	−1,20	0,55	1,32	155
17 538	76,41	1,41	−0,21	1,42	351	−0,93	0,59	1,10	147
18 553	89,62	1,89	−0,11	1,89	356	−0,45	0,68	0,82	123
19 557	90,96	2,03	−0,09	2,04	357	−0,31	0,71	0,77	113
20 558	88,81	2,08	−0,07	2,08	357	−0,26	0,73	0,77	109
21 561	83,52	2,21	−0,04	2,21	358	−0,13	0,76	0,77	100
22 565	76,83	2,38	−0,02	2,38	359	0,03	0,78	0,78	87
23 570Y	68,67	2,59	−0,01	2,59	359	0,24	0,79	0,82	72
24 572	64,22	2,71	−0,01	2,71	359	0,36	0,79	0,87	65
25 578	54,77	2,97	−0,00	2,97	359	0,62	0,80	1,01	52
26 581	51,69	3,08	−0,03	3,08	359	0,73	0,77	1,06	46
27 600	51,09	3,32	−0,30	3,33	354	0,97	0,50	1,09	27
28 705	47,68	3,84	−0,88	3,95	347	1,49	−0,07	1,50	357
29 714R	46,49	4,01	−1,12	4,16	344	1,66	−0,31	1,69	349
30 716	43,45	4,15	−1,20	4,32	343	1,80	−0,39	1,84	347
31 723	39,63	4,37	−1,43	4,60	341	2,02	−0,62	2,12	342
32 735	34,59	4,62	−1,86	4,98	338	2,27	−1,05	2,51	335
33 743	23,58	5,39	−2,73	6,04	333	3,04	−1,92	3,59	327
34 815	10,37	6,32	−6,76	9,25	313	3,97	−5,95	7,15	303
U=D50	**100,00**	**2,350**	**−0,808**	**2,485**	**341**	**0,0**	**0,0**	**0,0**	**0**

$a=p_{an}=n_a p_a=2{,}5[(1{,}000x+0{,}000+0{,}000z)/y]$ $A_{nu}=(a-a_u)\,Y$ $C_{ABnu}=[A_{nu}^2+B_{nu}^2]^{1/2}$
$b=p_{bn}=n_b p_b=-1{,}0[(0{,}000x+0{,}000+1{,}000z)/y]$ $B_{nu}=(b-b_u)\,Y$ $h_{ABnu}=\mathrm{atan}[B_{nu}/A_{nu}]$

DG690−4N

R17M-Normfarbwerte, Buntwerte und Farbarten (n_a=2,5, n_b=−1,0).
Normierte *Ostwald (O)*-Farbwerte (Y_w=100), geordnet nach Buntton-winkel.

λ_n	*n*-Farbart Y	p_{an}	p_{bn}	p_{rn}	h_{abn}	*nu*-Farbart p_{anu}	p_{bnu}	p_{rnu}	h_{abnu}
00 600	51,09	3,32	−0,30	3,33	354	0,97	0,50	1,09	387
01 705	47,68	3,84	−0,88	3,95	347	1,49	−0,07	1,50	357
02 714	46,49	4,01	−1,12	4,16	344	1,66	−0,31	1,69	349
03 716	43,45	4,15	−1,20	4,32	343	1,80	−0,39	1,84	347
04 723	39,63	4,37	−1,43	4,60	341	2,02	−0,62	2,12	342
05 735M	34,59	4,62	−1,86	4,98	338	2,27	−1,05	2,51	335
06 373	23,58	5,39	−2,73	6,04	333	3,04	−1,92	3,59	327
07 450	10,37	6,32	−6,76	9,25	313	3,97	−5,95	7,15	303
08 463	9,03	5,48	−8,01	9,71	304	3,13	−7,20	7,85	293
09 465	11,18	4,44	−6,64	7,99	303	2,09	−5,83	6,19	289
10 470	16,46	3,04	−4,67	5,57	303	0,69	−3,86	3,92	280
11 474	23,15	2,24	−3,40	4,07	303	−0,10	−2,59	2,59	267
12 477B	31,32	1,81	−2,54	3,12	305	−0,53	−1,73	1,81	252
13 479	35,77	1,69	−2,23	2,80	307	−0,65	−1,43	1,57	245
14 481	45,22	1,59	−1,77	2,39	311	−0,75	−0,97	1,23	232
15 482	48,30	1,56	−1,63	2,26	313	−0,78	−0,83	1,14	226
16 487	48,90	1,33	−1,33	1,89	314	−1,01	−0,53	1,14	207
17 496	50,06	1,02	−0,88	1,34	319	−1,32	−0,07	1,32	183
18 500C	52,31	0,98	−0,73	1,22	323	−1,36	0,07	1,36	177
19 509	53,50	0,90	−0,53	1,05	329	−1,44	0,27	1,46	169
20 511	56,54	0,96	−0,50	1,08	332	−1,38	0,30	1,41	167
21 518	60,36	1,02	−0,39	1,09	338	−1,32	0,41	1,39	162
22 530	65,40	1,14	−0,25	1,17	347	−1,20	0,55	1,32	155
23 538G	76,41	1,41	−0,21	1,42	351	−0,93	0,59	1,10	147
24 553	89,62	1,89	−0,11	1,89	356	−0,45	0,68	0,82	123
25 557	90,96	2,03	−0,09	2,04	357	−0,31	0,71	0,77	113
26 558	88,81	2,08	−0,07	2,08	357	−0,26	0,73	0,77	109
27 561	83,52	2,21	−0,04	2,21	358	−0,13	0,76	0,77	100
28 565	76,83	2,38	−0,02	2,38	359	0,03	0,78	0,78	87
29 570	68,67	2,59	−0,01	2,59	359	0,24	0,79	0,82	72
30 572	64,22	2,71	−0,01	2,71	359	0,36	0,79	0,87	65
31 578	54,77	2,97	−0,00	2,97	359	0,62	0,80	1,01	52
32 581Y	51,69	3,08	−0,03	3,08	0	0,73	0,77	1,06	46
33 600	51,09	3,32	−0,30	3,33	−5	0,97	0,50	1,09	27
34 705	47,68	3,84	−0,88	3,95	−12	1,49	−0,07	1,50	−2
U=D50	**100,00**	**2,350**	**−0,808**	**2,485**	**341**	**0,0**	**0,0**	**0,0**	**0**

$a=p_{an}=n_a p_a=2{,}5[(1{,}000x+0{,}000+0{,}000z)/y]$ $A_{nu}=(a-a_u)\,Y$ $C_{ABnu}=[A_{nu}^2+B_{nu}^2]^{1/2}$
$b=p_{bn}=n_b p_b=-1{,}0[(0{,}000x+0{,}000+1{,}000z)/y]$ $B_{nu}=(b-b_u)\,Y$ $h_{ABnu}=\mathrm{atan}[B_{nu}/A_{nu}]$

DG690−8N

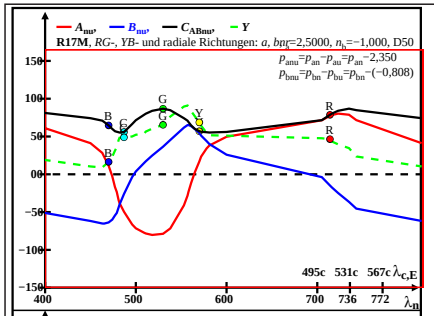

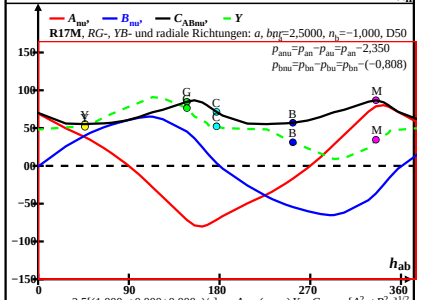

$a=p_{an}=n_a p_a=2{,}5[(1{,}000x+0{,}000+0{,}000z)/y]$ $A_{nu}=(a-a_u)\,Y$ $C_{ABnu}=[A_{nu}^2+B_{nu}^2]^{1/2}$
$b=p_{bn}=n_b p_b=-1{,}0[(0{,}000x+0{,}000+1{,}000z)/y]$ $B_{nu}=(b-b_u)\,Y$ $h_{ABnu}=\mathrm{atan}[B_{nu}/A_{nu}]$

DG691−3N

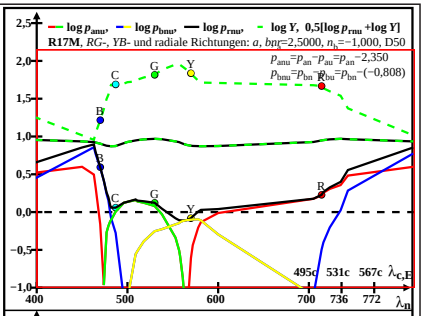

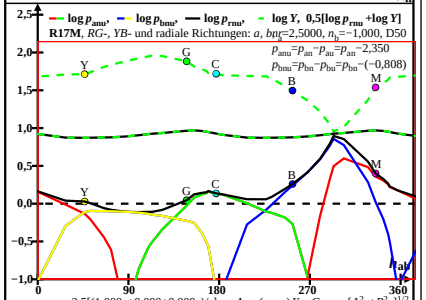

$a=p_{an}=n_a p_a=2{,}5[(1{,}000x+0{,}000+0{,}000z)/y]$ $A_{nu}=(a-a_u)\,Y$ $C_{ABnu}=[A_{nu}^2+B_{nu}^2]^{1/2}$
$b=p_{bn}=n_b p_b=-1{,}0[(0{,}000x+0{,}000+1{,}000z)/y]$ $B_{nu}=(b-b_u)\,Y$ $h_{ABnu}=\mathrm{atan}[B_{nu}/A_{nu}]$

DG691−4N

X_w=94,03, Y_w=100,00, Z_w=80,83
x_w=0,3420 y_w=0,3638 z_w=0,2941
$a'_{0,nu}=(a_0-a_{0,u})\,Y_{18}\,[Y/Y_{18}]^{1/3}$
$b'_{0,nu}=(b_0-b_{0,u})\,Y_{18}\,[Y/Y_{18}]^{1/3}$
$a_0=n_a[(1{,}000x+0{,}000+0{,}000z)/y]$
$b_0=n_b[(0{,}000x+0{,}000+1{,}000z)/y]$
n_a = 2,50, n_b = −1,00
n = D50

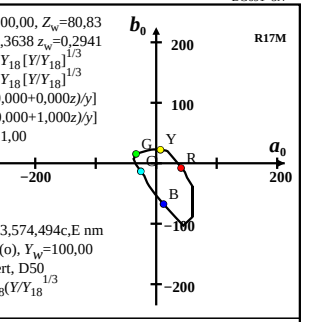

$\lambda_{B,G,Y,R}$=475,503,574,494c,E nm
Ostwald Farben (o), Y_w=100,00
max (m) Buntwert, D50
Farbart $(a_0, b_0)Y_{18}(Y/Y_{18}^{1/3}$

X_w=94,03, Y_w=100,00, Z_w=80,83
x_w=0,3420 y_w=0,3638 z_w=0,2941
$A_0=(a_0-a_{0,u})\,Y/[Y/Y_{18}]^{1/3}$
$B_0=(b_0-b_{0,u})\,Y/[Y/Y_{18}]^{1/3}$
$a_0=n_a[(1{,}000x+0{,}000+0{,}000z)/y]$
$b_0=n_b[(0{,}000x+0{,}000+1{,}000z)/y]$
n_a = 2,50, n_b = −1,00
n = D50

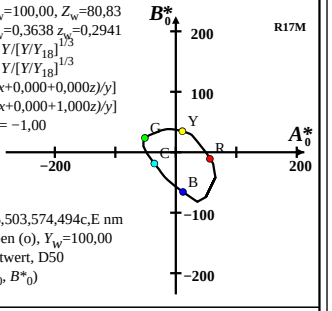

$\lambda_{B,G,Y,R}$=475,503,574,494c,E nm
Ostwald Farben (o), Y_w=100,00
max (m) Buntwert, D50
Buntheit (A^*_0, B^*_0)

X_w=94,03, Y_w=100,00, Z_w=80,83
x_w=0,3420 y_w=0,3638 z_w=0,2941
$a_{0,nu}=(a_0-a_{0,u})\,Y_{18}$
$b_{0,nu}=(b_0-b_{0,u})\,Y_{18}$
$a_0=n_a[(1{,}000x+0{,}000+0{,}000z)/y]$
$b_0=n_b[(0{,}000x+0{,}000+1{,}000z)/y]$
n_a = 2,50, n_b = −1,00
n = D50

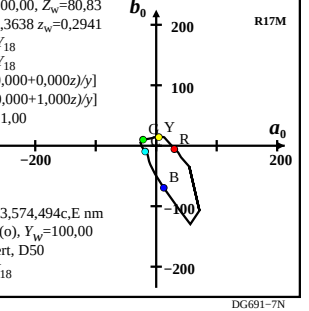

$\lambda_{B,G,Y,R}$=475,503,574,494c,E nm
Ostwald Farben (o), Y_w=100,00
max (m) Buntwert, D50
Farbart $(a_0, b_0)Y_{18}$

X_w=94,03, Y_w=100,00, Z_w=80,83
x_w=0,3420 y_w=0,3638 z_w=0,2941
$A_0=(a_0-a_{0,u})\,Y$
$B_0=(b_0-b_{0,u})\,Y$
$a_0=n_a[(1{,}000x+0{,}000+0{,}000z)/y]$
$b_0=n_b[(0{,}000x+0{,}000+1{,}000z)/y]$
n_a = 2,50, n_b = −1,00
n = D50

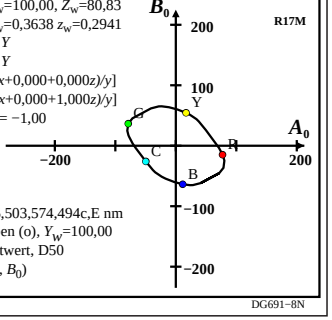

$\lambda_{B,G,Y,R}$=475,503,574,494c,E nm
Ostwald Farben (o), Y_w=100,00
max (m) Buntwert, D50
Buntwert (A_0, B_0)

DG691−7N

DG691−7R_pchartl=0_xcolorl=4(R17M)

DG691−8N

Siehe ähnliche Dateien: http://farbe.li.tu-berlin.de/DG69/DG69.HTM
Technische Information: http://farbe.li.tu-berlin.de oder http://130.149.60.45/~farbmetrik

TUB-Registrierung: 20180801-DG69/DG69L0NP.PDF /.PS
Anwendung für Messung von Offsetdruck-Ausgabe
TUB-Material: Code=rha4ta

R17Ms-Normfarbwerte, Buntwerte und Farbarten (n_a=2,5, n_b=−1,0).
Normierte *Ostwald (O)*-Farbwerte (Y_w=100), geordnet nach Wellenlänge.

		Normfarbwerte und -anteile						*nu*-Buntwerte			
	λ_n	X	Y	Z	x	y	z	A_{nu}	B_{nu}	C_{ABnu}	h_{ABnu}
00	375	52,09	25,14	67,62	0,359	0,173	0,466	71,3	−47,2	85,5	326
01	444	27,16	9,33	67,62	0,260	0,089	0,649	46,0	−60,0	75,6	307
02	463	21,19	9,55	72,48	0,205	0,092	0,702	30,5	−64,7	71,6	295
03	465	21,27	11,71	74,36	0,198	0,109	0,692	25,7	−64,8	69,7	291
04	470B	21,43	17,01	77,11	0,185	0,147	0,667	13,7	−63,3	64,8	282
05	474	22,09	23,68	78,83	0,177	0,190	0,632	−0,2	−59,6	59,6	269
06	476	22,83	27,59	79,42	0,175	0,212	0,611	−7,5	−57,0	57,5	262
07	479	25,44	36,25	80,19	0,179	0,255	0,565	−21,3	−50,8	55,1	247
08	480	27,41	40,88	80,43	0,184	0,274	0,540	−27,2	−47,3	54,6	240
09	481	29,88	45,66	80,60	0,191	0,292	0,516	−32,3	−43,6	54,3	233
10	482C	31,14	48,71	79,26	0,195	0,306	0,498	−36,3	−39,8	53,9	227
11	488	25,13	49,09	60,78	0,186	0,363	0,450	−52,2	−21,0	56,3	201
12	496	20,67	50,20	44,12	0,179	0,436	0,383	−65,9	−3,4	66,0	183
13	500	20,63	52,39	38,61	0,184	0,469	0,345	−71,2	3,7	71,3	176
14	505	20,59	54,04	33,36	0,190	0,500	0,308	−75,1	10,3	75,9	172
15	515	20,37	55,82	24,00	0,203	0,557	0,239	−79,8	21,1	82,6	165
16	522G	23,24	59,39	19,95	0,226	0,578	0,194	−81,1	28,1	85,8	160
17	530	29,26	65,19	16,37	0,264	0,588	0,147	−79,6	36,3	87,5	155
18	540	41,69	74,85	13,32	0,321	0,576	0,102	−71,2	47,2	85,4	146
19	552	66,62	90,66	13,33	0,390	0,531	0,078	−45,9	60,0	75,6	127
20	557	72,58	90,44	8,47	0,423	0,527	0,049	−30,5	64,7	71,5	115
21	558	72,51	88,28	6,59	0,433	0,527	0,039	−25,6	64,8	69,7	111
22	561	72,35	82,98	3,84	0,454	0,521	0,024	−13,6	63,3	64,7	102
23	565Y	71,69	76,31	2,11	0,477	0,508	0,014	0,3	59,6	59,6	89
24	567	70,94	72,40	1,53	0,489	0,499	0,010	7,6	57,0	57,5	82
25	572	68,33	63,74	0,76	0,514	0,479	0,005	21,4	50,8	55,1	67
26	575	66,36	59,11	0,52	0,526	0,469	0,004	27,3	47,3	54,6	59
27	578	63,90	54,33	0,35	0,538	0,458	0,002	32,4	43,6	54,3	53
28	581	62,64	51,28	1,69	0,541	0,443	0,014	36,4	39,8	53,9	47
29	614R	68,65	50,90	20,17	0,491	0,364	0,144	52,3	21,0	56,3	21
30	701	73,11	49,79	36,82	0,457	0,311	0,230	66,0	3,4	66,1	3
31	705	73,15	47,60	42,34	0,448	0,291	0,259	71,3	−3,8	71,4	356
32	710	73,19	45,95	47,59	0,438	0,275	0,285	75,2	−10,4	75,9	352
33	720	73,40	44,17	56,94	0,420	0,253	0,326	79,9	−21,1	82,7	345
34	727	70,53	40,59	61,00	0,409	0,235	0,354	81,1	−28,1	85,9	340
35	735M	64,51	34,79	64,58	0,393	0,212	0,394	79,7	−36,4	87,6	335
36	745	52,09	25,14	67,62	0,359	0,173	0,466	71,3	−47,2	85,5	326
37	809	27,16	9,33	67,62	0,260	0,089	0,649	46,0	−60,0	75,6	307
	U=D50	**93,78**	**100,00**	**80,94**	**0,341**	**0,363**	**0,363**	**0,0**	**0,0**	**0,0**	**0**

$a=p_{an}=n_a p_a=2{,}5[(1{,}000x+0{,}000+0{,}000z)/y]$ $A_{nu}=(a-a_u)\,Y$ $C_{ABnu}=[A_{nu}^2+B_{nu}^2]^{1/2}$
$b=p_{bn}=n_b p_b=-1{,}0[(0{,}000x+0{,}000+1{,}000z)/y]$ $B_{nu}=(b-b_u)\,Y$ $h_{ABnu}=\mathrm{atan}[B_{nu}/A_{nu}]$

DG690−3N

R17Ms-Normfarbwerte, Buntwerte und Farbarten (n_a=2,5, n_b=−1,0).
Normierte *Ostwald (O)*-Farbwerte (Y_w=100), geordnet nach Wellenlänge.

		n-Farbart					*nu*-Farbart			
	λ_n	Y	p_{an}	p_{bn}	p_{rn}	h_{abn}	p_{anu}	p_{bnu}	p_{rnu}	h_{abnu}
00	375	25,14	5,17	−2,69	5,83	332	2,83	−1,88	3,40	326
01	444	9,33	7,27	−7,24	10,27	315	4,93	−6,43	8,11	307
02	463	9,55	5,54	−7,58	9,40	306	3,20	−6,78	7,49	295
03	465	11,71	4,54	−6,35	7,80	305	2,19	−5,54	5,96	291
04	470B	17,01	3,14	−4,53	5,51	304	0,80	−3,72	3,81	282
05	474	23,68	2,33	−3,32	4,06	305	−0,01	−2,51	2,51	269
06	476	27,59	2,06	−2,87	3,54	305	−0,27	−2,06	2,08	262
07	479	36,25	1,75	−2,21	2,82	308	−0,58	−1,40	1,52	247
08	480	40,88	1,67	−1,96	2,58	310	−0,66	−1,15	1,33	240
09	481	45,66	1,63	−1,76	2,40	312	−0,70	−0,95	1,18	233
10	482C	48,71	1,59	−1,62	2,28	314	−0,74	−0,81	1,10	227
11	488	49,09	1,27	−1,23	1,78	315	−1,06	−0,42	1,14	201
12	496	50,20	1,02	−0,87	1,35	319	−1,31	−0,06	1,31	183
13	500	52,39	0,98	−0,73	1,22	323	−1,35	0,07	1,36	176
14	505	54,04	0,95	−0,61	1,13	327	−1,39	0,19	1,40	172
15	515	55,82	0,91	−0,42	1,00	334	−1,43	0,37	1,48	165
16	522G	59,39	0,97	−0,33	1,03	341	−1,36	0,47	1,44	160
17	530	65,19	1,12	−0,25	1,14	347	−1,22	0,55	1,34	155
18	540	74,85	1,39	−0,17	1,40	352	−0,95	0,63	1,14	146
19	552	90,66	1,83	−0,14	1,84	355	−0,50	0,66	0,83	127
20	557	90,44	2,00	−0,09	2,00	357	−0,33	0,71	0,79	115
21	558	88,28	2,05	−0,07	2,05	357	−0,29	0,73	0,79	111
22	561	82,98	2,17	−0,04	2,18	358	−0,16	0,76	0,78	102
23	565Y	76,31	2,34	−0,02	2,34	359	0,00	0,78	0,78	89
24	567	72,40	2,44	−0,02	2,45	359	0,10	0,78	0,79	82
25	572	63,74	2,68	−0,01	2,68	359	0,33	0,79	0,86	67
26	575	59,11	2,80	−0,00	2,80	359	0,46	0,80	0,92	59
27	578	54,33	2,94	−0,00	2,94	359	0,59	0,80	1,00	53
28	581	51,28	3,05	−0,03	3,05	359	0,70	0,77	1,05	47
29	614R	50,90	3,37	−0,39	3,39	353	1,02	0,41	1,10	21
30	701	49,79	3,67	−0,73	3,74	348	1,32	0,06	1,32	3
31	705	47,60	3,84	−0,88	3,94	346	1,49	−0,08	1,50	356
32	710	45,95	3,98	−1,03	4,11	345	1,63	−0,22	1,65	352
33	720	44,17	4,15	−1,28	4,34	342	1,81	−0,47	1,87	345
34	727	40,59	4,34	−1,50	4,59	340	1,99	−0,69	2,11	340
35	735M	34,79	4,63	−1,85	4,99	338	2,29	−1,04	2,52	335
36	745	25,14	5,17	−2,69	5,83	332	2,83	−1,88	3,40	326
37	809	9,33	7,27	−7,24	10,27	315	4,93	−6,43	8,11	307
	U=D50	**100,00**	**2,343**	**−0,809**	**2,479**	**340**	**0,0**	**0,0**	**0,0**	**0**

$a=p_{an}=n_a p_a=2{,}5[(1{,}000x+0{,}000+0{,}000z)/y]$ $A_{nu}=(a-a_u)\,Y$ $C_{ABnu}=[A_{nu}^2+B_{nu}^2]^{1/2}$
$b=p_{bn}=n_b p_b=-1{,}0[(0{,}000x+0{,}000+1{,}000z)/y]$ $B_{nu}=(b-b_u)\,Y$ $h_{ABnu}=\mathrm{atan}[B_{nu}/A_{nu}]$

DG690−4N

R17Ms-Normfarbwerte, Buntwerte und Farbarten (n_a=2,5, n_b=−1,0).
Normierte *Ostwald (O)*-Farbwerte (Y_w=100), geordnet nach Buntton winkel.

		Normfarbwerte und -anteile						*nu*-Buntwerte			
	λ_n	X	Y	Z	x	y	z	A_{nu}	B_{nu}	C_{ABnu}	h_{ABnu}
00	614	68,65	50,90	20,17	0,491	0,364	0,144	52,3	21,0	56,3	381
01	701	73,11	49,79	36,82	0,457	0,311	0,230	66,0	3,4	66,1	363
02	705	73,15	47,60	42,34	0,448	0,291	0,259	71,3	−3,8	71,4	356
03	710	73,19	45,95	47,59	0,438	0,275	0,285	75,2	−10,4	75,9	352
04	720	73,40	44,17	56,94	0,420	0,253	0,326	79,9	−21,1	82,7	345
05	727M	70,53	40,59	61,00	0,409	0,235	0,354	81,1	−28,1	85,9	340
06	735	64,51	34,79	64,58	0,393	0,212	0,394	79,7	−36,4	87,6	335
07	375	52,09	25,14	67,62	0,359	0,173	0,466	71,3	−47,2	85,5	326
08	444	27,16	9,33	67,62	0,260	0,089	0,649	46,0	−60,0	75,6	307
09	463	21,19	9,55	72,48	0,205	0,092	0,702	30,5	−64,7	71,6	295
10	465	21,27	11,71	74,36	0,198	0,109	0,692	25,7	−64,8	69,7	291
11	470	21,43	17,01	77,11	0,185	0,147	0,667	13,7	−63,3	64,8	282
12	474B	22,09	23,68	78,83	0,177	0,190	0,632	−0,2	−59,6	59,6	269
13	476	22,83	27,59	79,42	0,175	0,212	0,611	−7,5	−57,0	57,5	262
14	479	25,44	36,25	80,19	0,179	0,255	0,565	−21,3	−50,8	55,1	247
15	480	27,41	40,88	80,43	0,184	0,274	0,540	−27,2	−47,3	54,6	240
16	481	29,88	45,66	80,60	0,191	0,292	0,516	−32,3	−43,6	54,3	233
17	482	31,14	48,71	79,26	0,195	0,306	0,498	−36,3	−39,8	53,9	227
18	488C	25,13	49,09	60,78	0,186	0,363	0,450	−52,2	−21,0	56,3	201
19	496	20,67	50,20	44,12	0,179	0,436	0,383	−65,9	−3,4	66,0	183
20	500	20,63	52,39	38,61	0,184	0,469	0,345	−71,2	3,7	71,3	176
21	505	20,59	54,04	33,36	0,190	0,500	0,308	−75,1	10,3	75,9	172
22	515	20,37	55,82	24,00	0,203	0,557	0,239	−79,8	21,1	82,6	165
23	522G	23,24	59,39	19,95	0,226	0,578	0,194	−81,1	28,1	85,8	160
24	530	29,26	65,19	16,37	0,264	0,588	0,147	−79,6	36,3	87,5	155
25	540	41,69	74,85	13,32	0,321	0,576	0,102	−71,2	47,2	85,4	146
26	552	66,62	90,66	13,33	0,390	0,531	0,078	−45,9	60,0	75,6	127
27	557	72,58	90,44	8,47	0,423	0,527	0,049	−30,5	64,7	71,5	115
28	558	72,51	88,28	6,59	0,433	0,527	0,039	−25,6	64,8	69,7	111
29	561	72,35	82,98	3,84	0,454	0,521	0,024	−13,6	63,3	64,7	102
30	565	71,69	76,31	2,11	0,477	0,508	0,014	0,3	59,6	59,6	89
31	567	70,94	72,40	1,53	0,489	0,499	0,010	7,6	57,0	57,5	82
32	572Y	68,33	63,74	0,76	0,514	0,479	0,005	21,4	50,8	55,1	67
33	575	66,36	59,11	0,52	0,526	0,469	0,004	27,3	47,3	54,6	59
34	578	63,90	54,33	0,35	0,538	0,458	0,002	32,4	43,6	54,3	53
35	581	62,64	51,28	1,69	0,541	0,443	0,014	36,4	39,8	53,9	47
36	614R	68,65	50,90	20,17	0,491	0,364	0,144	52,3	21,0	56,3	21
37	701	73,11	49,79	36,82	0,457	0,311	0,230	66,0	3,4	66,1	3
	U=D50	**93,78**	**100,00**	**80,94**	**0,341**	**0,363**	**0,363**	**0,0**	**0,0**	**0,0**	**0**

$a=p_{an}=n_a p_a=2{,}5[(1{,}000x+0{,}000+0{,}000z)/y]$ $A_{nu}=(a-a_u)\,Y$ $C_{ABnu}=[A_{nu}^2+B_{nu}^2]^{1/2}$
$b=p_{bn}=n_b p_b=-1{,}0[(0{,}000x+0{,}000+1{,}000z)/y]$ $B_{nu}=(b-b_u)\,Y$ $h_{ABnu}=\mathrm{atan}[B_{nu}/A_{nu}]$

DG690−7N

R17Ms-Normfarbwerte, Buntwerte und Farbarten (n_a=2,5, n_b=−1,0).
Normierte *Ostwald (O)*-Farbwerte (Y_w=100), geordnet nach Buntton winkel.

		n-Farbart					*nu*-Farbart			
	λ_n	Y	p_{an}	p_{bn}	p_{rn}	h_{abn}	p_{anu}	p_{bnu}	p_{rnu}	h_{abnu}
00	614	50,90	3,37	−0,39	3,39	353	1,02	0,41	1,10	381
01	701	49,79	3,67	−0,73	3,74	348	1,32	0,06	1,32	363
02	705	47,60	3,84	−0,88	3,94	346	1,49	−0,08	1,50	356
03	710	45,95	3,98	−1,03	4,11	345	1,63	−0,22	1,65	352
04	720	44,17	4,15	−1,28	4,34	342	1,81	−0,47	1,87	345
05	727M	40,59	4,34	−1,50	4,59	340	1,99	−0,69	2,11	340
06	735	34,79	4,63	−1,85	4,99	338	2,29	−1,04	2,52	335
07	375	25,14	5,17	−2,69	5,83	332	2,83	−1,88	3,40	326
08	444	9,33	7,27	−7,24	10,27	315	4,93	−6,43	8,11	307
09	463	9,55	5,54	−7,58	9,40	306	3,20	−6,78	7,49	295
10	465	11,71	4,54	−6,35	7,80	305	2,19	−5,54	5,96	291
11	470	17,01	3,14	−4,53	5,51	304	0,80	−3,72	3,81	282
12	474B	23,68	2,33	−3,32	4,06	305	−0,01	−2,51	2,51	269
13	476	27,59	2,06	−2,87	3,54	305	−0,27	−2,06	2,08	262
14	479	36,25	1,75	−2,21	2,82	308	−0,58	−1,40	1,52	247
15	480	40,88	1,67	−1,96	2,58	310	−0,66	−1,15	1,33	240
16	481	45,66	1,63	−1,76	2,40	312	−0,70	−0,95	1,18	233
17	482	48,71	1,59	−1,62	2,28	314	−0,74	−0,81	1,10	227
18	488C	49,09	1,27	−1,23	1,78	315	−1,06	−0,42	1,14	201
19	496	50,20	1,02	−0,87	1,35	319	−1,31	−0,06	1,31	183
20	500	52,39	0,98	−0,73	1,22	323	−1,35	0,07	1,36	176
21	505	54,04	0,95	−0,61	1,13	327	−1,39	0,19	1,40	172
22	515	55,82	0,91	−0,42	1,00	334	−1,43	0,37	1,48	165
23	522G	59,39	0,97	−0,33	1,03	341	−1,36	0,47	1,44	160
24	530	65,19	1,12	−0,25	1,14	347	−1,22	0,55	1,34	155
25	540	74,85	1,39	−0,17	1,40	352	−0,95	0,63	1,14	146
26	552	90,66	1,83	−0,14	1,84	355	−0,50	0,66	0,83	127
27	557	90,44	2,00	−0,09	2,00	357	−0,33	0,71	0,79	115
28	558	88,28	2,05	−0,07	2,05	357	−0,29	0,73	0,79	111
29	561	82,98	2,17	−0,04	2,18	358	−0,16	0,76	0,78	102
30	565	76,31	2,34	−0,02	2,34	359	0,00	0,78	0,78	89
31	567	72,40	2,44	−0,02	2,45	359	0,10	0,78	0,79	82
32	572Y	63,74	2,68	−0,01	2,68	359	0,33	0,79	0,86	67
33	575	59,11	2,80	−0,00	2,80	359	0,46	0,80	0,92	59
34	578	54,33	2,94	−0,00	2,94	359	0,59	0,80	1,00	53
35	581	51,28	3,05	−0,03	3,05	0	0,70	0,77	1,05	47
36	614R	50,90	3,37	−0,39	3,39	−6	1,02	0,41	1,10	21
37	701	49,79	3,67	−0,73	3,74	−11	1,32	0,06	1,32	3
	U=D50	**100,00**	**2,343**	**−0,809**	**2,479**	**340**	**0,0**	**0,0**	**0,0**	**0**

$a=p_{an}=n_a p_a=2{,}5[(1{,}000x+0{,}000+0{,}000z)/y]$ $A_{nu}=(a-a_u)\,Y$ $C_{ABnu}=[A_{nu}^2+B_{nu}^2]^{1/2}$
$b=p_{bn}=n_b p_b=-1{,}0[(0{,}000x+0{,}000+1{,}000z)/y]$ $B_{nu}=(b-b_u)\,Y$ $h_{ABnu}=\mathrm{atan}[B_{nu}/A_{nu}]$

DG690−8N

DG690−7R_pchartl=0_xcolorl=5(R17Ms)

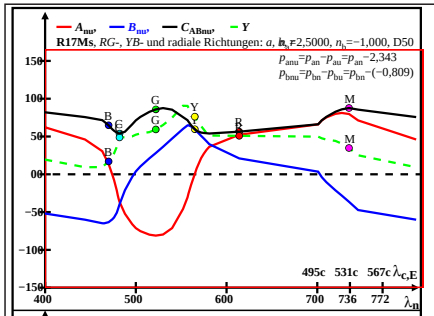

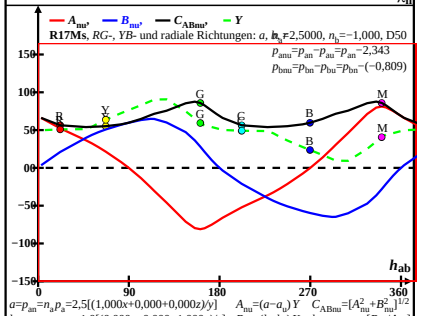

$a=p_{an}=n_a p_a=2{,}5[(1{,}000x+0{,}000+0{,}000z)/y]$ $A_{nu}=(a-a_u)\,Y$ $C_{ABnu}=[A_{nu}^2+B_{nu}^2]^{1/2}$
$b=p_{bn}=n_b p_b=-1{,}0[(0{,}000x+0{,}000+1{,}000z)/y]$ $B_{nu}=(b-b_u)\,Y$ $h_{ABnu}=\mathrm{atan}[B_{nu}/A_{nu}]$

DG691−3N

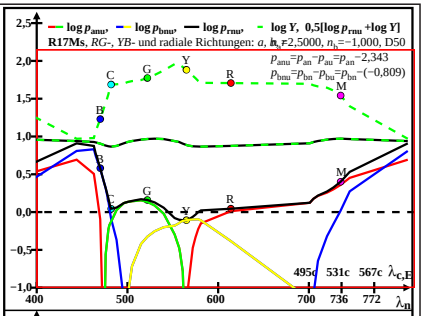

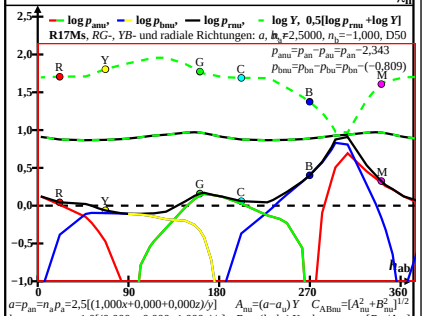

$a=p_{an}=n_a p_a=2{,}5[(1{,}000x+0{,}000+0{,}000z)/y]$ $A_{nu}=(a-a_u)\,Y$ $C_{ABnu}=[A_{nu}^2+B_{nu}^2]^{1/2}$
$b=p_{bn}=n_b p_b=-1{,}0[(0{,}000x+0{,}000+1{,}000z)/y]$ $B_{nu}=(b-b_u)\,Y$ $h_{ABnu}=\mathrm{atan}[B_{nu}/A_{nu}]$

DG691−4N

X_w=93,78, Y_w=100,00, Z_w=80,94
x_w=0,3413 y_w=0,3639 z_w=0,2946
$a'_{0,nu}=(a_0-a_{0,u})\,Y_{18}\,[Y/Y_{18}]^{1/3}$
$b'_{0,nu}=(b_0-b_{0,u})\,Y_{18}\,[Y/Y_{18}]^{1/3}$
$a_0=n_a[(1{,}000x+0{,}000+0{,}000z)/y]$
$b_0=n_b[(0{,}000x+0{,}000+1{,}000z)/y]$
n_a = 2,50, n_b = −1,00
n = D50

$\lambda_{B,G,Y,R}$=475,503,574,494c,E nm
Ostwald Farben (o), Y_w=100,00
max (m) Buntwert, D50
Farbart $(a_0, b_0)Y_{18}(Y/Y_{18}^{1/3}$

X_w=93,78, Y_w=100,00, Z_w=80,94
x_w=0,3413 y_w=0,3639 z_w=0,2946
$a_{0,nu}=(a_0-a_{0,u})\,Y_{18}$
$b_{0,nu}=(b_0-b_{0,u})\,Y_{18}$
$a_0=n_a[(1{,}000x+0{,}000+0{,}000z)/y]$
$b_0=n_b[(0{,}000x+0{,}000+1{,}000z)/y]$
n_a = 2,50, n_b = −1,00
n = D50

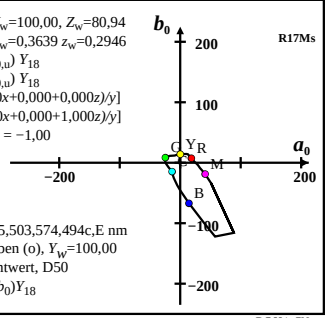

$\lambda_{B,G,Y,R}$=475,503,574,494c,E nm
Ostwald Farben (o), Y_w=100,00
max (m) Buntwert, D50
Farbart $(a_0, b_0)Y_{18}$

DG691−7N

X_w=93,78, Y_w=100,00, Z_w=80,94
x_w=0,3413 y_w=0,3639 z_w=0,2946
$A_0=(a_0-a_{0,u})\,Y/[Y/Y_{18}]^{1/3}$
$B_0=(b_0-b_{0,u})\,Y/[Y/Y_{18}]^{1/3}$
$a_0=n_a[(1{,}000x+0{,}000+0{,}000z)/y]$
$b_0=n_b[(0{,}000x+0{,}000+1{,}000z)/y]$
n_a = 2,50, n_b = −1,00
n = D50

$\lambda_{B,G,Y,R}$=475,503,574,494c,E nm
Ostwald Farben (o), Y_w=100,00
max (m) Buntwert, D50
Buntheit (A^*_0, B^*_0)

X_w=93,78, Y_w=100,00, Z_w=80,94
x_w=0,3413 y_w=0,3639 z_w=0,2946
$A_0=(a_0-a_{0,u})\,Y$
$B_0=(b_0-b_{0,u})\,Y$
$a_0=n_a[(1{,}000x+0{,}000+0{,}000z)/y]$
$b_0=n_b[(0{,}000x+0{,}000+1{,}000z)/y]$
n_a = 2,50, n_b = −1,00
n = D50

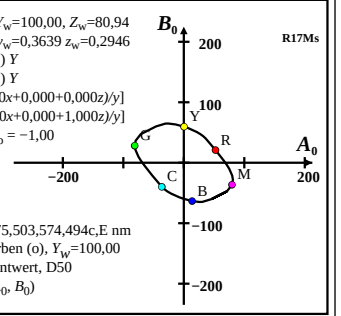

$\lambda_{B,G,Y,R}$=475,503,574,494c,E nm
Ostwald Farben (o), Y_w=100,00
max (m) Buntwert, D50
Buntwert (A_0, B_0)

DG691−8N

DG691−7R_pchartl=0_xcolorl=5(R17Ms)

Siehe ähnliche Dateien: http://farbe.li.tu-berlin.de/DG69/DG69.HTM
Technische Information: http://farbe.li.tu-berlin.de oder http://130.149.60.45/~farbmetrik

TUB-Registrierung: 20180801-DG69/DG69L0NP.PDF /.PS
Anwendung für Messung von Offsetdruck-Ausgabe

TUB-Material: Code=rha4ta

Siehe ähnliche Dateien: http://farbe.li.tu-berlin.de/DG69/DG69.HTM

Technische Information: http://farbe.li.tu-berlin.de oder http://130.149.60.45/~farbmetrik

CIE02-Normfarbwerte, Buntwerte und Farbarten (n_a=2,5, n_b=−1,0).
Normierte *Ostwald (O)*-Farbwerte (Y_w=100), geordnet nach Wellenlänge.

λ_n	Normfarbwerte und -anteile *X*	*Y*	*Z*	*x*	*y*	*z*	*nu*-Buntwerte A_{nu}	B_{nu}	C_{ABnu}	h_{ABnu}
00 396	31,24	12,19	76,69	0,260	0,101	0,638	11,9	−66,6	67,7	280
01 463	13,25	6,34	78,11	0,135	0,064	0,799	−16,3	−72,8	74,7	257
02 466	13,27	8,01	79,21	0,132	0,079	0,788	−19,5	−72,6	75,2	254
03 471	13,39	12,66	80,68	0,125	0,118	0,755	−27,5	−70,2	75,4	248
04 475B	14,00	19,21	81,44	0,122	0,167	0,710	−37,4	−65,6	75,5	240
05 479	15,61	27,50	81,85	0,124	0,220	0,655	−47,8	−59,2	76,1	231
06 481	18,42	36,66	82,05	0,134	0,267	0,598	−57,1	−51,9	77,2	222
07 483	20,35	41,45	82,11	0,141	0,288	0,570	−61,0	−48,0	77,7	218
08 484	22,64	46,29	82,14	0,149	0,306	0,543	−64,3	−44,0	77,9	214
09 485	25,29	51,06	82,16	0,159	0,322	0,518	−66,6	−40,1	77,8	211
10 486C	29,62	57,81	81,62	0,175	0,341	0,482	−68,5	−34,0	76,5	206
11 490	26,32	58,17	63,51	0,177	0,393	0,429	−68,2	−15,6	70,0	192
12 497	23,01	58,66	42,48	0,185	0,472	0,342	−66,9	5,7	67,1	175
13 501	22,62	59,57	35,18	0,192	0,507	0,299	−66,1	13,7	67,5	168
14 506	22,26	60,29	28,28	0,200	0,543	0,255	−65,0	21,2	68,4	161
15 519	21,83	61,02	17,06	0,218	0,610	0,170	−62,3	33,1	70,6	152
16 522G	24,04	63,42	17,06	0,230	0,606	0,163	−61,7	35,0	71,0	150
17 535	27,22	66,19	9,71	0,263	0,641	0,094	−56,5	44,7	72,1	141
18 544	35,20	72,16	7,33	0,306	0,629	0,063	−48,8	52,0	71,3	133
19 561	65,07	87,80	5,54	0,410	0,554	0,034	−11,8	66,6	67,7	100
20 568	83,05	93,65	4,13	0,459	0,517	0,022	16,3	72,8	74,6	77
21 569	83,03	91,98	3,02	0,466	0,516	0,016	19,5	72,6	75,2	74
22 571	82,92	87,33	1,55	0,482	0,508	0,009	27,5	70,2	75,4	68
23 573Y	82,30	80,76	0,80	0,502	0,492	0,004	37,4	65,6	75,5	60
24 577	80,69	72,49	0,38	0,525	0,472	0,002	47,8	59,2	76,1	51
25 581	77,87	63,33	0,18	0,550	0,447	0,001	57,1	51,8	77,2	42
26 583	75,96	58,54	0,13	0,564	0,434	0,000	61,1	48,0	77,7	38
27 585	73,67	53,70	0,09	0,577	0,421	0,000	64,3	44,0	77,9	34
28 587	71,01	48,93	0,07	0,591	0,407	0,000	66,7	40,1	77,8	31
29 592R	66,69	42,18	0,61	0,609	0,385	0,005	68,5	34,0	76,5	26
30 631	69,99	41,82	18,71	0,536	0,320	0,143	68,2	15,6	70,0	12
31 702	73,30	41,33	39,75	0,474	0,267	0,257	66,9	−5,7	67,2	355
32 706	73,69	40,41	47,04	0,457	0,250	0,291	66,1	−13,8	67,5	348
33 711	74,05	39,70	53,95	0,441	0,236	0,321	65,1	−21,3	68,5	341
34 724	74,48	38,97	65,18	0,416	0,218	0,364	62,4	−33,1	70,6	332
35 727M	72,26	36,57	65,17	0,415	0,210	0,374	61,7	−35,1	71,0	330
36 740	69,08	33,80	72,53	0,393	0,192	0,413	56,6	−44,7	72,1	321
37 749	61,10	27,83	74,91	0,372	0,169	0,457	48,8	−52,0	71,3	313
38 766	31,24	12,19	76,69	0,260	0,101	0,638	11,9	−66,6	67,7	280
39 828	13,25	6,34	78,11	0,135	0,064	0,799	−16,3	−72,8	74,7	257
U=D50	**96,31**	**99,99**	**82,24**	**0,345**	**0,358**	**0,358**	**0,0**	**0,0**	**0,0**	**0**

$a=p_{an}=n_a p_a=2{,}5[(1{,}000x-0{,}171+0{,}000z)/y]$ $A_{nu}=(a-a_u)Y$ $C_{ABnu}=[A_{nu}^2+B_{nu}^2]^{1/2}$

$b=p_{bn}=n_b p_b=-1{,}0[(0{,}000x+0{,}000+1{,}000z)/y]$ $B_{nu}=(b-b_u)Y$ $h_{ABnu}=\mathrm{atan}[B_{nu}/A_{nu}]$

DG690−3N

CIE02-Normfarbwerte, Buntwerte und Farbarten (n_a=2,5, n_b=−1,0).
Normierte *Ostwald (O)*-Farbwerte (Y_w=100), geordnet nach Wellenlänge.

λ_n	*Y*	*n*-Farbart p_{an}	p_{bn}	p_{rn}	h_{abn}	*nu*-Farbart p_{anu}	p_{bnu}	p_{rnu}	h_{abnu}
00 396	12,19	2,19	−6,29	6,66	289	0,97	−5,46	5,55	280
01 463	6,34	−1,36	−12,32	12,39	263	−2,57	−11,49	11,78	257
02 466	8,01	−1,22	−9,88	9,96	262	−2,43	−9,06	9,38	254
03 471	12,66	−0,95	−6,37	6,44	261	−2,17	−5,55	5,96	248
04 475B	19,21	−0,72	−4,23	4,29	260	−1,94	−3,41	3,93	240
05 479	27,50	−0,52	−2,97	3,02	260	−1,74	−2,15	2,76	231
06 481	36,66	−0,34	−2,23	2,26	261	−1,55	−1,41	2,10	222
07 483	41,45	−0,25	−1,98	1,99	262	−1,47	−1,15	1,87	218
08 484	46,29	−0,17	−1,77	1,78	264	−1,38	−0,95	1,68	214
09 485	51,06	−0,08	−1,60	1,61	266	−1,30	−0,78	1,52	211
10 486C	57,81	0,03	−1,41	1,41	271	−1,18	−0,58	1,32	206
11 490	58,17	0,04	−1,09	1,09	272	−1,17	−0,26	1,20	192
12 497	58,66	0,07	−0,72	0,72	275	−1,14	0,09	1,14	175
13 501	59,57	0,10	−0,59	0,60	280	−1,10	0,23	1,13	168
14 506	60,29	0,13	−0,46	0,48	286	−1,07	0,35	1,13	161
15 519	61,02	0,19	−0,27	0,34	304	−1,02	0,54	1,15	152
16 522G	63,42	0,24	−0,26	0,36	312	−0,97	0,55	1,11	150
17 535	66,19	0,36	−0,14	0,39	337	−0,85	0,67	1,08	141
18 544	72,16	0,54	−0,10	0,54	349	−0,67	0,72	0,98	133
19 561	87,80	1,08	−0,06	1,08	356	−0,13	0,75	0,77	100
20 568	93,65	1,39	−0,04	1,39	358	0,17	0,77	0,79	77
21 569	91,98	1,42	−0,03	1,42	358	0,21	0,78	0,81	74
22 571	87,33	1,53	−0,01	1,53	359	0,31	0,80	0,86	68
23 573Y	80,76	1,68	−0,00	1,68	359	0,46	0,81	0,93	60
24 577	72,49	1,87	−0,00	1,87	359	0,66	0,81	1,05	51
25 581	63,33	2,11	−0,00	2,11	359	0,90	0,81	1,21	42
26 583	58,54	2,26	−0,00	2,26	359	1,04	0,82	1,32	38
27 585	53,70	2,41	−0,00	2,41	359	1,19	0,82	1,45	34
28 587	48,93	2,58	−0,00	2,58	359	1,36	0,82	1,59	31
29 592R	42,18	2,84	−0,01	2,84	359	1,62	0,80	1,81	26
30 631	41,82	2,84	−0,44	2,88	351	1,63	0,37	1,67	12
31 702	41,33	2,83	−0,96	2,99	341	1,62	−0,13	1,62	355
32 706	40,41	2,85	−1,16	3,08	337	1,63	−0,34	1,67	348
33 711	39,70	2,85	−1,35	3,16	334	1,64	−0,53	1,72	341
34 724	38,97	2,81	−1,67	3,27	329	1,60	−0,85	1,81	332
35 727M	36,57	2,90	−1,78	3,40	328	1,68	−0,95	1,94	330
36 740	33,80	2,89	−2,14	3,60	323	1,67	−1,32	2,13	321
37 749	27,83	2,97	−2,69	4,00	317	1,75	−1,86	2,56	313
38 766	12,19	2,19	−6,29	6,66	289	0,97	−5,46	5,55	280
39 828	6,34	−1,36	−12,32	12,39	263	−2,57	−11,49	11,78	257
U=D50	**99,99**	**1,216**	**−0,822**	**1,468**	**325**	**0,0**	**0,0**	**0,0**	**0**

$a=p_{an}=n_a p_a=2{,}5[(1{,}000x-0{,}171+0{,}000z)/y]$ $A_{nu}=(a-a_u)Y$ $C_{ABnu}=[A_{nu}^2+B_{nu}^2]^{1/2}$

$b=p_{bn}=n_b p_b=-1{,}0[(0{,}000x+0{,}000+1{,}000z)/y]$ $B_{nu}=(b-b_u)Y$ $h_{ABnu}=\mathrm{atan}[B_{nu}/A_{nu}]$

DG690−4N

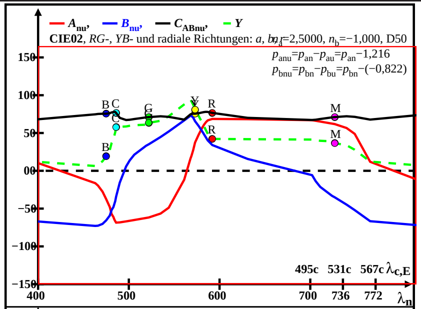

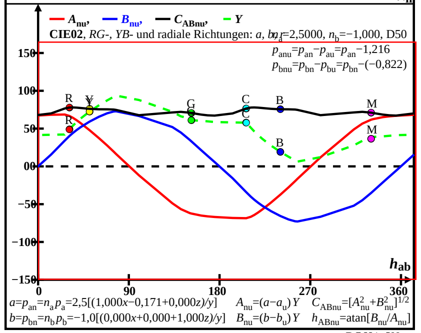

$a=p_{an}=n_a p_a=2{,}5[(1{,}000x-0{,}171+0{,}000z)/y]$ $A_{nu}=(a-a_u)Y$ $C_{ABnu}=[A_{nu}^2+B_{nu}^2]^{1/2}$

$b=p_{bn}=n_b p_b=-1{,}0[(0{,}000x+0{,}000+1{,}000z)/y]$ $B_{nu}=(b-b_u)Y$ $h_{ABnu}=\mathrm{atan}[B_{nu}/A_{nu}]$

DG691−3N

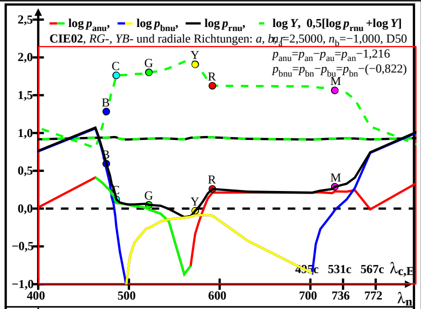

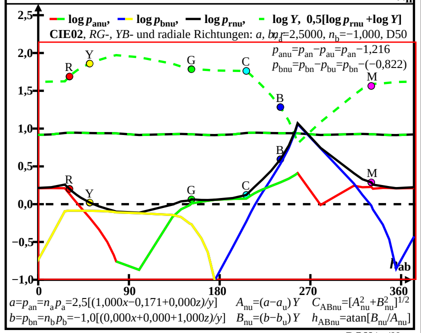

$a=p_{an}=n_a p_a=2{,}5[(1{,}000x-0{,}171+0{,}000z)/y]$ $A_{nu}=(a-a_u)Y$ $C_{ABnu}=[A_{nu}^2+B_{nu}^2]^{1/2}$

$b=p_{bn}=n_b p_b=-1{,}0[(0{,}000x+0{,}000+1{,}000z)/y]$ $B_{nu}=(b-b_u)Y$ $h_{ABnu}=\mathrm{atan}[B_{nu}/A_{nu}]$

DG691−4N

CIE02-Normfarbwerte, Buntwerte und Farbarten (n_a=2,5, n_b=−1,0).
Normierte *Ostwald (O)*-Farbwerte (Y_w=100), geordnet nach Bunttonwinkel.

λ_n	Normfarbwerte und -anteile *X*	*Y*	*Z*	*x*	*y*	*z*	*nu*-Buntwerte A_{nu}	B_{nu}	C_{ABnu}	h_{ABnu}
00 631	69,99	41,82	18,71	0,536	0,320	0,143	68,2	15,6	70,0	372
01 702	73,30	41,33	39,75	0,474	0,267	0,257	66,9	−5,7	67,2	355
02 706	73,69	40,41	47,04	0,457	0,250	0,291	66,1	−13,8	67,5	348
03 711	74,05	39,70	53,95	0,441	0,236	0,321	65,1	−21,3	68,5	341
04 724	74,48	38,97	65,18	0,416	0,218	0,364	62,4	−33,1	70,6	332
05 727M	72,26	36,57	65,17	0,415	0,210	0,374	61,7	−35,1	71,0	330
06 740	69,08	33,80	72,53	0,393	0,192	0,413	56,6	−44,7	72,1	321
07 749	61,10	27,83	74,91	0,372	0,169	0,457	48,8	−52,0	71,3	313
08 396	31,24	12,19	76,69	0,260	0,101	0,638	11,9	−66,6	67,7	280
09 463	13,25	6,34	78,11	0,135	0,064	0,799	−16,3	−72,8	74,7	257
10 466	13,27	8,01	79,21	0,132	0,079	0,788	−19,5	−72,6	75,2	254
11 471	13,39	12,66	80,68	0,125	0,118	0,755	−27,5	−70,2	75,4	248
12 475B	14,00	19,21	81,44	0,122	0,167	0,710	−37,4	−65,6	75,5	240
13 479	15,61	27,50	81,85	0,124	0,220	0,655	−47,8	−59,2	76,1	231
14 481	18,42	36,66	82,05	0,134	0,267	0,598	−57,1	−51,9	77,2	222
15 483	20,35	41,45	82,11	0,141	0,288	0,570	−61,0	−48,0	77,7	218
16 484	22,64	46,29	82,14	0,149	0,306	0,543	−64,3	−44,0	77,9	214
17 485	25,29	51,06	82,16	0,159	0,322	0,518	−66,6	−40,1	77,8	211
18 486C	29,62	57,81	81,62	0,175	0,341	0,482	−68,5	−34,0	76,5	206
19 490	26,32	58,17	63,51	0,177	0,393	0,429	−68,2	−15,6	70,0	192
20 497	23,01	58,66	42,48	0,185	0,472	0,342	−66,9	5,7	67,1	175
21 501	22,62	59,57	35,18	0,192	0,507	0,299	−66,1	13,7	67,5	168
22 506	22,26	60,29	28,28	0,200	0,543	0,255	−65,0	21,2	68,4	161
23 519G	21,83	61,02	17,06	0,218	0,610	0,170	−62,3	33,1	70,6	152
24 522	24,04	63,42	17,06	0,230	0,606	0,163	−61,7	35,0	71,0	150
25 535	27,22	66,19	9,71	0,263	0,641	0,094	−56,5	44,7	72,1	141
26 544	35,20	72,16	7,33	0,306	0,629	0,063	−48,8	52,0	71,3	133
27 561	65,07	87,80	5,54	0,410	0,554	0,034	−11,8	66,6	67,7	100
28 568	83,05	93,65	4,13	0,459	0,517	0,022	16,3	72,8	74,6	77
29 569	83,03	91,98	3,02	0,466	0,516	0,016	19,5	72,6	75,2	74
30 571	82,92	87,33	1,55	0,482	0,508	0,009	27,5	70,2	75,4	68
31 573	82,30	80,76	0,80	0,502	0,492	0,004	37,4	65,6	75,5	60
32 577Y	80,69	72,49	0,38	0,525	0,472	0,002	47,8	59,2	76,1	51
33 581	77,87	63,33	0,18	0,550	0,447	0,001	57,1	51,8	77,2	42
34 583	75,96	58,54	0,13	0,564	0,434	0,000	61,1	48,0	77,7	38
35 585	73,67	53,70	0,09	0,577	0,421	0,000	64,3	44,0	77,9	34
36 587R	71,01	48,93	0,07	0,591	0,407	0,000	66,7	40,1	77,8	31
37 592	66,69	42,18	0,61	0,609	0,385	0,005	68,5	34,0	76,5	26
38 631	69,99	41,82	18,71	0,536	0,320	0,143	68,2	15,6	70,0	12
39 702	73,30	41,33	39,75	0,474	0,267	0,257	66,9	−5,7	67,2	−4
U=D50	**96,31**	**99,99**	**82,24**	**0,345**	**0,358**	**0,358**	**0,0**	**0,0**	**0,0**	**0**

$a=p_{an}=n_a p_a=2{,}5[(1{,}000x-0{,}171+0{,}000z)/y]$ $A_{nu}=(a-a_u)Y$ $C_{ABnu}=[A_{nu}^2+B_{nu}^2]^{1/2}$

$b=p_{bn}=n_b p_b=-1{,}0[(0{,}000x+0{,}000+1{,}000z)/y]$ $B_{nu}=(b-b_u)Y$ $h_{ABnu}=\mathrm{atan}[B_{nu}/A_{nu}]$

DG690−7N

CIE02-Normfarbwerte, Buntwerte und Farbarten (n_a=2,5, n_b=−1,0).
Normierte *Ostwald (O)*-Farbwerte (Y_w=100), geordnet nach Bunttonwinkel.

λ_n	*Y*	*n*-Farbart p_{an}	p_{bn}	p_{rn}	h_{abn}	*nu*-Farbart p_{anu}	p_{bnu}	p_{rnu}	h_{abnu}
00 631	41,82	2,84	−0,44	2,88	351	1,63	0,37	1,67	372
01 702	41,33	2,83	−0,96	2,99	341	1,62	−0,13	1,62	355
02 706	40,41	2,85	−1,16	3,08	337	1,63	−0,34	1,67	348
03 711	39,70	2,85	−1,35	3,16	334	1,64	−0,53	1,72	341
04 724	38,97	2,81	−1,67	3,27	329	1,60	−0,85	1,81	332
05 727M	36,57	2,90	−1,78	3,40	328	1,68	−0,95	1,94	330
06 740	33,80	2,89	−2,14	3,60	323	1,67	−1,32	2,13	321
07 749	27,83	2,97	−2,69	4,00	317	1,75	−1,86	2,56	313
08 396	12,19	2,19	−6,29	6,66	289	0,97	−5,46	5,55	280
09 463	6,34	−1,36	−12,32	12,39	263	−2,57	−11,49	11,78	257
10 466	8,01	−1,22	−9,88	9,96	262	−2,43	−9,06	9,38	254
11 471	12,66	−0,95	−6,37	6,44	261	−2,17	−5,55	5,96	248
12 475B	19,21	−0,72	−4,23	4,29	260	−1,94	−3,41	3,93	240
13 479	27,50	−0,52	−2,97	3,02	260	−1,74	−2,15	2,76	231
14 481	36,66	−0,34	−2,23	2,26	261	−1,55	−1,41	2,10	222
15 483	41,45	−0,25	−1,98	1,99	262	−1,47	−1,15	1,87	218
16 484	46,29	−0,17	−1,77	1,78	264	−1,38	−0,95	1,68	214
17 485	51,06	−0,08	−1,60	1,61	266	−1,30	−0,78	1,52	211
18 486C	57,81	0,03	−1,41	1,41	271	−1,18	−0,58	1,32	206
19 490	58,17	0,04	−1,09	1,09	272	−1,17	−0,26	1,20	192
20 497	58,66	0,07	−0,72	0,72	275	−1,14	0,09	1,14	175
21 501	59,57	0,10	−0,59	0,60	280	−1,10	0,23	1,13	168
22 506	60,29	0,13	−0,46	0,48	286	−1,07	0,35	1,13	161
23 519G	61,02	0,19	−0,27	0,34	304	−1,02	0,54	1,15	152
24 522	63,42	0,24	−0,26	0,36	312	−0,97	0,55	1,11	150
25 535	66,19	0,36	−0,14	0,39	337	−0,85	0,67	1,08	141
26 544	72,16	0,54	−0,10	0,54	349	−0,67	0,72	0,98	133
27 561	87,80	1,08	−0,06	1,08	356	−0,13	0,75	0,77	100
28 568	93,65	1,39	−0,04	1,39	358	0,17	0,77	0,79	77
29 569	91,98	1,42	−0,03	1,42	358	0,21	0,78	0,81	74
30 571	87,33	1,53	−0,01	1,53	359	0,31	0,80	0,86	68
31 573	80,76	1,68	−0,00	1,68	359	0,46	0,81	0,93	60
32 577Y	72,49	1,87	−0,00	1,87	359	0,66	0,81	1,05	51
33 581	63,33	2,11	−0,00	2,11	359	0,90	0,81	1,21	42
34 583	58,54	2,26	−0,00	2,26	359	1,04	0,82	1,32	38
35 585	53,70	2,41	−0,00	2,41	359	1,19	0,82	1,45	34
36 587R	48,93	2,58	−0,00	2,58	359	1,36	0,82	1,59	31
37 592	42,18	2,84	−0,01	2,84	0	1,62	0,80	1,81	26
38 631	41,82	2,84	−0,44	2,88	−8	1,63	0,37	1,67	12
39 702	41,33	2,83	−0,96	2,99	−18	1,62	−0,13	1,62	−4
U=D50	**99,99**	**1,216**	**−0,822**	**1,468**	**325**	**0,0**	**0,0**	**0,0**	**0**

$a=p_{an}=n_a p_a=2{,}5[(1{,}000x-0{,}171+0{,}000z)/y]$ $A_{nu}=(a-a_u)Y$ $C_{ABnu}=[A_{nu}^2+B_{nu}^2]^{1/2}$

$b=p_{bn}=n_b p_b=-1{,}0[(0{,}000x+0{,}000+1{,}000z)/y]$ $B_{nu}=(b-b_u)Y$ $h_{ABnu}=\mathrm{atan}[B_{nu}/A_{nu}]$

DG690−8N

DG690−7R_pchartl=1_xcolorl=0(CIE02)

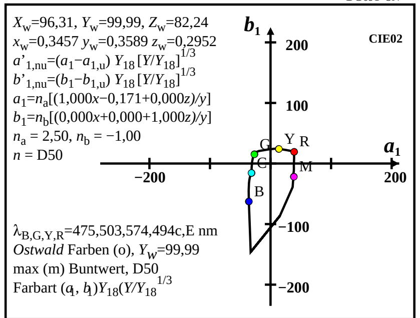

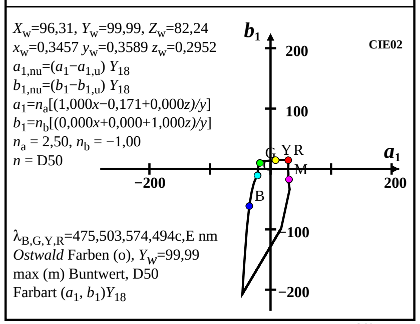

DG691−7N

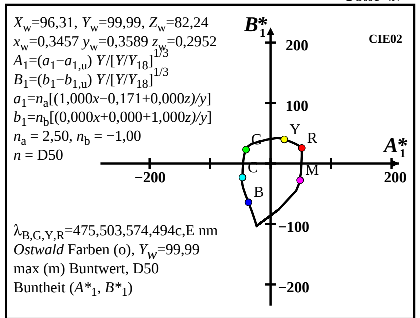

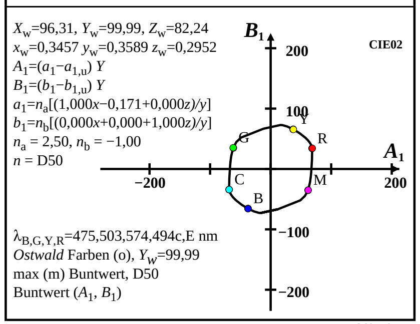

DG691−8N

DG691−7R_pchartl=1_xcolorl=0(CIE02)

TUB-Registrierung: 20180801-DG69/DG69L0NP.PDF /.PS

Anwendung für Messung von Offsetdruck-Ausgabe

TUB-Material: Code=rha4ta

CIE10-Normfarbwerte, Buntwerte und Farbarten (n_a=2,5, n_b=−1,0).
Normierte *Ostwald (O)*-Farbwerte (Y_w=100), geordnet nach Wellenlänge.

λ_n	Normfarbwerte und -anteile X	Y	Z	x	y	z	*nu*-Buntwerte A_{nu}	B_{nu}	C_{ABnu}	h_{ABnu}
00 376	55,24	26,06	71,08	0,362	0,171	0,466	40,9	−49,9	64,5	309
01 458	13,22	7,40	75,87	0,136	0,076	0,786	−17,2	−69,8	71,9	256
02 460	13,26	8,89	77,33	0,133	0,089	0,777	−20,3	−70,1	73,0	253
03 462	13,28	10,68	78,42	0,129	0,104	0,765	−23,6	−69,7	73,6	251
04 462B	13,28	10,68	78,42	0,129	0,104	0,765	−23,6	−69,7	73,6	251
05 468	13,66	17,92	80,19	0,122	0,160	0,717	−35,6	−65,6	74,7	241
06 471	14,70	24,41	80,73	0,122	0,203	0,673	−44,4	−60,9	75,4	233
07 473	15,60	28,17	80,89	0,125	0,225	0,648	−48,8	−58,0	75,8	229
08 475	18,32	36,37	81,08	0,134	0,267	0,597	−56,8	−51,5	76,7	222
09 477	22,35	45,10	81,16	0,150	0,303	0,546	−63,0	−44,5	77,1	215
10 477C	22,35	45,10	81,16	0,150	0,303	0,546	−63,0	−44,5	77,1	215
11 479	27,82	53,94	81,17	0,170	0,331	0,498	−66,3	−37,3	76,1	209
12 480	30,64	58,21	79,19	0,182	0,346	0,471	−66,7	−31,9	73,9	205
13 484	25,67	56,42	59,80	0,180	0,397	0,421	−65,7	−14,0	67,2	192
14 492	22,50	56,65	38,03	0,192	0,483	0,324	−63,4	7,9	63,8	172
15 503	21,56	57,40	24,28	0,208	0,555	0,235	−60,7	22,2	64,6	159
16 512G	22,19	58,45	18,53	0,223	0,589	0,186	−58,6	28,9	65,4	153
17 521	24,28	60,61	13,79	0,246	0,614	0,139	−55,9	35,3	66,1	147
18 531	29,00	64,47	10,07	0,280	0,622	0,097	−50,9	42,2	66,1	140
19 541	41,39	73,93	10,07	0,330	0,589	0,080	−40,9	49,9	64,5	129
20 563	83,41	92,59	5,28	0,460	0,510	0,029	17,3	69,8	71,9	76
21 564	83,37	91,09	3,82	0,467	0,510	0,021	20,3	70,0	73,0	73
22 565	83,35	89,31	2,74	0,475	0,509	0,015	23,7	69,7	73,6	71
23 565Y	83,35	89,31	2,74	0,475	0,509	0,015	23,7	69,7	73,6	71
24 568	82,96	82,07	0,96	0,499	0,494	0,005	35,6	65,6	74,7	61
25 571	81,93	75,58	0,44	0,518	0,478	0,002	44,5	60,8	75,4	53
26 573	81,03	71,82	0,27	0,529	0,469	0,001	48,9	58,0	75,8	49
27 577	78,31	63,62	0,08	0,551	0,447	0,000	56,9	51,5	76,8	42
28 581	74,28	54,89	0,01	0,575	0,424	0,000	63,0	44,5	77,2	35
29 581R	74,28	54,89	0,01	0,575	0,424	0,000	63,0	44,5	77,2	35
30 587	68,81	46,05	0,00	0,599	0,400	0,000	66,3	37,3	76,1	29
31 589	67,60	44,04	0,93	0,600	0,391	0,008	66,8	34,8	75,3	27
32 692	70,96	43,57	21,37	0,522	0,320	0,157	65,8	13,9	67,2	11
33 697	74,12	43,34	43,14	0,461	0,269	0,268	63,4	−7,9	63,9	352
34 708	75,07	42,59	56,88	0,430	0,244	0,325	60,7	−22,3	64,7	339
35 717M	74,44	41,54	62,63	0,416	0,232	0,350	58,7	−28,9	65,4	333
36 726	72,35	39,38	67,37	0,403	0,219	0,376	55,9	−35,4	66,2	327
37 736	67,62	35,52	71,08	0,388	0,203	0,408	50,9	−42,2	66,2	320
38 746	55,24	26,06	71,08	0,362	0,171	0,466	40,9	−49,9	64,5	309
39 823	13,22	7,40	75,87	0,136	0,076	0,786	−17,2	−69,8	71,9	256
U=D50	**96,63**	**100,00**	**81,17**	**0,347**	**0,359**	**0,359**	**0,0**	**0,0**	**0,0**	**0**

$a=p_{an}=n_a p_a=2{,}5[(1{,}000x-0{,}171+0{,}000z)/y]$ $A_{nu}=(a-a_u)\,Y$ $C_{ABnu}=[A_{nu}^2+B_{nu}^2]^{1/2}$
$b=p_{bn}=n_b p_b=-1{,}0[(0{,}000x+0{,}000+1{,}000z)/y]$ $B_{nu}=(b-b_u)\,Y$ $h_{ABnu}=\mathrm{atan}[B_{nu}/A_{nu}]$

DG690−3N

CIE10-Normfarbwerte, Buntwerte und Farbarten (n_a=2,5, n_b=−1,0).
Normierte *Ostwald (O)*-Farbwerte (Y_w=100), geordnet nach Wellenlänge.

λ_n	*n*-Farbart Y	p_{an}	p_{bn}	p_{rn}	h_{abn}	*nu*-Farbart p_{anu}	p_{bnu}	p_{rnu}	h_{abnu}
00 376	26,06	2,79	−2,72	3,90	315	1,57	−1,91	2,47	309
01 458	7,40	−1,10	−10,25	10,31	263	−2,33	−9,44	9,72	256
02 460	8,89	−1,05	−8,68	8,75	263	−2,28	−7,87	8,20	253
03 462	10,68	−0,98	−7,34	7,40	262	−2,21	−6,53	6,89	251
04 462B	10,68	−0,98	−7,34	7,40	262	−2,21	−6,53	6,89	251
05 468	17,92	−0,76	−4,47	4,53	260	−1,98	−3,66	4,16	241
06 471	24,41	−0,59	−3,30	3,36	259	−1,82	−2,49	3,08	233
07 473	28,17	−0,50	−2,87	2,91	259	−1,73	−2,06	2,69	229
08 475	36,37	−0,33	−2,22	2,25	261	−1,56	−1,41	2,11	222
09 477	45,10	−0,16	−1,79	1,80	264	−1,39	−0,98	1,71	215
10 477C	45,10	−0,16	−1,79	1,80	264	−1,39	−0,98	1,71	215
11 479	53,94	−0,00	−1,50	1,50	269	−1,22	−0,69	1,41	209
12 480	58,21	0,08	−1,36	1,36	273	−1,14	−0,54	1,27	205
13 484	56,42	0,06	−1,05	1,06	273	−1,16	−0,24	1,19	192
14 492	56,65	0,10	−0,67	0,68	279	−1,11	0,14	1,12	172
15 503	57,40	0,17	−0,42	0,45	291	−1,05	0,38	1,12	159
16 512G	58,45	0,22	−0,31	0,38	305	−1,00	0,49	1,11	153
17 521	60,61	0,30	−0,22	0,38	323	−0,92	0,58	1,09	147
18 531	64,47	0,43	−0,15	0,46	340	−0,78	0,65	1,02	140
19 541	73,93	0,67	−0,13	0,68	348	−0,55	0,67	0,87	129
20 563	92,59	1,41	−0,05	1,41	357	0,18	0,75	0,77	76
21 564	91,09	1,45	−0,04	1,45	358	0,22	0,76	0,80	73
22 565	89,31	1,49	−0,03	1,49	358	0,26	0,78	0,82	71
23 565Y	89,31	1,49	−0,03	1,49	358	0,26	0,78	0,82	71
24 568	82,07	1,66	−0,01	1,66	359	0,43	0,79	0,91	61
25 571	75,58	1,81	−0,00	1,81	359	0,58	0,80	0,99	53
26 573	71,82	1,90	−0,00	1,90	359	0,68	0,80	1,05	49
27 577	63,62	2,12	−0,00	2,12	359	0,89	0,81	1,20	42
28 581	54,89	2,37	−0,00	2,37	359	1,14	0,81	1,40	35
29 581R	54,89	2,37	−0,00	2,37	359	1,14	0,81	1,40	35
30 587	46,05	2,66	0,00	2,66	0	1,44	0,81	1,65	29
31 589	44,04	2,74	−0,02	2,74	359	1,51	0,79	1,71	27
32 692	43,57	2,73	−0,49	2,78	349	1,51	0,32	1,54	11
33 697	43,34	2,69	−0,99	2,86	339	1,46	−0,18	1,47	352
34 708	42,59	2,65	−1,33	2,97	333	1,42	−0,52	1,52	339
35 717M	41,54	2,64	−1,50	3,04	330	1,41	−0,69	1,57	333
36 726	39,38	2,64	−1,71	3,15	327	1,42	−0,89	1,68	327
37 736	35,52	2,66	−2,00	3,33	323	1,43	−1,18	1,86	320
38 746	26,06	2,79	−2,72	3,90	315	1,57	−1,91	2,47	309
39 823	7,40	−1,10	−10,25	10,31	263	−2,33	−9,44	9,72	256
U=D50	**100,00**	**1,227**	**−0,811**	**1,471**	**326**	**0,0**	**0,0**	**0,0**	**0**

$a=p_{an}=n_a p_a=2{,}5[(1{,}000x-0{,}171+0{,}000z)/y]$ $A_{nu}=(a-a_u)\,Y$ $C_{ABnu}=[A_{nu}^2+B_{nu}^2]^{1/2}$
$b=p_{bn}=n_b p_b=-1{,}0[(0{,}000x+0{,}000+1{,}000z)/y]$ $B_{nu}=(b-b_u)\,Y$ $h_{ABnu}=\mathrm{atan}[B_{nu}/A_{nu}]$

DG690−4N

CIE10-Normfarbwerte, Buntwerte und Farbarten (n_a=2,5, n_b=−1,0).
Normierte *Ostwald (O)*-Farbwerte (Y_w=100), geordnet nach Buntton winkel.

λ_n	Normfarbwerte und -anteile X	Y	Z	x	y	z	*nu*-Buntwerte A_{nu}	B_{nu}	C_{ABnu}	h_{ABnu}
00 692	70,96	43,57	21,37	0,522	0,320	0,157	65,8	13,9	67,2	371
01 697	74,12	43,34	43,14	0,461	0,269	0,268	63,4	−7,9	63,9	352
02 708	75,07	42,59	56,88	0,430	0,244	0,325	60,7	−22,3	64,7	339
03 717	74,44	41,54	62,63	0,416	0,232	0,350	58,7	−28,9	65,4	333
04 726	72,35	39,38	67,37	0,403	0,219	0,376	55,9	−35,4	66,2	327
05 736M	67,62	35,52	71,08	0,388	0,203	0,408	50,9	−42,2	66,2	320
06 376	55,24	26,06	71,08	0,362	0,171	0,466	40,9	−49,9	64,5	309
07 458	13,22	7,40	75,87	0,136	0,076	0,786	−17,2	−69,8	71,9	256
08 460	13,26	8,89	77,33	0,133	0,089	0,777	−20,3	−70,1	73,0	253
09 462	13,28	10,68	78,42	0,129	0,104	0,765	−23,6	−69,7	73,6	251
10 462	13,28	10,68	78,42	0,129	0,104	0,765	−23,6	−69,7	73,6	251
11 468	13,66	17,92	80,19	0,122	0,160	0,717	−35,6	−65,6	74,7	241
12 471B	14,70	24,41	80,73	0,122	0,203	0,673	−44,4	−60,9	75,4	233
13 473	15,60	28,17	80,89	0,125	0,225	0,648	−48,8	−58,0	75,8	229
14 475	18,32	36,37	81,08	0,134	0,267	0,597	−56,8	−51,5	76,7	222
15 477	22,35	45,10	81,16	0,150	0,303	0,546	−63,0	−44,5	77,1	215
16 477	22,35	45,10	81,16	0,150	0,303	0,546	−63,0	−44,5	77,1	215
17 479	27,82	53,94	81,17	0,170	0,331	0,498	−66,3	−37,3	76,1	209
18 480C	30,64	58,21	79,19	0,182	0,346	0,471	−66,7	−31,9	73,9	205
19 484	25,67	56,42	59,80	0,180	0,397	0,421	−65,7	−14,0	67,2	192
20 492	22,50	56,65	38,03	0,192	0,483	0,324	−63,4	7,9	63,8	172
21 503	21,56	57,40	24,28	0,208	0,555	0,235	−60,7	22,2	64,6	159
22 512	22,19	58,45	18,53	0,223	0,589	0,186	−58,6	28,9	65,4	153
23 521G	24,28	60,61	13,79	0,246	0,614	0,139	−55,9	35,3	66,1	147
24 531	29,00	64,47	10,07	0,280	0,622	0,097	−50,9	42,2	66,1	140
25 541	41,39	73,93	10,07	0,330	0,589	0,080	−40,9	49,9	64,5	129
26 563	83,41	92,59	5,28	0,460	0,510	0,029	17,3	69,8	71,9	76
27 564	83,37	91,09	3,82	0,467	0,510	0,021	20,3	70,0	73,0	73
28 565	83,35	89,31	2,74	0,475	0,509	0,015	23,7	69,7	73,6	71
29 565	83,35	89,31	2,74	0,475	0,509	0,015	23,7	69,7	73,6	71
30 568	82,96	82,07	0,96	0,499	0,494	0,005	35,6	65,6	74,7	61
31 571	81,93	75,58	0,44	0,518	0,478	0,002	44,5	60,8	75,4	53
32 573Y	81,03	71,82	0,27	0,529	0,469	0,001	48,9	58,0	75,8	49
33 577	78,31	63,62	0,08	0,551	0,447	0,000	56,9	51,5	76,8	42
34 581	74,28	54,89	0,01	0,575	0,424	0,000	63,0	44,5	77,2	35
35 581	74,28	54,89	0,01	0,575	0,424	0,000	63,0	44,5	77,2	35
36 587R	68,81	46,05	0,00	0,599	0,400	0,000	66,3	37,3	76,1	29
37 589	67,60	44,04	0,93	0,600	0,391	0,008	66,8	34,8	75,3	27
38 692	70,96	43,57	21,37	0,522	0,320	0,157	65,8	13,9	67,2	11
39 697	74,12	43,34	43,14	0,461	0,269	0,268	63,4	−7,9	63,9	−7
U=D50	**96,63**	**100,00**	**81,17**	**0,347**	**0,359**	**0,359**	**0,0**	**0,0**	**0,0**	**0**

$a=p_{an}=n_a p_a=2{,}5[(1{,}000x-0{,}171+0{,}000z)/y]$ $A_{nu}=(a-a_u)\,Y$ $C_{ABnu}=[A_{nu}^2+B_{nu}^2]^{1/2}$
$b=p_{bn}=n_b p_b=-1{,}0[(0{,}000x+0{,}000+1{,}000z)/y]$ $B_{nu}=(b-b_u)\,Y$ $h_{ABnu}=\mathrm{atan}[B_{nu}/A_{nu}]$

DG690−7N

CIE10-Normfarbwerte, Buntwerte und Farbarten (n_a=2,5, n_b=−1,0).
Normierte *Ostwald (O)*-Farbwerte (Y_w=100), geordnet nach Buntton winkel.

λ_n	*n*-Farbart Y	p_{an}	p_{bn}	p_{rn}	h_{abn}	*nu*-Farbart p_{anu}	p_{bnu}	p_{rnu}	h_{abnu}
00 692	43,57	2,73	−0,49	2,78	349	1,51	0,32	1,54	371
01 697	43,34	2,69	−0,99	2,86	339	1,46	−0,18	1,47	352
02 708	42,59	2,65	−1,33	2,97	333	1,42	−0,52	1,52	339
03 717	41,54	2,64	−1,50	3,04	330	1,41	−0,69	1,57	333
04 726	39,38	2,64	−1,71	3,15	327	1,42	−0,89	1,68	327
05 736M	35,52	2,66	−2,00	3,33	323	1,43	−1,18	1,86	320
06 376	26,06	2,79	−2,72	3,90	315	1,57	−1,91	2,47	309
07 458	7,40	−1,10	−10,25	10,31	263	−2,33	−9,44	9,72	256
08 460	8,89	−1,05	−8,68	8,75	263	−2,28	−7,87	8,20	253
09 462	10,68	−0,98	−7,34	7,40	262	−2,21	−6,53	6,89	251
10 462	10,68	−0,98	−7,34	7,40	262	−2,21	−6,53	6,89	251
11 468	17,92	−0,76	−4,47	4,53	260	−1,98	−3,66	4,16	241
12 471B	24,41	−0,59	−3,30	3,36	259	−1,82	−2,49	3,08	233
13 473	28,17	−0,50	−2,87	2,91	259	−1,73	−2,06	2,69	229
14 475	36,37	−0,33	−2,22	2,25	261	−1,56	−1,41	2,11	222
15 477	45,10	−0,16	−1,79	1,80	264	−1,39	−0,98	1,71	215
16 477	45,10	−0,16	−1,79	1,80	264	−1,39	−0,98	1,71	215
17 479	53,94	−0,00	−1,50	1,50	269	−1,22	−0,69	1,41	209
18 480C	58,21	0,08	−1,36	1,36	273	−1,14	−0,54	1,27	205
19 484	56,42	0,06	−1,05	1,06	273	−1,16	−0,24	1,19	192
20 492	56,65	0,10	−0,67	0,68	279	−1,11	0,14	1,12	172
21 503	57,40	0,17	−0,42	0,45	291	−1,05	0,38	1,12	159
22 512	58,45	0,22	−0,31	0,38	305	−1,00	0,49	1,11	153
23 521G	60,61	0,30	−0,22	0,38	323	−0,92	0,58	1,09	147
24 531	64,47	0,43	−0,15	0,46	340	−0,78	0,65	1,02	140
25 541	73,93	0,67	−0,13	0,68	348	−0,55	0,67	0,87	129
26 563	92,59	1,41	−0,05	1,41	357	0,18	0,75	0,77	76
27 564	91,09	1,45	−0,04	1,45	358	0,22	0,76	0,80	73
28 565	89,31	1,49	−0,03	1,49	358	0,26	0,78	0,82	71
29 565	89,31	1,49	−0,03	1,49	358	0,26	0,78	0,82	71
30 568	82,07	1,66	−0,01	1,66	359	0,43	0,79	0,91	61
31 571	75,58	1,81	−0,00	1,81	359	0,58	0,80	0,99	53
32 573Y	71,82	1,90	−0,00	1,90	359	0,68	0,80	1,05	49
33 577	63,62	2,12	−0,00	2,12	359	0,89	0,81	1,20	42
34 581	54,89	2,37	−0,00	2,37	359	1,14	0,81	1,40	35
35 581	54,89	2,37	−0,00	2,37	359	1,14	0,81	1,40	35
36 587R	46,05	2,66	0,00	2,66	0	1,44	0,81	1,65	29
37 589	44,04	2,74	−0,02	2,74	0	1,51	0,79	1,71	27
38 692	43,57	2,73	−0,49	2,78	−10	1,51	0,32	1,54	11
39 697	43,34	2,69	−0,99	2,86	−20	1,46	−0,18	1,47	−7
U=D50	**100,00**	**1,227**	**−0,811**	**1,471**	**326**	**0,0**	**0,0**	**0,0**	**0**

$a=p_{an}=n_a p_a=2{,}5[(1{,}000x-0{,}171+0{,}000z)/y]$ $A_{nu}=(a-a_u)\,Y$ $C_{ABnu}=[A_{nu}^2+B_{nu}^2]^{1/2}$
$b=p_{bn}=n_b p_b=-1{,}0[(0{,}000x+0{,}000+1{,}000z)/y]$ $B_{nu}=(b-b_u)\,Y$ $h_{ABnu}=\mathrm{atan}[B_{nu}/A_{nu}]$

DG690−8N

DG690−7R_pchartl=1_xcolorl=1(CIE10)

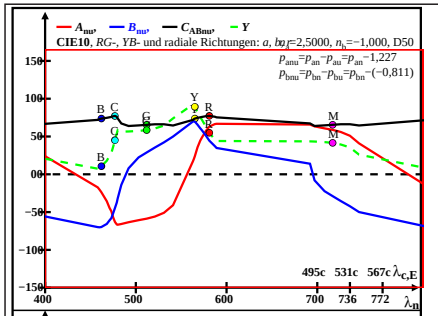

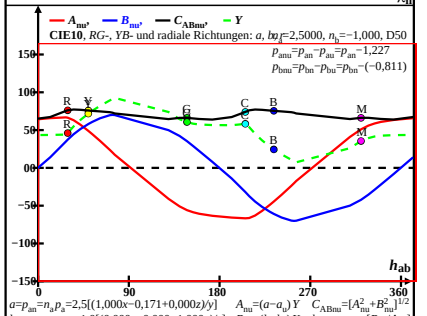

$a=p_{an}=n_a p_a=2{,}5[(1{,}000x-0{,}171+0{,}000z)/y]$ $A_{nu}=(a-a_u)\,Y$ $C_{ABnu}=[A_{nu}^2+B_{nu}^2]^{1/2}$
$b=p_{bn}=n_b p_b=-1{,}0[(0{,}000x+0{,}000+1{,}000z)/y]$ $B_{nu}=(b-b_u)\,Y$ $h_{ABnu}=\mathrm{atan}[B_{nu}/A_{nu}]$

DG691−3N

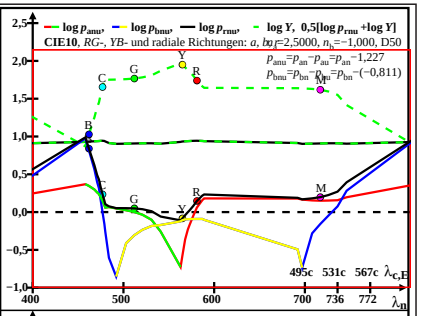

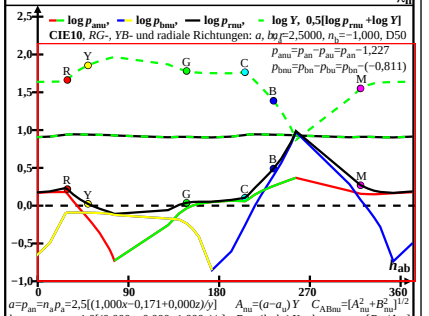

$a=p_{an}=n_a p_a=2{,}5[(1{,}000x-0{,}171+0{,}000z)/y]$ $A_{nu}=(a-a_u)\,Y$ $C_{ABnu}=[A_{nu}^2+B_{nu}^2]^{1/2}$
$b=p_{bn}=n_b p_b=-1{,}0[(0{,}000x+0{,}000+1{,}000z)/y]$ $B_{nu}=(b-b_u)\,Y$ $h_{ABnu}=\mathrm{atan}[B_{nu}/A_{nu}]$

DG691−4N

X_w=96,63, Y_w=100,00, Z_w=81,17
x_w=0,3478 y_w=0,3599 z_w=0,2921
$a'_{1,nu}=(a_1-a_{1,u})\,Y_{18}\,[Y/Y_{18}]^{1/3}$
$b'_{1,nu}=(b_1-b_{1,u})\,Y_{18}\,[Y/Y_{18}]^{1/3}$
$a_1=n_a[(1{,}000x-0{,}171+0{,}000z)/y]$
$b_1=n_b[(0{,}000x+0{,}000+1{,}000z)/y]$
n_a = 2,50, n_b = −1,00
n = D50

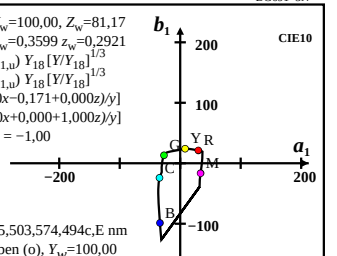

$\lambda_{B,G,Y,R}$=475,503,574,494c,E nm
Ostwald Farben (o), Y_w=100,00
max (m) Buntwert, D50
Farbart $(a_{1,10}, b_{1,10})Y_{18}(Y/Y_{18}^{1/3}$

X_w=96,63, Y_w=100,00, Z_w=81,17
x_w=0,3478 y_w=0,3599 z_w=0,2921
$a_{1,nu}=(a_1-a_{1,u})\,Y_{18}$
$b_{1,nu}=(b_1-b_{1,u})\,Y_{18}$
$a_1=n_a[(1{,}000x-0{,}171+0{,}000z)/y]$
$b_1=n_b[(0{,}000x+0{,}000+1{,}000z)/y]$
n_a = 2,50, n_b = −1,00
n = D50

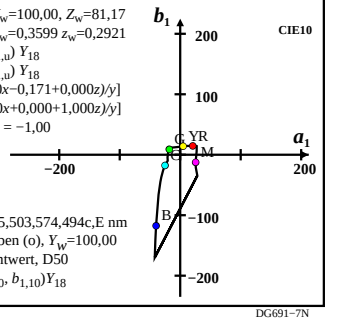

$\lambda_{B,G,Y,R}$=475,503,574,494c,E nm
Ostwald Farben (o), Y_w=100,00
max (m) Buntwert, D50
Farbart $(a_{1,10}, b_{1,10})Y_{18}$

DG691−7N

X_w=96,63, Y_w=100,00, Z_w=81,17
x_w=0,3478 y_w=0,3599 z_w=0,2921
$A_1=(a_1-a_{1,u})\,Y/[Y/Y_{18}]^{1/3}$
$B_1=(b_1-b_{1,u})\,Y/[Y/Y_{18}]^{1/3}$
$a_1=n_a[(1{,}000x-0{,}171+0{,}000z)/y]$
$b_1=n_b[(0{,}000x+0{,}000+1{,}000z)/y]$
n_a = 2,50, n_b = −1,00
n = D50

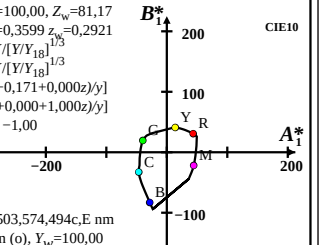

$\lambda_{B,G,Y,R}$=475,503,574,494c,E nm
Ostwald Farben (o), Y_w=100,00
max (m) Buntwert, D50
Buntheit $(A^*_{1,10}, B^*_{1,10})$

X_w=96,63, Y_w=100,00, Z_w=81,17
x_w=0,3478 y_w=0,3599 z_w=0,2921
$A_1=(a_1-a_{1,u})\,Y$
$B_1=(b_1-b_{1,u})\,Y$
$a_1=n_a[(1{,}000x-0{,}171+0{,}000z)/y]$
$b_1=n_b[(0{,}000x+0{,}000+1{,}000z)/y]$
n_a = 2,50, n_b = −1,00
n = D50

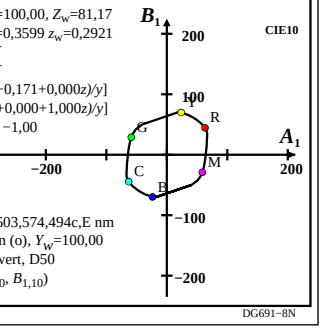

$\lambda_{B,G,Y,R}$=475,503,574,494c,E nm
Ostwald Farben (o), Y_w=100,00
max (m) Buntwert, D50
Buntwert $(A_{1,10}, B_{1,10})$

DG691−8N

DG691−7R_pchartl=1_xcolorl=1(CIE10)

Siehe ähnliche Dateien: http://farbe.li.tu-berlin.de/DG69/DG69.HTM
Technische Information: http://farbe.li.tu-berlin.de oder http://130.149.60.45/~farbmetrik

TUB-Registrierung: 20180801-DG69/DG69L0NP.PDF /.PS
Anwendung für Messung von Offsetdruck-Ausgabe
TUB-Material: Code=rha4ta

Siehe ähnliche Dateien: http://farbe.li.tu-berlin.de/DG69/DG69.HTM
Technische Information: http://farbe.li.tu-berlin.de oder http://130.149.60.45/~farbmetrik

CIEF02-Normfarbwerte, Buntwerte und Farbarten (n_a=2,5, n_b=−1,0).
Normierte *Ostwald (O)*-Farbwerte (Y_w=100), geordnet nach Wellenlänge.

λ_n	X	Y	Z	x	y	z	A_{nu}	B_{nu}	C_{ABnu}	h_{ABnu}
	Normfarbwerte und -anteile						***nu*-Buntwerte**			
00 386	51,50	23,94	74,68	0,343	0,159	0,497	35,3	−55,0	65,3	302
01 460	12,38	6,54	76,19	0,130	0,068	0,801	−17,6	−70,8	72,9	255
02 465	12,41	9,58	78,25	0,123	0,095	0,780	−23,5	−70,3	74,1	251
03 467	12,45	11,64	78,87	0,120	0,113	0,766	−27,0	−69,3	74,4	248
04 473B	13,31	20,43	79,83	0,117	0,179	0,702	−40,1	−63,0	74,7	237
05 475	14,02	24,19	79,97	0,118	0,204	0,676	−44,9	−60,0	75,0	233
06 479	17,82	36,91	80,16	0,132	0,273	0,594	−58,1	−49,8	76,5	220
07 479	17,82	36,91	80,16	0,132	0,273	0,594	−58,1	−49,8	76,5	220
08 481	21,98	46,03	80,19	0,148	0,310	0,541	−64,5	−42,3	77,2	213
09 481	21,98	46,03	80,19	0,148	0,310	0,541	−64,5	−42,3	77,2	213
10 483C	27,52	55,03	80,21	0,169	0,338	0,492	−67,9	−34,9	76,3	207
11 484	28,85	57,21	79,07	0,174	0,346	0,478	−68,2	−32,0	75,4	205
12 489	25,36	57,41	57,70	0,180	0,408	0,410	−66,6	−10,5	67,5	188
13 497	22,33	57,50	36,81	0,191	0,492	0,315	−64,1	10,4	65,0	170
14 505	21,31	58,03	24,30	0,205	0,559	0,234	−61,8	23,3	66,0	159
15 512	21,41	58,69	18,79	0,216	0,593	0,190	−60,3	29,4	67,1	153
16 521G	22,42	59,91	14,10	0,232	0,621	0,146	−58,2	35,1	68,0	148
17 524	25,32	62,97	14,10	0,247	0,615	0,137	−57,2	37,6	68,5	146
18 539	30,29	66,55	7,57	0,290	0,637	0,072	−50,0	47,1	68,7	136
19 551	44,95	76,05	5,53	0,355	0,601	0,043	−34,4	56,9	66,6	121
20 568	84,08	93,45	4,02	0,463	0,514	0,022	18,5	72,7	75,1	75
21 568	84,08	93,45	4,02	0,463	0,514	0,022	18,5	72,7	75,1	75
22 569	84,05	90,41	1,96	0,476	0,512	0,011	24,4	72,3	76,3	71
23 570Y	84,00	88,35	1,33	0,483	0,508	0,007	27,9	71,2	76,5	68
24 573	83,15	79,56	0,38	0,509	0,487	0,002	41,1	65,0	76,9	57
25 575	82,44	75,80	0,24	0,520	0,478	0,001	45,8	62,0	77,1	53
26 580	78,64	63,07	0,05	0,554	0,444	0,000	59,0	51,7	78,5	41
27 580	78,64	63,07	0,05	0,554	0,444	0,000	59,0	51,7	78,5	41
28 585	74,48	53,96	0,02	0,579	0,420	0,000	65,4	44,3	79,0	34
29 590R	68,94	44,96	0,00	0,605	0,394	0,000	68,8	36,9	78,1	28
30 592	67,61	42,78	1,14	0,606	0,383	0,010	69,1	34,0	77,0	26
31 694	71,10	42,58	22,52	0,522	0,312	0,165	67,5	12,4	68,7	10
32 702	74,12	42,49	43,40	0,463	0,265	0,271	65,0	−8,4	65,6	352
33 710	75,15	41,96	55,91	0,434	0,242	0,323	62,7	−21,4	66,2	341
34 717	75,05	41,30	61,43	0,422	0,232	0,345	61,2	−27,4	67,1	335
35 726M	74,04	40,08	66,11	0,410	0,222	0,366	59,1	−33,1	67,8	330
36 729	71,14	37,02	66,11	0,408	0,212	0,379	58,1	−35,6	68,2	328
37 744	66,16	33,43	72,64	0,384	0,194	0,421	50,9	−45,1	68,0	318
38 756	51,50	23,94	74,68	0,343	0,159	0,497	35,3	−55,0	65,3	302
39 825	12,38	6,54	76,19	0,130	0,068	0,801	−17,6	−70,8	72,9	255
U=D50	**96,46**	**100,00**	**82,22**	**0,346**	**0,358**	**0,358**	**0,0**	**0,0**	**0,0**	**0**

$a=p_{an}=n_a p_a=2{,}5[(1{,}000x-0{,}171+0{,}000z)/y]$ $A_{nu}=(a-a_u)Y$ $C_{ABnu}=[A_{nu}^2+B_{nu}^2]^{1/2}$
$b=p_{bn}=n_b p_b=-1{,}0[(0{,}000x+0{,}000+1{,}000z)/y]$ $B_{nu}=(b-b_u)Y$ $h_{ABnu}=\mathrm{atan}[B_{nu}/A_{nu}]$

DG690−3N

CIEF02-Normfarbwerte, Buntwerte und Farbarten (n_a=2,5, n_b=−1,0).
Normierte *Ostwald (O)*-Farbwerte (Y_w=100), geordnet nach Wellenlänge.

λ_n	Y	p_{an}	p_{bn}	p_{rn}	h_{abn}	p_{anu}	p_{bnu}	p_{rnu}	h_{abnu}
	***n*-Farbart**					***nu*-Farbart**			
00 386	23,94	2,69	−3,11	4,12	310	1,47	−2,29	2,73	302
01 460	6,54	−1,48	−11,64	11,74	262	−2,70	−10,82	11,16	255
02 465	9,58	−1,23	−8,16	8,26	261	−2,45	−7,34	7,74	251
03 467	11,64	−1,10	−6,77	6,86	260	−2,32	−5,95	6,39	248
04 473B	20,43	−0,74	−3,90	3,97	259	−1,96	−3,08	3,65	237
05 475	24,19	−0,63	−3,30	3,36	259	−1,85	−2,48	3,10	233
06 479	36,91	−0,35	−2,17	2,20	260	−1,57	−1,34	2,07	220
07 479	36,91	−0,35	−2,17	2,20	260	−1,57	−1,34	2,07	220
08 481	46,03	−0,18	−1,74	1,75	264	−1,40	−0,92	1,67	213
09 481	46,03	−0,18	−1,74	1,75	264	−1,40	−0,92	1,67	213
10 483C	55,03	−0,01	−1,45	1,45	269	−1,23	−0,63	1,38	207
11 484	57,21	0,02	−1,38	1,38	271	−1,19	−0,56	1,31	205
12 489	57,41	0,05	−1,00	1,00	273	−1,16	−0,18	1,17	188
13 497	57,50	0,10	−0,64	0,64	279	−1,11	0,18	1,13	170
14 505	58,03	0,15	−0,41	0,44	290	−1,06	0,40	1,13	159
15 512	58,69	0,19	−0,32	0,37	300	−1,02	0,50	1,14	153
16 521G	59,91	0,24	−0,23	0,34	316	−0,97	0,58	1,13	148
17 524	62,97	0,31	−0,22	0,38	324	−0,90	0,59	1,08	146
18 539	66,55	0,46	−0,11	0,48	346	−0,75	0,70	1,03	136
19 551	76,05	0,76	−0,07	0,76	354	−0,45	0,74	0,87	121
20 568	93,45	1,41	−0,04	1,41	358	0,19	0,77	0,80	75
21 568	93,45	1,41	−0,04	1,41	358	0,19	0,77	0,80	75
22 569	90,41	1,48	−0,02	1,49	359	0,27	0,80	0,84	71
23 570Y	88,35	1,53	−0,01	1,53	359	0,31	0,80	0,86	68
24 573	79,56	1,73	−0,00	1,73	359	0,51	0,81	0,96	57
25 575	75,80	1,82	−0,00	1,82	359	0,60	0,81	1,01	53
26 580	63,07	2,15	−0,00	2,15	359	0,93	0,82	1,24	41
27 580	63,07	2,15	−0,00	2,15	359	0,93	0,82	1,24	41
28 585	53,96	2,43	−0,00	2,43	359	1,21	0,82	1,46	34
29 590R	44,96	2,75	0,00	2,75	0	1,53	0,82	1,73	28
30 592	42,78	2,83	−0,02	2,83	359	1,61	0,79	1,80	26
31 694	42,58	2,80	−0,52	2,85	349	1,58	0,29	1,61	10
32 702	42,49	2,75	−1,02	2,93	339	1,53	−0,19	1,54	352
33 710	41,96	2,71	−1,33	3,02	333	1,49	−0,51	1,57	341
34 717	41,30	2,70	−1,48	3,08	331	1,48	−0,66	1,62	335
35 726M	40,08	2,69	−1,64	3,16	328	1,47	−0,82	1,69	330
36 729	37,02	2,79	−1,78	3,31	327	1,57	−0,96	1,84	328
37 744	33,43	2,74	−2,17	3,49	321	1,52	−1,35	2,03	318
38 756	23,94	2,69	−3,11	4,12	310	1,47	−2,29	2,73	302
39 825	6,54	−1,48	−11,64	11,74	262	−2,70	−10,82	11,16	255
U=D50	**100,00**	**1,219**	**−0,821**	**1,470**	**326**	**0,0**	**0,0**	**0,0**	**0**

$a=p_{an}=n_a p_a=2{,}5[(1{,}000x-0{,}171+0{,}000z)/y]$ $A_{nu}=(a-a_u)Y$ $C_{ABnu}=[A_{nu}^2+B_{nu}^2]^{1/2}$
$b=p_{bn}=n_b p_b=-1{,}0[(0{,}000x+0{,}000+1{,}000z)/y]$ $B_{nu}=(b-b_u)Y$ $h_{ABnu}=\mathrm{atan}[B_{nu}/A_{nu}]$

DG690−4N

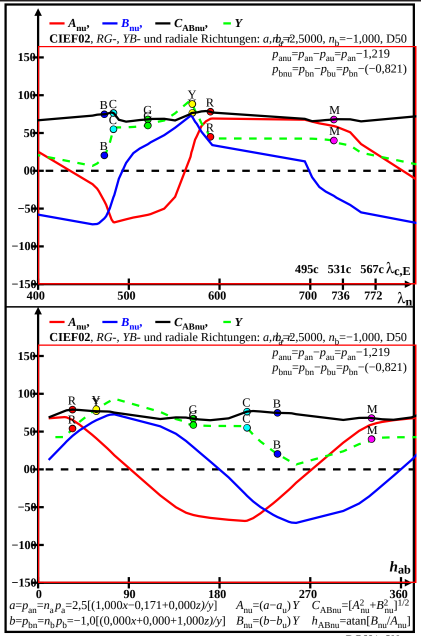

DG691−3N

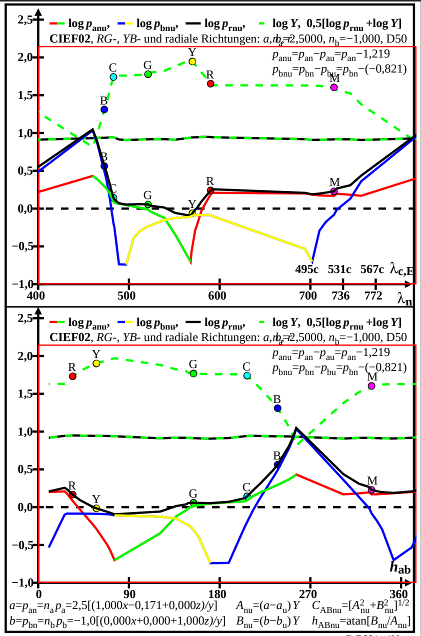

DG691−4N

CIEF02-Normfarbwerte, Buntwerte und Farbarten (n_a=2,5, n_b=−1,0).
Normierte *Ostwald (O)*-Farbwerte (Y_w=100), geordnet nach Bunttonwinkel.

λ_n	X	Y	Z	x	y	z	A_{nu}	B_{nu}	C_{ABnu}	h_{ABnu}
	Normfarbwerte und -anteile						***nu*-Buntwerte**			
00 592	67,61	42,78	1,14	0,606	0,383	0,010	69,1	34,0	77,0	386
01 694	71,10	42,58	22,52	0,522	0,312	0,165	67,5	12,4	68,7	370
02 702	74,12	42,49	43,40	0,463	0,265	0,271	65,0	−8,4	65,6	352
03 710	75,15	41,96	55,91	0,434	0,242	0,323	62,7	−21,4	66,2	341
04 717	75,05	41,30	61,43	0,422	0,232	0,345	61,2	−27,4	67,1	335
05 726M	74,04	40,08	66,11	0,410	0,222	0,366	59,1	−33,1	67,8	330
06 729	71,14	37,02	66,11	0,408	0,212	0,379	58,1	−35,6	68,2	328
07 744	66,16	33,43	72,64	0,384	0,194	0,421	50,9	−45,1	68,0	318
08 386	51,50	23,94	74,68	0,343	0,159	0,497	35,3	−55,0	65,3	302
09 460	12,38	6,54	76,19	0,130	0,068	0,801	−17,6	−70,8	72,9	255
10 465	12,41	9,58	78,25	0,123	0,095	0,780	−23,5	−70,3	74,1	251
11 467	12,45	11,64	78,87	0,120	0,113	0,766	−27,0	−69,3	74,4	248
12 473B	13,31	20,43	79,83	0,117	0,179	0,702	−40,1	−63,0	74,7	237
13 475	14,02	24,19	79,97	0,118	0,204	0,676	−44,9	−60,0	75,0	233
14 479	17,82	36,91	80,16	0,132	0,273	0,594	−58,1	−49,8	76,5	220
15 479	17,82	36,91	80,16	0,132	0,273	0,594	−58,1	−49,8	76,5	220
16 481	21,98	46,03	80,19	0,148	0,310	0,541	−64,5	−42,3	77,2	213
17 481	21,98	46,03	80,19	0,148	0,310	0,541	−64,5	−42,3	77,2	213
18 483C	27,52	55,03	80,21	0,169	0,338	0,492	−67,9	−34,9	76,3	207
19 484	28,85	57,21	79,07	0,174	0,346	0,478	−68,2	−32,0	75,4	205
20 489	25,36	57,41	57,70	0,180	0,408	0,410	−66,6	−10,5	67,5	188
21 497	22,33	57,50	36,81	0,191	0,492	0,315	−64,1	10,4	65,0	170
22 505	21,31	58,03	24,30	0,205	0,559	0,234	−61,8	23,3	66,0	159
23 512G	21,41	58,69	18,79	0,216	0,593	0,190	−60,3	29,4	67,1	153
24 521	22,42	59,91	14,10	0,232	0,621	0,146	−58,2	35,1	68,0	148
25 524	25,32	62,97	14,10	0,247	0,615	0,137	−57,2	37,6	68,5	146
26 539	30,29	66,55	7,57	0,290	0,637	0,072	−50,0	47,1	68,7	136
27 551	44,95	76,05	5,53	0,355	0,601	0,043	−34,4	56,9	66,6	121
28 568	84,08	93,45	4,02	0,463	0,514	0,022	18,5	72,7	75,1	75
29 568	84,08	93,45	4,02	0,463	0,514	0,022	18,5	72,7	75,1	75
30 569	84,05	90,41	1,96	0,476	0,512	0,011	24,4	72,3	76,3	71
31 570	84,00	88,35	1,33	0,483	0,508	0,007	27,9	71,2	76,5	68
32 573Y	83,15	79,56	0,38	0,509	0,487	0,002	41,1	65,0	76,9	57
33 575	82,44	75,80	0,24	0,520	0,478	0,001	45,8	62,0	77,1	53
34 580	78,64	63,07	0,05	0,554	0,444	0,000	59,0	51,7	78,5	41
35 580	78,64	63,07	0,05	0,554	0,444	0,000	59,0	51,7	78,5	41
36 585R	74,48	53,96	0,02	0,579	0,420	0,000	65,4	44,3	79,0	34
37 590	68,94	44,96	0,00	0,605	0,394	0,000	68,8	36,9	78,1	28
38 592	67,61	42,78	1,14	0,606	0,383	0,010	69,1	34,0	77,0	26
39 694	71,10	42,58	22,52	0,522	0,312	0,165	67,5	12,4	68,7	10
U=D50	**96,46**	**100,00**	**82,22**	**0,346**	**0,358**	**0,358**	**0,0**	**0,0**	**0,0**	**0**

$a=p_{an}=n_a p_a=2{,}5[(1{,}000x-0{,}171+0{,}000z)/y]$ $A_{nu}=(a-a_u)Y$ $C_{ABnu}=[A_{nu}^2+B_{nu}^2]^{1/2}$
$b=p_{bn}=n_b p_b=-1{,}0[(0{,}000x+0{,}000+1{,}000z)/y]$ $B_{nu}=(b-b_u)Y$ $h_{ABnu}=\mathrm{atan}[B_{nu}/A_{nu}]$

DG690−7N

CIEF02-Normfarbwerte, Buntwerte und Farbarten (n_a=2,5, n_b=−1,0).
Normierte *Ostwald (O)*-Farbwerte (Y_w=100), geordnet nach Bunttonwinkel.

λ_n	Y	p_{an}	p_{bn}	p_{rn}	h_{abn}	p_{anu}	p_{bnu}	p_{rnu}	h_{abnu}
	***n*-Farbart**					***nu*-Farbart**			
00 592	42,78	2,83	−0,02	2,83	359	1,61	0,79	1,80	386
01 694	42,58	2,80	−0,52	2,85	349	1,58	0,29	1,61	370
02 702	42,49	2,75	−1,02	2,93	339	1,53	−0,19	1,54	352
03 710	41,96	2,71	−1,33	3,02	333	1,49	−0,51	1,57	341
04 717	41,30	2,70	−1,48	3,08	331	1,48	−0,66	1,62	335
05 726M	40,08	2,69	−1,64	3,16	328	1,47	−0,82	1,69	330
06 729	37,02	2,79	−1,78	3,31	327	1,57	−0,96	1,84	328
07 744	33,43	2,74	−2,17	3,49	321	1,52	−1,35	2,03	318
08 386	23,94	2,69	−3,11	4,12	310	1,47	−2,29	2,73	302
09 460	6,54	−1,48	−11,64	11,74	262	−2,70	−10,82	11,16	255
10 465	9,58	−1,23	−8,16	8,26	261	−2,45	−7,34	7,74	251
11 467	11,64	−1,10	−6,77	6,86	260	−2,32	−5,95	6,39	248
12 473B	20,43	−0,74	−3,90	3,97	259	−1,96	−3,08	3,65	237
13 475	24,19	−0,63	−3,30	3,36	259	−1,85	−2,48	3,10	233
14 479	36,91	−0,35	−2,17	2,20	260	−1,57	−1,34	2,07	220
15 479	36,91	−0,35	−2,17	2,20	260	−1,57	−1,34	2,07	220
16 481	46,03	−0,18	−1,74	1,75	264	−1,40	−0,92	1,67	213
17 481	46,03	−0,18	−1,74	1,75	264	−1,40	−0,92	1,67	213
18 483C	55,03	−0,01	−1,45	1,45	269	−1,23	−0,63	1,38	207
19 484	57,21	0,02	−1,38	1,38	271	−1,19	−0,56	1,31	205
20 489	57,41	0,05	−1,00	1,00	273	−1,16	−0,18	1,17	188
21 497	57,50	0,10	−0,64	0,64	279	−1,11	0,18	1,13	170
22 505	58,03	0,15	−0,41	0,44	290	−1,06	0,40	1,13	159
23 512G	58,69	0,19	−0,32	0,37	300	−1,02	0,50	1,14	153
24 521	59,91	0,24	−0,23	0,34	316	−0,97	0,58	1,13	148
25 524	62,97	0,31	−0,22	0,38	324	−0,90	0,59	1,08	146
26 539	66,55	0,46	−0,11	0,48	346	−0,75	0,70	1,03	136
27 551	76,05	0,76	−0,07	0,76	354	−0,45	0,74	0,87	121
28 568	93,45	1,41	−0,04	1,41	358	0,19	0,77	0,80	75
29 568	93,45	1,41	−0,04	1,41	358	0,19	0,77	0,80	75
30 569	90,41	1,48	−0,02	1,49	359	0,27	0,80	0,84	71
31 570	88,35	1,53	−0,01	1,53	359	0,31	0,80	0,86	68
32 573Y	79,56	1,73	−0,00	1,73	359	0,51	0,81	0,96	57
33 575	75,80	1,82	−0,00	1,82	359	0,60	0,81	1,01	53
34 580	63,07	2,15	−0,00	2,15	359	0,93	0,82	1,24	41
35 580	63,07	2,15	−0,00	2,15	359	0,93	0,82	1,24	41
36 585R	53,96	2,43	−0,00	2,43	359	1,21	0,82	1,46	34
37 590	44,96	2,75	0,00	2,75	0	1,53	0,82	1,73	28
38 592	42,78	2,83	−0,02	2,83	0	1,61	0,79	1,80	26
39 694	42,58	2,80	−0,52	2,85	−10	1,58	0,29	1,61	10
U=D50	**100,00**	**1,219**	**−0,821**	**1,470**	**326**	**0,0**	**0,0**	**0,0**	**0**

$a=p_{an}=n_a p_a=2{,}5[(1{,}000x-0{,}171+0{,}000z)/y]$ $A_{nu}=(a-a_u)Y$ $C_{ABnu}=[A_{nu}^2+B_{nu}^2]^{1/2}$
$b=p_{bn}=n_b p_b=-1{,}0[(0{,}000x+0{,}000+1{,}000z)/y]$ $B_{nu}=(b-b_u)Y$ $h_{ABnu}=\mathrm{atan}[B_{nu}/A_{nu}]$

DG690−8N

DG690−7R_pchartl=1_xcolorl=2(CIEF02)

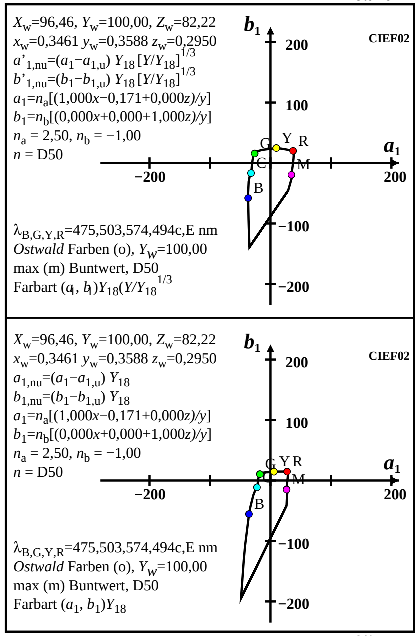

DG691−7N

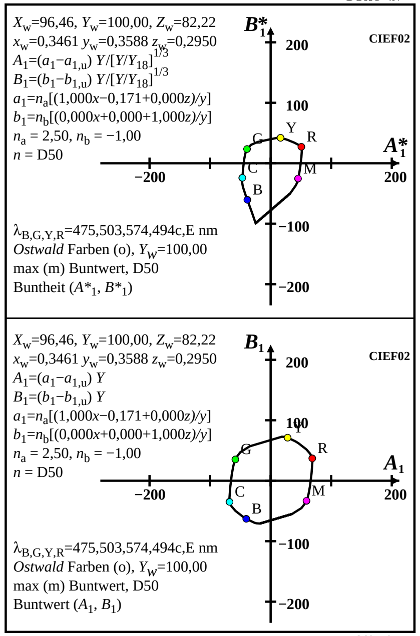

DG691−8N

DG691−7R_pchartl=1_xcolorl=2(CIEF02)

TUB-Registrierung: 20180801-DG69/DG69L0NP.PDF /.PS
Anwendung für Messung von Offsetdruck-Ausgabe
TUB-Material: Code=rha4ta

Siehe ähnliche Dateien: http://farbe.li.tu-berlin.de/DG69/DG69.HTM
Technische Information: http://farbe.li.tu-berlin.de oder http://130.149.60.45/~farbmetrik

CIEF10-Normfarbwerte, Buntwerte und Farbarten (n_a=2,5, n_b=−1,0).
Normierte *Ostwald (O)*-Farbwerte (Y_w=100), geordnet nach Wellenlänge.

	Normfarbwerte und -anteile						*nu*-Buntwerte			
λ_n	X	Y	Z	x	y	z	A_{nu}	B_{nu}	C_{ABnu}	h_{ABnu}
00 380	52,92	25,78	74,65	0,345	0,168	0,486	35,0	−53,7	64,1	303
01 455	13,14	6,61	74,65	0,139	0,070	0,790	−15,6	−69,2	71,0	257
02 460	13,28	9,49	77,94	0,131	0,094	0,773	−21,5	−70,2	73,4	252
03 462	13,30	11,32	78,97	0,128	0,109	0,762	−24,9	−69,7	74,1	250
04 464B	13,34	13,45	79,69	0,125	0,126	0,748	−28,7	−68,7	74,5	247
05 468	13,69	18,67	80,47	0,121	0,165	0,713	−36,9	−65,3	75,0	240
06 471	14,73	25,21	80,80	0,121	0,208	0,669	−45,8	−60,3	75,7	232
07 472	15,63	28,96	80,89	0,124	0,230	0,644	−50,2	−57,4	76,2	228
08 475	18,33	37,06	80,98	0,134	0,271	0,593	−58,0	−50,9	77,2	221
09 477	22,39	45,70	81,01	0,150	0,306	0,543	−64,0	−43,9	77,6	214
10 477C	24,94	50,08	81,01	0,159	0,320	0,519	−65,9	−40,4	77,4	211
11 479	30,58	58,60	78,68	0,182	0,349	0,468	−67,4	−31,2	74,3	204
12 479	29,07	56,38	80,12	0,175	0,340	0,483	−67,4	−34,4	75,7	207
13 484	25,63	56,72	59,32	0,180	0,400	0,418	−66,2	−13,3	67,6	191
14 492	22,37	56,85	36,73	0,192	0,490	0,316	−63,6	9,3	64,2	171
15 503	21,57	57,63	22,95	0,211	0,564	0,224	−60,6	23,7	65,1	158
16 511G	22,30	58,68	17,25	0,227	0,597	0,175	−58,4	30,2	65,8	152
17 521	24,56	60,88	12,62	0,250	0,620	0,128	−55,4	36,6	66,4	146
18 532	29,89	65,12	9,04	0,287	0,625	0,086	−49,9	43,7	66,3	138
19 545	43,82	74,21	6,37	0,352	0,596	0,051	−34,9	53,7	64,1	123
20 563	83,59	93,38	6,37	0,455	0,509	0,034	15,6	69,2	71,0	77
21 564	83,45	90,50	3,08	0,471	0,511	0,017	21,5	70,2	73,4	72
22 565	83,43	88,67	2,06	0,479	0,509	0,011	24,9	69,7	74,1	70
23 566Y	83,39	86,54	1,34	0,486	0,505	0,007	28,7	68,7	74,5	67
24 568	83,04	81,32	0,56	0,503	0,493	0,003	37,0	65,3	75,0	60
25 571	82,00	74,78	0,23	0,522	0,476	0,001	45,8	60,3	75,7	52
26 573	81,10	71,03	0,14	0,532	0,466	0,000	50,2	57,3	76,2	48
27 577	78,40	62,93	0,05	0,554	0,445	0,000	58,1	50,9	77,2	41
28 581	74,33	54,29	0,02	0,577	0,421	0,000	64,0	43,9	77,6	34
29 584R	71,79	49,91	0,01	0,589	0,410	0,000	66,0	40,4	77,4	31
30 591	66,15	41,39	2,33	0,602	0,376	0,021	67,4	31,1	74,3	24
31 588	67,67	43,61	0,91	0,603	0,388	0,008	67,5	34,4	75,8	27
32 689	71,10	43,27	21,71	0,522	0,317	0,159	66,3	13,3	67,6	11
33 697	74,36	43,14	44,30	0,459	0,266	0,273	63,6	−9,3	64,3	351
34 708	75,16	42,36	58,08	0,428	0,241	0,330	60,6	−23,7	65,1	338
35 716M	74,43	41,31	63,78	0,414	0,230	0,355	58,4	−30,3	65,8	332
36 726	72,17	39,11	68,41	0,401	0,217	0,380	55,4	−36,7	66,5	326
37 737	66,83	34,86	71,99	0,384	0,200	0,414	49,9	−43,7	66,3	318
38 750	52,92	25,78	74,65	0,345	0,168	0,486	35,0	−53,7	64,1	303
39 820	13,14	6,61	74,65	0,139	0,070	0,790	−15,6	−69,2	71,0	257
U=D50	**96,74**	**100,00**	**81,03**	**0,348**	**0,360**	**0,360**	**0,0**	**0,0**	**0,0**	**0**

$a=p_{an}=n_a p_a=2{,}5[(1{,}000x-0{,}171+0{,}000z)/y]$ $A_{nu}=(a-a_u)Y$ $C_{ABnu}=[A_{nu}^2+B_{nu}^2]^{1/2}$
$b=p_{bn}=n_b p_b=-1{,}0[(0{,}000x+0{,}000+1{,}000z)/y]$ $B_{nu}=(b-b_u)Y$ $h_{ABnu}=\mathrm{atan}[B_{nu}/A_{nu}]$

DG690−3N

CIEF10-Normfarbwerte, Buntwerte und Farbarten (n_a=2,5, n_b=−1,0).
Normierte *Ostwald (O)*-Farbwerte (Y_w=100), geordnet nach Wellenlänge.

	n-Farbart					*nu*-Farbart			
λ_n	Y	p_{an}	p_{bn}	p_{rn}	h_{abn}	p_{anu}	p_{bnu}	p_{rnu}	h_{abnu}
00 380	25,78	2,58	−2,89	3,88	311	1,35	−2,08	2,48	303
01 455	6,61	−1,13	−11,29	11,35	264	−2,36	−10,48	10,74	257
02 460	9,49	−1,03	−8,21	8,27	262	−2,26	−7,40	7,74	252
03 462	11,32	−0,97	−6,97	7,04	262	−2,20	−6,16	6,54	250
04 464B	13,45	−0,90	−5,92	5,99	261	−2,13	−5,11	5,54	247
05 468	18,67	−0,75	−4,31	4,37	260	−1,98	−3,50	4,02	240
06 471	25,21	−0,58	−3,20	3,25	259	−1,81	−2,39	3,00	232
07 472	28,96	−0,50	−2,79	2,83	259	−1,73	−1,98	2,63	228
08 475	37,06	−0,33	−2,18	2,21	261	−1,56	−1,37	2,08	221
09 477	45,70	−0,16	−1,77	1,78	264	−1,40	−0,96	1,69	214
10 477C	50,08	−0,08	−1,61	1,62	266	−1,31	−0,80	1,54	211
11 479	58,60	0,08	−1,34	1,34	273	−1,15	−0,53	1,26	204
12 479	56,38	0,03	−1,42	1,42	271	−1,19	−0,61	1,34	207
13 484	56,72	0,06	−1,04	1,04	273	−1,16	−0,23	1,19	191
14 492	56,85	0,11	−0,64	0,65	279	−1,11	0,16	1,13	171
15 503	57,63	0,17	−0,39	0,43	294	−1,05	0,41	1,13	158
16 511G	58,68	0,23	−0,29	0,37	308	−0,99	0,51	1,12	152
17 521	60,88	0,31	−0,20	0,38	327	−0,91	0,60	1,09	146
18 532	65,12	0,46	−0,13	0,48	343	−0,76	0,67	1,01	138
19 545	74,21	0,75	−0,08	0,76	353	−0,47	0,72	0,86	123
20 563	93,38	1,39	−0,06	1,40	357	0,16	0,74	0,76	77
21 564	90,50	1,46	−0,03	1,46	358	0,23	0,77	0,81	72
22 565	88,67	1,51	−0,02	1,51	359	0,28	0,78	0,83	70
23 566Y	86,54	1,56	−0,01	1,56	359	0,33	0,79	0,86	67
24 568	81,32	1,68	−0,00	1,68	359	0,45	0,80	0,92	60
25 571	74,78	1,84	−0,00	1,84	359	0,61	0,80	1,01	52
26 573	71,03	1,93	−0,00	1,93	359	0,70	0,80	1,07	48
27 577	62,93	2,15	−0,00	2,15	359	0,92	0,80	1,22	41
28 581	54,29	2,41	−0,00	2,41	359	1,17	0,80	1,43	34
29 584R	49,91	2,55	−0,00	2,55	359	1,32	0,80	1,55	31
30 591	41,39	2,86	−0,05	2,86	358	1,62	0,75	1,79	24
31 588	43,61	2,77	−0,02	2,77	359	1,54	0,78	1,73	27
32 689	43,27	2,76	−0,50	2,80	349	1,53	0,30	1,56	11
33 697	43,14	2,70	−1,02	2,89	339	1,47	−0,21	1,49	351
34 708	42,36	2,66	−1,37	2,99	332	1,43	−0,56	1,53	338
35 716M	41,31	2,64	−1,54	3,06	329	1,41	−0,73	1,59	332
36 726	39,11	2,64	−1,74	3,17	326	1,41	−0,93	1,70	326
37 737	34,86	2,66	−2,06	3,37	322	1,43	−1,25	1,90	318
38 750	25,78	2,58	−2,89	3,88	311	1,35	−2,08	2,48	303
39 820	6,61	−1,13	−11,29	11,35	264	−2,36	−10,48	10,74	257
U=D50	**100,00**	**1,230**	**−0,810**	**1,473**	**326**	**0,0**	**0,0**	**0,0**	**0**

$a=p_{an}=n_a p_a=2{,}5[(1{,}000x-0{,}171+0{,}000z)/y]$ $A_{nu}=(a-a_u)Y$ $C_{ABnu}=[A_{nu}^2+B_{nu}^2]^{1/2}$
$b=p_{bn}=n_b p_b=-1{,}0[(0{,}000x+0{,}000+1{,}000z)/y]$ $B_{nu}=(b-b_u)Y$ $h_{ABnu}=\mathrm{atan}[B_{nu}/A_{nu}]$

DG690−4N

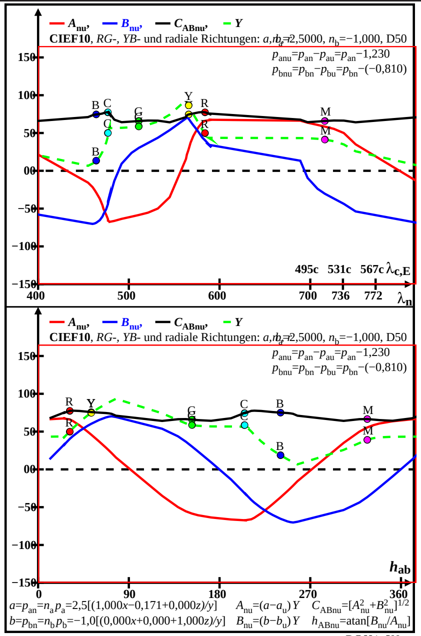

DG691−3N

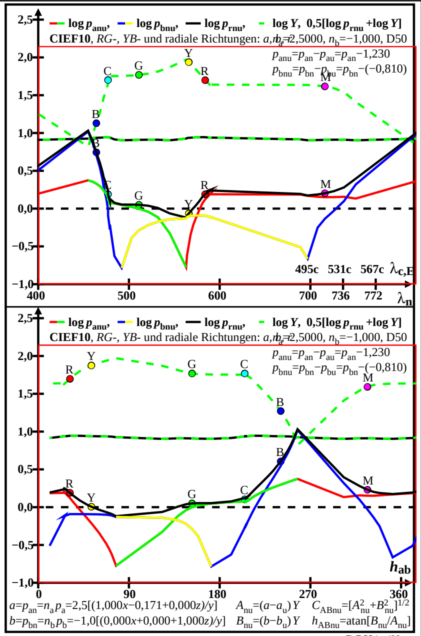

DG691−4N

CIEF10-Normfarbwerte, Buntwerte und Farbarten (n_a=2,5, n_b=−1,0).
Normierte *Ostwald (O)*-Farbwerte (Y_w=100), geordnet nach Bunttonwinkel.

	Normfarbwerte und -anteile						*nu*-Buntwerte			
λ_n	X	Y	Z	x	y	z	A_{nu}	B_{nu}	C_{ABnu}	h_{ABnu}
00 588	67,67	43,61	0,91	0,603	0,388	0,008	67,5	34,4	75,8	387
01 689	71,10	43,27	21,71	0,522	0,317	0,159	66,3	13,3	67,6	371
02 697	74,36	43,14	44,30	0,459	0,266	0,273	63,6	−9,3	64,3	351
03 708	75,16	42,36	58,08	0,428	0,241	0,330	60,6	−23,7	65,1	338
04 716	74,43	41,31	63,78	0,414	0,230	0,355	58,4	−30,3	65,8	332
05 726M	72,17	39,11	68,41	0,401	0,217	0,380	55,4	−36,7	66,5	326
06 737	66,83	34,86	71,99	0,384	0,200	0,414	49,9	−43,7	66,3	318
07 380	52,92	25,78	74,65	0,345	0,168	0,486	35,0	−53,7	64,1	303
08 455	13,14	6,61	74,65	0,139	0,070	0,790	−15,6	−69,2	71,0	257
09 460	13,28	9,49	77,94	0,131	0,094	0,773	−21,5	−70,2	73,4	252
10 462	13,30	11,32	78,97	0,128	0,109	0,762	−24,9	−69,7	74,1	250
11 464	13,34	13,45	79,69	0,125	0,126	0,748	−28,7	−68,7	74,5	247
12 468B	13,69	18,67	80,47	0,121	0,165	0,713	−36,9	−65,3	75,0	240
13 471	14,73	25,21	80,80	0,121	0,208	0,669	−45,8	−60,3	75,7	232
14 472	15,63	28,96	80,89	0,124	0,230	0,644	−50,2	−57,4	76,2	228
15 475	18,33	37,06	80,98	0,134	0,271	0,593	−58,0	−50,9	77,2	221
16 477	22,39	45,70	81,01	0,150	0,306	0,543	−64,0	−43,9	77,6	214
17 477	24,94	50,08	81,01	0,159	0,320	0,519	−65,9	−40,4	77,4	211
18 479C	30,58	58,60	78,68	0,182	0,349	0,468	−67,4	−31,2	74,3	204
19 479	29,07	56,38	80,12	0,175	0,340	0,483	−67,4	−34,4	75,7	207
20 484	25,63	56,72	59,32	0,180	0,400	0,418	−66,2	−13,3	67,6	191
21 492	22,37	56,85	36,73	0,192	0,490	0,316	−63,6	9,3	64,2	171
22 503	21,57	57,63	22,95	0,211	0,564	0,224	−60,6	23,7	65,1	158
23 511G	22,30	58,68	17,25	0,227	0,597	0,175	−58,4	30,2	65,8	152
24 521	24,56	60,88	12,62	0,250	0,620	0,128	−55,4	36,6	66,4	146
25 532	29,89	65,12	9,04	0,287	0,625	0,086	−49,9	43,7	66,3	138
26 545	43,82	74,21	6,37	0,352	0,596	0,051	−34,9	53,7	64,1	123
27 563	83,59	93,38	6,37	0,455	0,509	0,034	15,6	69,2	71,0	77
28 564	83,45	90,50	3,08	0,471	0,511	0,017	21,5	70,2	73,4	72
29 565	83,43	88,67	2,06	0,479	0,509	0,011	24,9	69,7	74,1	70
30 566	83,39	86,54	1,34	0,486	0,505	0,007	28,7	68,7	74,5	67
31 568	83,04	81,32	0,56	0,503	0,493	0,003	37,0	65,3	75,0	60
32 571Y	82,00	74,78	0,23	0,522	0,476	0,001	45,8	60,3	75,7	52
33 573	81,10	71,03	0,14	0,532	0,466	0,000	50,2	57,3	76,2	48
34 577	78,40	62,93	0,05	0,554	0,445	0,000	58,1	50,9	77,2	41
35 581	74,33	54,29	0,02	0,577	0,421	0,000	64,0	43,9	77,6	34
36 584R	71,79	49,91	0,01	0,589	0,410	0,000	66,0	40,4	77,4	31
37 591	66,15	41,39	2,33	0,602	0,376	0,021	67,4	31,1	74,3	24
38 588	67,67	43,61	0,91	0,603	0,388	0,008	67,5	34,4	75,8	27
39 689	71,10	43,27	21,71	0,522	0,317	0,159	66,3	13,3	67,6	11
U=D50	**96,74**	**100,00**	**81,03**	**0,348**	**0,360**	**0,360**	**0,0**	**0,0**	**0,0**	**0**

$a=p_{an}=n_a p_a=2{,}5[(1{,}000x-0{,}171+0{,}000z)/y]$ $A_{nu}=(a-a_u)Y$ $C_{ABnu}=[A_{nu}^2+B_{nu}^2]^{1/2}$
$b=p_{bn}=n_b p_b=-1{,}0[(0{,}000x+0{,}000+1{,}000z)/y]$ $B_{nu}=(b-b_u)Y$ $h_{ABnu}=\mathrm{atan}[B_{nu}/A_{nu}]$

DG690−7N

CIEF10-Normfarbwerte, Buntwerte und Farbarten (n_a=2,5, n_b=−1,0).
Normierte *Ostwald (O)*-Farbwerte (Y_w=100), geordnet nach Bunttonwinkel.

	n-Farbart					*nu*-Farbart			
λ_n	Y	p_{an}	p_{bn}	p_{rn}	h_{abn}	p_{anu}	p_{bnu}	p_{rnu}	h_{abnu}
00 588	43,61	2,77	−0,02	2,77	359	1,54	0,78	1,73	387
01 689	43,27	2,76	−0,50	2,80	349	1,53	0,30	1,56	371
02 697	43,14	2,70	−1,02	2,89	339	1,47	−0,21	1,49	351
03 708	42,36	2,66	−1,37	2,99	332	1,43	−0,56	1,53	338
04 716	41,31	2,64	−1,54	3,06	329	1,41	−0,73	1,59	332
05 726M	39,11	2,64	−1,74	3,17	326	1,41	−0,93	1,70	326
06 737	34,86	2,66	−2,06	3,37	322	1,43	−1,25	1,90	318
07 380	25,78	2,58	−2,89	3,88	311	1,35	−2,08	2,48	303
08 455	6,61	−1,13	−11,29	11,35	264	−2,36	−10,48	10,74	257
09 460	9,49	−1,03	−8,21	8,27	262	−2,26	−7,40	7,74	252
10 462	11,32	−0,97	−6,97	7,04	262	−2,20	−6,16	6,54	250
11 464	13,45	−0,90	−5,92	5,99	261	−2,13	−5,11	5,54	247
12 468B	18,67	−0,75	−4,31	4,37	260	−1,98	−3,50	4,02	240
13 471	25,21	−0,58	−3,20	3,25	259	−1,81	−2,39	3,00	232
14 472	28,96	−0,50	−2,79	2,83	259	−1,73	−1,98	2,63	228
15 475	37,06	−0,33	−2,18	2,21	261	−1,56	−1,37	2,08	221
16 477	45,70	−0,16	−1,77	1,78	264	−1,40	−0,96	1,69	214
17 477	50,08	−0,08	−1,61	1,62	266	−1,31	−0,80	1,54	211
18 479C	58,60	0,08	−1,34	1,34	273	−1,15	−0,53	1,26	204
19 479	56,38	0,03	−1,42	1,42	271	−1,19	−0,61	1,34	207
20 484	56,72	0,06	−1,04	1,04	273	−1,16	−0,23	1,19	191
21 492	56,85	0,11	−0,64	0,65	279	−1,11	0,16	1,13	171
22 503	57,63	0,17	−0,39	0,43	294	−1,05	0,41	1,13	158
23 511G	58,68	0,23	−0,29	0,37	308	−0,99	0,51	1,12	152
24 521	60,88	0,31	−0,20	0,38	327	−0,91	0,60	1,09	146
25 532	65,12	0,46	−0,13	0,48	343	−0,76	0,67	1,01	138
26 545	74,21	0,75	−0,08	0,76	353	−0,47	0,72	0,86	123
27 563	93,38	1,39	−0,06	1,40	357	0,16	0,74	0,76	77
28 564	90,50	1,46	−0,03	1,46	358	0,23	0,77	0,81	72
29 565	88,67	1,51	−0,02	1,51	359	0,28	0,78	0,83	70
30 566	86,54	1,56	−0,01	1,56	359	0,33	0,79	0,86	67
31 568	81,32	1,68	−0,00	1,68	359	0,45	0,80	0,92	60
32 571Y	74,78	1,84	−0,00	1,84	359	0,61	0,80	1,01	52
33 573	71,03	1,93	−0,00	1,93	359	0,70	0,80	1,07	48
34 577	62,93	2,15	−0,00	2,15	359	0,92	0,80	1,22	41
35 581	54,29	2,41	−0,00	2,41	359	1,17	0,80	1,43	34
36 584R	49,91	2,55	−0,00	2,55	359	1,32	0,80	1,55	31
37 591	41,39	2,86	−0,05	2,86	−1	1,62	0,75	1,79	24
38 588	43,61	2,77	−0,02	2,77	0	1,54	0,78	1,73	27
39 689	43,27	2,76	−0,50	2,80	−10	1,53	0,30	1,56	11
U=D50	**100,00**	**1,230**	**−0,810**	**1,473**	**326**	**0,0**	**0,0**	**0,0**	**0**

$a=p_{an}=n_a p_a=2{,}5[(1{,}000x-0{,}171+0{,}000z)/y]$ $A_{nu}=(a-a_u)Y$ $C_{ABnu}=[A_{nu}^2+B_{nu}^2]^{1/2}$
$b=p_{bn}=n_b p_b=-1{,}0[(0{,}000x+0{,}000+1{,}000z)/y]$ $B_{nu}=(b-b_u)Y$ $h_{ABnu}=\mathrm{atan}[B_{nu}/A_{nu}]$

DG690−8N

DG690−7R_pchartl=1_xcolorl=3(CIEF10)

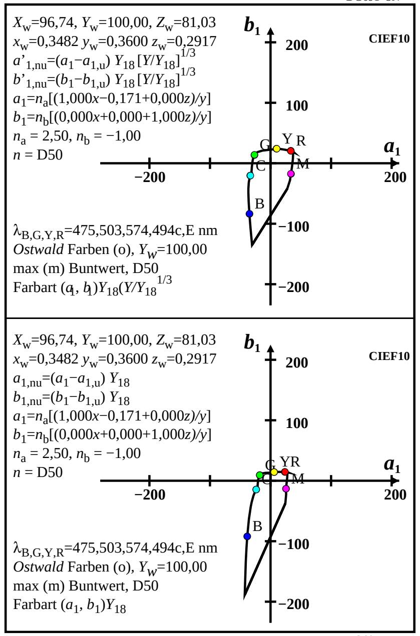

DG691−7N

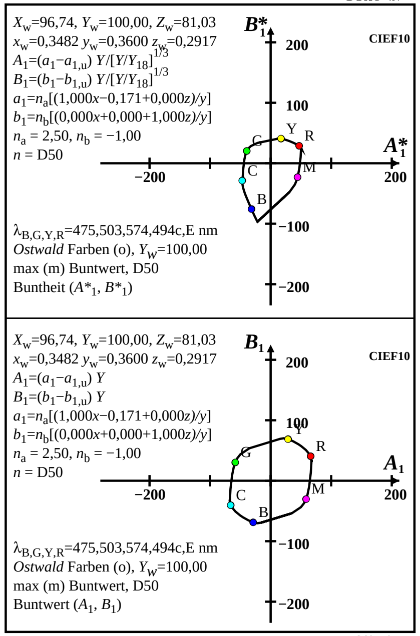

DG691−8N

DG691−7R_pchartl=1_xcolorl=3(CIEF10)

TUB-Registrierung: 20180801-DG69/DG69L0NP.PDF /.PS
Anwendung für Messung von Offsetdruck-Ausgabe

TUB-Material: Code=rha4ta

R17M-Normfarbwerte, Buntwerte und Farbarten (n_a=2,5, n_b=−1,0).
Normierte *Ostwald (O)*-Farbwerte (Y_w=100), geordnet nach Wellenlänge.

λ_n	Normfarbwerte und -anteile X	Y	Z	x	y	z	*nu*-Buntwerte A_{nu}	B_{nu}	C_{ABnu}	h_{ABnu}
00 373	50,84	23,58	64,46	0,366	0,169	0,464	40,0	−45,4	60,5	311
01 450	26,22	10,37	70,14	0,245	0,097	0,657	7,7	−61,7	62,2	277
02 463	19,81	9,03	72,37	0,195	0,089	0,715	−4,3	−65,0	65,2	266
03 465	19,87	11,18	74,25	0,188	0,106	0,705	−8,4	−65,2	65,7	262
04 470B	20,04	16,46	77,00	0,176	0,145	0,678	−17,7	−63,6	66,1	254
05 474	20,76	23,15	78,71	0,169	0,188	0,641	−27,7	−60,0	66,0	245
06 477	22,69	31,32	79,75	0,169	0,234	0,596	−37,2	−54,4	65,9	235
07 479	24,27	35,77	80,07	0,173	0,255	0,571	−41,2	−51,1	65,7	231
08 481	28,86	45,22	80,48	0,186	0,292	0,520	−47,0	−43,9	64,3	223
09 482	30,21	48,30	79,14	0,191	0,306	0,501	−48,6	−40,1	63,0	219
10 487C	26,13	48,90	65,44	0,186	0,348	0,465	−52,2	−25,9	58,2	206
11 496	20,48	50,06	44,06	0,178	0,436	0,384	−56,6	−3,6	56,7	183
12 500	20,60	52,31	38,55	0,184	0,469	0,345	−57,6	3,7	57,7	176
13 509	19,40	53,50	28,42	0,191	0,528	0,280	−57,6	14,8	59,5	165
14 511	21,83	56,54	28,46	0,204	0,529	0,266	−57,5	17,2	60,0	163
15 518	24,65	60,36	24,01	0,226	0,553	0,220	−55,9	24,7	61,1	156
16 530G	29,99	65,40	16,35	0,268	0,585	0,146	−49,6	36,5	61,6	143
17 538	43,18	76,41	16,37	0,317	0,562	0,120	−39,9	45,3	60,4	131
18 553	67,80	89,62	10,69	0,403	0,533	0,063	−7,7	61,7	62,2	97
19 557	74,22	90,96	8,45	0,427	0,523	0,048	4,4	65,0	65,2	86
20 558	74,15	88,81	6,58	0,437	0,523	0,038	8,5	65,1	65,7	82
21 561	73,98	83,52	3,84	0,458	0,517	0,023	17,8	63,6	66,1	74
22 565	73,26	76,83	2,11	0,481	0,504	0,013	27,7	59,9	66,1	65
23 570Y	71,33	68,67	1,09	0,505	0,486	0,007	37,2	54,4	65,9	55
24 572	69,75	64,22	0,76	0,517	0,476	0,005	41,2	51,1	65,7	51
25 578	65,16	54,77	0,35	0,541	0,455	0,002	47,1	43,9	64,4	42
26 581	63,81	51,69	1,69	0,544	0,441	0,014	48,6	40,0	63,0	39
27 600	67,89	51,09	15,38	0,505	0,380	0,114	52,2	25,9	58,3	26
28 705	73,42	47,68	42,28	0,449	0,291	0,258	57,6	−3,7	57,7	356
29 714R	74,62	46,49	52,41	0,430	0,267	0,302	57,7	−14,8	59,6	345
30 716	72,19	43,45	52,37	0,429	0,258	0,311	57,5	−17,2	60,1	343
31 723	69,37	39,63	56,82	0,418	0,238	0,342	55,9	−24,7	61,2	336
32 735	64,03	34,59	64,49	0,392	0,212	0,395	49,6	−36,5	61,6	323
33 743	50,84	23,58	64,46	0,366	0,169	0,464	40,0	−45,4	60,5	311
34 815	26,22	10,37	70,14	0,245	0,097	0,657	7,7	−61,7	62,2	277
U=D50	**94,03**	**100,00**	**80,83**	**0,342**	**0,363**	**0,363**	**0,0**	**0,0**	**0,0**	**0**

$a=p_{an}=n_a p_a=2{,}5[(1{,}000x-0{,}171+0{,}000z)/y]$ $A_{nu}=(a-a_u)\,Y$ $C_{ABnu}=[A_{nu}^2+B_{nu}^2]^{1/2}$
$b=p_{bn}=n_b p_b=-1{,}0[(0{,}000x+0{,}000+1{,}000z)/y]$ $B_{nu}=(b-b_u)\,Y$ $h_{ABnu}=\mathrm{atan}[B_{nu}/A_{nu}]$

DG690−3N

R17M-Normfarbwerte, Buntwerte und Farbarten (n_a=2,5, n_b=−1,0).
Normierte *Ostwald (O)*-Farbwerte (Y_w=100), geordnet nach Wellenlänge.

λ_n	*n*-Farbart Y	p_{an}	p_{bn}	p_{rn}	h_{abn}	*nu*-Farbart p_{anu}	p_{bnu}	p_{rnu}	h_{abnu}
00 373	23,58	2,87	−2,73	3,96	316	1,69	−1,92	2,56	311
01 450	10,37	1,92	−6,76	7,03	285	0,74	−5,95	6,00	277
02 463	9,03	0,69	−8,01	8,04	274	−0,48	−7,20	7,22	266
03 465	11,18	0,41	−6,64	6,65	273	−0,75	−5,83	5,88	262
04 470B	16,46	0,09	−4,67	4,67	271	−1,07	−3,86	4,01	254
05 474	23,15	−0,02	−3,40	3,40	269	−1,19	−2,59	2,85	245
06 477	31,32	−0,01	−2,54	2,54	269	−1,18	−1,73	2,10	235
07 479	35,77	0,02	−2,23	2,23	270	−1,15	−1,43	1,83	231
08 481	45,22	0,13	−1,77	1,78	274	−1,04	−0,97	1,42	223
09 482	48,30	0,16	−1,63	1,64	275	−1,00	−0,83	1,30	219
10 487C	48,90	0,10	−1,33	1,34	274	−1,06	−0,53	1,19	206
11 496	50,06	0,04	−0,88	0,88	272	−1,13	−0,07	1,13	183
12 500	52,31	0,07	−0,73	0,74	275	−1,10	0,07	1,10	176
13 509	53,50	0,09	−0,53	0,54	280	−1,07	0,27	1,11	165
14 511	56,54	0,15	−0,50	0,52	287	−1,01	0,30	1,06	163
15 518	60,36	0,24	−0,39	0,46	302	−0,92	0,41	1,01	156
16 530G	65,40	0,41	−0,25	0,48	329	−0,75	0,55	0,94	143
17 538	76,41	0,65	−0,21	0,68	341	−0,52	0,59	0,79	131
18 553	89,62	1,08	−0,11	1,09	353	−0,08	0,68	0,69	97
19 557	90,96	1,22	−0,09	1,22	355	0,04	0,71	0,71	86
20 558	88,81	1,27	−0,07	1,27	356	0,09	0,73	0,74	82
21 561	83,52	1,38	−0,04	1,38	358	0,21	0,76	0,79	74
22 565	76,83	1,53	−0,02	1,53	358	0,36	0,78	0,86	65
23 570Y	68,67	1,71	−0,01	1,71	359	0,54	0,79	0,96	55
24 572	64,22	1,81	−0,01	1,81	359	0,64	0,79	1,02	51
25 578	54,77	2,03	−0,00	2,03	359	0,86	0,80	1,17	42
26 581	51,69	2,11	−0,03	2,11	359	0,94	0,77	1,21	39
27 600	51,09	2,19	−0,30	2,21	352	1,02	0,50	1,14	26
28 705	47,68	2,38	−0,88	2,54	339	1,20	−0,07	1,21	356
29 714R	46,49	2,41	−1,12	2,66	334	1,24	−0,31	1,28	345
30 716	43,45	2,50	−1,20	2,77	334	1,32	−0,39	1,38	343
31 723	39,63	2,58	−1,43	2,95	331	1,41	−0,62	1,54	336
32 735	34,59	2,61	−1,86	3,20	324	1,43	−1,05	1,78	323
33 743	23,58	2,87	−2,73	3,96	316	1,69	−1,92	2,56	311
34 815	10,37	1,92	−6,76	7,03	285	0,74	−5,95	6,00	277
U=D50	**100,00**	**1,175**	**−0,808**	**1,426**	**325**	**0,0**	**0,0**	**0,0**	**0**

$a=p_{an}=n_a p_a=2{,}5[(1{,}000x-0{,}171+0{,}000z)/y]$ $A_{nu}=(a-a_u)\,Y$ $C_{ABnu}=[A_{nu}^2+B_{nu}^2]^{1/2}$
$b=p_{bn}=n_b p_b=-1{,}0[(0{,}000x+0{,}000+1{,}000z)/y]$ $B_{nu}=(b-b_u)\,Y$ $h_{ABnu}=\mathrm{atan}[B_{nu}/A_{nu}]$

DG690−4N

R17M-Normfarbwerte, Buntwerte und Farbarten (n_a=2,5, n_b=−1,0).
Normierte *Ostwald (O)*-Farbwerte (Y_w=100), geordnet nach Buntton winkel.

λ_n	Normfarbwerte und -anteile X	Y	Z	x	y	z	*nu*-Buntwerte A_{nu}	B_{nu}	C_{ABnu}	h_{ABnu}
00 600	67,89	51,09	15,38	0,505	0,380	0,114	52,2	25,9	58,3	386
01 705	73,42	47,68	42,28	0,449	0,291	0,258	57,6	−3,7	57,7	356
02 714	74,62	46,49	52,41	0,430	0,267	0,302	57,7	−14,8	59,6	345
03 716	72,19	43,45	52,37	0,429	0,258	0,311	57,5	−17,2	60,1	343
04 723	69,37	39,63	56,82	0,418	0,238	0,342	55,9	−24,7	61,2	336
05 735M	64,03	34,59	64,49	0,392	0,212	0,395	49,6	−36,5	61,6	323
06 373	50,84	23,58	64,46	0,366	0,169	0,464	40,0	−45,4	60,5	311
07 450	26,22	10,37	70,14	0,245	0,097	0,657	7,7	−61,7	62,2	277
08 463	19,81	9,03	72,37	0,195	0,089	0,715	−4,3	−65,0	65,2	266
09 465	19,87	11,18	74,25	0,188	0,106	0,705	−8,4	−65,2	65,7	262
10 470	20,04	16,46	77,00	0,176	0,145	0,678	−17,7	−63,6	66,1	254
11 474	20,76	23,15	78,71	0,169	0,188	0,641	−27,7	−60,0	66,0	245
12 477B	22,69	31,32	79,75	0,169	0,234	0,596	−37,2	−54,4	65,9	235
13 479	24,27	35,77	80,07	0,173	0,255	0,571	−41,2	−51,1	65,7	231
14 481	28,86	45,22	80,48	0,186	0,292	0,520	−47,0	−43,9	64,3	223
15 482	30,21	48,30	79,14	0,191	0,306	0,501	−48,6	−40,1	63,0	219
16 487	26,13	48,90	65,44	0,186	0,348	0,465	−52,2	−25,9	58,2	206
17 496	20,48	50,06	44,06	0,178	0,436	0,384	−56,6	−3,6	56,7	183
18 500C	20,60	52,31	38,55	0,184	0,469	0,345	−57,6	3,7	57,7	176
19 509	19,40	53,50	28,42	0,191	0,528	0,280	−57,6	14,8	59,5	165
20 511	21,83	56,54	28,46	0,204	0,529	0,266	−57,5	17,2	60,0	163
21 518	24,65	60,36	24,01	0,226	0,553	0,220	−55,9	24,7	61,1	156
22 530	29,99	65,40	16,35	0,268	0,585	0,146	−49,6	36,5	61,6	143
23 538G	43,18	76,41	16,37	0,317	0,562	0,120	−39,9	45,3	60,4	131
24 553	67,80	89,62	10,69	0,403	0,533	0,063	−7,7	61,7	62,2	97
25 557	74,22	90,96	8,45	0,427	0,523	0,048	4,4	65,0	65,2	86
26 558	74,15	88,81	6,58	0,437	0,523	0,038	8,5	65,1	65,7	82
27 561	73,98	83,52	3,84	0,458	0,517	0,023	17,8	63,6	66,1	74
28 565	73,26	76,83	2,11	0,481	0,504	0,013	27,7	59,9	66,1	65
29 570	71,33	68,67	1,09	0,505	0,486	0,007	37,2	54,4	65,9	55
30 572	69,75	64,22	0,76	0,517	0,476	0,005	41,2	51,1	65,7	51
31 578	65,16	54,77	0,35	0,541	0,455	0,002	47,1	43,9	64,4	42
32 581Y	63,81	51,69	1,69	0,544	0,441	0,014	48,6	40,0	63,0	39
33 600	67,89	51,09	15,38	0,505	0,380	0,114	52,2	25,9	58,3	26
34 705	73,42	47,68	42,28	0,449	0,291	0,258	57,6	−3,7	57,7	−3
U=D50	**94,03**	**100,00**	**80,83**	**0,342**	**0,363**	**0,363**	**0,0**	**0,0**	**0,0**	**0**

$a=p_{an}=n_a p_a=2{,}5[(1{,}000x-0{,}171+0{,}000z)/y]$ $A_{nu}=(a-a_u)\,Y$ $C_{ABnu}=[A_{nu}^2+B_{nu}^2]^{1/2}$
$b=p_{bn}=n_b p_b=-1{,}0[(0{,}000x+0{,}000+1{,}000z)/y]$ $B_{nu}=(b-b_u)\,Y$ $h_{ABnu}=\mathrm{atan}[B_{nu}/A_{nu}]$

DG690−7N

R17M-Normfarbwerte, Buntwerte und Farbarten (n_a=2,5, n_b=−1,0).
Normierte *Ostwald (O)*-Farbwerte (Y_w=100), geordnet nach Buntton winkel.

λ_n	*n*-Farbart Y	p_{an}	p_{bn}	p_{rn}	h_{abn}	*nu*-Farbart p_{anu}	p_{bnu}	p_{rnu}	h_{abnu}
00 600	51,09	2,19	−0,30	2,21	352	1,02	0,50	1,14	386
01 705	47,68	2,38	−0,88	2,54	339	1,20	−0,07	1,21	356
02 714	46,49	2,41	−1,12	2,66	334	1,24	−0,31	1,28	345
03 716	43,45	2,50	−1,20	2,77	334	1,32	−0,39	1,38	343
04 723	39,63	2,58	−1,43	2,95	331	1,41	−0,62	1,54	336
05 735M	34,59	2,61	−1,86	3,20	324	1,43	−1,05	1,78	323
06 373	23,58	2,87	−2,73	3,96	316	1,69	−1,92	2,56	311
07 450	10,37	1,92	−6,76	7,03	285	0,74	−5,95	6,00	277
08 463	9,03	0,69	−8,01	8,04	274	−0,48	−7,20	7,22	266
09 465	11,18	0,41	−6,64	6,65	273	−0,75	−5,83	5,88	262
10 470	16,46	0,09	−4,67	4,67	271	−1,07	−3,86	4,01	254
11 474	23,15	−0,02	−3,40	3,40	269	−1,19	−2,59	2,85	245
12 477B	31,32	−0,01	−2,54	2,54	269	−1,18	−1,73	2,10	235
13 479	35,77	0,02	−2,23	2,23	270	−1,15	−1,43	1,83	231
14 481	45,22	0,13	−1,77	1,78	274	−1,04	−0,97	1,42	223
15 482	48,30	0,16	−1,63	1,64	275	−1,00	−0,83	1,30	219
16 487	48,90	0,10	−1,33	1,34	274	−1,06	−0,53	1,19	206
17 496	50,06	0,04	−0,88	0,88	272	−1,13	−0,07	1,13	183
18 500C	52,31	0,07	−0,73	0,74	275	−1,10	0,07	1,10	176
19 509	53,50	0,09	−0,53	0,54	280	−1,07	0,27	1,11	165
20 511	56,54	0,15	−0,50	0,52	287	−1,01	0,30	1,06	163
21 518	60,36	0,24	−0,39	0,46	302	−0,92	0,41	1,01	156
22 530	65,40	0,41	−0,25	0,48	329	−0,75	0,55	0,94	143
23 538G	76,41	0,65	−0,21	0,68	341	−0,52	0,59	0,79	131
24 553	89,62	1,08	−0,11	1,09	353	−0,08	0,68	0,69	97
25 557	90,96	1,22	−0,09	1,22	355	0,04	0,71	0,71	86
26 558	88,81	1,27	−0,07	1,27	356	0,09	0,73	0,74	82
27 561	83,52	1,38	−0,04	1,38	358	0,21	0,76	0,79	74
28 565	76,83	1,53	−0,02	1,53	358	0,36	0,78	0,86	65
29 570	68,67	1,71	−0,01	1,71	359	0,54	0,79	0,96	55
30 572	64,22	1,81	−0,01	1,81	359	0,64	0,79	1,02	51
31 578	54,77	2,03	−0,00	2,03	359	0,86	0,80	1,17	42
32 581Y	51,69	2,11	−0,03	2,11	0	0,94	0,77	1,21	39
33 600	51,09	2,19	−0,30	2,21	−7	1,02	0,50	1,14	26
34 705	47,68	2,38	−0,88	2,54	−20	1,20	−0,07	1,21	−3
U=D50	**100,00**	**1,175**	**−0,808**	**1,426**	**325**	**0,0**	**0,0**	**0,0**	**0**

$a=p_{an}=n_a p_a=2{,}5[(1{,}000x-0{,}171+0{,}000z)/y]$ $A_{nu}=(a-a_u)\,Y$ $C_{ABnu}=[A_{nu}^2+B_{nu}^2]^{1/2}$
$b=p_{bn}=n_b p_b=-1{,}0[(0{,}000x+0{,}000+1{,}000z)/y]$ $B_{nu}=(b-b_u)\,Y$ $h_{ABnu}=\mathrm{atan}[B_{nu}/A_{nu}]$

DG690−8N

DG690−7R_pchartl=1_xcolorl=4(R17M)

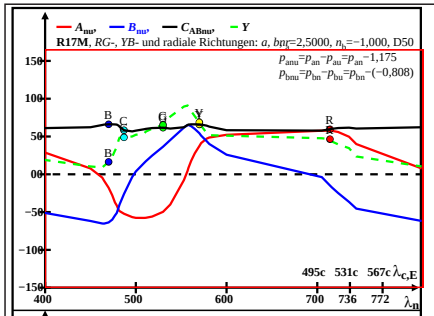

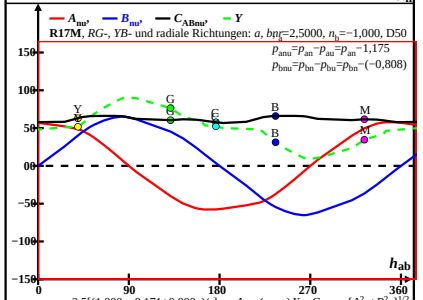

$a=p_{an}=n_a p_a=2{,}5[(1{,}000x-0{,}171+0{,}000z)/y]$ $A_{nu}=(a-a_u)\,Y$ $C_{ABnu}=[A_{nu}^2+B_{nu}^2]^{1/2}$
$b=p_{bn}=n_b p_b=-1{,}0[(0{,}000x+0{,}000+1{,}000z)/y]$ $B_{nu}=(b-b_u)\,Y$ $h_{ABnu}=\mathrm{atan}[B_{nu}/A_{nu}]$

DG691−3N

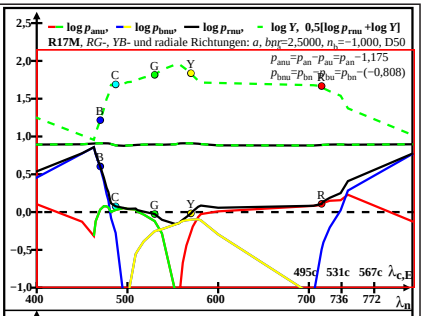

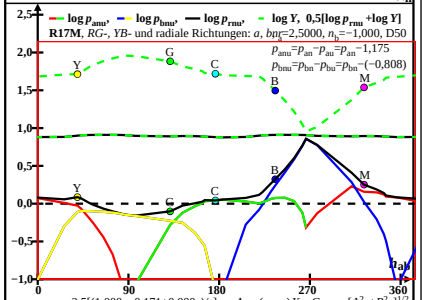

$a=p_{an}=n_a p_a=2{,}5[(1{,}000x-0{,}171+0{,}000z)/y]$ $A_{nu}=(a-a_u)\,Y$ $C_{ABnu}=[A_{nu}^2+B_{nu}^2]^{1/2}$
$b=p_{bn}=n_b p_b=-1{,}0[(0{,}000x+0{,}000+1{,}000z)/y]$ $B_{nu}=(b-b_u)\,Y$ $h_{ABnu}=\mathrm{atan}[B_{nu}/A_{nu}]$

DG691−4N

X_w=94,03, Y_w=100,00, Z_w=80,83
x_w=0,3420 y_w=0,3638 z_w=0,2941
$a'_{1,nu}=(a_1-a_{1,u})\,Y_{18}\,[Y/Y_{18}]^{1/3}$
$b'_{1,nu}=(b_1-b_{1,u})\,Y_{18}\,[Y/Y_{18}]^{1/3}$
$a_1=n_a[(1{,}000x-0{,}171+0{,}000z)/y]$
$b_1=n_b[(0{,}000x+0{,}000+1{,}000z)/y]$
n_a = 2,50, n_b = −1,00
n = D50

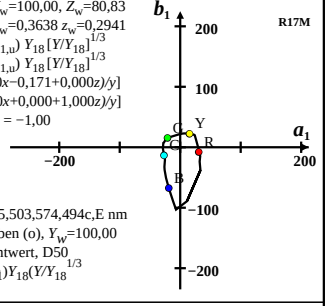

$\lambda_{B,G,Y,R}$=475,503,574,494c,E nm
Ostwald Farben (o), Y_w=100,00
max (m) Buntwert, D50
Farbart $(a_1, b_1)Y_{18}(Y/Y_{18}^{1/3}$

X_w=94,03, Y_w=100,00, Z_w=80,83
x_w=0,3420 y_w=0,3638 z_w=0,2941
$A_1=(a_1-a_{1,u})\,Y/[Y/Y_{18}]^{1/3}$
$B_1=(b_1-b_{1,u})\,Y/[Y/Y_{18}]^{1/3}$
$a_1=n_a[(1{,}000x-0{,}171+0{,}000z)/y]$
$b_1=n_b[(0{,}000x+0{,}000+1{,}000z)/y]$
n_a = 2,50, n_b = −1,00
n = D50

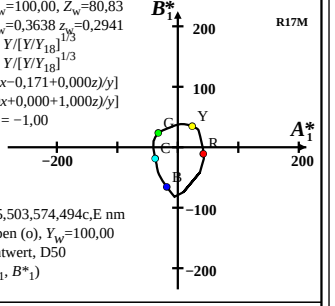

$\lambda_{B,G,Y,R}$=475,503,574,494c,E nm
Ostwald Farben (o), Y_w=100,00
max (m) Buntwert, D50
Buntheit (A^*_1, B^*_1)

X_w=94,03, Y_w=100,00, Z_w=80,83
x_w=0,3420 y_w=0,3638 z_w=0,2941
$a_{1,nu}=(a_1-a_{1,u})\,Y_{18}$
$b_{1,nu}=(b_1-b_{1,u})\,Y_{18}$
$a_1=n_a[(1{,}000x-0{,}171+0{,}000z)/y]$
$b_1=n_b[(0{,}000x+0{,}000+1{,}000z)/y]$
n_a = 2,50, n_b = −1,00
n = D50

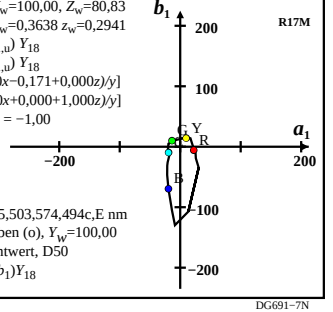

$\lambda_{B,G,Y,R}$=475,503,574,494c,E nm
Ostwald Farben (o), Y_w=100,00
max (m) Buntwert, D50
Farbart $(a_1, b_1)Y_{18}$

X_w=94,03, Y_w=100,00, Z_w=80,83
x_w=0,3420 y_w=0,3638 z_w=0,2941
$A_1=(a_1-a_{1,u})\,Y$
$B_1=(b_1-b_{1,u})\,Y$
$a_1=n_a[(1{,}000x-0{,}171+0{,}000z)/y]$
$b_1=n_b[(0{,}000x+0{,}000+1{,}000z)/y]$
n_a = 2,50, n_b = −1,00
n = D50

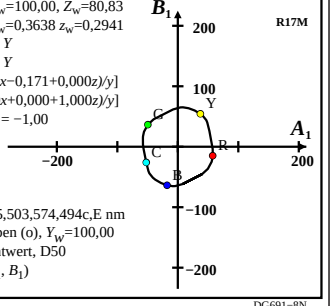

$\lambda_{B,G,Y,R}$=475,503,574,494c,E nm
Ostwald Farben (o), Y_w=100,00
max (m) Buntwert, D50
Buntwert (A_1, B_1)

DG691−7N

DG691−8N

DG691−7R_pchartl=1_xcolorl=4(R17M)

Siehe ähnliche Dateien: http://farbe.li.tu-berlin.de/DG69/DG69.HTM
Technische Information: http://farbe.li.tu-berlin.de oder http://130.149.60.45/~farbmetrik

TUB-Registrierung: 20180801-DG69/DG69L0NP.PDF /.PS
Anwendung für Messung von Offsetdruck-Ausgabe

TUB-Material: Code=rha4ta

Siehe ähnliche Dateien: http://farbe.li.tu-berlin.de/DG69/DG69.HTM
Technische Information: http://farbe.li.tu-berlin.de oder http://130.149.60.45/~farbmetrik

TUB-Registrierung: 20180801-DG69/DG69L0NP.PDF /.PS
Anwendung für Messung von Offsetdruck-Ausgabe
TUB-Material: Code=rha4ta

R17Ms-Normfarbwerte, Buntwerte und Farbarten (n_a=2,5, n_b=−1,0).
Normierte *Ostwald (O)*-Farbwerte (Y_w=100), geordnet nach Wellenlänge.

	Normfarbwerte und -anteile						*nu*-Buntwerte			
λ_n	*X*	*Y*	*Z*	*x*	*y*	*z*	A_{nu}	B_{nu}	C_{ABnu}	h_{ABnu}
00 375	52,09	25,14	67,62	0,359	0,173	0,466	38,8	−47,2	61,2	309
01 444	27,16	9,33	67,62	0,260	0,089	0,649	12,4	−60,0	61,3	281
02 463	21,19	9,55	72,48	0,205	0,092	0,702	−2,3	−64,7	64,7	267
03 465	21,27	11,71	74,36	0,198	0,109	0,692	−6,4	−64,8	65,1	264
04 470B	21,43	17,01	77,11	0,185	0,147	0,667	−15,7	−63,3	65,2	256
05 474	22,09	23,68	78,83	0,177	0,190	0,632	−25,7	−59,6	64,9	246
06 476	22,83	27,59	79,42	0,175	0,212	0,611	−30,7	−57,0	64,8	241
07 479	25,44	36,25	80,19	0,179	0,255	0,565	−39,4	−50,8	64,3	232
08 480	27,41	40,88	80,43	0,184	0,274	0,540	−42,8	−47,3	63,8	227
09 481	29,88	45,66	80,60	0,191	0,292	0,516	−45,4	−43,6	63,0	223
10 482C	31,14	48,71	79,26	0,195	0,306	0,498	−47,1	−39,8	61,7	220
11 488	25,13	49,09	60,78	0,186	0,363	0,450	−52,3	−21,0	56,3	201
12 496	20,67	50,20	44,12	0,179	0,436	0,383	−56,2	−3,4	56,3	183
13 500	20,63	52,39	38,61	0,184	0,469	0,345	−57,4	3,7	57,5	176
14 505	20,59	54,04	33,36	0,190	0,500	0,308	−57,9	10,3	58,8	169
15 515	20,37	55,82	24,00	0,203	0,557	0,239	−57,1	21,1	60,9	159
16 522G	23,24	59,39	19,95	0,226	0,578	0,194	−55,2	28,1	61,9	153
17 530	29,26	65,19	16,37	0,264	0,588	0,147	−50,4	36,3	62,2	144
18 540	41,69	74,85	13,32	0,321	0,576	0,102	−38,8	47,2	61,1	129
19 552	66,62	90,66	13,33	0,390	0,531	0,078	−12,4	60,0	61,3	101
20 557	72,58	90,44	8,47	0,423	0,527	0,049	2,3	64,7	64,7	87
21 558	72,51	88,28	6,59	0,433	0,527	0,039	6,4	64,8	65,1	84
22 561	72,35	82,98	3,84	0,454	0,521	0,024	15,7	63,3	65,2	76
23 565Y	71,69	76,31	2,11	0,477	0,508	0,014	25,7	59,6	64,9	66
24 567	70,94	72,40	1,53	0,489	0,499	0,010	30,7	57,0	64,8	61
25 572	68,33	63,74	0,76	0,514	0,479	0,005	39,5	50,8	64,3	52
26 575	66,36	59,11	0,52	0,526	0,469	0,004	42,8	47,3	63,8	47
27 578	63,90	54,33	0,35	0,538	0,458	0,002	45,5	43,6	63,0	43
28 581	62,64	51,28	1,69	0,541	0,443	0,014	47,1	39,8	61,7	40
29 614R	68,65	50,90	20,17	0,491	0,364	0,144	52,3	21,0	56,4	21
30 701	73,11	49,79	36,82	0,457	0,311	0,230	56,2	3,4	56,3	3
31 705	73,15	47,60	42,34	0,448	0,291	0,259	57,4	−3,8	57,6	356
32 710	73,19	45,95	47,59	0,438	0,275	0,285	57,9	−10,4	58,8	349
33 720	73,40	44,17	56,94	0,420	0,253	0,326	57,2	−21,1	61,0	339
34 727	70,53	40,59	61,00	0,409	0,235	0,354	55,2	−28,1	62,0	333
35 735M	64,51	34,79	64,58	0,393	0,212	0,394	50,5	−36,4	62,3	324
36 745	52,09	25,14	67,62	0,359	0,173	0,466	38,8	−47,2	61,2	309
37 809	27,16	9,33	67,62	0,260	0,089	0,649	12,4	−60,0	61,3	281
U=D50	**93,78**	**100,00**	**80,94**	**0,341**	**0,363**	**0,363**	**0,0**	**0,0**	**0,0**	**0**

$a=p_{an}=n_a p_a=2{,}5[(1{,}000x-0{,}171+0{,}000z)/y]$ $A_{nu}=(a-a_u)\,Y$ $C_{ABnu}=[A_{nu}^2+B_{nu}^2]^{1/2}$
$b=p_{bn}=n_b p_b=-1{,}0[(0{,}000x+0{,}000+1{,}000z)/y]$ $B_{nu}=(b-b_u)\,Y$ $h_{ABnu}=\mathrm{atan}[B_{nu}/A_{nu}]$

DG690−3N

R17Ms-Normfarbwerte, Buntwerte und Farbarten (n_a=2,5, n_b=−1,0).
Normierte *Ostwald (O)*-Farbwerte (Y_w=100), geordnet nach Wellenlänge.

	n-Farbart					*nu*-Farbart			
λ_n	*Y*	p_{an}	p_{bn}	p_{rn}	h_{abn}	p_{anu}	p_{bnu}	p_{rnu}	h_{abnu}
00 375	25,14	2,71	−2,69	3,82	315	1,54	−1,88	2,43	309
01 444	9,33	2,50	−7,24	7,66	289	1,33	−6,43	6,57	281
02 463	9,55	0,92	−7,58	7,64	276	−0,24	−6,78	6,78	267
03 465	11,71	0,62	−6,35	6,38	275	−0,54	−5,54	5,56	264
04 470B	17,01	0,24	−4,53	4,53	273	−0,92	−3,72	3,83	256
05 474	23,68	0,08	−3,32	3,33	271	−1,08	−2,51	2,74	246
06 476	27,59	0,05	−2,87	2,87	271	−1,11	−2,06	2,34	241
07 479	36,25	0,08	−2,21	2,21	272	−1,08	−1,40	1,77	232
08 480	40,88	0,12	−1,96	1,97	273	−1,04	−1,15	1,56	227
09 481	45,66	0,17	−1,76	1,77	275	−0,99	−0,95	1,38	223
10 482C	48,71	0,20	−1,62	1,63	277	−0,96	−0,81	1,26	220
11 488	49,09	0,10	−1,23	1,24	274	−1,06	−0,42	1,14	201
12 496	50,20	0,05	−0,87	0,88	273	−1,11	−0,06	1,12	183
13 500	52,39	0,07	−0,73	0,74	275	−1,09	0,07	1,09	176
14 505	54,04	0,09	−0,61	0,62	279	−1,07	0,19	1,08	169
15 515	55,82	0,14	−0,42	0,45	288	−1,02	0,37	1,09	159
16 522G	59,39	0,23	−0,33	0,41	305	−0,92	0,47	1,04	153
17 530	65,19	0,39	−0,25	0,46	327	−0,77	0,55	0,95	144
18 540	74,85	0,65	−0,17	0,67	344	−0,51	0,63	0,81	129
19 552	90,66	1,03	−0,14	1,04	351	−0,13	0,66	0,67	101
20 557	90,44	1,19	−0,09	1,19	355	0,02	0,71	0,71	87
21 558	88,28	1,24	−0,07	1,24	356	0,07	0,73	0,73	84
22 561	82,98	1,35	−0,04	1,36	358	0,19	0,76	0,78	76
23 565Y	76,31	1,50	−0,02	1,50	358	0,33	0,78	0,85	66
24 567	72,40	1,59	−0,02	1,59	359	0,42	0,78	0,89	61
25 572	63,74	1,78	−0,01	1,78	359	0,61	0,79	1,00	52
26 575	59,11	1,89	−0,00	1,89	359	0,72	0,80	1,08	47
27 578	54,33	2,00	−0,00	2,00	359	0,83	0,80	1,16	43
28 581	51,28	2,09	−0,03	2,09	359	0,92	0,77	1,20	40
29 614R	50,90	2,19	−0,39	2,23	349	1,02	0,41	1,10	21
30 701	49,79	2,29	−0,73	2,41	342	1,12	0,06	1,13	3
31 705	47,60	2,37	−0,88	2,53	339	1,20	0,08	1,21	356
32 710	45,95	2,43	−1,03	2,64	336	1,26	−0,22	1,28	349
33 720	44,17	2,46	−1,28	2,78	332	1,29	−0,47	1,38	339
34 727	40,59	2,53	−1,50	2,94	329	1,36	−0,69	1,52	333
35 735M	34,79	2,62	−1,85	3,21	324	1,45	−1,04	1,79	324
36 745	25,14	2,71	−2,69	3,82	315	1,54	−1,88	2,43	309
37 809	9,33	2,50	−7,24	7,66	289	1,33	−6,43	6,57	281
U=D50	**100,00**	**1,169**	**−0,809**	**1,422**	**325**	**0,0**	**0,0**	**0,0**	**0**

$a=p_{an}=n_a p_a=2{,}5[(1{,}000x-0{,}171+0{,}000z)/y]$ $A_{nu}=(a-a_u)\,Y$ $C_{ABnu}=[A_{nu}^2+B_{nu}^2]^{1/2}$
$b=p_{bn}=n_b p_b=-1{,}0[(0{,}000x+0{,}000+1{,}000z)/y]$ $B_{nu}=(b-b_u)\,Y$ $h_{ABnu}=\mathrm{atan}[B_{nu}/A_{nu}]$

DG690−4N

R17Ms-Normfarbwerte, Buntwerte und Farbarten (n_a=2,5, n_b=−1,0).
Normierte *Ostwald (O)*-Farbwerte (Y_w=100), geordnet nach Buntton winkel.

	Normfarbwerte und -anteile						*nu*-Buntwerte			
λ_n	*X*	*Y*	*Z*	*x*	*y*	*z*	A_{nu}	B_{nu}	C_{ABnu}	h_{ABnu}
00 614	68,65	50,90	20,17	0,491	0,364	0,144	52,3	21,0	56,4	381
01 701	73,11	49,79	36,82	0,457	0,311	0,230	56,2	3,4	56,3	363
02 705	73,15	47,60	42,34	0,448	0,291	0,259	57,4	−3,8	57,6	356
03 710	73,19	45,95	47,59	0,438	0,275	0,285	57,9	−10,4	58,8	349
04 720	73,40	44,17	56,94	0,420	0,253	0,326	57,2	−21,1	61,0	339
05 727M	70,53	40,59	61,00	0,409	0,235	0,354	55,2	−28,1	62,0	333
06 735	64,51	34,79	64,58	0,393	0,212	0,394	50,5	−36,4	62,3	324
07 375	52,09	25,14	67,62	0,359	0,173	0,466	38,8	−47,2	61,2	309
08 444	27,16	9,33	67,62	0,260	0,089	0,649	12,4	−60,0	61,3	281
09 463	21,19	9,55	72,48	0,205	0,092	0,702	−2,3	−64,7	64,7	267
10 465	21,27	11,71	74,36	0,198	0,109	0,692	−6,4	−64,8	65,1	264
11 470	21,43	17,01	77,11	0,185	0,147	0,667	−15,7	−63,3	65,2	256
12 474B	22,09	23,68	78,83	0,177	0,190	0,632	−25,7	−59,6	64,9	246
13 476	22,83	27,59	79,42	0,175	0,212	0,611	−30,7	−57,0	64,8	241
14 479	25,44	36,25	80,19	0,179	0,255	0,565	−39,4	−50,8	64,3	232
15 480	27,41	40,88	80,43	0,184	0,274	0,540	−42,8	−47,3	63,8	227
16 481	29,88	45,66	80,60	0,191	0,292	0,516	−45,4	−43,6	63,0	223
17 482	31,14	48,71	79,26	0,195	0,306	0,498	−47,1	−39,8	61,7	220
18 488C	25,13	49,09	60,78	0,186	0,363	0,450	−52,3	−21,0	56,3	201
19 496	20,67	50,20	44,12	0,179	0,436	0,383	−56,2	−3,4	56,3	183
20 500	20,63	52,39	38,61	0,184	0,469	0,345	−57,4	3,7	57,5	176
21 505	20,59	54,04	33,36	0,190	0,500	0,308	−57,9	10,3	58,8	169
22 515	20,37	55,82	24,00	0,203	0,557	0,239	−57,1	21,1	60,9	159
23 522G	23,24	59,39	19,95	0,226	0,578	0,194	−55,2	28,1	61,9	153
24 530	29,26	65,19	16,37	0,264	0,588	0,147	−50,4	36,3	62,2	144
25 540	41,69	74,85	13,32	0,321	0,576	0,102	−38,8	47,2	61,1	129
26 552	66,62	90,66	13,33	0,390	0,531	0,078	−12,4	60,0	61,3	101
27 557	72,58	90,44	8,47	0,423	0,527	0,049	2,3	64,7	64,7	87
28 558	72,51	88,28	6,59	0,433	0,527	0,039	6,4	64,8	65,1	84
29 561	72,35	82,98	3,84	0,454	0,521	0,024	15,7	63,3	65,2	76
30 565	71,69	76,31	2,11	0,477	0,508	0,014	25,7	59,6	64,9	66
31 567	70,94	72,40	1,53	0,489	0,499	0,010	30,7	57,0	64,8	61
32 572Y	68,33	63,74	0,76	0,514	0,479	0,005	39,5	50,8	64,3	52
33 575	66,36	59,11	0,52	0,526	0,469	0,004	42,8	47,3	63,8	47
34 578	63,90	54,33	0,35	0,538	0,458	0,002	45,5	43,6	63,0	43
35 581	62,64	51,28	1,69	0,541	0,443	0,014	47,1	39,8	61,7	40
36 614R	68,65	50,90	20,17	0,491	0,364	0,144	52,3	21,0	56,4	21
37 701	73,11	49,79	36,82	0,457	0,311	0,230	56,2	3,4	56,3	3
U=D50	**93,78**	**100,00**	**80,94**	**0,341**	**0,363**	**0,363**	**0,0**	**0,0**	**0,0**	**0**

$a=p_{an}=n_a p_a=2{,}5[(1{,}000x-0{,}171+0{,}000z)/y]$ $A_{nu}=(a-a_u)\,Y$ $C_{ABnu}=[A_{nu}^2+B_{nu}^2]^{1/2}$
$b=p_{bn}=n_b p_b=-1{,}0[(0{,}000x+0{,}000+1{,}000z)/y]$ $B_{nu}=(b-b_u)\,Y$ $h_{ABnu}=\mathrm{atan}[B_{nu}/A_{nu}]$

DG690−7N

R17Ms-Normfarbwerte, Buntwerte und Farbarten (n_a=2,5, n_b=−1,0).
Normierte *Ostwald (O)*-Farbwerte (Y_w=100), geordnet nach Buntton winkel.

	n-Farbart					*nu*-Farbart			
λ_n	*Y*	p_{an}	p_{bn}	p_{rn}	h_{abn}	p_{anu}	p_{bnu}	p_{rnu}	h_{abnu}
00 614	50,90	2,19	−0,39	2,23	349	1,02	0,41	1,10	381
01 701	49,79	2,29	−0,73	2,41	342	1,12	0,06	1,13	363
02 705	47,60	2,37	−0,88	2,53	339	1,20	−0,08	1,21	356
03 710	45,95	2,43	−1,03	2,64	336	1,26	−0,22	1,28	349
04 720	44,17	2,46	−1,28	2,78	332	1,29	−0,47	1,38	339
05 727M	40,59	2,53	−1,50	2,94	329	1,36	−0,69	1,52	333
06 735	34,79	2,62	−1,85	3,21	324	1,45	−1,04	1,79	324
07 375	25,14	2,71	−2,69	3,82	315	1,54	−1,88	2,43	309
08 444	9,33	2,50	−7,24	7,66	289	1,33	−6,43	6,57	281
09 463	9,55	0,92	−7,58	7,64	276	−0,24	−6,78	6,78	267
10 465	11,71	0,62	−6,35	6,38	275	−0,54	−5,54	5,56	264
11 470	17,01	0,24	−4,53	4,53	273	−0,92	−3,72	3,83	256
12 474B	23,68	0,08	−3,32	3,33	271	−1,08	−2,51	2,74	246
13 476	27,59	0,05	−2,87	2,87	271	−1,11	−2,06	2,34	241
14 479	36,25	0,08	−2,21	2,21	272	−1,08	−1,40	1,77	232
15 480	40,88	0,12	−1,96	1,97	273	−1,04	−1,15	1,56	227
16 481	45,66	0,17	−1,76	1,77	275	−0,99	−0,95	1,38	223
17 482	48,71	0,20	−1,62	1,63	277	−0,96	−0,81	1,26	220
18 488C	49,09	0,10	−1,23	1,24	274	−1,06	−0,42	1,14	201
19 496	50,20	0,05	−0,87	0,88	273	−1,11	−0,06	1,12	183
20 500	52,39	0,07	−0,73	0,74	275	−1,09	0,07	1,09	176
21 505	54,04	0,09	−0,61	0,62	279	−1,07	0,19	1,08	169
22 515	55,82	0,14	−0,42	0,45	288	−1,02	0,37	1,09	159
23 522G	59,39	0,23	−0,33	0,41	305	−0,92	0,47	1,04	153
24 530	65,19	0,39	−0,25	0,46	327	−0,77	0,55	0,95	144
25 540	74,85	0,65	−0,17	0,67	344	−0,51	0,63	0,81	129
26 552	90,66	1,03	−0,14	1,04	351	−0,13	0,66	0,67	101
27 557	90,44	1,19	−0,09	1,19	355	0,02	0,71	0,71	87
28 558	88,28	1,24	−0,07	1,24	356	0,07	0,73	0,73	84
29 561	82,98	1,35	−0,04	1,36	358	0,19	0,76	0,78	76
30 565	76,31	1,50	−0,02	1,50	358	0,33	0,78	0,85	66
31 567	72,40	1,59	−0,02	1,59	359	0,42	0,78	0,89	61
32 572Y	63,74	1,78	−0,01	1,78	359	0,61	0,79	1,00	52
33 575	59,11	1,89	−0,00	1,89	359	0,72	0,80	1,08	47
34 578	54,33	2,00	−0,00	2,00	359	0,83	0,80	1,16	43
35 581	51,28	2,09	−0,03	2,09	0	0,92	0,77	1,20	40
36 614R	50,90	2,19	−0,39	2,23	−10	1,02	0,41	1,10	21
37 701	49,79	2,29	−0,73	2,41	−17	1,12	0,06	1,13	3
U=D50	**100,00**	**1,169**	**−0,809**	**1,422**	**325**	**0,0**	**0,0**	**0,0**	**0**

$a=p_{an}=n_a p_a=2{,}5[(1{,}000x-0{,}171+0{,}000z)/y]$ $A_{nu}=(a-a_u)\,Y$ $C_{ABnu}=[A_{nu}^2+B_{nu}^2]^{1/2}$
$b=p_{bn}=n_b p_b=-1{,}0[(0{,}000x+0{,}000+1{,}000z)/y]$ $B_{nu}=(b-b_u)\,Y$ $h_{ABnu}=\mathrm{atan}[B_{nu}/A_{nu}]$

DG690−8N

DG690−7R_pchartl=1_xcolorl=5(R17Ms)

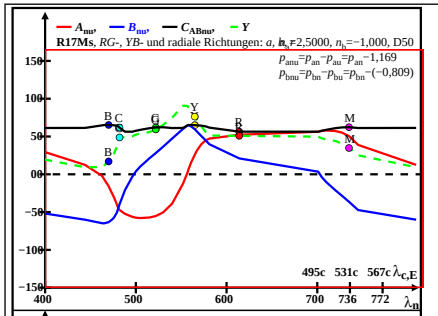

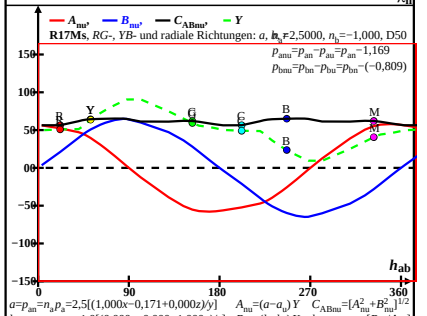

$a=p_{an}=n_a p_a=2{,}5[(1{,}000x-0{,}171+0{,}000z)/y]$ $A_{nu}=(a-a_u)\,Y$ $C_{ABnu}=[A_{nu}^2+B_{nu}^2]^{1/2}$
$b=p_{bn}=n_b p_b=-1{,}0[(0{,}000x+0{,}000+1{,}000z)/y]$ $B_{nu}=(b-b_u)\,Y$ $h_{ABnu}=\mathrm{atan}[B_{nu}/A_{nu}]$

DG691−3N

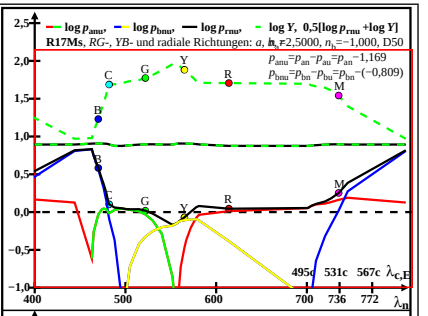

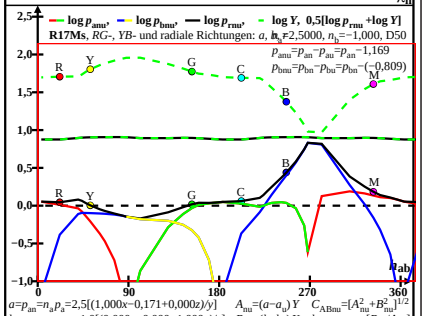

$a=p_{an}=n_a p_a=2{,}5[(1{,}000x-0{,}171+0{,}000z)/y]$ $A_{nu}=(a-a_u)\,Y$ $C_{ABnu}=[A_{nu}^2+B_{nu}^2]^{1/2}$
$b=p_{bn}=n_b p_b=-1{,}0[(0{,}000x+0{,}000+1{,}000z)/y]$ $B_{nu}=(b-b_u)\,Y$ $h_{ABnu}=\mathrm{atan}[B_{nu}/A_{nu}]$

DG691−4N

X_w=93,78, Y_w=100,00, Z_w=80,94
x_w=0,3413 y_w=0,3639 z_w=0,2946
$a'_{1,nu}=(a_1-a_{1,u})\,Y_{18}\,[Y/Y_{18}]^{1/3}$
$b'_{1,nu}=(b_1-b_{1,u})\,Y_{18}\,[Y/Y_{18}]^{1/3}$
$a_1=n_a[(1{,}000x-0{,}171+0{,}000z)/y]$
$b_1=n_b[(0{,}000x+0{,}000+1{,}000z)/y]$
n_a = 2,50, n_b = −1,00
n = D50

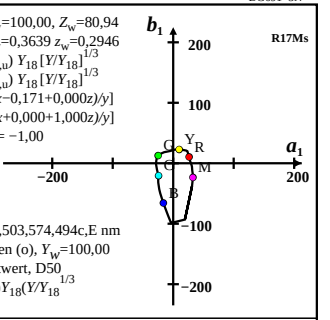

$\lambda_{B,G,Y,R}$=475,503,574,494c,E nm
Ostwald Farben (o), Y_w=100,00
max (m) Buntwert, D50
Farbart $(a_1, b_1)Y_{18}(Y/Y_{18}^{1/3}$

X_w=93,78, Y_w=100,00, Z_w=80,94
x_w=0,3413 y_w=0,3639 z_w=0,2946
$A_1=(a_1-a_{1,u})\,Y/[Y/Y_{18}]^{1/3}$
$B_1=(b_1-b_{1,u})\,Y/[Y/Y_{18}]^{1/3}$
$a_1=n_a[(1{,}000x-0{,}171+0{,}000z)/y]$
$b_1=n_b[(0{,}000x+0{,}000+1{,}000z)/y]$
n_a = 2,50, n_b = −1,00
n = D50

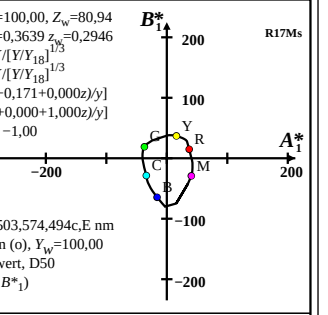

$\lambda_{B,G,Y,R}$=475,503,574,494c,E nm
Ostwald Farben (o), Y_w=100,00
max (m) Buntwert, D50
Buntheit (A^*_1, B^*_1)

X_w=93,78, Y_w=100,00, Z_w=80,94
x_w=0,3413 y_w=0,3639 z_w=0,2946
$a_{1,nu}=(a_1-a_{1,u})\,Y_{18}$
$b_{1,nu}=(b_1-b_{1,u})\,Y_{18}$
$a_1=n_a[(1{,}000x-0{,}171+0{,}000z)/y]$
$b_1=n_b[(0{,}000x+0{,}000+1{,}000z)/y]$
n_a = 2,50, n_b = −1,00
n = D50

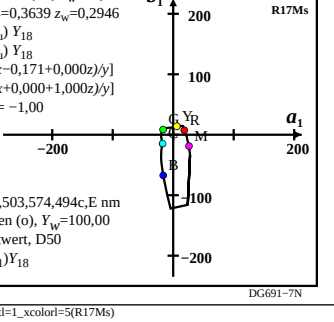

$\lambda_{B,G,Y,R}$=475,503,574,494c,E nm
Ostwald Farben (o), Y_w=100,00
max (m) Buntwert, D50
Farbart $(a_1, b_1)Y_{18}$

X_w=93,78, Y_w=100,00, Z_w=80,94
x_w=0,3413 y_w=0,3639 z_w=0,2946
$A_1=(a_1-a_{1,u})\,Y$
$B_1=(b_1-b_{1,u})\,Y$
$a_1=n_a[(1{,}000x-0{,}171+0{,}000z)/y]$
$b_1=n_b[(0{,}000x+0{,}000+1{,}000z)/y]$
n_a = 2,50, n_b = −1,00
n = D50

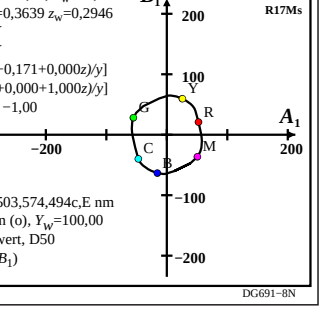

$\lambda_{B,G,Y,R}$=475,503,574,494c,E nm
Ostwald Farben (o), Y_w=100,00
max (m) Buntwert, D50
Buntwert (A_1, B_1)

DG691−7N

DG691−8N

DG691−7R_pchartl=1_xcolorl=5(R17Ms)

Siehe ähnliche Dateien: http://farbe.li.tu-berlin.de/DG69/DG69.HTM
Technische Information: http://farbe.li.tu-berlin.de oder http://130.149.60.45/~farbmetrik

CIE02-Normfarbwerte, Buntwerte und Farbarten (n_a=2,8, n_b=−1,0).
Normierte *Ostwald (O)*-Farbwerte (Y_w=100), geordnet nach Wellenlänge.

λ_n	Normfarbwerte und -anteile *X*	*Y*	*Z*	*x*	*y*	*z*	*nu*-Buntwerte A_{nu}	B_{nu}	C_{ABnu}	h_{ABnu}
00 396	31,24	12,19	76,69	0,260	0,101	0,638	13,3	−66,6	67,9	281
01 463	13,25	6,34	78,11	0,135	0,064	0,799	−18,3	−72,8	75,1	255
02 466	13,27	8,01	79,21	0,132	0,079	0,788	−21,8	−72,6	75,8	253
03 471	13,39	12,66	80,68	0,125	0,118	0,755	−30,8	−70,2	76,7	246
04 475B	14,00	19,21	81,44	0,122	0,167	0,710	−41,8	−65,6	77,8	237
05 479	15,61	27,50	81,85	0,124	0,220	0,655	−53,5	−59,2	79,8	227
06 481	18,42	36,66	82,05	0,134	0,267	0,598	−64,0	−51,9	82,4	219
07 483	20,35	41,45	82,11	0,141	0,288	0,570	−68,4	−48,0	83,5	215
08 484	22,64	46,29	82,14	0,149	0,306	0,543	−72,0	−44,0	84,4	211
09 485	25,29	51,06	82,16	0,159	0,322	0,518	−74,6	−40,1	84,7	208
10 486C	29,62	57,81	81,62	0,175	0,341	0,482	−76,7	−34,0	84,0	203
11 490	26,32	58,17	63,51	0,177	0,393	0,429	−76,4	−15,6	78,0	191
12 497	23,01	58,66	42,48	0,185	0,472	0,342	−74,9	5,7	75,1	175
13 501	22,62	59,57	35,18	0,192	0,507	0,299	−74,0	13,7	75,3	169
14 506	22,26	60,29	28,28	0,200	0,543	0,255	−72,8	21,2	75,9	163
15 519	21,83	61,02	17,06	0,218	0,610	0,170	−69,8	33,1	77,3	154
16 522G	24,04	63,42	17,06	0,230	0,606	0,163	−69,1	35,0	77,5	153
17 535	27,22	66,19	9,71	0,263	0,641	0,094	−63,3	44,7	77,5	144
18 544	35,20	72,16	7,33	0,306	0,629	0,063	−54,6	52,0	75,4	136
19 561	65,07	87,80	5,54	0,410	0,554	0,034	−13,3	66,6	67,9	101
20 568	83,05	93,65	4,13	0,459	0,517	0,022	18,3	72,8	75,1	75
21 569	83,03	91,98	3,02	0,466	0,516	0,016	21,8	72,6	75,8	73
22 571	82,92	87,33	1,55	0,482	0,508	0,009	30,9	70,2	76,7	66
23 573Y	82,30	80,76	0,80	0,502	0,492	0,004	41,9	65,6	77,8	57
24 577	80,69	72,49	0,38	0,525	0,472	0,002	53,6	59,2	79,8	47
25 581	77,87	63,33	0,18	0,550	0,447	0,001	64,0	51,8	82,4	39
26 583	75,96	58,54	0,13	0,564	0,434	0,000	68,4	48,0	83,6	35
27 585	73,67	53,70	0,09	0,577	0,421	0,000	72,0	44,0	84,4	31
28 587	71,01	48,93	0,07	0,591	0,407	0,000	74,7	40,1	84,8	28
29 592R	66,69	42,18	0,61	0,609	0,385	0,005	76,8	34,0	84,0	23
30 631	69,99	41,82	18,71	0,536	0,320	0,143	76,4	15,6	78,0	11
31 702	73,30	41,33	39,75	0,474	0,267	0,257	74,9	−5,7	75,2	355
32 706	73,69	40,41	47,04	0,457	0,250	0,291	74,0	−13,8	75,3	349
33 711	74,05	39,70	53,95	0,441	0,236	0,321	72,9	−21,3	75,9	343
34 724	74,48	38,97	65,18	0,416	0,218	0,364	69,9	−33,1	77,3	334
35 727M	72,26	36,57	65,17	0,415	0,210	0,374	69,2	−35,1	77,5	333
36 740	69,08	33,80	72,53	0,393	0,192	0,413	63,3	−44,7	77,5	324
37 749	61,10	27,83	74,91	0,372	0,169	0,457	54,7	−52,0	75,4	316
38 766	31,24	12,19	76,69	0,260	0,101	0,638	13,3	−66,6	67,9	281
39 828	13,25	6,34	78,11	0,135	0,064	0,799	−18,3	−72,8	75,1	255
U=D50	**96,31**	**99,99**	**82,24**	**0,345**	**0,358**	**0,358**	**0,0**	**0,0**	**0,0**	**0**

$a=p_{an}=n_a p_a=2{,}8[(1{,}000x-0{,}171+0{,}000z)/y]$ $A_{nu}=(a-a_u)Y$ $C_{ABnu}=[A_{nu}^2+B_{nu}^2]^{1/2}$
$b=p_{bn}=n_b p_b=-1{,}0[(0{,}000x+0{,}000+1{,}000z)/y]$ $B_{nu}=(b-b_u)Y$ $h_{ABnu}=\mathrm{atan}[B_{nu}/A_{nu}]$

DG690−3N

CIE02-Normfarbwerte, Buntwerte und Farbarten (n_a=2,8, n_b=−1,0).
Normierte *Ostwald (O)*-Farbwerte (Y_w=100), geordnet nach Wellenlänge.

λ_n	*Y*	*n*-Farbart p_{an}	p_{bn}	p_{rn}	h_{abn}	*nu*-Farbart p_{anu}	p_{bnu}	p_{rnu}	h_{abnu}
00 396	12,19	2,45	−6,29	6,75	291	1,09	−5,46	5,57	281
01 463	6,34	−1,52	−12,32	12,41	262	−2,88	−11,49	11,85	255
02 466	8,01	−1,36	−9,88	9,98	262	−2,73	−9,06	9,46	253
03 471	12,66	−1,07	−6,37	6,46	260	−2,43	−5,55	6,06	246
04 475B	19,21	−0,81	−4,23	4,31	259	−2,17	−3,41	4,05	237
05 479	27,50	−0,58	−2,97	3,03	258	−1,94	−2,15	2,90	227
06 481	36,66	−0,38	−2,23	2,27	260	−1,74	−1,41	2,24	219
07 483	41,45	−0,28	−1,98	2,00	261	−1,65	−1,15	2,01	215
08 484	46,29	−0,19	−1,77	1,78	263	−1,55	−0,95	1,82	211
09 485	51,06	−0,09	−1,60	1,61	266	−1,46	−0,78	1,66	208
10 486C	57,81	0,03	−1,41	1,41	271	−1,32	−0,58	1,45	203
11 490	58,17	0,04	−1,09	1,09	272	−1,31	−0,26	1,34	191
12 497	58,66	0,08	−0,72	0,72	276	−1,27	0,09	1,28	175
13 501	59,57	0,11	−0,59	0,60	281	−1,24	0,23	1,26	169
14 506	60,29	0,15	−0,46	0,49	288	−1,20	0,35	1,25	163
15 519	61,02	0,21	−0,27	0,35	307	−1,14	0,54	1,26	154
16 522G	63,42	0,27	−0,26	0,38	315	−1,09	0,55	1,22	153
17 535	66,19	0,40	−0,14	0,43	340	−0,95	0,67	1,17	144
18 544	72,16	0,60	−0,10	0,61	350	−0,75	0,72	1,04	136
19 561	87,80	1,21	−0,06	1,21	357	−0,15	0,75	0,77	101
20 568	93,65	1,55	−0,04	1,55	358	0,19	0,77	0,80	75
21 569	91,98	1,60	−0,03	1,60	358	0,23	0,78	0,82	73
22 571	87,33	1,71	−0,01	1,71	359	0,35	0,80	0,87	66
23 573Y	80,76	1,88	−0,00	1,88	359	0,51	0,81	0,96	57
24 577	72,49	2,10	−0,00	2,10	359	0,73	0,81	1,10	47
25 581	63,33	2,37	−0,00	2,37	359	1,01	0,81	1,30	39
26 583	58,54	2,53	−0,00	2,53	359	1,16	0,82	1,42	35
27 585	53,70	2,70	−0,00	2,70	359	1,34	0,82	1,57	31
28 587	48,93	2,88	−0,00	2,88	359	1,52	0,82	1,73	28
29 592R	42,18	3,18	−0,01	3,18	359	1,82	0,80	1,99	23
30 631	41,82	3,19	−0,44	3,22	352	1,82	0,37	1,86	11
31 702	41,33	3,17	−0,96	3,31	343	1,81	−0,13	1,82	355
32 706	40,41	3,19	−1,16	3,40	339	1,83	−0,34	1,86	349
33 711	39,70	3,20	−1,35	3,47	336	1,83	−0,53	1,91	343
34 724	38,97	3,15	−1,67	3,57	332	1,79	−0,85	1,98	334
35 727M	36,57	3,25	−1,78	3,71	331	1,89	−0,95	2,12	333
36 740	33,80	3,23	−2,14	3,88	326	1,87	−1,32	2,29	324
37 749	27,83	3,32	−2,69	4,28	321	1,96	−1,86	2,71	316
38 766	12,19	2,45	−6,29	6,75	291	1,09	−5,46	5,57	281
39 828	6,34	−1,52	−12,32	12,41	262	−2,88	−11,49	11,85	255
U=D50	**99,99**	**1,362**	**−0,822**	**1,591**	**328**	**0,0**	**0,0**	**0,0**	**0**

$a=p_{an}=n_a p_a=2{,}8[(1{,}000x-0{,}171+0{,}000z)/y]$ $A_{nu}=(a-a_u)Y$ $C_{ABnu}=[A_{nu}^2+B_{nu}^2]^{1/2}$
$b=p_{bn}=n_b p_b=-1{,}0[(0{,}000x+0{,}000+1{,}000z)/y]$ $B_{nu}=(b-b_u)Y$ $h_{ABnu}=\mathrm{atan}[B_{nu}/A_{nu}]$

DG690−4N

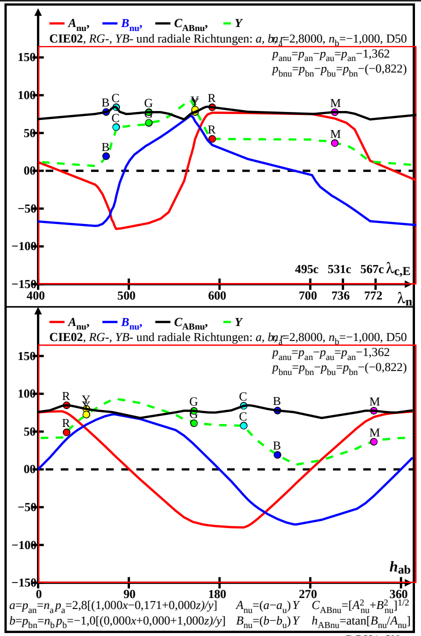

DG691−3N

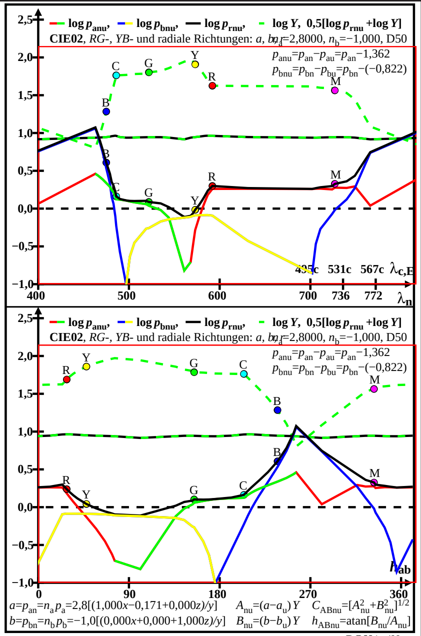

DG691−4N

CIE02-Normfarbwerte, Buntwerte und Farbarten (n_a=2,8, n_b=−1,0).
Normierte *Ostwald (O)*-Farbwerte (Y_w=100), geordnet nach Bunttonwinkel.

λ_n	Normfarbwerte und -anteile *X*	*Y*	*Z*	*x*	*y*	*z*	*nu*-Buntwerte A_{nu}	B_{nu}	C_{ABnu}	h_{ABnu}
00 631	69,99	41,82	18,71	0,536	0,320	0,143	76,4	15,6	78,0	371
01 702	73,30	41,33	39,75	0,474	0,267	0,257	74,9	−5,7	75,2	355
02 706	73,69	40,41	47,04	0,457	0,250	0,291	74,0	−13,8	75,3	349
03 711	74,05	39,70	53,95	0,441	0,236	0,321	72,9	−21,3	75,9	343
04 724	74,48	38,97	65,18	0,416	0,218	0,364	69,9	−33,1	77,3	334
05 727M	72,26	36,57	65,17	0,415	0,210	0,374	69,2	−35,1	77,5	333
06 740	69,08	33,80	72,53	0,393	0,192	0,413	63,3	−44,7	77,5	324
07 749	61,10	27,83	74,91	0,372	0,169	0,457	54,7	−52,0	75,4	316
08 396	31,24	12,19	76,69	0,260	0,101	0,638	13,3	−66,6	67,9	281
09 463	13,25	6,34	78,11	0,135	0,064	0,799	−18,3	−72,8	75,1	255
10 466	13,27	8,01	79,21	0,132	0,079	0,788	−21,8	−72,6	75,8	253
11 471	13,39	12,66	80,68	0,125	0,118	0,755	−30,8	−70,2	76,7	246
12 475B	14,00	19,21	81,44	0,122	0,167	0,710	−41,8	−65,6	77,8	237
13 479	15,61	27,50	81,85	0,124	0,220	0,655	−53,5	−59,2	79,8	227
14 481	18,42	36,66	82,05	0,134	0,267	0,598	−64,0	−51,9	82,4	219
15 483	20,35	41,45	82,11	0,141	0,288	0,570	−68,4	−48,0	83,5	215
16 484	22,64	46,29	82,14	0,149	0,306	0,543	−72,0	−44,0	84,4	211
17 485	25,29	51,06	82,16	0,159	0,322	0,518	−74,6	−40,1	84,7	208
18 486C	29,62	57,81	81,62	0,175	0,341	0,482	−76,7	−34,0	84,0	203
19 490	26,32	58,17	63,51	0,177	0,393	0,429	−76,4	−15,6	78,0	191
20 497	23,01	58,66	42,48	0,185	0,472	0,342	−74,9	5,7	75,1	175
21 501	22,62	59,57	35,18	0,192	0,507	0,299	−74,0	13,7	75,3	169
22 506	22,26	60,29	28,28	0,200	0,543	0,255	−72,8	21,2	75,9	163
23 519G	21,83	61,02	17,06	0,218	0,610	0,170	−69,8	33,1	77,3	154
24 522	24,04	63,42	17,06	0,230	0,606	0,163	−69,1	35,0	77,5	153
25 535	27,22	66,19	9,71	0,263	0,641	0,094	−63,3	44,7	77,5	144
26 544	35,20	72,16	7,33	0,306	0,629	0,063	−54,6	52,0	75,4	136
27 561	65,07	87,80	5,54	0,410	0,554	0,034	−13,3	66,6	67,9	101
28 568	83,05	93,65	4,13	0,459	0,517	0,022	18,3	72,8	75,1	75
29 569	83,03	91,98	3,02	0,466	0,516	0,016	21,8	72,6	75,8	73
30 571	82,92	87,33	1,55	0,482	0,508	0,009	30,9	70,2	76,7	66
31 573	82,30	80,76	0,80	0,502	0,492	0,004	41,9	65,6	77,8	57
32 577Y	80,69	72,49	0,38	0,525	0,472	0,002	53,6	59,2	79,8	47
33 581	77,87	63,33	0,18	0,550	0,447	0,001	64,0	51,8	82,4	39
34 583	75,96	58,54	0,13	0,564	0,434	0,000	68,4	48,0	83,6	35
35 585	73,67	53,70	0,09	0,577	0,421	0,000	72,0	44,0	84,4	31
36 587R	71,01	48,93	0,07	0,591	0,407	0,000	74,7	40,1	84,8	28
37 592	66,69	42,18	0,61	0,609	0,385	0,005	76,8	34,0	84,0	23
38 631	69,99	41,82	18,71	0,536	0,320	0,143	76,4	15,6	78,0	11
39 702	73,30	41,33	39,75	0,474	0,267	0,257	74,9	−5,7	75,2	−4
U=D50	**96,31**	**99,99**	**82,24**	**0,345**	**0,358**	**0,358**	**0,0**	**0,0**	**0,0**	**0**

$a=p_{an}=n_a p_a=2{,}8[(1{,}000x-0{,}171+0{,}000z)/y]$ $A_{nu}=(a-a_u)Y$ $C_{ABnu}=[A_{nu}^2+B_{nu}^2]^{1/2}$
$b=p_{bn}=n_b p_b=-1{,}0[(0{,}000x+0{,}000+1{,}000z)/y]$ $B_{nu}=(b-b_u)Y$ $h_{ABnu}=\mathrm{atan}[B_{nu}/A_{nu}]$

DG690−7N

CIE02-Normfarbwerte, Buntwerte und Farbarten (n_a=2,8, n_b=−1,0).
Normierte *Ostwald (O)*-Farbwerte (Y_w=100), geordnet nach Bunttonwinkel.

λ_n	*Y*	*n*-Farbart p_{an}	p_{bn}	p_{rn}	h_{abn}	*nu*-Farbart p_{anu}	p_{bnu}	p_{rnu}	h_{abnu}
00 631	41,82	3,19	−0,44	3,22	352	1,82	0,37	1,86	371
01 702	41,33	3,17	−0,96	3,31	343	1,81	−0,13	1,82	355
02 706	40,41	3,19	−1,16	3,40	339	1,83	−0,34	1,86	349
03 711	39,70	3,20	−1,35	3,47	336	1,83	−0,53	1,91	343
04 724	38,97	3,15	−1,67	3,57	332	1,79	−0,85	1,98	334
05 727M	36,57	3,25	−1,78	3,71	331	1,89	−0,95	2,12	333
06 740	33,80	3,23	−2,14	3,88	326	1,87	−1,32	2,29	324
07 749	27,83	3,32	−2,69	4,28	321	1,96	−1,86	2,71	316
08 396	12,19	2,45	−6,29	6,75	291	1,09	−5,46	5,57	281
09 463	6,34	−1,52	−12,32	12,41	262	−2,88	−11,49	11,85	255
10 466	8,01	−1,36	−9,88	9,98	262	−2,73	−9,06	9,46	253
11 471	12,66	−1,07	−6,37	6,46	260	−2,43	−5,55	6,06	246
12 475B	19,21	−0,81	−4,23	4,31	259	−2,17	−3,41	4,05	237
13 479	27,50	−0,58	−2,97	3,03	258	−1,94	−2,15	2,90	227
14 481	36,66	−0,38	−2,23	2,27	260	−1,74	−1,41	2,24	219
15 483	41,45	−0,28	−1,98	2,00	261	−1,65	−1,15	2,01	215
16 484	46,29	−0,19	−1,77	1,78	263	−1,55	−0,95	1,82	211
17 485	51,06	−0,09	−1,60	1,61	266	−1,46	−0,78	1,66	208
18 486C	57,81	0,03	−1,41	1,41	271	−1,32	−0,58	1,45	203
19 490	58,17	0,04	−1,09	1,09	272	−1,31	−0,26	1,34	191
20 497	58,66	0,08	−0,72	0,72	276	−1,27	0,09	1,28	175
21 501	59,57	0,11	−0,59	0,60	281	−1,24	0,23	1,26	169
22 506	60,29	0,15	−0,46	0,49	288	−1,20	0,35	1,25	163
23 519G	61,02	0,21	−0,27	0,35	307	−1,14	0,54	1,26	154
24 522	63,42	0,27	−0,26	0,38	315	−1,09	0,55	1,22	153
25 535	66,19	0,40	−0,14	0,43	340	−0,95	0,67	1,17	144
26 544	72,16	0,60	−0,10	0,61	350	−0,75	0,72	1,04	136
27 561	87,80	1,21	−0,06	1,21	357	−0,15	0,75	0,77	101
28 568	93,65	1,55	−0,04	1,55	358	0,19	0,77	0,80	75
29 569	91,98	1,60	−0,03	1,60	358	0,23	0,78	0,82	73
30 571	87,33	1,71	−0,01	1,71	359	0,35	0,80	0,87	66
31 573	80,76	1,88	−0,00	1,88	359	0,51	0,81	0,96	57
32 577Y	72,49	2,10	−0,00	2,10	359	0,73	0,81	1,10	47
33 581	63,33	2,37	−0,00	2,37	359	1,01	0,81	1,30	39
34 583	58,54	2,53	−0,00	2,53	359	1,16	0,82	1,42	35
35 585	53,70	2,70	−0,00	2,70	359	1,34	0,82	1,57	31
36 587R	48,93	2,88	−0,00	2,88	359	1,52	0,82	1,73	28
37 592	42,18	3,18	−0,01	3,18	0	1,82	0,80	1,99	23
38 631	41,82	3,19	−0,44	3,22	−7	1,82	0,37	1,86	11
39 702	41,33	3,17	−0,96	3,31	−16	1,81	−0,13	1,82	−4
U=D50	**99,99**	**1,362**	**−0,822**	**1,591**	**328**	**0,0**	**0,0**	**0,0**	**0**

$a=p_{an}=n_a p_a=2{,}8[(1{,}000x-0{,}171+0{,}000z)/y]$ $A_{nu}=(a-a_u)Y$ $C_{ABnu}=[A_{nu}^2+B_{nu}^2]^{1/2}$
$b=p_{bn}=n_b p_b=-1{,}0[(0{,}000x+0{,}000+1{,}000z)/y]$ $B_{nu}=(b-b_u)Y$ $h_{ABnu}=\mathrm{atan}[B_{nu}/A_{nu}]$

DG690−8N

DG690−7R_pchartl=2_xcolorl=0(CIE02)

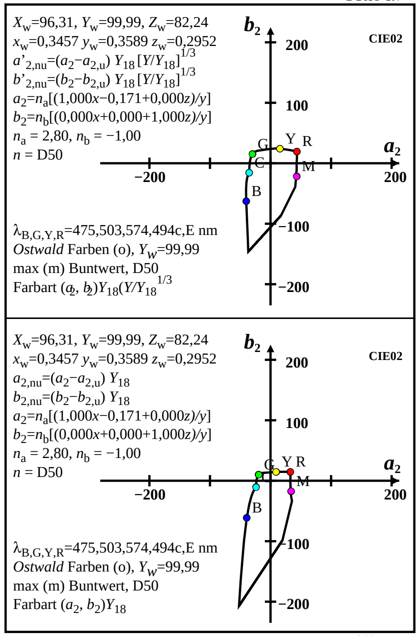

DG691−7N

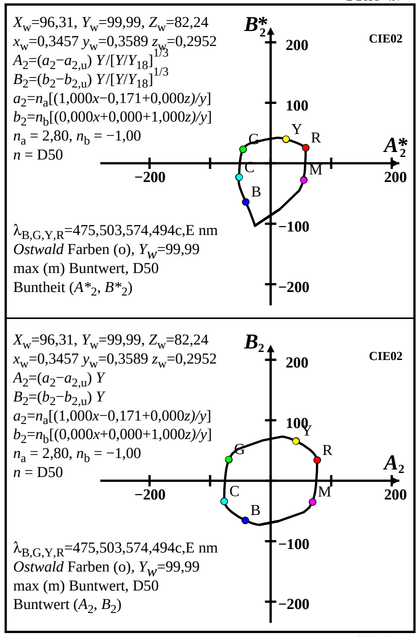

DG691−8N

DG691−7R_pchartl=2_xcolorl=0(CIE02)

TUB-Registrierung: 20180801-DG69/DG69L0NP.PDF /.PS
Anwendung für Messung von Offsetdruck-Ausgabe
TUB-Material: Code=rha4ta

Siehe ähnliche Dateien: http://farbe.li.tu-berlin.de/DG69/DG69.HTM
Technische Information: http://farbe.li.tu-berlin.de oder http://130.149.60.45/~farbmetrik

TUB-Registrierung: 20180801-DG69/DG69L0NP.PDF /.PS
Anwendung für Messung von Offsetdruck-Ausgabe
TUB-Material: Code=rha4ta

CIE10-Normfarbwerte, Buntwerte und Farbarten (n_a=2,8, n_b=−1,0).
Normierte *Ostwald (O)*-Farbwerte (Y_w=100), geordnet nach Wellenlänge.

λ_n	Normfarbwerte und -anteile X	Y	Z	x	y	z	*nu*-Buntwerte A_{nu}	B_{nu}	C_{ABnu}	h_{ABnu}
00 376	55,24	26,06	71,08	0,362	0,171	0,466	45,8	−49,9	67,8	312
01 458	13,22	7,40	75,87	0,136	0,076	0,786	−19,3	−69,8	72,5	254
02 460	13,26	8,89	77,33	0,133	0,089	0,777	−22,7	−70,1	73,7	252
03 462	13,28	10,68	78,42	0,129	0,104	0,765	−26,5	−69,7	74,6	249
04 462B	13,28	10,68	78,42	0,129	0,104	0,765	−26,5	−69,7	74,6	249
05 468	13,66	17,92	80,19	0,122	0,160	0,717	−39,9	−65,6	76,8	238
06 471	14,70	24,41	80,73	0,122	0,203	0,673	−49,7	−60,9	78,6	230
07 473	15,60	28,17	80,89	0,125	0,225	0,648	−54,7	−58,0	79,7	226
08 475	18,32	36,37	81,08	0,134	0,267	0,597	−63,7	−51,5	81,9	218
09 477	22,35	45,10	81,16	0,150	0,303	0,546	−70,5	−44,5	83,4	212
10 477C	22,35	45,10	81,16	0,150	0,303	0,546	−70,5	−44,5	83,4	212
11 479	27,82	53,94	81,17	0,170	0,331	0,498	−74,2	−37,3	83,1	206
12 480	30,64	58,21	79,19	0,182	0,346	0,471	−74,7	−31,9	81,2	203
13 484	25,67	56,42	59,80	0,180	0,397	0,421	−73,6	−14,0	74,9	190
14 492	22,50	56,65	38,03	0,192	0,483	0,324	−71,0	7,9	71,4	173
15 503	21,56	57,40	24,28	0,208	0,555	0,235	−67,9	22,2	71,5	161
16 512G	22,19	58,45	18,53	0,223	0,589	0,186	−65,7	28,9	71,8	156
17 521	24,28	60,61	13,79	0,246	0,614	0,139	−62,6	35,3	71,9	150
18 531	29,00	64,47	10,07	0,280	0,622	0,097	−57,0	42,2	70,9	143
19 541	41,39	73,93	10,07	0,330	0,589	0,080	−45,8	49,9	67,7	132
20 563	83,41	92,59	5,28	0,460	0,510	0,029	19,4	69,8	72,5	74
21 564	83,37	91,09	3,82	0,467	0,510	0,021	22,8	70,0	73,7	71
22 565	83,35	89,31	2,74	0,475	0,509	0,015	26,5	69,7	74,6	69
23 565Y	83,35	89,31	2,74	0,475	0,509	0,015	26,5	69,7	74,6	69
24 568	82,96	82,07	0,96	0,499	0,494	0,005	39,9	65,6	76,8	58
25 571	81,93	75,58	0,44	0,518	0,478	0,002	49,8	60,8	78,6	50
26 573	81,03	71,82	0,27	0,529	0,469	0,001	54,8	58,0	79,8	46
27 577	78,31	63,62	0,08	0,551	0,447	0,000	63,7	51,5	82,0	38
28 581	74,28	54,89	0,01	0,575	0,424	0,000	70,6	44,5	83,5	32
29 581R	74,28	54,89	0,01	0,575	0,424	0,000	70,6	44,5	83,5	32
30 587	68,81	46,05	0,00	0,599	0,400	0,000	74,3	37,3	83,2	26
31 589	67,60	44,04	0,93	0,600	0,391	0,008	74,8	34,8	82,5	24
32 692	70,96	43,57	21,37	0,522	0,320	0,157	73,7	13,9	75,0	10
33 697	74,12	43,34	43,14	0,461	0,269	0,268	71,0	−7,9	71,4	353
34 708	75,07	42,59	56,88	0,430	0,244	0,325	68,0	−22,3	71,6	341
35 717M	74,44	41,54	62,63	0,416	0,232	0,350	65,7	−28,9	71,8	336
36 726	72,35	39,38	67,37	0,403	0,219	0,376	62,6	−35,4	71,9	330
37 736	67,62	35,52	71,08	0,388	0,203	0,408	57,0	−42,2	71,0	323
38 746	55,24	26,06	71,08	0,362	0,171	0,466	45,8	−49,9	67,8	312
39 823	13,22	7,40	75,87	0,136	0,076	0,786	−19,3	−69,8	72,5	254
U=D50	**96,63**	**100,00**	**81,17**	**0,347**	**0,359**	**0,359**	**0,0**	**0,0**	**0,0**	**0**

$a=p_{anu}=n_a p_a=2{,}8[(1{,}000x-0{,}171+0{,}000z)/y]$ $A_{nu}=(a-a_u)\,Y$ $C_{ABnu}=[A_{nu}^2+B_{nu}^2]^{1/2}$
$b=p_{bnu}=n_b p_b=-1{,}0[(0{,}000x+0{,}000+1{,}000z)/y]$ $B_{nu}=(b-b_u)\,Y$ $h_{ABnu}=\mathrm{atan}[B_{nu}/A_{nu}]$

DG690−3N

CIE10-Normfarbwerte, Buntwerte und Farbarten (n_a=2,8, n_b=−1,0).
Normierte *Ostwald (O)*-Farbwerte (Y_w=100), geordnet nach Wellenlänge.

λ_n	*n*-Farbart Y	p_{an}	p_{bn}	p_{rn}	h_{abn}	*nu*-Farbart p_{anu}	p_{bnu}	p_{rnu}	h_{abnu}
00 376	26,06	3,13	−2,72	4,15	318	1,76	−1,91	2,60	312
01 458	7,40	−1,24	−10,25	10,32	263	−2,61	−9,44	9,79	254
02 460	8,89	−1,18	−8,68	8,76	262	−2,55	−7,87	8,28	252
03 462	10,68	−1,10	−7,34	7,42	261	−2,48	−6,53	6,98	249
04 462B	10,68	−1,10	−7,34	7,42	261	−2,48	−6,53	6,98	249
05 468	17,92	−0,85	−4,47	4,55	259	−2,22	−3,66	4,28	238
06 471	24,41	−0,66	−3,30	3,37	258	−2,03	−2,49	3,22	230
07 473	28,17	−0,56	−2,87	2,92	258	−1,94	−2,06	2,83	226
08 475	36,37	−0,37	−2,22	2,26	260	−1,75	−1,41	2,25	218
09 477	45,10	−0,19	−1,79	1,80	263	−1,56	−0,98	1,85	212
10 477C	45,10	−0,19	−1,79	1,80	263	−1,56	−0,98	1,85	212
11 479	53,94	−0,00	−1,50	1,50	269	−1,37	−0,69	1,54	206
12 480	58,21	0,09	−1,36	1,36	273	−1,28	−0,54	1,39	203
13 484	56,42	0,06	−1,05	1,06	273	−1,30	−0,24	1,32	190
14 492	56,65	0,12	−0,67	0,68	280	−1,25	0,14	1,26	173
15 503	57,40	0,19	−0,42	0,46	294	−1,18	0,38	1,24	161
16 512G	58,45	0,25	−0,31	0,40	308	−1,12	0,49	1,22	156
17 521	60,61	0,34	−0,22	0,41	326	−1,03	0,58	1,18	150
18 531	64,47	0,49	−0,15	0,51	342	−0,88	0,65	1,10	143
19 541	73,93	0,75	−0,13	0,76	349	−0,61	0,67	0,91	132
20 563	92,59	1,58	−0,05	1,58	357	0,20	0,75	0,78	74
21 564	91,09	1,62	−0,04	1,62	358	0,25	0,76	0,80	71
22 565	89,31	1,67	−0,03	1,67	358	0,29	0,78	0,83	69
23 565Y	89,31	1,67	−0,03	1,67	358	0,29	0,78	0,83	69
24 568	82,07	1,86	−0,01	1,86	359	0,48	0,79	0,93	58
25 571	75,58	2,03	−0,00	2,03	359	0,65	0,80	1,04	50
26 573	71,82	2,13	−0,00	2,13	359	0,76	0,80	1,11	46
27 577	63,62	2,37	−0,00	2,37	359	1,00	0,81	1,28	38
28 581	54,89	2,66	−0,00	2,66	359	1,28	0,81	1,52	32
29 581R	54,89	2,66	−0,00	2,66	359	1,28	0,81	1,52	32
30 587	46,05	2,98	0,00	2,98	0	1,61	0,81	1,80	26
31 589	44,04	3,07	−0,02	3,07	359	1,69	0,79	1,87	24
32 692	43,57	3,06	−0,49	3,10	350	1,69	0,32	1,72	10
33 697	43,34	3,01	−0,99	3,17	341	1,63	−0,18	1,64	353
34 708	42,59	2,97	−1,33	3,25	335	1,59	−0,52	1,68	341
35 717M	41,54	2,95	−1,50	3,32	332	1,58	−0,69	1,73	336
36 726	39,38	2,96	−1,71	3,42	330	1,59	−0,89	1,82	330
37 736	35,52	2,98	−2,00	3,59	326	1,60	−1,18	1,99	323
38 746	26,06	3,13	−2,72	4,15	318	1,76	−1,91	2,60	312
39 823	7,40	−1,24	−10,25	10,32	263	−2,61	−9,44	9,79	254
U=D50	**100,00**	**1,375**	**−0,811**	**1,596**	**329**	**0,0**	**0,0**	**0,0**	**0**

$a=p_{anu}=n_a p_a=2{,}8[(1{,}000x-0{,}171+0{,}000z)/y]$ $A_{nu}=(a-a_u)\,Y$ $C_{ABnu}=[A_{nu}^2+B_{nu}^2]^{1/2}$
$b=p_{bnu}=n_b p_b=-1{,}0[(0{,}000x+0{,}000+1{,}000z)/y]$ $B_{nu}=(b-b_u)\,Y$ $h_{ABnu}=\mathrm{atan}[B_{nu}/A_{nu}]$

DG690−4N

CIE10-Normfarbwerte, Buntwerte und Farbarten (n_a=2,8, n_b=−1,0).
Normierte *Ostwald (O)*-Farbwerte (Y_w=100), geordnet nach Buntton winkel.

λ_n	Normfarbwerte und -anteile X	Y	Z	x	y	z	*nu*-Buntwerte A_{nu}	B_{nu}	C_{ABnu}	h_{ABnu}
00 692	70,96	43,57	21,37	0,522	0,320	0,157	73,7	13,9	75,0	370
01 697	74,12	43,34	43,14	0,461	0,269	0,268	71,0	−7,9	71,4	353
02 708	75,07	42,59	56,88	0,430	0,244	0,325	68,0	−22,3	71,6	341
03 717	74,44	41,54	62,63	0,416	0,232	0,350	65,7	−28,9	71,8	336
04 726	72,35	39,38	67,37	0,403	0,219	0,376	62,6	−35,4	71,9	330
05 736M	67,62	35,52	71,08	0,388	0,203	0,408	57,0	−42,2	71,0	323
06 376	55,24	26,06	71,08	0,362	0,171	0,466	45,8	−49,9	67,8	312
07 458	13,22	7,40	75,87	0,136	0,076	0,786	−19,3	−69,8	72,5	254
08 460	13,26	8,89	77,33	0,133	0,089	0,777	−22,7	−70,1	73,7	252
09 462	13,28	10,68	78,42	0,129	0,104	0,765	−26,5	−69,7	74,6	249
10 462	13,28	10,68	78,42	0,129	0,104	0,765	−26,5	−69,7	74,6	249
11 468	13,66	17,92	80,19	0,122	0,160	0,717	−39,9	−65,6	76,8	238
12 471B	14,70	24,41	80,73	0,122	0,203	0,673	−49,7	−60,9	78,6	230
13 473	15,60	28,17	80,89	0,125	0,225	0,648	−54,7	−58,0	79,7	226
14 475	18,32	36,37	81,08	0,134	0,267	0,597	−63,7	−51,5	81,9	218
15 477	22,35	45,10	81,16	0,150	0,303	0,546	−70,5	−44,5	83,4	212
16 477	22,35	45,10	81,16	0,150	0,303	0,546	−70,5	−44,5	83,4	212
17 479	27,82	53,94	81,17	0,170	0,331	0,498	−74,2	−37,3	83,1	206
18 480C	30,64	58,21	79,19	0,182	0,346	0,471	−74,7	−31,9	81,2	203
19 484	25,67	56,42	59,80	0,180	0,397	0,421	−73,6	−14,0	74,9	190
20 492	22,50	56,65	38,03	0,192	0,483	0,324	−71,0	7,9	71,4	173
21 503	21,56	57,40	24,28	0,208	0,555	0,235	−67,9	22,2	71,5	161
22 512	22,19	58,45	18,53	0,223	0,589	0,186	−65,7	28,9	71,8	156
23 521G	24,28	60,61	13,79	0,246	0,614	0,139	−62,6	35,3	71,9	150
24 531	29,00	64,47	10,07	0,280	0,622	0,097	−57,0	42,2	70,9	143
25 541	41,39	73,93	10,07	0,330	0,589	0,080	−45,8	49,9	67,7	132
26 563	83,41	92,59	5,28	0,460	0,510	0,029	19,4	69,8	72,5	74
27 564	83,37	91,09	3,82	0,467	0,510	0,021	22,8	70,0	73,7	71
28 565	83,35	89,31	2,74	0,475	0,509	0,015	26,5	69,7	74,6	69
29 565	83,35	89,31	2,74	0,475	0,509	0,015	26,5	69,7	74,6	69
30 568	82,96	82,07	0,96	0,499	0,494	0,005	39,9	65,6	76,8	58
31 571	81,93	75,58	0,44	0,518	0,478	0,002	49,8	60,8	78,6	50
32 573Y	81,03	71,82	0,27	0,529	0,469	0,001	54,8	58,0	79,8	46
33 577	78,31	63,62	0,08	0,551	0,447	0,000	63,7	51,5	82,0	38
34 581	74,28	54,89	0,01	0,575	0,424	0,000	70,6	44,5	83,5	32
35 581	74,28	54,89	0,01	0,575	0,424	0,000	70,6	44,5	83,5	32
36 587R	68,81	46,05	0,00	0,599	0,400	0,000	74,3	37,3	83,2	26
37 589	67,60	44,04	0,93	0,600	0,391	0,008	74,8	34,8	82,5	24
38 692	70,96	43,57	21,37	0,522	0,320	0,157	73,7	13,9	75,0	10
39 697	74,12	43,34	43,14	0,461	0,269	0,268	71,0	−7,9	71,4	−6
U=D50	**96,63**	**100,00**	**81,17**	**0,347**	**0,359**	**0,359**	**0,0**	**0,0**	**0,0**	**0**

$a=p_{anu}=n_a p_a=2{,}8[(1{,}000x-0{,}171+0{,}000z)/y]$ $A_{nu}=(a-a_u)\,Y$ $C_{ABnu}=[A_{nu}^2+B_{nu}^2]^{1/2}$
$b=p_{bnu}=n_b p_b=-1{,}0[(0{,}000x+0{,}000+1{,}000z)/y]$ $B_{nu}=(b-b_u)\,Y$ $h_{ABnu}=\mathrm{atan}[B_{nu}/A_{nu}]$

DG690−7N

CIE10-Normfarbwerte, Buntwerte und Farbarten (n_a=2,8, n_b=−1,0).
Normierte *Ostwald (O)*-Farbwerte (Y_w=100), geordnet nach Buntton winkel.

λ_n	*n*-Farbart Y	p_{an}	p_{bn}	p_{rn}	h_{abn}	*nu*-Farbart p_{anu}	p_{bnu}	p_{rnu}	h_{abnu}
00 692	43,57	3,06	−0,49	3,10	350	1,69	0,32	1,72	370
01 697	43,34	3,01	−0,99	3,17	341	1,63	−0,18	1,64	353
02 708	42,59	2,97	−1,33	3,25	335	1,59	−0,52	1,68	341
03 717	41,54	2,95	−1,50	3,32	332	1,58	−0,69	1,73	336
04 726	39,38	2,96	−1,71	3,42	330	1,59	−0,89	1,82	330
05 736M	35,52	2,98	−2,00	3,59	326	1,60	−1,18	1,99	323
06 376	26,06	3,13	−2,72	4,15	318	1,76	−1,91	2,60	312
07 458	7,40	−1,24	−10,25	10,32	263	−2,61	−9,44	9,79	254
08 460	8,89	−1,18	−8,68	8,76	262	−2,55	−7,87	8,28	252
09 462	10,68	−1,10	−7,34	7,42	261	−2,48	−6,53	6,98	249
10 462	10,68	−1,10	−7,34	7,42	261	−2,48	−6,53	6,98	249
11 468	17,92	−0,85	−4,47	4,55	259	−2,22	−3,66	4,28	238
12 471B	24,41	−0,66	−3,30	3,37	258	−2,03	−2,49	3,22	230
13 473	28,17	−0,56	−2,87	2,92	258	−1,94	−2,06	2,83	226
14 475	36,37	−0,37	−2,22	2,26	260	−1,75	−1,41	2,25	218
15 477	45,10	−0,19	−1,79	1,80	263	−1,56	−0,98	1,85	212
16 477	45,10	−0,19	−1,79	1,80	263	−1,56	−0,98	1,85	212
17 479	53,94	−0,00	−1,50	1,50	269	−1,37	−0,69	1,54	206
18 480C	58,21	0,09	−1,36	1,36	273	−1,28	−0,54	1,39	203
19 484	56,42	0,06	−1,05	1,06	273	−1,30	−0,24	1,32	190
20 492	56,65	0,12	−0,67	0,68	280	−1,25	0,14	1,26	173
21 503	57,40	0,19	−0,42	0,46	294	−1,18	0,38	1,24	161
22 512	58,45	0,25	−0,31	0,40	308	−1,12	0,49	1,22	156
23 521G	60,61	0,34	−0,22	0,41	326	−1,03	0,58	1,18	150
24 531	64,47	0,49	−0,15	0,51	342	−0,88	0,65	1,10	143
25 541	73,93	0,75	−0,13	0,76	349	−0,61	0,67	0,91	132
26 563	92,59	1,58	−0,05	1,58	357	0,20	0,75	0,78	74
27 564	91,09	1,62	−0,04	1,62	358	0,25	0,76	0,80	71
28 565	89,31	1,67	−0,03	1,67	358	0,29	0,78	0,83	69
29 565	89,31	1,67	−0,03	1,67	358	0,29	0,78	0,83	69
30 568	82,07	1,86	−0,01	1,86	359	0,48	0,79	0,93	58
31 571	75,58	2,03	−0,00	2,03	359	0,65	0,80	1,04	50
32 573Y	71,82	2,13	−0,00	2,13	359	0,76	0,80	1,11	46
33 577	63,62	2,37	−0,00	2,37	359	1,00	0,81	1,28	38
34 581	54,89	2,66	−0,00	2,66	359	1,28	0,81	1,52	32
35 581	54,89	2,66	−0,00	2,66	359	1,28	0,81	1,52	32
36 587R	46,05	2,98	0,00	2,98	0	1,61	0,81	1,80	26
37 589	44,04	3,07	−0,02	3,07	0	1,69	0,79	1,87	24
38 692	43,57	3,06	−0,49	3,10	−9	1,69	0,32	1,72	10
39 697	43,34	3,01	−0,99	3,17	−18	1,63	−0,18	1,64	−6
U=D50	**100,00**	**1,375**	**−0,811**	**1,596**	**329**	**0,0**	**0,0**	**0,0**	**0**

$a=p_{anu}=n_a p_a=2{,}8[(1{,}000x-0{,}171+0{,}000z)/y]$ $A_{nu}=(a-a_u)\,Y$ $C_{ABnu}=[A_{nu}^2+B_{nu}^2]^{1/2}$
$b=p_{bnu}=n_b p_b=-1{,}0[(0{,}000x+0{,}000+1{,}000z)/y]$ $B_{nu}=(b-b_u)\,Y$ $h_{ABnu}=\mathrm{atan}[B_{nu}/A_{nu}]$

DG690−8N

DG690−7R_pchartl=2_xcolorl=1(CIE10)

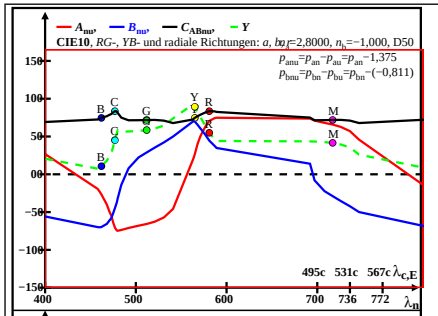

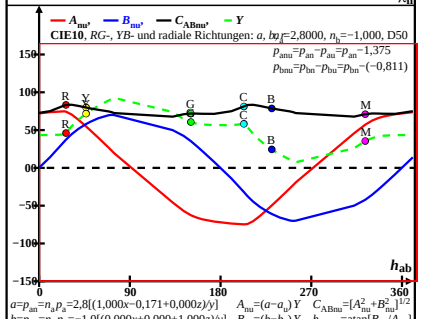

$a=p_{anu}=n_a p_a=2{,}8[(1{,}000x-0{,}171+0{,}000z)/y]$ $A_{nu}=(a-a_u)\,Y$ $C_{ABnu}=[A_{nu}^2+B_{nu}^2]^{1/2}$
$b=p_{bnu}=n_b p_b=-1{,}0[(0{,}000x+0{,}000+1{,}000z)/y]$ $B_{nu}=(b-b_u)\,Y$ $h_{ABnu}=\mathrm{atan}[B_{nu}/A_{nu}]$

DG691−3N

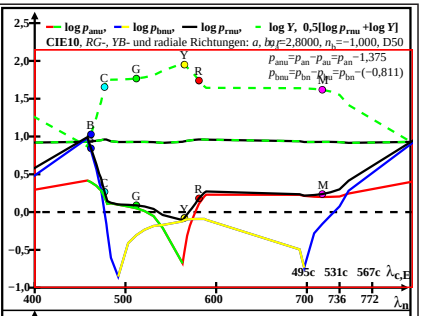

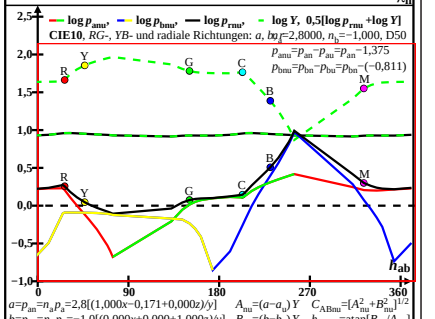

$a=p_{anu}=n_a p_a=2{,}8[(1{,}000x-0{,}171+0{,}000z)/y]$ $A_{nu}=(a-a_u)\,Y$ $C_{ABnu}=[A_{nu}^2+B_{nu}^2]^{1/2}$
$b=p_{bnu}=n_b p_b=-1{,}0[(0{,}000x+0{,}000+1{,}000z)/y]$ $B_{nu}=(b-b_u)\,Y$ $h_{ABnu}=\mathrm{atan}[B_{nu}/A_{nu}]$

DG691−4N

X_w=96,63, Y_w=100,00, Z_w=81,17
x_w=0,3478 y_w=0,3599 z_w=0,2921
$a'_{2,nu}=(a_2-a_{2,u})\,Y_{18}\,[Y/Y_{18}]^{1/3}$
$b'_{2,nu}=(b_2-b_{2,u})\,Y_{18}\,[Y/Y_{18}]^{1/3}$
$a_2=n_a[(1{,}000x-0{,}171+0{,}000z)/y]$
$b_2=n_b[(0{,}000x+0{,}000+1{,}000z)/y]$
n_a = 2,80, n_b = −1,00
n = D50

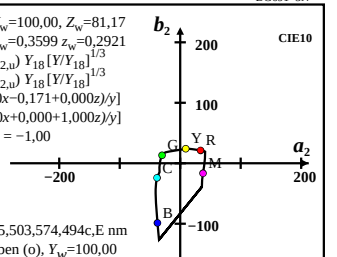

$\lambda_{B,G,Y,R}$=475,503,574,494c,E nm
Ostwald Farben (o), Y_w=100,00
max (m) Buntwert, D50
Farbart $(a_{2,10}, b_{2,10})Y_{18}(Y/Y_{18}{}^{1/3}$

X_w=96,63, Y_w=100,00, Z_w=81,17
x_w=0,3478 y_w=0,3599 z_w=0,2921
$a_{2,nu}=(a_2-a_{2,u})\,Y_{18}$
$b_{2,nu}=(b_2-b_{2,u})\,Y_{18}$
$a_2=n_a[(1{,}000x-0{,}171+0{,}000z)/y]$
$b_2=n_b[(0{,}000x+0{,}000+1{,}000z)/y]$
n_a = 2,80, n_b = −1,00
n = D50

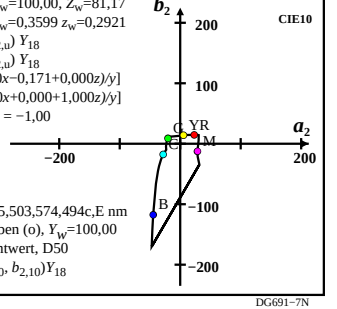

$\lambda_{B,G,Y,R}$=475,503,574,494c,E nm
Ostwald Farben (o), Y_w=100,00
max (m) Buntwert, D50
Farbart $(a_{2,10}, b_{2,10})Y_{18}$

DG691−7N

X_w=96,63, Y_w=100,00, Z_w=81,17
x_w=0,3478 y_w=0,3599 z_w=0,2921
$A_2=(a_2-a_{2,u})\,Y/[Y/Y_{18}]^{1/3}$
$B_2=(b_2-b_{2,u})\,Y/[Y/Y_{18}]^{1/3}$
$a_2=n_a[(1{,}000x-0{,}171+0{,}000z)/y]$
$b_2=n_b[(0{,}000x+0{,}000+1{,}000z)/y]$
n_a = 2,80, n_b = −1,00
n = D50

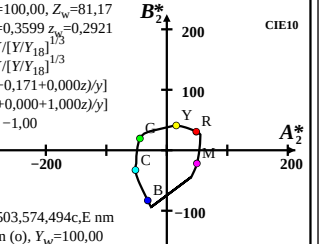

$\lambda_{B,G,Y,R}$=475,503,574,494c,E nm
Ostwald Farben (o), Y_w=100,00
max (m) Buntwert, D50
Buntheit $(A^*_{2,10}, B^*_{2,10})$

X_w=96,63, Y_w=100,00, Z_w=81,17
x_w=0,3478 y_w=0,3599 z_w=0,2921
$A_2=(a_2-a_{2,u})\,Y$
$B_2=(b_2-b_{2,u})\,Y$
$a_2=n_a[(1{,}000x-0{,}171+0{,}000z)/y]$
$b_2=n_b[(0{,}000x+0{,}000+1{,}000z)/y]$
n_a = 2,80, n_b = −1,00
n = D50

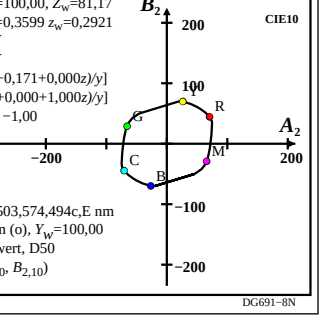

$\lambda_{B,G,Y,R}$=475,503,574,494c,E nm
Ostwald Farben (o), Y_w=100,00
max (m) Buntwert, D50
Buntwert $(A_{2,10}, B_{2,10})$

DG691−8N

DG691−7R_pchartl=2_xcolorl=1(CIE10)

Siehe ähnliche Dateien: http://farbe.li.tu-berlin.de/DG69/DG69.HTM
Technische Information: http://farbe.li.tu-berlin.de oder http://130.149.60.45/~farbmetrik

CIEF02-Normfarbwerte, Buntwerte und Farbarten (n_a=2,8, n_b=−1,0).
Normierte *Ostwald (O)*-Farbwerte (Y_w=100), geordnet nach Wellenlänge.

λ_n	X	Y	Z	x	y	z	A_{nu}	B_{nu}	C_{ABnu}	h_{ABnu}
	Normfarbwerte und -anteile						*nu*-Buntwerte			
00 386	51,50	23,94	74,68	0,343	0,159	0,497	39,6	−55,0	67,7	305
01 460	12,38	6,54	76,19	0,130	0,068	0,801	−19,8	−70,8	73,5	254
02 465	12,41	9,58	78,25	0,123	0,095	0,780	−26,3	−70,3	75,1	249
03 467	12,45	11,64	78,87	0,120	0,113	0,766	−30,3	−69,3	75,6	246
04 473B	13,31	20,43	79,83	0,117	0,179	0,702	−45,0	−63,0	77,4	234
05 475	14,02	24,19	79,97	0,118	0,204	0,676	−50,3	−60,0	78,4	230
06 479	17,82	36,91	80,16	0,132	0,273	0,594	−65,1	−49,8	81,9	217
07 479	17,82	36,91	80,16	0,132	0,273	0,594	−65,1	−49,8	81,9	217
08 481	21,98	46,03	80,19	0,148	0,310	0,541	−72,3	−42,3	83,8	210
09 481	21,98	46,03	80,19	0,148	0,310	0,541	−72,3	−42,3	83,8	210
10 483C	27,52	55,03	80,21	0,169	0,338	0,492	−76,0	−34,9	83,7	204
11 484	28,85	57,21	79,07	0,174	0,346	0,478	−76,4	−32,0	82,8	202
12 489	25,36	57,41	57,70	0,180	0,408	0,410	−74,6	−10,5	75,4	188
13 497	22,33	57,50	36,81	0,191	0,492	0,315	−71,8	10,4	72,6	171
14 505	21,31	58,03	24,30	0,205	0,559	0,234	−69,2	23,3	73,0	161
15 512	21,41	58,69	18,79	0,216	0,593	0,190	−67,5	29,4	73,7	156
16 521G	22,42	59,91	14,10	0,232	0,621	0,146	−65,2	35,1	74,1	151
17 524	25,32	62,97	14,10	0,247	0,615	0,137	−64,1	37,6	74,3	149
18 539	30,29	66,55	7,57	0,290	0,637	0,072	−56,0	47,1	73,2	139
19 551	44,95	76,05	5,53	0,355	0,601	0,043	−38,6	56,9	68,8	124
20 568	84,08	93,45	4,02	0,463	0,514	0,022	20,8	72,7	75,7	74
21 568	84,08	93,45	4,02	0,463	0,514	0,022	20,8	72,7	75,7	74
22 569	84,05	90,41	1,96	0,476	0,512	0,011	27,3	72,3	77,3	69
23 570Y	84,00	88,35	1,33	0,483	0,508	0,007	31,3	71,2	77,8	66
24 573	83,15	79,56	0,38	0,509	0,487	0,002	46,0	65,0	79,6	54
25 575	82,44	75,80	0,24	0,520	0,478	0,001	51,3	62,0	80,5	50
26 580	78,64	63,07	0,05	0,554	0,444	0,000	66,1	51,7	84,0	38
27 580	78,64	63,07	0,05	0,554	0,444	0,000	66,1	51,7	84,0	38
28 585	74,48	53,96	0,02	0,579	0,420	0,000	73,3	44,3	85,6	31
29 590R	68,94	44,96	0,00	0,605	0,394	0,000	77,0	36,9	85,4	25
30 592	67,61	42,78	1,14	0,606	0,383	0,010	77,4	34,0	84,6	23
31 694	71,10	42,58	22,52	0,522	0,312	0,165	75,6	12,4	76,7	9
32 702	74,12	42,49	43,40	0,463	0,265	0,271	72,8	−8,4	73,3	353
33 710	75,15	41,96	55,91	0,434	0,242	0,323	70,2	−21,4	73,4	343
34 717	75,05	41,30	61,43	0,422	0,232	0,345	68,5	−27,4	73,8	338
35 726M	74,04	40,08	66,11	0,410	0,222	0,366	66,2	−33,1	74,0	333
36 729	71,14	37,02	66,11	0,408	0,212	0,379	65,1	−35,6	74,3	331
37 744	66,16	33,43	72,64	0,384	0,194	0,421	57,0	−45,1	72,7	321
38 756	51,50	23,94	74,68	0,343	0,159	0,497	39,6	−55,0	67,7	305
39 825	12,38	6,54	76,19	0,130	0,068	0,801	−19,8	−70,8	73,5	254
U=D50	**96,46**	**100,00**	**82,22**	**0,346**	**0,358**	**0,358**	**0,0**	**0,0**	**0,0**	**0**

$a=p_{an}=n_a p_a=2{,}8[(1{,}000x-0{,}171+0{,}000z)/y]$ $A_{nu}=(a-a_u)Y$ $C_{ABnu}=[A_{nu}^2+B_{nu}^2]^{1/2}$
$b=p_{bn}=n_b p_b=-1{,}0[(0{,}000x+0{,}000+1{,}000z)/y]$ $B_{nu}=(b-b_u)Y$ $h_{ABnu}=\text{atan}[B_{nu}/A_{nu}]$

DG690−3N

CIEF02-Normfarbwerte, Buntwerte und Farbarten (n_a=2,8, n_b=−1,0).
Normierte *Ostwald (O)*-Farbwerte (Y_w=100), geordnet nach Wellenlänge.

λ_n	Y	p_{an}	p_{bn}	p_{rn}	h_{abn}	p_{anu}	p_{bnu}	p_{rnu}	h_{abnu}
	n-Farbart					*nu*-Farbart			
00 386	23,94	3,02	−3,11	4,34	314	1,65	−2,29	2,83	305
01 460	6,54	−1,66	−11,64	11,76	261	−3,02	−10,82	11,24	254
02 465	9,58	−1,38	−8,16	8,28	260	−2,74	−7,34	7,84	249
03 467	11,64	−1,24	−6,77	6,88	259	−2,60	−5,95	6,50	246
04 473B	20,43	−0,83	−3,90	3,99	257	−2,20	−3,08	3,79	234
05 475	24,19	−0,71	−3,30	3,38	257	−2,08	−2,48	3,24	230
06 479	36,91	−0,39	−2,17	2,20	259	−1,76	−1,34	2,22	217
07 479	36,91	−0,39	−2,17	2,20	259	−1,76	−1,34	2,22	217
08 481	46,03	−0,20	−1,74	1,75	263	−1,57	−0,92	1,82	210
09 481	46,03	−0,20	−1,74	1,75	263	−1,57	−0,92	1,82	210
10 483C	55,03	−0,01	−1,45	1,45	269	−1,38	−0,63	1,52	204
11 484	57,21	0,02	−1,38	1,38	271	−1,33	−0,56	1,44	202
12 489	57,41	0,06	−1,00	1,00	273	−1,30	−0,18	1,31	188
13 497	57,50	0,11	−0,64	0,65	280	−1,25	0,18	1,26	171
14 505	58,03	0,17	−0,41	0,45	292	−1,19	0,40	1,25	161
15 512	58,69	0,21	−0,32	0,38	303	−1,15	0,50	1,25	156
16 521G	59,91	0,27	−0,23	0,36	319	−1,08	0,58	1,23	151
17 524	62,97	0,34	−0,22	0,41	327	−1,01	0,59	1,18	149
18 539	66,55	0,52	−0,11	0,53	347	−0,84	0,70	1,10	139
19 551	76,05	0,85	−0,07	0,86	355	−0,50	0,74	0,90	124
20 568	93,45	1,58	−0,04	1,58	358	0,22	0,77	0,81	74
21 568	93,45	1,58	−0,04	1,58	358	0,22	0,77	0,81	74
22 569	90,41	1,66	−0,02	1,66	359	0,30	0,80	0,85	69
23 570Y	88,35	1,72	−0,01	1,72	359	0,35	0,80	0,88	66
24 573	79,56	1,94	−0,00	1,94	359	0,57	0,81	1,00	54
25 575	75,80	2,04	−0,00	2,04	359	0,67	0,81	1,06	50
26 580	63,07	2,41	−0,00	2,41	359	1,04	0,82	1,33	38
27 580	63,07	2,41	−0,00	2,41	359	1,04	0,82	1,33	38
28 585	53,96	2,72	−0,00	2,72	359	1,35	0,82	1,58	31
29 590R	44,96	3,08	0,00	3,08	0	1,71	0,82	1,90	25
30 592	42,78	3,17	−0,02	3,17	359	1,81	0,79	1,97	23
31 694	42,58	3,14	−0,52	3,18	350	1,77	0,29	1,80	9
32 702	42,49	3,08	−1,02	3,24	341	1,71	−0,19	1,72	353
33 710	41,96	3,04	−1,33	3,31	336	1,67	−0,51	1,75	343
34 717	41,30	3,02	−1,48	3,37	333	1,66	−0,66	1,78	338
35 726M	40,08	3,01	−1,64	3,44	331	1,65	−0,82	1,84	333
36 729	37,02	3,12	−1,78	3,60	330	1,76	−0,96	2,00	331
37 744	33,43	3,07	−2,17	3,76	324	1,70	−1,35	2,17	321
38 756	23,94	3,02	−3,11	4,34	314	1,65	−2,29	2,83	305
39 825	6,54	−1,66	−11,64	11,76	261	−3,02	−10,82	11,24	254
U=D50	**100,00**	**1,366**	**−0,821**	**1,594**	**328**	**0,0**	**0,0**	**0,0**	**0**

$a=p_{an}=n_a p_a=2{,}8[(1{,}000x-0{,}171+0{,}000z)/y]$ $A_{nu}=(a-a_u)Y$ $C_{ABnu}=[A_{nu}^2+B_{nu}^2]^{1/2}$
$b=p_{bn}=n_b p_b=-1{,}0[(0{,}000x+0{,}000+1{,}000z)/y]$ $B_{nu}=(b-b_u)Y$ $h_{ABnu}=\text{atan}[B_{nu}/A_{nu}]$

DG690−4N

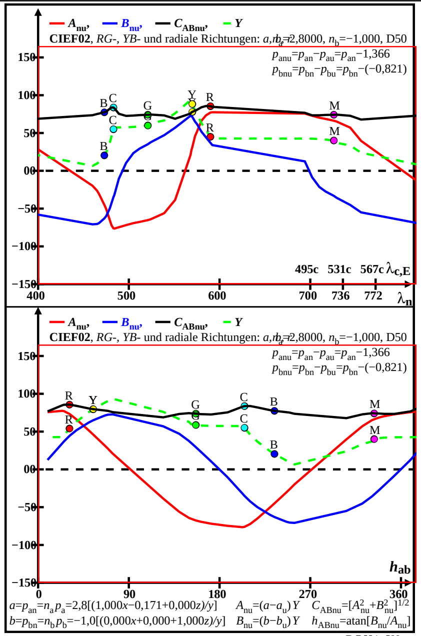

DG691−3N

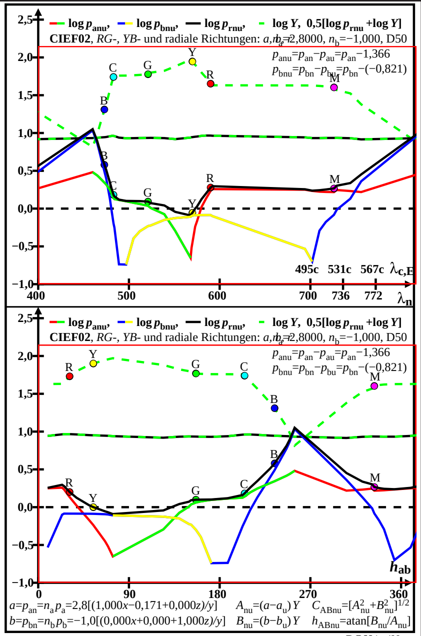

DG691−4N

CIEF02-Normfarbwerte, Buntwerte und Farbarten (n_a=2,8, n_b=−1,0).
Normierte *Ostwald (O)*-Farbwerte (Y_w=100), geordnet nach Bunttonwinkel.

λ_n	X	Y	Z	x	y	z	A_{nu}	B_{nu}	C_{ABnu}	h_{ABnu}
	Normfarbwerte und -anteile						*nu*-Buntwerte			
00 592	67,61	42,78	1,14	0,606	0,383	0,010	77,4	34,0	84,6	383
01 694	71,10	42,58	22,52	0,522	0,312	0,165	75,6	12,4	76,7	369
02 702	74,12	42,49	43,40	0,463	0,265	0,271	72,8	−8,4	73,3	353
03 710	75,15	41,96	55,91	0,434	0,242	0,323	70,2	−21,4	73,4	343
04 717	75,05	41,30	61,43	0,422	0,232	0,345	68,5	−27,4	73,8	338
05 726M	74,04	40,08	66,11	0,410	0,222	0,366	66,2	−33,1	74,0	333
06 729	71,14	37,02	66,11	0,408	0,212	0,379	65,1	−35,6	74,3	331
07 744	66,16	33,43	72,64	0,384	0,194	0,421	57,0	−45,1	72,7	321
08 386	51,50	23,94	74,68	0,343	0,159	0,497	39,6	−55,0	67,7	305
09 460	12,38	6,54	76,19	0,130	0,068	0,801	−19,8	−70,8	73,5	254
10 465	12,41	9,58	78,25	0,123	0,095	0,780	−26,3	−70,3	75,1	249
11 467	12,45	11,64	78,87	0,120	0,113	0,766	−30,3	−69,3	75,6	246
12 473B	13,31	20,43	79,83	0,117	0,179	0,702	−45,0	−63,0	77,4	234
13 475	14,02	24,19	79,97	0,118	0,204	0,676	−50,3	−60,0	78,4	230
14 479	17,82	36,91	80,16	0,132	0,273	0,594	−65,1	−49,8	81,9	217
15 479	17,82	36,91	80,16	0,132	0,273	0,594	−65,1	−49,8	81,9	217
16 481	21,98	46,03	80,19	0,148	0,310	0,541	−72,3	−42,3	83,8	210
17 481	21,98	46,03	80,19	0,148	0,310	0,541	−72,3	−42,3	83,8	210
18 483C	27,52	55,03	80,21	0,169	0,338	0,492	−76,0	−34,9	83,7	204
19 484	28,85	57,21	79,07	0,174	0,346	0,478	−76,4	−32,0	82,8	202
20 489	25,36	57,41	57,70	0,180	0,408	0,410	−74,6	−10,5	75,4	188
21 497	22,33	57,50	36,81	0,191	0,492	0,315	−71,8	10,4	72,6	171
22 505	21,31	58,03	24,30	0,205	0,559	0,234	−69,2	23,3	73,0	161
23 512G	21,41	58,69	18,79	0,216	0,593	0,190	−67,5	29,4	73,7	156
24 521	22,42	59,91	14,10	0,232	0,621	0,146	−65,2	35,1	74,1	151
25 524	25,32	62,97	14,10	0,247	0,615	0,137	−64,1	37,6	74,3	149
26 539	30,29	66,55	7,57	0,290	0,637	0,072	−56,0	47,1	73,2	139
27 551	44,95	76,05	5,53	0,355	0,601	0,043	−38,6	56,9	68,8	124
28 568	84,08	93,45	4,02	0,463	0,514	0,022	20,8	72,7	75,7	74
29 568	84,08	93,45	4,02	0,463	0,514	0,022	20,8	72,7	75,7	74
30 569	84,05	90,41	1,96	0,476	0,512	0,011	27,3	72,3	77,3	69
31 570	84,00	88,35	1,33	0,483	0,508	0,007	31,3	71,2	77,8	66
32 573Y	83,15	79,56	0,38	0,509	0,487	0,002	46,0	65,0	79,6	54
33 575	82,44	75,80	0,24	0,520	0,478	0,001	51,3	62,0	80,5	50
34 580	78,64	63,07	0,05	0,554	0,444	0,000	66,1	51,7	84,0	38
35 580	78,64	63,07	0,05	0,554	0,444	0,000	66,1	51,7	84,0	38
36 585R	74,48	53,96	0,02	0,579	0,420	0,000	73,3	44,3	85,6	31
37 590	68,94	44,96	0,00	0,605	0,394	0,000	77,0	36,9	85,4	25
38 592	67,61	42,78	1,14	0,606	0,383	0,010	77,4	34,0	84,6	23
39 694	71,10	42,58	22,52	0,522	0,312	0,165	75,6	12,4	76,7	9
U=D50	**96,46**	**100,00**	**82,22**	**0,346**	**0,358**	**0,358**	**0,0**	**0,0**	**0,0**	**0**

$a=p_{an}=n_a p_a=2{,}8[(1{,}000x-0{,}171+0{,}000z)/y]$ $A_{nu}=(a-a_u)Y$ $C_{ABnu}=[A_{nu}^2+B_{nu}^2]^{1/2}$
$b=p_{bn}=n_b p_b=-1{,}0[(0{,}000x+0{,}000+1{,}000z)/y]$ $B_{nu}=(b-b_u)Y$ $h_{ABnu}=\text{atan}[B_{nu}/A_{nu}]$

DG690−7N

CIEF02-Normfarbwerte, Buntwerte und Farbarten (n_a=2,8, n_b=−1,0).
Normierte *Ostwald (O)*-Farbwerte (Y_w=100), geordnet nach Bunttonwinkel.

λ_n	Y	p_{an}	p_{bn}	p_{rn}	h_{abn}	p_{anu}	p_{bnu}	p_{rnu}	h_{abnu}
	n-Farbart					*nu*-Farbart			
00 592	42,78	3,17	−0,02	3,17	359	1,81	0,79	1,97	383
01 694	42,58	3,14	−0,52	3,18	350	1,77	0,29	1,80	369
02 702	42,49	3,08	−1,02	3,24	341	1,71	−0,19	1,72	353
03 710	41,96	3,04	−1,33	3,31	336	1,67	−0,51	1,75	343
04 717	41,30	3,02	−1,48	3,37	333	1,66	−0,66	1,78	338
05 726M	40,08	3,01	−1,64	3,44	331	1,65	−0,82	1,84	333
06 729	37,02	3,12	−1,78	3,60	330	1,76	−0,96	2,00	331
07 744	33,43	3,07	−2,17	3,76	324	1,70	−1,35	2,17	321
08 386	23,94	3,02	−3,11	4,34	314	1,65	−2,29	2,83	305
09 460	6,54	−1,66	−11,64	11,76	261	−3,02	−10,82	11,24	254
10 465	9,58	−1,38	−8,16	8,28	260	−2,74	−7,34	7,84	249
11 467	11,64	−1,24	−6,77	6,88	259	−2,60	−5,95	6,50	246
12 473B	20,43	−0,83	−3,90	3,99	257	−2,20	−3,08	3,79	234
13 475	24,19	−0,71	−3,30	3,38	257	−2,08	−2,48	3,24	230
14 479	36,91	−0,39	−2,17	2,20	259	−1,76	−1,34	2,22	217
15 479	36,91	−0,39	−2,17	2,20	259	−1,76	−1,34	2,22	217
16 481	46,03	−0,20	−1,74	1,75	263	−1,57	−0,92	1,82	210
17 481	46,03	−0,20	−1,74	1,75	263	−1,57	−0,92	1,82	210
18 483C	55,03	−0,01	−1,45	1,45	269	−1,38	−0,63	1,52	204
19 484	57,21	0,02	−1,38	1,38	271	−1,33	−0,56	1,44	202
20 489	57,41	0,06	−1,00	1,00	273	−1,30	−0,18	1,31	188
21 497	57,50	0,11	−0,64	0,65	280	−1,25	0,18	1,26	171
22 505	58,03	0,17	−0,41	0,45	292	−1,19	0,40	1,25	161
23 512G	58,69	0,21	−0,32	0,38	303	−1,15	0,50	1,25	156
24 521	59,91	0,27	−0,23	0,36	319	−1,08	0,58	1,23	151
25 524	62,97	0,34	−0,22	0,41	327	−1,01	0,59	1,18	149
26 539	66,55	0,52	−0,11	0,53	347	−0,84	0,70	1,10	139
27 551	76,05	0,85	−0,07	0,86	355	−0,50	0,74	0,90	124
28 568	93,45	1,58	−0,04	1,58	358	0,22	0,77	0,81	74
29 568	93,45	1,58	−0,04	1,58	358	0,22	0,77	0,81	74
30 569	90,41	1,66	−0,02	1,66	359	0,30	0,80	0,85	69
31 570	88,35	1,72	−0,01	1,72	359	0,35	0,80	0,88	66
32 573Y	79,56	1,94	−0,00	1,94	359	0,57	0,81	1,00	54
33 575	75,80	2,04	−0,00	2,04	359	0,67	0,81	1,06	50
34 580	63,07	2,41	−0,00	2,41	359	1,04	0,82	1,33	38
35 580	63,07	2,41	−0,00	2,41	359	1,04	0,82	1,33	38
36 585R	53,96	2,72	−0,00	2,72	359	1,35	0,82	1,58	31
37 590	44,96	3,08	0,00	3,08	0	1,71	0,82	1,90	25
38 592	42,78	3,17	−0,02	3,17	0	1,81	0,79	1,97	23
39 694	42,58	3,14	−0,52	3,18	−9	1,77	0,29	1,80	9
U=D50	**100,00**	**1,366**	**−0,821**	**1,594**	**328**	**0,0**	**0,0**	**0,0**	**0**

$a=p_{an}=n_a p_a=2{,}8[(1{,}000x-0{,}171+0{,}000z)/y]$ $A_{nu}=(a-a_u)Y$ $C_{ABnu}=[A_{nu}^2+B_{nu}^2]^{1/2}$
$b=p_{bn}=n_b p_b=-1{,}0[(0{,}000x+0{,}000+1{,}000z)/y]$ $B_{nu}=(b-b_u)Y$ $h_{ABnu}=\text{atan}[B_{nu}/A_{nu}]$

DG690−8N

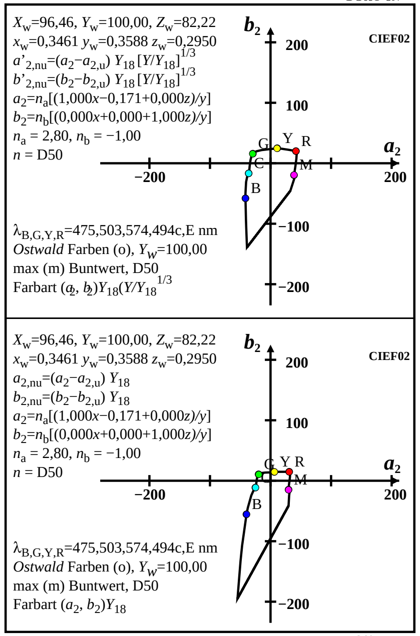

DG691−7N

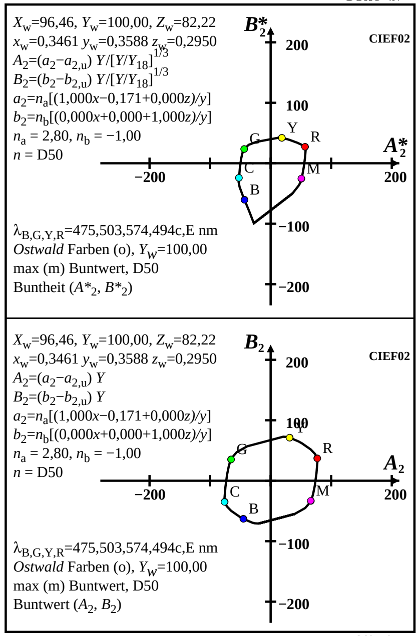

DG691−8N

DG690−7R_pchartl=2_xcolorl=2(CIEF02)
DG691−7R_pchartl=2_xcolorl=2(CIEF02)

TUB-Registrierung: 20180801-DG69/DG69L0NP.PDF /.PS
Anwendung für Messung von Offsetdruck-Ausgabe
TUB-Material: Code=rha4ta

Siehe ähnliche Dateien: http://farbe.li.tu-berlin.de/DG69/DG69.HTM
Technische Information: http://farbe.li.tu-berlin.de oder http://130.149.60.45/~farbmetrik

CIEF10-Normfarbwerte, Buntwerte und Farbarten (n_a=2,8, n_b=−1,0).
Normierte *Ostwald (O)*-Farbwerte (Y_w=100), geordnet nach Wellenlänge.

λ_n	Normfarbwerte und -anteile						*nu*-Buntwerte			
	X	Y	Z	x	y	z	A_{nu}	B_{nu}	C_{ABnu}	h_{ABnu}
00 380	52,92	25,78	74,65	0,345	0,168	0,486	39,2	−53,7	66,5	306
01 455	13,14	6,61	74,65	0,139	0,070	0,790	−17,5	−69,2	71,4	255
02 460	13,28	9,49	77,94	0,131	0,094	0,773	−24,1	−70,2	74,2	251
03 462	13,30	11,32	78,97	0,128	0,109	0,762	−27,9	−69,7	75,1	248
04 464B	13,34	13,45	79,69	0,125	0,126	0,748	−32,1	−68,7	75,9	244
05 468	13,69	18,67	80,47	0,121	0,165	0,713	−41,4	−65,3	77,3	237
06 471	14,73	25,21	80,80	0,121	0,208	0,669	−51,3	−60,3	79,2	229
07 472	15,63	28,96	80,89	0,124	0,230	0,644	−56,2	−57,4	80,3	225
08 475	18,33	37,06	80,98	0,134	0,271	0,593	−65,0	−50,9	82,6	218
09 477	22,39	45,70	81,01	0,150	0,306	0,543	−71,6	−43,9	84,1	211
10 477C	24,94	50,08	81,01	0,159	0,320	0,519	−73,9	−40,4	84,2	208
11 479	30,58	58,60	78,68	0,182	0,349	0,468	−75,5	−31,2	81,7	202
12 479	29,07	56,38	80,12	0,175	0,340	0,483	−75,5	−34,4	83,0	204
13 484	25,63	56,72	59,32	0,180	0,400	0,418	−74,2	−13,3	75,4	190
14 492	22,37	56,85	36,73	0,192	0,490	0,316	−71,2	9,3	71,8	172
15 503	21,57	57,63	22,95	0,211	0,564	0,224	−67,9	23,7	71,9	160
16 511G	22,30	58,68	17,25	0,227	0,597	0,175	−65,4	30,2	72,1	155
17 521	24,56	60,88	12,62	0,250	0,620	0,128	−62,0	36,6	72,1	149
18 532	29,89	65,12	9,04	0,287	0,625	0,086	−55,9	43,7	70,9	141
19 545	43,82	74,21	6,37	0,352	0,596	0,051	−39,1	53,7	66,5	126
20 563	83,59	93,38	6,37	0,455	0,509	0,034	17,5	69,2	71,4	75
21 564	83,45	90,50	3,08	0,471	0,511	0,017	24,1	70,2	74,2	71
22 565	83,43	88,67	2,06	0,479	0,509	0,011	27,9	69,7	75,1	68
23 566Y	83,39	86,54	1,34	0,486	0,505	0,007	32,2	68,7	75,9	64
24 568	83,04	81,32	0,56	0,503	0,493	0,003	41,4	65,3	77,3	57
25 571	82,00	74,78	0,23	0,522	0,476	0,001	51,3	60,3	79,2	49
26 573	81,10	71,03	0,14	0,532	0,466	0,000	56,2	57,3	80,3	45
27 577	78,40	62,93	0,05	0,554	0,445	0,000	65,0	50,9	82,6	38
28 581	74,33	54,29	0,02	0,577	0,421	0,000	71,7	43,9	84,1	31
29 584R	71,79	49,91	0,01	0,589	0,410	0,000	73,9	40,4	84,2	28
30 591	66,15	41,39	2,33	0,602	0,376	0,021	75,5	31,1	81,7	22
31 588	67,67	43,61	0,91	0,603	0,388	0,008	75,6	34,4	83,1	24
32 689	71,10	43,27	21,71	0,522	0,317	0,159	74,2	13,3	75,4	10
33 697	74,36	43,14	44,30	0,459	0,266	0,273	71,2	−9,3	71,8	352
34 708	75,16	42,36	58,08	0,428	0,241	0,330	67,9	−23,7	72,0	340
35 716M	74,43	41,31	63,78	0,414	0,230	0,355	65,5	−30,3	72,1	335
36 726	72,17	39,11	68,41	0,401	0,217	0,380	62,1	−36,7	72,1	329
37 737	66,83	34,86	71,99	0,384	0,200	0,414	55,9	−43,7	71,0	321
38 750	52,92	25,78	74,65	0,345	0,168	0,486	39,2	−53,7	66,5	306
39 820	13,14	6,61	74,65	0,139	0,070	0,790	−17,5	−69,2	71,4	255
U=D50	**96,74**	**100,00**	**81,03**	**0,348**	**0,360**	**0,360**	**0,0**	**0,0**	**0,0**	**0**

$a=p_{an}=n_a p_a=2{,}8[(1{,}000x-0{,}171+0{,}000z)/y]$ $A_{nu}=(a-a_u)Y$ $C_{ABnu}=[A_{nu}^2+B_{nu}^2]^{1/2}$
$b=p_{bn}=n_b p_b=-1{,}0[(0{,}000x+0{,}000+1{,}000z)/y]$ $B_{nu}=(b-b_u)Y$ $h_{ABnu}=\mathrm{atan}[B_{nu}/A_{nu}]$

DG690−3N

CIEF10-Normfarbwerte, Buntwerte und Farbarten (n_a=2,8, n_b=−1,0).
Normierte *Ostwald (O)*-Farbwerte (Y_w=100), geordnet nach Wellenlänge.

λ_n	Y	*n*-Farbart				*nu*-Farbart			
		p_{an}	p_{bn}	p_{rn}	h_{abn}	p_{anu}	p_{bnu}	p_{rnu}	h_{abnu}
00 380	25,78	2,89	−2,89	4,09	315	1,52	−2,08	2,58	306
01 455	6,61	−1,27	−11,29	11,36	263	−2,65	−10,48	10,81	255
02 460	9,49	−1,16	−8,21	8,29	261	−2,54	−7,40	7,82	251
03 462	11,32	−1,09	−6,97	7,06	261	−2,47	−6,16	6,64	248
04 464B	13,45	−1,01	−5,92	6,01	260	−2,39	−5,11	5,64	244
05 468	18,67	−0,84	−4,31	4,39	258	−2,21	−3,50	4,14	237
06 471	25,21	−0,65	−3,20	3,27	258	−2,03	−2,39	3,14	229
07 472	28,96	−0,56	−2,79	2,84	258	−1,94	−1,98	2,77	225
08 475	37,06	−0,37	−2,18	2,21	260	−1,75	−1,37	2,22	218
09 477	45,70	−0,19	−1,77	1,78	263	−1,56	−0,96	1,84	211
10 477C	50,08	−0,09	−1,61	1,62	266	−1,47	−0,80	1,68	208
11 479	58,60	0,08	−1,34	1,34	273	−1,28	−0,53	1,39	202
12 479	56,38	0,03	−1,42	1,42	271	−1,34	−0,61	1,47	204
13 484	56,72	0,06	−1,04	1,04	273	−1,30	−0,23	1,33	190
14 492	56,85	0,12	−0,64	0,65	280	−1,25	0,16	1,26	172
15 503	57,63	0,19	−0,39	0,44	296	−1,17	0,41	1,24	160
16 511G	58,68	0,26	−0,29	0,39	311	−1,11	0,51	1,22	155
17 521	60,88	0,35	−0,20	0,41	329	−1,02	0,60	1,18	149
18 532	65,12	0,52	−0,13	0,53	345	−0,85	0,67	1,08	141
19 545	74,21	0,85	−0,08	0,85	354	−0,52	0,72	0,89	126
20 563	93,38	1,56	−0,06	1,56	357	0,18	0,74	0,76	75
21 564	90,50	1,64	−0,03	1,64	358	0,26	0,77	0,82	71
22 565	88,67	1,69	−0,02	1,69	359	0,31	0,78	0,84	68
23 566Y	86,54	1,75	−0,01	1,75	359	0,37	0,79	0,87	64
24 568	81,32	1,88	−0,00	1,88	359	0,50	0,80	0,95	57
25 571	74,78	2,06	−0,00	2,06	359	0,68	0,80	1,05	49
26 573	71,03	2,17	−0,00	2,17	359	0,79	0,80	1,13	45
27 577	62,93	2,41	−0,00	2,41	359	1,03	0,80	1,31	38
28 581	54,29	2,69	−0,00	2,69	359	1,32	0,80	1,54	31
29 584R	49,91	2,85	−0,00	2,85	359	1,48	0,80	1,68	28
30 591	41,39	3,20	−0,05	3,20	358	1,82	0,75	1,97	22
31 588	43,61	3,11	−0,02	3,11	359	1,73	0,78	1,90	24
32 689	43,27	3,09	−0,50	3,13	350	1,71	0,30	1,74	10
33 697	43,14	3,03	−1,02	3,19	341	1,65	−0,21	1,66	352
34 708	42,36	2,98	−1,37	3,28	335	1,60	−0,56	1,70	340
35 716M	41,31	2,96	−1,54	3,34	332	1,58	−0,73	1,74	335
36 726	39,11	2,96	−1,74	3,44	329	1,58	−0,93	1,84	329
37 737	34,86	2,98	−2,06	3,62	325	1,60	−1,25	2,03	321
38 750	25,78	2,89	−2,89	4,09	315	1,52	−2,08	2,58	306
39 820	6,61	−1,27	−11,29	11,36	263	−2,65	−10,48	10,81	255
U=D50	**100,00**	**1,378**	**−0,810**	**1,598**	**329**	**0,0**	**0,0**	**0,0**	**0**

$a=p_{an}=n_a p_a=2{,}8[(1{,}000x-0{,}171+0{,}000z)/y]$ $A_{nu}=(a-a_u)Y$ $C_{ABnu}=[A_{nu}^2+B_{nu}^2]^{1/2}$
$b=p_{bn}=n_b p_b=-1{,}0[(0{,}000x+0{,}000+1{,}000z)/y]$ $B_{nu}=(b-b_u)Y$ $h_{ABnu}=\mathrm{atan}[B_{nu}/A_{nu}]$

DG690−4N

CIEF10-Normfarbwerte, Buntwerte und Farbarten (n_a=2,8, n_b=−1,0).
Normierte *Ostwald (O)*-Farbwerte (Y_w=100), geordnet nach Bunttonwinkel.

λ_n	Normfarbwerte und -anteile						*nu*-Buntwerte			
	X	Y	Z	x	y	z	A_{nu}	B_{nu}	C_{ABnu}	h_{ABnu}
00 588	67,67	43,61	0,91	0,603	0,388	0,008	75,6	34,4	83,1	384
01 689	71,10	43,27	21,71	0,522	0,317	0,159	74,2	13,3	75,4	370
02 697	74,36	43,14	44,30	0,459	0,266	0,273	71,2	−9,3	71,8	352
03 708	75,16	42,36	58,08	0,428	0,241	0,330	67,9	−23,7	72,0	340
04 716	74,43	41,31	63,78	0,414	0,230	0,355	65,5	−30,3	72,1	335
05 726M	72,17	39,11	68,41	0,401	0,217	0,380	62,1	−36,7	72,1	329
06 737	66,83	34,86	71,99	0,384	0,200	0,414	55,9	−43,7	71,0	321
07 380	52,92	25,78	74,65	0,345	0,168	0,486	39,2	−53,7	66,5	306
08 455	13,14	6,61	74,65	0,139	0,070	0,790	−17,5	−69,2	71,4	255
09 460	13,28	9,49	77,94	0,131	0,094	0,773	−24,1	−70,2	74,2	251
10 462	13,30	11,32	78,97	0,128	0,109	0,762	−27,9	−69,7	75,1	248
11 464	13,34	13,45	79,69	0,125	0,126	0,748	−32,1	−68,7	75,9	244
12 468B	13,69	18,67	80,47	0,121	0,165	0,713	−41,4	−65,3	77,3	237
13 471	14,73	25,21	80,80	0,121	0,208	0,669	−51,3	−60,3	79,2	229
14 472	15,63	28,96	80,89	0,124	0,230	0,644	−56,2	−57,4	80,3	225
15 475	18,33	37,06	80,98	0,134	0,271	0,593	−65,0	−50,9	82,6	218
16 477	22,39	45,70	81,01	0,150	0,306	0,543	−71,6	−43,9	84,1	211
17 477	24,94	50,08	81,01	0,159	0,320	0,519	−73,9	−40,4	84,2	208
18 479C	30,58	58,60	78,68	0,182	0,349	0,468	−75,5	−31,2	81,7	202
19 479	29,07	56,38	80,12	0,175	0,340	0,483	−75,5	−34,4	83,0	204
20 484	25,63	56,72	59,32	0,180	0,400	0,418	−74,2	−13,3	75,4	190
21 492	22,37	56,85	36,73	0,192	0,490	0,316	−71,2	9,3	71,8	172
22 503	21,57	57,63	22,95	0,211	0,564	0,224	−67,9	23,7	71,9	160
23 511G	22,30	58,68	17,25	0,227	0,597	0,175	−65,4	30,2	72,1	155
24 521	24,56	60,88	12,62	0,250	0,620	0,128	−62,0	36,6	72,1	149
25 532	29,89	65,12	9,04	0,287	0,625	0,086	−55,9	43,7	70,9	141
26 545	43,82	74,21	6,37	0,352	0,596	0,051	−39,1	53,7	66,5	126
27 563	83,59	93,38	6,37	0,455	0,509	0,034	17,5	69,2	71,4	75
28 564	83,45	90,50	3,08	0,471	0,511	0,017	24,1	70,2	74,2	71
29 565	83,43	88,67	2,06	0,479	0,509	0,011	27,9	69,7	75,1	68
30 566	83,39	86,54	1,34	0,486	0,505	0,007	32,2	68,7	75,9	64
31 568	83,04	81,32	0,56	0,503	0,493	0,003	41,4	65,3	77,3	57
32 571Y	82,00	74,78	0,23	0,522	0,476	0,001	51,3	60,3	79,2	49
33 573	81,10	71,03	0,14	0,532	0,466	0,000	56,2	57,3	80,3	45
34 577	78,40	62,93	0,05	0,554	0,445	0,000	65,0	50,9	82,6	38
35 581	74,33	54,29	0,02	0,577	0,421	0,000	71,7	43,9	84,1	31
36 584R	71,79	49,91	0,01	0,589	0,410	0,000	73,9	40,4	84,2	28
37 591	66,15	41,39	2,33	0,602	0,376	0,021	75,5	31,1	81,7	22
38 588	67,67	43,61	0,91	0,603	0,388	0,008	75,6	34,4	83,1	24
39 689	71,10	43,27	21,71	0,522	0,317	0,159	74,2	13,3	75,4	10
U=D50	**96,74**	**100,00**	**81,03**	**0,348**	**0,360**	**0,360**	**0,0**	**0,0**	**0,0**	**0**

$a=p_{an}=n_a p_a=2{,}8[(1{,}000x-0{,}171+0{,}000z)/y]$ $A_{nu}=(a-a_u)Y$ $C_{ABnu}=[A_{nu}^2+B_{nu}^2]^{1/2}$
$b=p_{bn}=n_b p_b=-1{,}0[(0{,}000x+0{,}000+1{,}000z)/y]$ $B_{nu}=(b-b_u)Y$ $h_{ABnu}=\mathrm{atan}[B_{nu}/A_{nu}]$

DG690−7N

CIEF10-Normfarbwerte, Buntwerte und Farbarten (n_a=2,8, n_b=−1,0).
Normierte *Ostwald (O)*-Farbwerte (Y_w=100), geordnet nach Bunttonwinkel.

λ_n	Y	*n*-Farbart				*nu*-Farbart			
		p_{an}	p_{bn}	p_{rn}	h_{abn}	p_{anu}	p_{bnu}	p_{rnu}	h_{abnu}
00 588	43,61	3,11	−0,02	3,11	359	1,73	0,78	1,90	384
01 689	43,27	3,09	−0,50	3,13	350	1,71	0,30	1,74	370
02 697	43,14	3,03	−1,02	3,19	341	1,65	−0,21	1,66	352
03 708	42,36	2,98	−1,37	3,28	335	1,60	−0,56	1,70	340
04 716	41,31	2,96	−1,54	3,34	332	1,58	−0,73	1,74	335
05 726M	39,11	2,96	−1,74	3,44	329	1,58	−0,93	1,84	329
06 737	34,86	2,98	−2,06	3,62	325	1,60	−1,25	2,03	321
07 380	25,78	2,89	−2,89	4,09	315	1,52	−2,08	2,58	306
08 455	6,61	−1,27	−11,29	11,36	263	−2,65	−10,48	10,81	255
09 460	9,49	−1,16	−8,21	8,29	261	−2,54	−7,40	7,82	251
10 462	11,32	−1,09	−6,97	7,06	261	−2,47	−6,16	6,64	248
11 464	13,45	−1,01	−5,92	6,01	260	−2,39	−5,11	5,64	244
12 468B	18,67	−0,84	−4,31	4,39	258	−2,21	−3,50	4,14	237
13 471	25,21	−0,65	−3,20	3,27	258	−2,03	−2,39	3,14	229
14 472	28,96	−0,56	−2,79	2,84	258	−1,94	−1,98	2,77	225
15 475	37,06	−0,37	−2,18	2,21	260	−1,75	−1,37	2,22	218
16 477	45,70	−0,19	−1,77	1,78	263	−1,56	−0,96	1,84	211
17 477	50,08	−0,09	−1,61	1,62	266	−1,47	−0,80	1,68	208
18 479C	58,60	0,08	−1,34	1,34	273	−1,28	−0,53	1,39	202
19 479	56,38	0,03	−1,42	1,42	271	−1,34	−0,61	1,47	204
20 484	56,72	0,06	−1,04	1,04	273	−1,30	−0,23	1,33	190
21 492	56,85	0,12	−0,64	0,65	280	−1,25	0,16	1,26	172
22 503	57,63	0,19	−0,39	0,44	296	−1,17	0,41	1,24	160
23 511G	58,68	0,26	−0,29	0,39	311	−1,11	0,51	1,22	155
24 521	60,88	0,35	−0,20	0,41	329	−1,02	0,60	1,18	149
25 532	65,12	0,52	−0,13	0,53	345	−0,85	0,67	1,08	141
26 545	74,21	0,85	−0,08	0,85	354	−0,52	0,72	0,89	126
27 563	93,38	1,56	−0,06	1,56	357	0,18	0,74	0,76	75
28 564	90,50	1,64	−0,03	1,64	358	0,26	0,77	0,82	71
29 565	88,67	1,69	−0,02	1,69	359	0,31	0,78	0,84	68
30 566	86,54	1,75	−0,01	1,75	359	0,37	0,79	0,87	64
31 568	81,32	1,88	−0,00	1,88	359	0,50	0,80	0,95	57
32 571Y	74,78	2,06	−0,00	2,06	359	0,68	0,80	1,05	49
33 573	71,03	2,17	−0,00	2,17	359	0,79	0,80	1,13	45
34 577	62,93	2,41	−0,00	2,41	359	1,03	0,80	1,31	38
35 581	54,29	2,69	−0,00	2,69	359	1,32	0,80	1,54	31
36 584R	49,91	2,85	−0,00	2,85	359	1,48	0,80	1,68	28
37 591	41,39	3,20	−0,05	3,20	−1	1,82	0,75	1,97	22
38 588	43,61	3,11	−0,02	3,11	0	1,73	0,78	1,90	24
39 689	43,27	3,09	−0,50	3,13	−9	1,71	0,30	1,74	10
U=D50	**100,00**	**1,378**	**−0,810**	**1,598**	**329**	**0,0**	**0,0**	**0,0**	**0**

$a=p_{an}=n_a p_a=2{,}8[(1{,}000x-0{,}171+0{,}000z)/y]$ $A_{nu}=(a-a_u)Y$ $C_{ABnu}=[A_{nu}^2+B_{nu}^2]^{1/2}$
$b=p_{bn}=n_b p_b=-1{,}0[(0{,}000x+0{,}000+1{,}000z)/y]$ $B_{nu}=(b-b_u)Y$ $h_{ABnu}=\mathrm{atan}[B_{nu}/A_{nu}]$

DG690−8N

DG690−7R_pchartl=2_xcolorl=3(CIEF10)

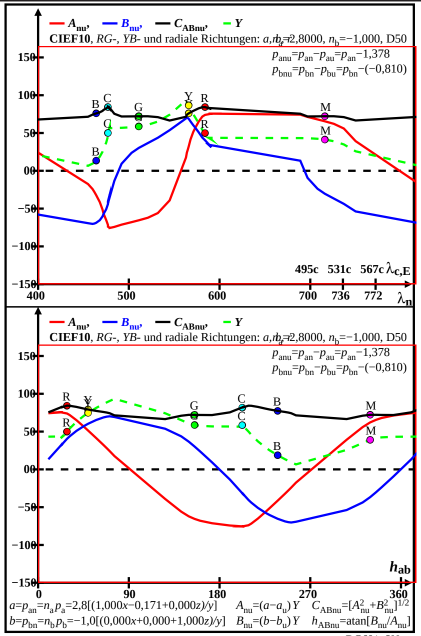

DG691−3N

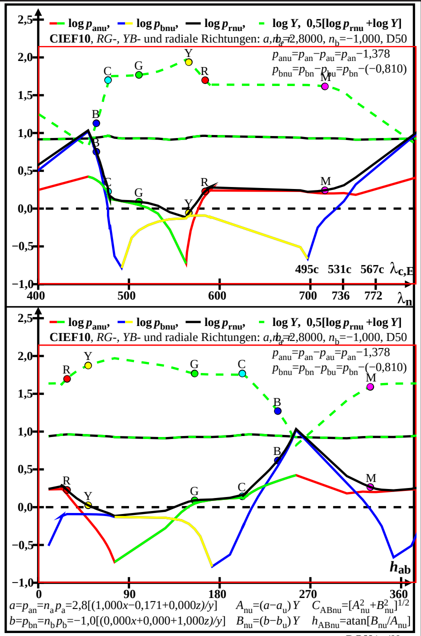

DG691−4N

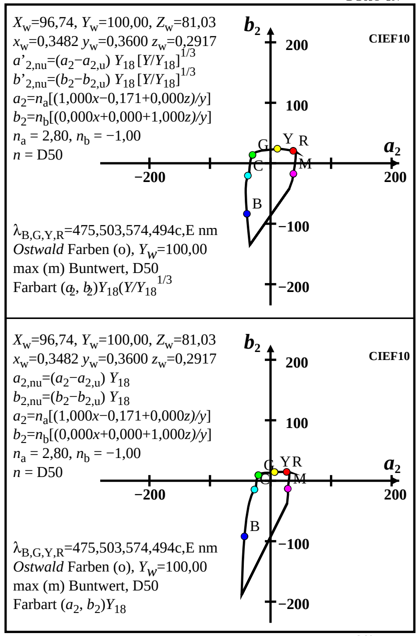

DG691−7N

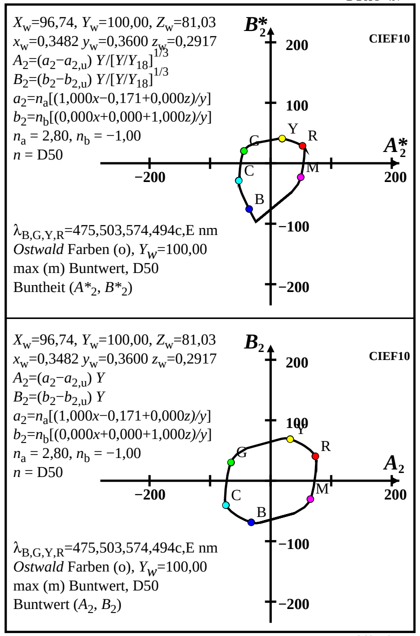

DG691−8N

DG691−7R_pchartl=2_xcolorl=3(CIEF10)

TUB-Registrierung: 20180801-DG69/DG69L0NP.PDF /.PS
Anwendung für Messung von Offsetdruck-Ausgabe
TUB-Material: Code=rha4ta

Siehe ähnliche Dateien: http://farbe.li.tu-berlin.de/DG69/DG69.HTM
Technische Information: http://farbe.li.tu-berlin.de oder http://130.149.60.45/~farbmetrik

TUB-Registrierung: 20180801-DG69/DG69L0NP.PDF /.PS
Anwendung für Messung von Offsetdruck-Ausgabe
TUB-Material: Code=rha4ta

R17M-Normfarbwerte, Buntwerte und Farbarten (n_a=2,8, n_b=−1,0).
Normierte *Ostwald (O)*-Farbwerte (Y_w=100), geordnet nach Wellenlänge.

	Normfarbwerte und -anteile						*nu*-Buntwerte			
λ_n	*X*	*Y*	*Z*	*x*	*y*	*z*	A_{nu}	B_{nu}	C_{ABnu}	h_{ABnu}
00 373	50,84	23,58	64,46	0,366	0,169	0,464	44,8	−45,4	63,7	314
01 450	26,22	10,37	70,14	0,245	0,097	0,657	8,6	−61,7	62,3	277
02 463	19,81	9,03	72,37	0,195	0,089	0,715	−4,8	−65,0	65,2	265
03 465	19,87	11,18	74,25	0,188	0,106	0,705	−9,4	−65,2	65,9	261
04 470B	20,04	16,46	77,00	0,176	0,145	0,678	−19,9	−63,6	66,7	252
05 474	20,76	23,15	78,71	0,169	0,188	0,641	−31,0	−60,0	67,5	242
06 477	22,69	31,32	79,75	0,169	0,234	0,596	−41,7	−54,4	68,6	232
07 479	24,27	35,77	80,07	0,173	0,255	0,571	−46,2	−51,1	68,9	227
08 481	28,86	45,22	80,48	0,186	0,292	0,520	−52,7	−43,9	68,6	219
09 482	30,21	48,30	79,14	0,191	0,306	0,501	−54,4	−40,1	67,6	216
10 487C	26,13	48,90	65,44	0,186	0,348	0,465	−58,4	−25,9	63,9	203
11 496	20,48	50,06	44,06	0,178	0,436	0,384	−63,4	−3,6	63,5	183
12 500	20,60	52,31	38,55	0,184	0,469	0,345	−64,5	3,7	64,6	176
13 509	19,40	53,50	28,42	0,191	0,528	0,280	−64,6	14,8	66,2	167
14 511	21,83	56,54	28,46	0,204	0,529	0,266	−64,4	17,2	66,7	165
15 518	24,65	60,36	24,01	0,226	0,553	0,220	−62,6	24,7	67,3	158
16 530G	29,99	65,40	16,35	0,268	0,585	0,146	−55,6	36,5	66,5	146
17 538	43,18	76,41	16,37	0,317	0,562	0,120	−44,7	45,3	63,7	134
18 553	67,80	89,62	10,69	0,403	0,533	0,063	−8,6	61,7	62,3	97
19 557	74,22	90,96	8,45	0,427	0,523	0,048	4,9	65,0	65,2	85
20 558	74,15	88,81	6,58	0,437	0,523	0,038	9,5	65,1	65,8	81
21 561	73,98	83,52	3,84	0,458	0,517	0,023	19,9	63,6	66,7	72
22 565	73,26	76,83	2,11	0,481	0,504	0,013	31,1	59,9	67,5	62
23 570Y	71,33	68,67	1,09	0,505	0,486	0,007	41,7	54,4	68,5	52
24 572	69,75	64,22	0,76	0,517	0,476	0,005	46,2	51,1	68,9	47
25 578	65,16	54,77	0,35	0,541	0,455	0,002	52,7	43,9	68,6	39
26 581	63,81	51,69	1,69	0,544	0,441	0,014	54,5	40,0	67,6	36
27 600	67,89	51,09	15,38	0,505	0,380	0,114	58,5	25,9	63,9	23
28 705	73,42	47,68	42,28	0,449	0,291	0,258	64,5	−3,7	64,6	356
29 714R	74,62	46,49	52,41	0,430	0,267	0,302	64,6	−14,8	66,3	347
30 716	72,19	43,45	52,37	0,429	0,258	0,311	64,4	−17,2	66,7	345
31 723	69,37	39,63	56,82	0,418	0,238	0,342	62,6	−24,7	67,3	338
32 735	64,03	34,59	64,49	0,392	0,212	0,395	55,6	−36,5	66,5	326
33 743	50,84	23,58	64,46	0,366	0,169	0,464	44,8	−45,4	63,7	314
34 815	26,22	10,37	70,14	0,245	0,097	0,657	8,6	−61,7	62,3	277
U=D50	**94,03**	**100,00**	**80,83**	**0,342**	**0,363**	**0,363**	**0,0**	**0,0**	**0,0**	**0**

$a=p_{an}=n_a p_a=2{,}8[(1{,}000x-0{,}171+0{,}000z)/y]$ $A_{nu}=(a-a_u)\,Y$ $C_{ABnu}=[A_{nu}^2+B_{nu}^2]^{1/2}$
$b=p_{bn}=n_b p_b=-1{,}0[(0{,}000x+0{,}000+1{,}000z)/y]$ $B_{nu}=(b-b_u)\,Y$ $h_{ABnu}=\mathrm{atan}[B_{nu}/A_{nu}]$

DG690−3N

R17M-Normfarbwerte, Buntwerte und Farbarten (n_a=2,8, n_b=−1,0).
Normierte *Ostwald (O)*-Farbwerte (Y_w=100), geordnet nach Wellenlänge.

	n-Farbart					*nu*-Farbart			
λ_n	*Y*	p_{an}	p_{bn}	p_{rn}	h_{abn}	p_{anu}	p_{bnu}	p_{rnu}	h_{abnu}
00 373	23,58	3,21	−2,73	4,22	319	1,90	−1,92	2,70	314
01 450	10,37	2,15	−6,76	7,09	287	0,83	−5,95	6,01	277
02 463	9,03	0,77	−8,01	8,05	275	−0,54	−7,20	7,22	265
03 465	11,18	0,46	−6,64	6,65	274	−0,84	−5,83	5,89	261
04 470B	16,46	0,10	−4,67	4,67	271	−1,20	−3,86	4,05	252
05 474	23,15	−0,02	−3,40	3,40	269	−1,34	−2,59	2,91	242
06 477	31,32	−0,01	−2,54	2,54	269	−1,33	−1,73	2,19	232
07 479	35,77	0,02	−2,23	2,23	270	−1,29	−1,43	1,92	227
08 481	45,22	0,15	−1,77	1,78	274	−1,16	−0,97	1,51	219
09 482	48,30	0,18	−1,63	1,64	276	−1,12	−0,83	1,40	216
10 487C	48,90	0,12	−1,33	1,34	275	−1,19	−0,53	1,30	203
11 496	50,06	0,04	−0,88	0,88	273	−1,26	−0,07	1,26	183
12 500	52,31	0,08	−0,73	0,74	276	−1,23	0,07	1,23	176
13 509	53,50	0,10	−0,53	0,54	281	−1,20	0,27	1,23	167
14 511	56,54	0,17	−0,50	0,53	289	−1,13	0,30	1,18	165
15 518	60,36	0,27	−0,39	0,48	305	−1,03	0,41	1,11	158
16 530G	65,40	0,46	−0,25	0,52	331	−0,85	0,55	1,01	146
17 538	76,41	0,73	−0,21	0,76	343	−0,58	0,59	0,83	134
18 553	89,62	1,22	−0,11	1,22	354	−0,09	0,68	0,69	97
19 557	90,96	1,37	−0,09	1,37	356	0,05	0,71	0,71	85
20 558	88,81	1,42	−0,07	1,42	357	0,10	0,73	0,74	81
21 561	83,52	1,55	−0,04	1,55	358	0,23	0,76	0,79	72
22 565	76,83	1,72	−0,02	1,72	359	0,40	0,78	0,87	62
23 570Y	68,67	1,92	−0,01	1,92	359	0,60	0,79	0,99	52
24 572	64,22	2,03	−0,01	2,03	359	0,72	0,79	1,07	47
25 578	54,77	2,27	−0,00	2,27	359	0,96	0,80	1,25	39
26 581	51,69	2,37	−0,03	2,37	359	1,05	0,77	1,30	36
27 600	51,09	2,46	−0,30	2,47	353	1,14	0,50	1,25	23
28 705	47,68	2,67	−0,88	2,81	341	1,35	−0,07	1,35	356
29 714R	46,49	2,70	−1,12	2,93	337	1,39	−0,31	1,42	347
30 716	43,45	2,80	−1,20	3,04	336	1,48	−0,39	1,53	345
31 723	39,63	2,89	−1,43	3,23	333	1,58	−0,62	1,70	338
32 735	34,59	2,92	−1,86	3,46	327	1,60	−1,05	1,92	326
33 743	23,58	3,21	−2,73	4,22	319	1,90	−1,92	2,70	314
34 815	10,37	2,15	−6,76	7,09	287	0,83	−5,95	6,01	277
U=D50	**100,00**	**1,316**	**−0,808**	**1,544**	**328**	**0,0**	**0,0**	**0,0**	**0**

$a=p_{an}=n_a p_a=2{,}8[(1{,}000x-0{,}171+0{,}000z)/y]$ $A_{nu}=(a-a_u)\,Y$ $C_{ABnu}=[A_{nu}^2+B_{nu}^2]^{1/2}$
$b=p_{bn}=n_b p_b=-1{,}0[(0{,}000x+0{,}000+1{,}000z)/y]$ $B_{nu}=(b-b_u)\,Y$ $h_{ABnu}=\mathrm{atan}[B_{nu}/A_{nu}]$

DG690−4N

R17M-Normfarbwerte, Buntwerte und Farbarten (n_a=2,8, n_b=−1,0).
Normierte *Ostwald (O)*-Farbwerte (Y_w=100), geordnet nach Buntton winkel.

	Normfarbwerte und -anteile						*nu*-Buntwerte			
λ_n	*X*	*Y*	*Z*	*x*	*y*	*z*	A_{nu}	B_{nu}	C_{ABnu}	h_{ABnu}
00 600	67,89	51,09	15,38	0,505	0,380	0,114	58,5	25,9	63,9	383
01 705	73,42	47,68	42,28	0,449	0,291	0,258	64,5	−3,7	64,6	356
02 714	74,62	46,49	52,41	0,430	0,267	0,302	64,6	−14,8	66,3	347
03 716	72,19	43,45	52,37	0,429	0,258	0,311	64,4	−17,2	66,7	345
04 723	69,37	39,63	56,82	0,418	0,238	0,342	62,6	−24,7	67,3	338
05 735M	64,03	34,59	64,49	0,392	0,212	0,395	55,6	−36,5	66,5	326
06 373	50,84	23,58	64,46	0,366	0,169	0,464	44,8	−45,4	63,7	314
07 450	26,22	10,37	70,14	0,245	0,097	0,657	8,6	−61,7	62,3	277
08 463	19,81	9,03	72,37	0,195	0,089	0,715	−4,8	−65,0	65,2	265
09 465	19,87	11,18	74,25	0,188	0,106	0,705	−9,4	−65,2	65,9	261
10 470	20,04	16,46	77,00	0,176	0,145	0,678	−19,9	−63,6	66,7	252
11 474	20,76	23,15	78,71	0,169	0,188	0,641	−31,0	−60,0	67,5	242
12 477B	22,69	31,32	79,75	0,169	0,234	0,596	−41,7	−54,4	68,6	232
13 479	24,27	35,77	80,07	0,173	0,255	0,571	−46,2	−51,1	68,9	227
14 481	28,86	45,22	80,48	0,186	0,292	0,520	−52,7	−43,9	68,6	219
15 482	30,21	48,30	79,14	0,191	0,306	0,501	−54,4	−40,1	67,6	216
16 487	26,13	48,90	65,44	0,186	0,348	0,465	−58,4	−25,9	63,9	203
17 496	20,48	50,06	44,06	0,178	0,436	0,384	−63,4	−3,6	63,5	183
18 500C	20,60	52,31	38,55	0,184	0,469	0,345	−64,5	3,7	64,6	176
19 509	19,40	53,50	28,42	0,191	0,528	0,280	−64,6	14,8	66,2	167
20 511	21,83	56,54	28,46	0,204	0,529	0,266	−64,4	17,2	66,7	165
21 518	24,65	60,36	24,01	0,226	0,553	0,220	−62,6	24,7	67,3	158
22 530	29,99	65,40	16,35	0,268	0,585	0,146	−55,6	36,5	66,5	146
23 538G	43,18	76,41	16,37	0,317	0,562	0,120	−44,7	45,3	63,7	134
24 553	67,80	89,62	10,69	0,403	0,533	0,063	−8,6	61,7	62,3	97
25 557	74,22	90,96	8,45	0,427	0,523	0,048	4,9	65,0	65,2	85
26 558	74,15	88,81	6,58	0,437	0,523	0,038	9,5	65,1	65,8	81
27 561	73,98	83,52	3,84	0,458	0,517	0,023	19,9	63,6	66,7	72
28 565	73,26	76,83	2,11	0,481	0,504	0,013	31,1	59,9	67,5	62
29 570	71,33	68,67	1,09	0,505	0,486	0,007	41,7	54,4	68,5	52
30 572	69,75	64,22	0,76	0,517	0,476	0,005	46,2	51,1	68,9	47
31 578	65,16	54,77	0,35	0,541	0,455	0,002	52,7	43,9	68,6	39
32 581Y	63,81	51,69	1,69	0,544	0,441	0,014	54,5	40,0	67,6	36
33 600	67,89	51,09	15,38	0,505	0,380	0,114	58,5	25,9	63,9	23
34 705	73,42	47,68	42,28	0,449	0,291	0,258	64,5	−3,7	64,6	−3
U=D50	**94,03**	**100,00**	**80,83**	**0,342**	**0,363**	**0,363**	**0,0**	**0,0**	**0,0**	**0**

$a=p_{an}=n_a p_a=2{,}8[(1{,}000x-0{,}171+0{,}000z)/y]$ $A_{nu}=(a-a_u)\,Y$ $C_{ABnu}=[A_{nu}^2+B_{nu}^2]^{1/2}$
$b=p_{bn}=n_b p_b=-1{,}0[(0{,}000x+0{,}000+1{,}000z)/y]$ $B_{nu}=(b-b_u)\,Y$ $h_{ABnu}=\mathrm{atan}[B_{nu}/A_{nu}]$

DG690−7N

R17M-Normfarbwerte, Buntwerte und Farbarten (n_a=2,8, n_b=−1,0).
Normierte *Ostwald (O)*-Farbwerte (Y_w=100), geordnet nach Buntton winkel.

	n-Farbart					*nu*-Farbart			
λ_n	*Y*	p_{an}	p_{bn}	p_{rn}	h_{abn}	p_{anu}	p_{bnu}	p_{rnu}	h_{abnu}
00 600	51,09	2,46	−0,30	2,47	353	1,14	0,50	1,25	383
01 705	47,68	2,67	−0,88	2,81	341	1,35	−0,07	1,35	356
02 714	46,49	2,70	−1,12	2,93	337	1,39	−0,31	1,42	347
03 716	43,45	2,80	−1,20	3,04	336	1,48	−0,39	1,53	345
04 723	39,63	2,89	−1,43	3,23	333	1,58	−0,62	1,70	338
05 735M	34,59	2,92	−1,86	3,46	327	1,60	−1,05	1,92	326
06 373	23,58	3,21	−2,73	4,22	319	1,90	−1,92	2,70	314
07 450	10,37	2,15	−6,76	7,09	287	0,83	−5,95	6,01	277
08 463	9,03	0,77	−8,01	8,05	275	−0,54	−7,20	7,22	265
09 465	11,18	0,46	−6,64	6,65	274	−0,84	−5,83	5,89	261
10 470	16,46	0,10	−4,67	4,67	271	−1,20	−3,86	4,05	252
11 474	23,15	−0,02	−3,40	3,40	269	−1,34	−2,59	2,91	242
12 477B	31,32	−0,01	−2,54	2,54	269	−1,33	−1,73	2,19	232
13 479	35,77	0,02	−2,23	2,23	270	−1,29	−1,43	1,92	227
14 481	45,22	0,15	−1,77	1,78	274	−1,16	−0,97	1,51	219
15 482	48,30	0,18	−1,63	1,64	276	−1,12	−0,83	1,40	216
16 487	48,90	0,12	−1,33	1,34	275	−1,19	−0,53	1,30	203
17 496	50,06	0,04	−0,88	0,88	273	−1,26	−0,07	1,26	183
18 500C	52,31	0,08	−0,73	0,74	276	−1,23	0,07	1,23	176
19 509	53,50	0,10	−0,53	0,54	281	−1,20	0,27	1,23	167
20 511	56,54	0,17	−0,50	0,53	289	−1,13	0,30	1,18	165
21 518	60,36	0,27	−0,39	0,48	305	−1,03	0,41	1,11	158
22 530	65,40	0,46	−0,25	0,52	331	−0,85	0,55	1,01	146
23 538G	76,41	0,73	−0,21	0,76	343	−0,58	0,59	0,83	134
24 553	89,62	1,22	−0,11	1,22	354	−0,09	0,68	0,69	97
25 557	90,96	1,37	−0,09	1,37	356	0,05	0,71	0,71	85
26 558	88,81	1,42	−0,07	1,42	357	0,10	0,73	0,74	81
27 561	83,52	1,55	−0,04	1,55	358	0,23	0,76	0,79	72
28 565	76,83	1,72	−0,02	1,72	359	0,40	0,78	0,87	62
29 570	68,67	1,92	−0,01	1,92	359	0,60	0,79	0,99	52
30 572	64,22	2,03	−0,01	2,03	359	0,72	0,79	1,07	47
31 578	54,77	2,27	−0,00	2,27	359	0,96	0,80	1,25	39
32 581Y	51,69	2,37	−0,03	2,37	0	1,05	0,77	1,30	36
33 600	51,09	2,46	−0,30	2,47	−6	1,14	0,50	1,25	23
34 705	47,68	2,67	−0,88	2,81	−18	1,35	−0,07	1,35	−3
U=D50	**100,00**	**1,316**	**−0,808**	**1,544**	**328**	**0,0**	**0,0**	**0,0**	**0**

$a=p_{an}=n_a p_a=2{,}8[(1{,}000x-0{,}171+0{,}000z)/y]$ $A_{nu}=(a-a_u)\,Y$ $C_{ABnu}=[A_{nu}^2+B_{nu}^2]^{1/2}$
$b=p_{bn}=n_b p_b=-1{,}0[(0{,}000x+0{,}000+1{,}000z)/y]$ $B_{nu}=(b-b_u)\,Y$ $h_{ABnu}=\mathrm{atan}[B_{nu}/A_{nu}]$

DG690−8N

DG690−7R_pchartl=2_xcolorl=4(R17M)

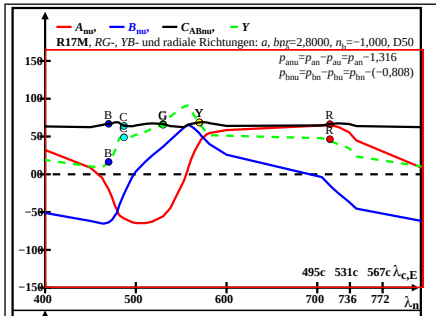

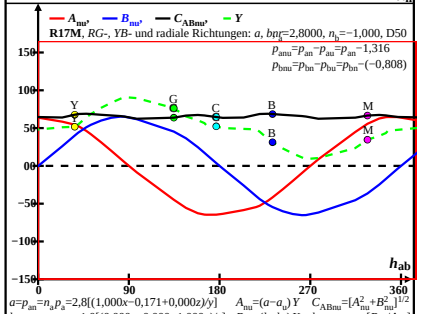

$a=p_{an}=n_a p_a=2{,}8[(1{,}000x-0{,}171+0{,}000z)/y]$ $A_{nu}=(a-a_u)\,Y$ $C_{ABnu}=[A_{nu}^2+B_{nu}^2]^{1/2}$
$b=p_{bn}=n_b p_b=-1{,}0[(0{,}000x+0{,}000+1{,}000z)/y]$ $B_{nu}=(b-b_u)\,Y$ $h_{ABnu}=\mathrm{atan}[B_{nu}/A_{nu}]$

DG691−3N

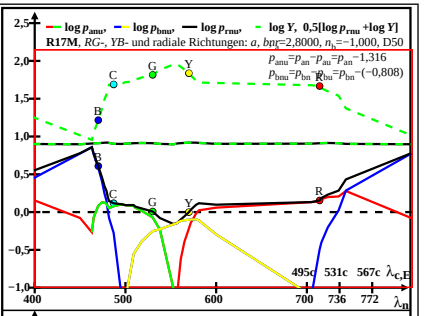

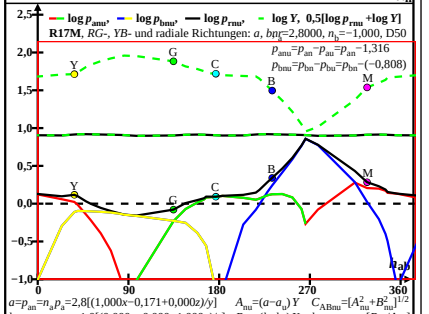

$a=p_{an}=n_a p_a=2{,}8[(1{,}000x-0{,}171+0{,}000z)/y]$ $A_{nu}=(a-a_u)\,Y$ $C_{ABnu}=[A_{nu}^2+B_{nu}^2]^{1/2}$
$b=p_{bn}=n_b p_b=-1{,}0[(0{,}000x+0{,}000+1{,}000z)/y]$ $B_{nu}=(b-b_u)\,Y$ $h_{ABnu}=\mathrm{atan}[B_{nu}/A_{nu}]$

DG691−4N

X_w=94,03, Y_w=100,00, Z_w=80,83
x_w=0,3420 y_w=0,3638 z_w=0,2941
$a'_{2,nu}=(a_2-a_{2,u})\,Y_{18}\,[Y/Y_{18}]^{1/3}$
$b'_{2,nu}=(b_2-b_{2,u})\,Y_{18}\,[Y/Y_{18}]^{1/3}$
$a_2=n_a[(1{,}000x-0{,}171+0{,}000z)/y]$
$b_2=n_b[(0{,}000x+0{,}000+1{,}000z)/y]$
n_a = 2,80, n_b = −1,00
n = D50

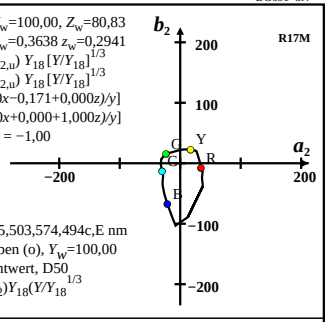

$\lambda_{B,G,Y,R}$=475,503,574,494c,E nm
Ostwald Farben (o), Y_w=100,00
max (m) Buntwert, D50
Farbart $(a_2, b_2)Y_{18}(Y/Y_{18}^{1/3}$

X_w=94,03, Y_w=100,00, Z_w=80,83
x_w=0,3420 y_w=0,3638 z_w=0,2941
$a_{2,nu}=(a_2-a_{2,u})\,Y_{18}$
$b_{2,nu}=(b_2-b_{2,u})\,Y_{18}$
$a_2=n_a[(1{,}000x-0{,}171+0{,}000z)/y]$
$b_2=n_b[(0{,}000x+0{,}000+1{,}000z)/y]$
n_a = 2,80, n_b = −1,00
n = D50

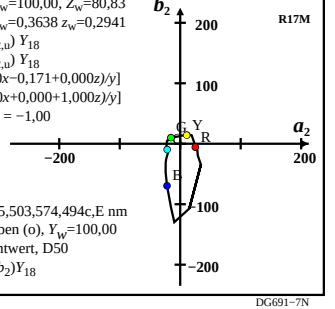

$\lambda_{B,G,Y,R}$=475,503,574,494c,E nm
Ostwald Farben (o), Y_w=100,00
max (m) Buntwert, D50
Farbart $(a_2, b_2)Y_{18}$

X_w=94,03, Y_w=100,00, Z_w=80,83
x_w=0,3420 y_w=0,3638 z_w=0,2941
$A_2=(a_2-a_{2,u})\,Y/[Y/Y_{18}]^{1/3}$
$B_2=(b_2-b_{2,u})\,Y/[Y/Y_{18}]^{1/3}$
$a_2=n_a[(1{,}000x-0{,}171+0{,}000z)/y]$
$b_2=n_b[(0{,}000x+0{,}000+1{,}000z)/y]$
n_a = 2,80, n_b = −1,00
n = D50

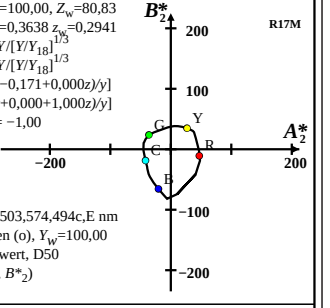

$\lambda_{B,G,Y,R}$=475,503,574,494c,E nm
Ostwald Farben (o), Y_w=100,00
max (m) Buntwert, D50
Buntheit (A^*_2, B^*_2)

X_w=94,03, Y_w=100,00, Z_w=80,83
x_w=0,3420 y_w=0,3638 z_w=0,2941
$A_2=(a_2-a_{2,u})\,Y$
$B_2=(b_2-b_{2,u})\,Y$
$a_2=n_a[(1{,}000x-0{,}171+0{,}000z)/y]$
$b_2=n_b[(0{,}000x+0{,}000+1{,}000z)/y]$
n_a = 2,80, n_b = −1,00
n = D50

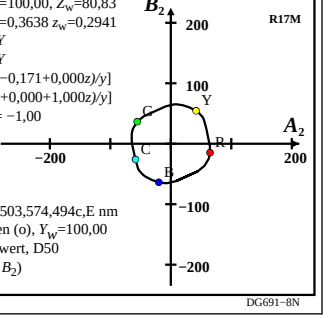

$\lambda_{B,G,Y,R}$=475,503,574,494c,E nm
Ostwald Farben (o), Y_w=100,00
max (m) Buntwert, D50
Buntwert (A_2, B_2)

DG691−7N

DG691−8N

DG691−7R_pchartl=2_xcolorl=4(R17M)

Siehe ähnliche Dateien: http://farbe.li.tu-berlin.de/DG69/DG69.HTM
Technische Information: http://farbe.li.tu-berlin.de oder http://130.149.60.45/~farbmetrik

TUB-Registrierung: 20180801-DG69/DG69L0NP.PDF /.PS
Anwendung für Messung von Offsetdruck-Ausgabe
TUB-Material: Code=rha4ta

R17Ms-Normfarbwerte, Buntwerte und Farbarten (n_a=2,8, n_b=−1,0).
Normierte *Ostwald (O)*-Farbwerte (Y_w=100), geordnet nach Wellenlänge.

		Normfarbwerte und -anteile						*nu*-Buntwerte			
	λ_n	*X*	*Y*	*Z*	*x*	*y*	*z*	A_{nu}	B_{nu}	C_{ABnu}	h_{ABnu}
00	375	52,09	25,14	67,62	0,359	0,173	0,466	43,5	−47,2	64,2	312
01	444	27,16	9,33	67,62	0,260	0,089	0,649	13,9	−60,0	61,6	283
02	463	21,19	9,55	72,48	0,205	0,092	0,702	−2,6	−64,7	64,8	267
03	465	21,27	11,71	74,36	0,198	0,109	0,692	−7,1	−64,8	65,2	263
04	470B	21,43	17,01	77,11	0,185	0,147	0,667	−17,6	−63,3	65,7	254
05	474	22,09	23,68	78,83	0,177	0,190	0,632	−28,8	−59,6	66,2	244
06	476	22,83	27,59	79,42	0,175	0,212	0,611	−34,3	−57,0	66,6	238
07	479	25,44	36,25	80,19	0,179	0,255	0,565	−44,1	−50,8	67,3	229
08	480	27,41	40,88	80,43	0,184	0,274	0,540	−48,0	−47,3	67,4	224
09	481	29,88	45,66	80,60	0,191	0,292	0,516	−50,9	−43,6	67,0	220
10	482C	31,14	48,71	79,26	0,195	0,306	0,498	−52,8	−39,8	66,1	217
11	488	25,13	49,09	60,78	0,186	0,363	0,450	−58,5	−21,0	62,2	199
12	496	20,67	50,20	44,12	0,179	0,436	0,383	−62,9	−3,4	63,0	183
13	500	20,63	52,39	38,61	0,184	0,469	0,345	−64,3	3,7	64,4	176
14	505	20,59	54,04	33,36	0,190	0,500	0,308	−64,8	10,3	65,6	170
15	515	20,37	55,82	24,00	0,203	0,557	0,239	−64,0	21,1	67,4	161
16	522G	23,24	59,39	19,95	0,226	0,578	0,194	−61,8	28,1	67,9	155
17	530	29,26	65,19	16,37	0,264	0,588	0,147	−56,5	36,3	67,2	147
18	540	41,69	74,85	13,32	0,321	0,576	0,102	−43,5	47,2	64,2	132
19	552	66,62	90,66	13,33	0,390	0,531	0,078	−13,9	60,0	61,6	103
20	557	72,58	90,44	8,47	0,423	0,527	0,049	2,6	64,7	64,7	87
21	558	72,51	88,28	6,59	0,433	0,527	0,039	7,2	64,8	65,2	83
22	561	72,35	82,98	3,84	0,454	0,521	0,024	17,6	63,3	65,7	74
23	565Y	71,69	76,31	2,11	0,477	0,508	0,014	28,8	59,6	66,2	64
24	567	70,94	72,40	1,53	0,489	0,499	0,010	34,4	57,0	66,6	58
25	572	68,33	63,74	0,76	0,514	0,479	0,005	44,2	50,8	67,3	48
26	575	66,36	59,11	0,52	0,526	0,469	0,004	48,0	47,3	67,4	44
27	578	63,90	54,33	0,35	0,538	0,458	0,002	50,9	43,6	67,0	40
28	581	62,64	51,28	1,69	0,541	0,443	0,014	52,8	39,8	66,1	36
29	614R	68,65	50,90	20,17	0,491	0,364	0,144	58,6	21,0	62,2	19
30	701	73,11	49,79	36,82	0,457	0,311	0,230	63,0	3,4	63,1	3
31	705	73,15	47,60	42,34	0,448	0,291	0,259	64,3	−3,8	64,4	356
32	710	73,19	45,95	47,59	0,438	0,275	0,285	64,9	−10,4	65,7	350
33	720	73,40	44,17	56,94	0,420	0,253	0,326	64,0	−21,1	67,5	341
34	727	70,53	40,59	61,00	0,409	0,235	0,354	61,8	−28,1	67,9	335
35	735M	64,51	34,79	64,58	0,393	0,212	0,394	56,6	−36,4	67,3	327
36	745	52,09	25,14	67,62	0,359	0,173	0,466	43,5	−47,2	64,2	312
37	809	27,16	9,33	67,62	0,260	0,089	0,649	13,9	−60,0	61,6	283
	U=D50	**93,78**	**100,00**	**80,94**	**0,341**	**0,363**	**0,363**	**0,0**	**0,0**	**0,0**	**0**

$a=p_{an}=n_a p_a=2{,}8[(1{,}000x-0{,}171+0{,}000z)/y]$ $A_{nu}=(a-a_u)\,Y$ $C_{ABnu}=[A_{nu}^2+B_{nu}^2]^{1/2}$
$b=p_{bn}=n_b p_b=-1{,}0[(0{,}000x+0{,}000+1{,}000z)/y]$ $B_{nu}=(b-b_u)\,Y$ $h_{ABnu}=\mathrm{atan}[B_{nu}/A_{nu}]$

DG690−3N

R17Ms-Normfarbwerte, Buntwerte und Farbarten (n_a=2,8, n_b=−1,0).
Normierte *Ostwald (O)*-Farbwerte (Y_w=100), geordnet nach Wellenlänge.

		n-Farbart					*nu*-Farbart			
	λ_n	*Y*	p_{an}	p_{bn}	p_{rn}	h_{abn}	p_{anu}	p_{bnu}	p_{rnu}	h_{abnu}
00	375	25,14	3,04	−2,69	4,06	318	1,73	−1,88	2,55	312
01	444	9,33	2,80	−7,24	7,77	291	1,49	−6,43	6,61	283
02	463	9,55	1,03	−7,58	7,66	277	−0,27	−6,78	6,78	267
03	465	11,71	0,69	−6,35	6,38	276	−0,61	−5,54	5,57	263
04	470B	17,01	0,27	−4,53	4,54	273	−1,03	−3,72	3,86	254
05	474	23,68	0,09	−3,32	3,33	271	−1,21	−2,51	2,79	244
06	476	27,59	0,06	−2,87	2,87	271	−1,24	−2,06	2,41	238
07	479	36,25	0,09	−2,21	2,21	272	−1,21	−1,40	1,85	229
08	480	40,88	0,13	−1,96	1,97	273	−1,17	−1,15	1,64	224
09	481	45,66	0,19	−1,76	1,77	276	−1,11	−0,95	1,46	220
10	482C	48,71	0,22	−1,62	1,64	277	−1,08	−0,81	1,35	217
11	488	49,09	0,11	−1,23	1,24	275	−1,19	−0,42	1,26	199
12	496	50,20	0,05	−0,87	0,88	273	−1,25	−0,06	1,25	183
13	500	52,39	0,08	−0,73	0,74	276	−1,22	0,07	1,22	176
14	505	54,04	0,11	−0,61	0,62	280	−1,20	0,19	1,21	170
15	515	55,82	0,16	−0,42	0,45	290	−1,14	0,37	1,20	161
16	522G	59,39	0,26	−0,33	0,43	308	−1,04	0,47	1,14	155
17	530	65,19	0,44	−0,25	0,50	330	−0,86	0,55	1,03	147
18	540	74,85	0,72	−0,17	0,75	346	−0,58	0,63	0,85	132
19	552	90,66	1,15	−0,14	1,16	352	−0,15	0,66	0,67	103
20	557	90,44	1,33	−0,09	1,34	356	0,02	0,71	0,71	87
21	558	88,28	1,39	−0,07	1,39	356	0,08	0,73	0,73	83
22	561	82,98	1,52	−0,04	1,52	358	0,21	0,76	0,79	74
23	565Y	76,31	1,68	−0,02	1,68	359	0,37	0,78	0,86	64
24	567	72,40	1,78	−0,02	1,78	359	0,47	0,78	0,92	58
25	572	63,74	2,00	−0,01	2,00	359	0,69	0,79	1,05	48
26	575	59,11	2,12	−0,00	2,12	359	0,81	0,80	1,14	44
27	578	54,33	2,24	−0,00	2,24	359	0,93	0,80	1,23	40
28	581	51,28	2,34	−0,03	2,34	359	1,03	0,77	1,29	36
29	614R	50,90	2,46	−0,39	2,49	350	1,15	0,41	1,22	19
30	701	49,79	2,57	−0,73	2,67	343	1,26	0,06	1,26	3
31	705	47,60	2,66	−0,88	2,80	341	1,35	−0,08	1,35	356
32	710	45,95	2,72	−1,03	2,91	339	1,41	−0,22	1,43	350
33	720	44,17	2,76	−1,28	3,04	334	1,45	−0,47	1,52	341
34	727	40,59	2,83	−1,50	3,20	332	1,52	−0,69	1,67	335
35	735M	34,79	2,93	−1,85	3,47	327	1,62	−1,04	1,93	327
36	745	25,14	3,04	−2,69	4,06	318	1,73	−1,88	2,55	312
37	809	9,33	2,80	−7,24	7,77	291	1,49	−6,43	6,61	283
	U=D50	**100,00**	**1,310**	**−0,809**	**1,539**	**328**	**0,0**	**0,0**	**0,0**	**0**

$a=p_{an}=n_a p_a=2{,}8[(1{,}000x-0{,}171+0{,}000z)/y]$ $A_{nu}=(a-a_u)\,Y$ $C_{ABnu}=[A_{nu}^2+B_{nu}^2]^{1/2}$
$b=p_{bn}=n_b p_b=-1{,}0[(0{,}000x+0{,}000+1{,}000z)/y]$ $B_{nu}=(b-b_u)\,Y$ $h_{ABnu}=\mathrm{atan}[B_{nu}/A_{nu}]$

DG690−4N

R17Ms-Normfarbwerte, Buntwerte und Farbarten (n_a=2,8, n_b=−1,0).
Normierte *Ostwald (O)*-Farbwerte (Y_w=100), geordnet nach Buntton winkel.

		Normfarbwerte und -anteile						*nu*-Buntwerte			
	λ_n	*X*	*Y*	*Z*	*x*	*y*	*z*	A_{nu}	B_{nu}	C_{ABnu}	h_{ABnu}
00	614	68,65	50,90	20,17	0,491	0,364	0,144	58,6	21,0	62,2	379
01	701	73,11	49,79	36,82	0,457	0,311	0,230	63,0	3,4	63,1	363
02	705	73,15	47,60	42,34	0,448	0,291	0,259	64,3	−3,8	64,4	356
03	710	73,19	45,95	47,59	0,438	0,275	0,285	64,9	−10,4	65,7	350
04	720	73,40	44,17	56,94	0,420	0,253	0,326	64,0	−21,1	67,5	341
05	727M	70,53	40,59	61,00	0,409	0,235	0,354	61,8	−28,1	67,9	335
06	735	64,51	34,79	64,58	0,393	0,212	0,394	56,6	−36,4	67,3	327
07	375	52,09	25,14	67,62	0,359	0,173	0,466	43,5	−47,2	64,2	312
08	444	27,16	9,33	67,62	0,260	0,089	0,649	13,9	−60,0	61,6	283
09	463	21,19	9,55	72,48	0,205	0,092	0,702	−2,6	−64,7	64,8	267
10	465	21,27	11,71	74,36	0,198	0,109	0,692	−7,1	−64,8	65,2	263
11	470	21,43	17,01	77,11	0,185	0,147	0,667	−17,6	−63,3	65,7	254
12	474B	22,09	23,68	78,83	0,177	0,190	0,632	−28,8	−59,6	66,2	244
13	476	22,83	27,59	79,42	0,175	0,212	0,611	−34,3	−57,0	66,6	238
14	479	25,44	36,25	80,19	0,179	0,255	0,565	−44,1	−50,8	67,3	229
15	480	27,41	40,88	80,43	0,184	0,274	0,540	−48,0	−47,3	67,4	224
16	481	29,88	45,66	80,60	0,191	0,292	0,516	−50,9	−43,6	67,0	220
17	482	31,14	48,71	79,26	0,195	0,306	0,498	−52,8	−39,8	66,1	217
18	488C	25,13	49,09	60,78	0,186	0,363	0,450	−58,5	−21,0	62,2	199
19	496	20,67	50,20	44,12	0,179	0,436	0,383	−62,9	−3,4	63,0	183
20	500	20,63	52,39	38,61	0,184	0,469	0,345	−64,3	3,7	64,4	176
21	505	20,59	54,04	33,36	0,190	0,500	0,308	−64,8	10,3	65,6	170
22	515	20,37	55,82	24,00	0,203	0,557	0,239	−64,0	21,1	67,4	161
23	522G	23,24	59,39	19,95	0,226	0,578	0,194	−61,8	28,1	67,9	155
24	530	29,26	65,19	16,37	0,264	0,588	0,147	−56,5	36,3	67,2	147
25	540	41,69	74,85	13,32	0,321	0,576	0,102	−43,5	47,2	64,2	132
26	552	66,62	90,66	13,33	0,390	0,531	0,078	−13,9	60,0	61,6	103
27	557	72,58	90,44	8,47	0,423	0,527	0,049	2,6	64,7	64,7	87
28	558	72,51	88,28	6,59	0,433	0,527	0,039	7,2	64,8	65,2	83
29	561	72,35	82,98	3,84	0,454	0,521	0,024	17,6	63,3	65,7	74
30	565	71,69	76,31	2,11	0,477	0,508	0,014	28,8	59,6	66,2	64
31	567	70,94	72,40	1,53	0,489	0,499	0,010	34,4	57,0	66,6	58
32	572Y	68,33	63,74	0,76	0,514	0,479	0,005	44,2	50,8	67,3	48
33	575	66,36	59,11	0,52	0,526	0,469	0,004	48,0	47,3	67,4	44
34	578	63,90	54,33	0,35	0,538	0,458	0,002	50,9	43,6	67,0	40
35	581	62,64	51,28	1,69	0,541	0,443	0,014	52,8	39,8	66,1	36
36	614R	68,65	50,90	20,17	0,491	0,364	0,144	58,6	21,0	62,2	19
37	701	73,11	49,79	36,82	0,457	0,311	0,230	63,0	3,4	63,1	3
	U=D50	**93,78**	**100,00**	**80,94**	**0,341**	**0,363**	**0,363**	**0,0**	**0,0**	**0,0**	**0**

$a=p_{an}=n_a p_a=2{,}8[(1{,}000x-0{,}171+0{,}000z)/y]$ $A_{nu}=(a-a_u)\,Y$ $C_{ABnu}=[A_{nu}^2+B_{nu}^2]^{1/2}$
$b=p_{bn}=n_b p_b=-1{,}0[(0{,}000x+0{,}000+1{,}000z)/y]$ $B_{nu}=(b-b_u)\,Y$ $h_{ABnu}=\mathrm{atan}[B_{nu}/A_{nu}]$

DG690−7N

R17Ms-Normfarbwerte, Buntwerte und Farbarten (n_a=2,8, n_b=−1,0).
Normierte *Ostwald (O)*-Farbwerte (Y_w=100), geordnet nach Buntton winkel.

		n-Farbart					*nu*-Farbart			
	λ_n	*Y*	p_{an}	p_{bn}	p_{rn}	h_{abn}	p_{anu}	p_{bnu}	p_{rnu}	h_{abnu}
00	614	50,90	2,46	−0,39	2,49	350	1,15	0,41	1,22	379
01	701	49,79	2,57	−0,73	2,67	343	1,26	0,06	1,26	363
02	705	47,60	2,66	−0,88	2,80	341	1,35	−0,08	1,35	356
03	710	45,95	2,72	−1,03	2,91	339	1,41	−0,22	1,43	350
04	720	44,17	2,76	−1,28	3,04	334	1,45	−0,47	1,52	341
05	727M	40,59	2,83	−1,50	3,20	332	1,52	−0,69	1,67	335
06	735	34,79	2,93	−1,85	3,47	327	1,62	−1,04	1,93	327
07	375	25,14	3,04	−2,69	4,06	318	1,73	−1,88	2,55	312
08	444	9,33	2,80	−7,24	7,77	291	1,49	−6,43	6,61	283
09	463	9,55	1,03	−7,58	7,66	277	−0,27	−6,78	6,78	267
10	465	11,71	0,69	−6,35	6,38	276	−0,61	−5,54	5,57	263
11	470	17,01	0,27	−4,53	4,54	273	−1,03	−3,72	3,86	254
12	474B	23,68	0,09	−3,32	3,33	271	−1,21	−2,51	2,79	244
13	476	27,59	0,06	−2,87	2,87	271	−1,24	−2,06	2,41	238
14	479	36,25	0,09	−2,21	2,21	272	−1,21	−1,40	1,85	229
15	480	40,88	0,13	−1,96	1,97	273	−1,17	−1,15	1,64	224
16	481	45,66	0,19	−1,76	1,77	276	−1,11	−0,95	1,46	220
17	482	48,71	0,22	−1,62	1,64	277	−1,08	−0,81	1,35	217
18	488C	49,09	0,11	−1,23	1,24	275	−1,19	−0,42	1,26	199
19	496	50,20	0,05	−0,87	0,88	273	−1,25	−0,06	1,25	183
20	500	52,39	0,08	−0,73	0,74	276	−1,22	0,07	1,22	176
21	505	54,04	0,11	−0,61	0,62	280	−1,20	0,19	1,21	170
22	515	55,82	0,16	−0,42	0,45	290	−1,14	0,37	1,20	161
23	522G	59,39	0,26	−0,33	0,43	308	−1,04	0,47	1,14	155
24	530	65,19	0,44	−0,25	0,50	330	−0,86	0,55	1,03	147
25	540	74,85	0,72	−0,17	0,75	346	−0,58	0,63	0,85	132
26	552	90,66	1,15	−0,14	1,16	352	−0,15	0,66	0,67	103
27	557	90,44	1,33	−0,09	1,34	356	0,02	0,71	0,71	87
28	558	88,28	1,39	−0,07	1,39	356	0,08	0,73	0,73	83
29	561	82,98	1,52	−0,04	1,52	358	0,21	0,76	0,79	74
30	565	76,31	1,68	−0,02	1,68	359	0,37	0,78	0,86	64
31	567	72,40	1,78	−0,02	1,78	359	0,47	0,78	0,92	58
32	572Y	63,74	2,00	−0,01	2,00	359	0,69	0,79	1,05	48
33	575	59,11	2,12	−0,00	2,12	359	0,81	0,80	1,14	44
34	578	54,33	2,24	−0,00	2,24	359	0,93	0,80	1,23	40
35	581	51,28	2,34	−0,03	2,34	0	1,03	0,77	1,29	36
36	614R	50,90	2,46	−0,39	2,49	−9	1,15	0,41	1,22	19
37	701	49,79	2,57	−0,73	2,67	−16	1,26	0,06	1,26	3
	U=D50	**100,00**	**1,310**	**−0,809**	**1,539**	**328**	**0,0**	**0,0**	**0,0**	**0**

$a=p_{an}=n_a p_a=2{,}8[(1{,}000x-0{,}171+0{,}000z)/y]$ $A_{nu}=(a-a_u)\,Y$ $C_{ABnu}=[A_{nu}^2+B_{nu}^2]^{1/2}$
$b=p_{bn}=n_b p_b=-1{,}0[(0{,}000x+0{,}000+1{,}000z)/y]$ $B_{nu}=(b-b_u)\,Y$ $h_{ABnu}=\mathrm{atan}[B_{nu}/A_{nu}]$

DG690−8N

DG690−7R_pchartl=2_xcolorl=5(R17Ms)

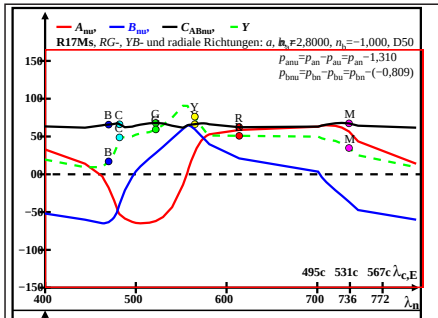

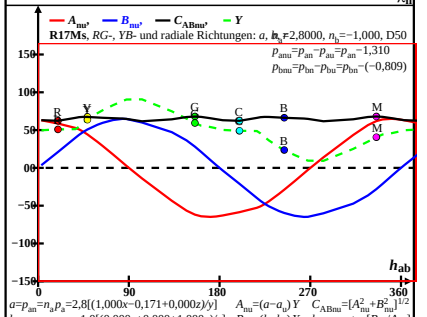

$a=p_{an}=n_a p_a=2{,}8[(1{,}000x-0{,}171+0{,}000z)/y]$ $A_{nu}=(a-a_u)\,Y$ $C_{ABnu}=[A_{nu}^2+B_{nu}^2]^{1/2}$
$b=p_{bn}=n_b p_b=-1{,}0[(0{,}000x+0{,}000+1{,}000z)/y]$ $B_{nu}=(b-b_u)\,Y$ $h_{ABnu}=\mathrm{atan}[B_{nu}/A_{nu}]$

DG691−3N

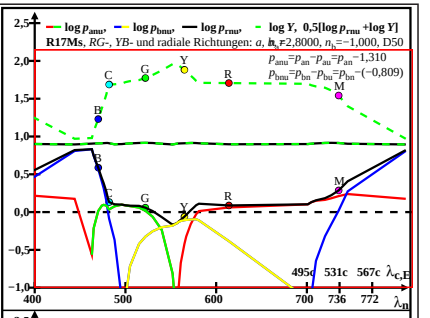

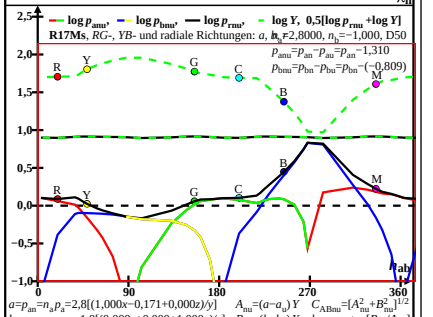

$a=p_{an}=n_a p_a=2{,}8[(1{,}000x-0{,}171+0{,}000z)/y]$ $A_{nu}=(a-a_u)\,Y$ $C_{ABnu}=[A_{nu}^2+B_{nu}^2]^{1/2}$
$b=p_{bn}=n_b p_b=-1{,}0[(0{,}000x+0{,}000+1{,}000z)/y]$ $B_{nu}=(b-b_u)\,Y$ $h_{ABnu}=\mathrm{atan}[B_{nu}/A_{nu}]$

DG691−4N

X_w=93,78, Y_w=100,00, Z_w=80,94
x_w=0,3413 y_w=0,3639 z_w=0,2946
$a'_{2,nu}=(a_2-a_{2,u})\,Y_{18}[Y/Y_{18}]^{1/3}$
$b'_{2,nu}=(b_2-b_{2,u})\,Y_{18}[Y/Y_{18}]^{1/3}$
$a_2=n_a[(1{,}000x-0{,}171+0{,}000z)/y]$
$b_2=n_b[(0{,}000x+0{,}000+1{,}000z)/y]$
n_a = 2,80, n_b = −1,00
n = D50

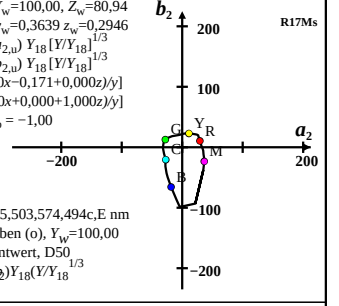

$\lambda_{B,G,Y,R}$=475,503,574,494c,E nm
Ostwald Farben (o), Y_w=100,00
max (m) Buntwert, D50
Farbart $(a_2, b_2)Y_{18}(Y/Y_{18}^{1/3}$

X_w=93,78, Y_w=100,00, Z_w=80,94
x_w=0,3413 y_w=0,3639 z_w=0,2946
$a_{2,nu}=(a_2-a_{2,u})\,Y_{18}$
$b_{2,nu}=(b_2-b_{2,u})\,Y_{18}$
$a_2=n_a[(1{,}000x-0{,}171+0{,}000z)/y]$
$b_2=n_b[(0{,}000x+0{,}000+1{,}000z)/y]$
n_a = 2,80, n_b = −1,00
n = D50

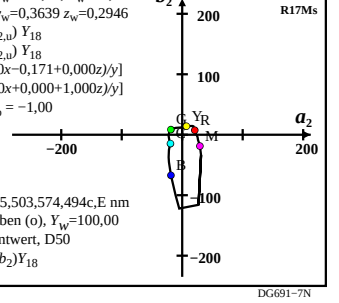

$\lambda_{B,G,Y,R}$=475,503,574,494c,E nm
Ostwald Farben (o), Y_w=100,00
max (m) Buntwert, D50
Farbart $(a_2, b_2)Y_{18}$

X_w=93,78, Y_w=100,00, Z_w=80,94
x_w=0,3413 y_w=0,3639 z_w=0,2946
$A_2=(a_2-a_{2,u})\,Y/[Y/Y_{18}]^{1/3}$
$B_2=(b_2-b_{2,u})\,Y/[Y/Y_{18}]^{1/3}$
$a_2=n_a[(1{,}000x-0{,}171+0{,}000z)/y]$
$b_2=n_b[(0{,}000x+0{,}000+1{,}000z)/y]$
n_a = 2,80, n_b = −1,00
n = D50

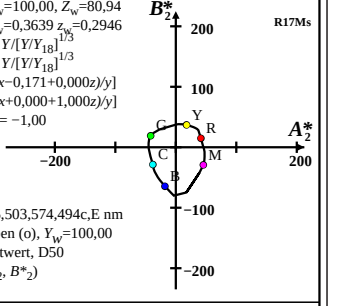

$\lambda_{B,G,Y,R}$=475,503,574,494c,E nm
Ostwald Farben (o), Y_w=100,00
max (m) Buntwert, D50
Buntheit (A^*_2, B^*_2)

X_w=93,78, Y_w=100,00, Z_w=80,94
x_w=0,3413 y_w=0,3639 z_w=0,2946
$A_2=(a_2-a_{2,u})\,Y$
$B_2=(b_2-b_{2,u})\,Y$
$a_2=n_a[(1{,}000x-0{,}171+0{,}000z)/y]$
$b_2=n_b[(0{,}000x+0{,}000+1{,}000z)/y]$
n_a = 2,80, n_b = −1,00
n = D50

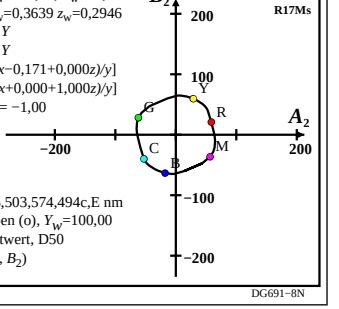

$\lambda_{B,G,Y,R}$=475,503,574,494c,E nm
Ostwald Farben (o), Y_w=100,00
max (m) Buntwert, D50
Buntwert (A_2, B_2)

DG691−7N

DG691−8N

DG691−7R_pchartl=2_xcolorl=5(R17Ms)

CIE02-Normfarbwerte, Buntwerte und Farbarten (n_a=1,4, n_b=0,5).
Normierte *Ostwald (O)*-Farbwerte (Y_w=100), geordnet nach Wellenlänge.

		Normfarbwerte und -anteile						*nu*-Buntwerte			
	λ_n	*X*	*Y*	*Z*	*x*	*y*	*z*	A_{nu}	B_{nu}	C_{ABnu}	h_{ABnu}
00	396	31,24	12,19	76,69	0,260	0,101	0,638	72,3	−84,1	111,0	310
01	463	13,25	6,34	78,11	0,135	0,064	0,799	20,0	−89,1	91,3	282
02	466	13,27	8,01	79,21	0,132	0,079	0,788	13,4	−88,4	89,4	278
03	471	13,39	12,66	80,68	0,125	0,118	0,755	−4,4	−84,7	84,8	266
04	475B	14,00	19,21	81,44	0,122	0,167	0,710	−27,6	−77,9	82,7	250
05	479	15,61	27,50	81,85	0,124	0,220	0,655	−53,3	−68,9	87,1	232
06	481	18,42	36,66	82,05	0,134	0,267	0,598	−77,4	−58,9	97,2	217
07	483	20,35	41,45	82,11	0,141	0,288	0,570	−88,1	−53,6	103,1	211
08	484	22,64	46,29	82,14	0,149	0,306	0,543	−97,4	−48,4	108,8	206
09	485	25,29	51,06	82,16	0,159	0,322	0,518	−105,0	−43,3	113,6	202
10	486C	29,62	57,81	81,62	0,175	0,341	0,482	−113,2	−35,5	118,7	197
11	490	26,32	58,17	63,51	0,177	0,393	0,429	−126,0	−12,6	126,6	185
12	497	23,01	58,66	42,48	0,185	0,472	0,342	−138,9	13,8	139,6	174
13	501	22,62	59,57	35,18	0,192	0,507	0,299	−143,1	23,7	145,0	170
14	506	22,26	60,29	28,28	0,200	0,543	0,255	−146,5	33,0	150,1	167
15	519	21,83	61,02	17,06	0,218	0,610	0,170	−149,6	47,4	157,0	162
16	522G	24,04	63,42	17,06	0,230	0,606	0,163	−149,8	49,8	157,8	161
17	535	27,22	66,19	9,71	0,263	0,641	0,094	−146,3	61,3	158,7	157
18	544	32,20	72,16	7,33	0,306	0,629	0,063	−136,1	69,6	152,8	152
19	561	65,07	87,80	5,54	0,410	0,554	0,034	−72,3	84,1	111,0	130
20	568	83,05	93,65	4,13	0,459	0,517	0,022	−20,0	89,1	91,3	102
21	569	83,03	91,98	3,02	0,466	0,516	0,016	−13,4	88,4	89,4	98
22	571	82,92	87,33	1,55	0,482	0,508	0,009	4,4	84,7	84,8	86
23	573Y	82,30	80,76	0,80	0,502	0,492	0,004	27,6	77,9	82,7	70
24	577	80,69	72,49	0,38	0,525	0,472	0,002	53,3	68,9	87,1	52
25	581	77,87	63,33	0,18	0,550	0,447	0,001	77,3	58,9	97,2	37
26	583	75,96	58,54	0,13	0,564	0,434	0,000	88,1	53,6	103,1	31
27	585	73,67	53,70	0,09	0,577	0,421	0,000	97,4	48,4	108,8	26
28	587	71,01	48,93	0,07	0,591	0,407	0,000	105,0	43,3	113,6	22
29	592R	66,69	42,18	0,61	0,609	0,385	0,005	113,3	35,5	118,7	17
30	631	69,99	41,82	18,71	0,536	0,320	0,143	126,0	12,6	126,6	5
31	702	73,30	41,33	39,75	0,474	0,267	0,257	138,9	−13,8	139,6	354
32	706	73,69	40,41	47,04	0,457	0,250	0,291	143,1	−23,7	145,1	350
33	711	74,05	39,70	53,95	0,441	0,236	0,321	146,5	−33,0	150,2	347
34	724	74,48	38,97	65,18	0,416	0,218	0,364	149,6	−47,4	157,0	342
35	727M	72,26	36,57	65,17	0,415	0,210	0,374	149,8	−49,8	157,9	341
36	740	69,08	33,80	72,53	0,393	0,192	0,413	146,3	−61,3	158,7	337
37	749	61,10	27,83	74,91	0,372	0,169	0,457	136,0	−69,6	152,8	332
38	766	31,24	12,19	76,69	0,260	0,101	0,638	72,3	−84,1	111,0	310
39	828	13,25	6,34	78,11	0,135	0,064	0,799	20,0	−89,1	91,3	282
U=D50		**96,31**	**99,99**	**82,24**	**0,345**	**0,358**	**0,358**	**0,0**	**0,0**	**0,0**	**0**

$a=p_{anu}=n_a p_a=n_a[(b_{21}-b_{23})x+(b_{22}-b_{23})y+b_{23}]/y=1{,}4(3{,}0757x-2{,}5702y-0{,}0960)/y$
$b=p_{bnu}=n_b p_b=n_b[(b_{31}-b_{33})x+(b_{32}-b_{33})y+b_{33}]/y=+0{,}5(1{,}9906x+3{,}8617y-2{,}4046)/y$

DG690−3N

CIE02-Normfarbwerte, Buntwerte und Farbarten (n_a=1,4, n_b=0,5).
Normierte *Ostwald (O)*-Farbwerte (Y_w=100), geordnet nach Wellenlänge.

		n-Farbart					*nu*-Farbart			
	λ_n	*Y*	p_{an}	p_{bn}	p_{rn}	h_{abn}	p_{anu}	p_{bnu}	p_{rnu}	h_{abnu}
00	396	12,19	6,11	−7,36	9,57	309	5,93	−6,90	9,10	310
01	463	6,34	3,32	−14,51	14,89	282	3,15	−14,05	14,40	282
02	466	8,01	1,84	−11,50	11,65	279	1,67	−11,04	11,17	278
03	471	12,66	−0,17	−7,15	7,15	268	−0,35	−6,69	6,70	266
04	475B	19,21	−1,26	−4,51	4,69	254	−1,43	−4,05	4,30	250
05	479	27,50	−1,76	−2,96	3,45	239	−1,93	−2,50	3,17	232
06	481	36,66	−1,93	−2,06	2,83	226	−2,11	−1,60	2,65	217
07	483	41,45	−1,95	−1,75	2,62	221	−2,12	−1,29	2,48	211
08	484	46,29	−1,93	−1,50	2,44	217	−2,10	−1,04	2,35	206
09	485	51,06	−1,88	−1,30	2,29	214	−2,05	−0,84	2,22	202
10	486C	57,81	−1,78	−1,07	2,08	211	−1,95	−0,61	2,05	197
11	490	58,17	−1,99	−0,67	2,10	198	−2,16	−0,21	2,17	185
12	497	58,66	−2,19	−0,22	2,20	185	−2,36	0,23	2,38	174
13	501	59,57	−2,22	−0,06	2,22	181	−2,40	0,39	2,43	170
14	506	60,29	−2,25	0,08	2,25	177	−2,43	0,54	2,49	167
15	519	61,02	−2,27	0,31	2,30	172	−2,45	0,77	2,57	162
16	522G	63,42	−2,18	0,32	2,21	171	−2,36	0,78	2,48	161
17	535	66,19	−2,03	0,46	2,08	167	−2,21	0,92	2,39	157
18	544	72,16	−1,71	0,50	1,78	163	−1,88	0,96	2,11	152
19	561	87,80	−0,64	0,49	0,81	142	−0,82	0,95	1,26	130
20	568	93,65	−0,03	0,49	0,49	94	−0,21	0,95	0,97	102
21	569	91,98	0,02	0,50	0,50	86	−0,14	0,96	0,97	98
22	571	87,33	0,22	0,51	0,55	66	0,05	0,97	0,97	86
23	573Y	80,76	0,51	0,50	0,72	44	0,34	0,96	1,02	70
24	577	72,49	0,91	0,49	1,03	28	0,73	0,95	1,20	52
25	581	63,33	1,39	0,47	1,47	18	1,22	0,93	1,53	37
26	583	58,54	1,67	0,45	1,74	15	1,50	0,91	1,76	31
27	585	53,70	1,99	0,44	2,03	12	1,81	0,90	2,02	26
28	587	48,93	2,32	0,42	2,36	10	2,14	0,88	2,32	22
29	592R	42,18	2,86	0,38	2,88	7	2,68	0,84	2,81	17
30	631	41,82	3,18	−0,15	3,19	357	3,01	0,30	3,02	5
31	702	41,33	3,53	−0,79	3,62	347	3,36	−0,33	3,37	354
32	706	40,41	3,71	−1,04	3,86	344	3,54	−0,58	3,58	350
33	711	39,70	3,86	−1,29	4,07	341	3,69	−0,83	3,78	347
34	724	38,97	4,01	−1,67	4,35	337	3,84	−1,21	4,02	342
35	727M	36,57	4,27	−1,82	4,64	336	4,09	−1,36	4,31	341
36	740	33,80	4,50	−2,27	5,04	333	4,33	−1,81	4,69	337
37	749	27,83	5,06	−2,96	5,86	329	4,88	−2,50	5,49	332
38	766	12,19	6,11	−7,36	9,57	309	5,93	−6,90	9,10	310
39	828	6,34	3,32	−14,51	14,89	282	3,15	−14,05	14,40	282
U=D50		**99,99**	**0,174**	**−0,459**	**0,491**	**290**	**0,0**	**0,0**	**0,0**	**0**

$a=p_{anu}=n_a p_a=n_a[(b_{21}-b_{23})x+(b_{22}-b_{23})y+b_{23}]/y=1{,}4(3{,}0757x-2{,}5702y-0{,}0960)/y$
$b=p_{bnu}=n_b p_b=n_b[(b_{31}-b_{33})x+(b_{32}-b_{33})y+b_{33}]/y=+0{,}5(1{,}9906x+3{,}8617y-2{,}4046)/y$

DG690−4N

CIE02-Normfarbwerte, Buntwerte und Farbarten (n_a=1,4, n_b=0,5).
Normierte *Ostwald (O)*-Farbwerte (Y_w=100), geordnet nach Buntton winkel.

		Normfarbwerte und -anteile						*nu*-Buntwerte			
	λ_n	*X*	*Y*	*Z*	*x*	*y*	*z*	A_{nu}	B_{nu}	C_{ABnu}	h_{ABnu}
00	631	69,99	41,82	18,71	0,536	0,320	0,143	126,0	12,6	126,6	365
01	702	73,30	41,33	39,75	0,474	0,267	0,257	138,9	−13,8	139,6	354
02	706	73,69	40,41	47,04	0,457	0,250	0,291	143,1	−23,7	145,1	350
03	711	74,05	39,70	53,95	0,441	0,236	0,321	146,5	−33,0	150,2	347
04	724	74,48	38,97	65,18	0,416	0,218	0,364	149,6	−47,4	157,0	342
05	727M	72,26	36,57	65,17	0,415	0,210	0,374	149,8	−49,8	157,9	341
06	740	69,08	33,80	72,53	0,393	0,192	0,413	146,3	−61,3	158,7	337
07	749	61,10	27,83	74,91	0,372	0,169	0,457	136,0	−69,6	152,8	332
08	396	31,24	12,19	76,69	0,260	0,101	0,638	72,3	−84,1	111,0	310
09	463	13,25	6,34	78,11	0,135	0,064	0,799	20,0	−89,1	91,3	282
10	466	13,27	8,01	79,21	0,132	0,079	0,788	13,4	−88,4	89,4	278
11	471	13,39	12,66	80,68	0,125	0,118	0,755	−4,4	−84,7	84,8	266
12	475B	14,00	19,21	81,44	0,122	0,167	0,710	−27,6	−77,9	82,7	250
13	479	15,61	27,50	81,85	0,124	0,220	0,655	−53,3	−68,9	87,1	232
14	481	18,42	36,66	82,05	0,134	0,267	0,598	−77,4	−58,9	97,2	217
15	483	20,35	41,45	82,11	0,141	0,288	0,570	−88,1	−53,6	103,1	211
16	484	22,64	46,29	82,14	0,149	0,306	0,543	−97,4	−48,4	108,8	206
17	485	25,29	51,06	82,16	0,159	0,322	0,518	−105,0	−43,3	113,6	202
18	486C	29,62	57,81	81,62	0,175	0,341	0,482	−113,2	−35,5	118,7	197
19	490	26,32	58,17	63,51	0,177	0,393	0,429	−126,0	−12,6	126,6	185
20	497	23,01	58,66	42,48	0,185	0,472	0,342	−138,9	13,8	139,6	174
21	501	22,62	59,57	35,18	0,192	0,507	0,299	−143,1	23,7	145,0	170
22	506	22,26	60,29	28,28	0,200	0,543	0,255	−146,5	33,0	150,1	167
23	519G	21,83	61,02	17,06	0,218	0,610	0,170	−149,6	47,4	157,0	162
24	522	24,04	63,42	17,06	0,230	0,606	0,163	−149,8	49,8	157,8	161
25	535	27,22	66,19	9,71	0,263	0,641	0,094	−146,3	61,3	158,7	157
26	544	35,20	72,16	7,33	0,306	0,629	0,063	−136,1	69,6	152,8	152
27	561	65,07	87,80	5,54	0,410	0,554	0,034	−72,3	84,1	111,0	130
28	568	83,05	93,65	4,13	0,459	0,517	0,022	−20,0	89,1	91,3	102
29	569	83,03	91,98	3,02	0,466	0,516	0,016	−13,4	88,4	89,4	98
30	571	82,92	87,33	1,55	0,482	0,508	0,009	4,4	84,7	84,8	86
31	573	82,30	80,76	0,80	0,502	0,492	0,004	27,6	77,9	82,7	70
32	577Y	80,69	72,49	0,38	0,525	0,472	0,002	53,3	68,9	87,1	52
33	581	77,87	63,33	0,18	0,550	0,447	0,001	77,3	58,9	97,2	37
34	583	75,96	58,54	0,13	0,564	0,434	0,000	88,1	53,6	103,1	31
35	585	73,67	53,70	0,09	0,577	0,421	0,000	97,4	48,4	108,8	26
36	587R	71,01	48,93	0,07	0,591	0,407	0,000	105,0	43,3	113,6	22
37	592	66,69	42,18	0,61	0,609	0,385	0,005	113,3	35,5	118,7	17
38	631	69,99	41,82	18,71	0,536	0,320	0,143	126,0	12,6	126,6	5
39	702	73,30	41,33	39,75	0,474	0,267	0,257	138,9	−13,8	139,6	−5
U=D50		**96,31**	**99,99**	**82,24**	**0,345**	**0,358**	**0,358**	**0,0**	**0,0**	**0,0**	**0**

$a=p_{anu}=n_a p_a=n_a[(b_{21}-b_{23})x+(b_{22}-b_{23})y+b_{23}]/y=1{,}4(3{,}0757x-2{,}5702y-0{,}0960)/y$
$b=p_{bnu}=n_b p_b=n_b[(b_{31}-b_{33})x+(b_{32}-b_{33})y+b_{33}]/y=+0{,}5(1{,}9906x+3{,}8617y-2{,}4046)/y$

DG690−7N

CIE02-Normfarbwerte, Buntwerte und Farbarten (n_a=1,4, n_b=0,5).
Normierte *Ostwald (O)*-Farbwerte (Y_w=100), geordnet nach Buntton winkel.

		n-Farbart					*nu*-Farbart			
	λ_n	*Y*	p_{an}	p_{bn}	p_{rn}	h_{abn}	p_{anu}	p_{bnu}	p_{rnu}	h_{abnu}
00	631	41,82	3,18	−0,15	3,19	357	3,01	0,30	3,02	365
01	702	41,33	3,53	−0,79	3,62	347	3,36	−0,33	3,37	354
02	706	40,41	3,71	−1,04	3,86	344	3,54	−0,58	3,58	350
03	711	39,70	3,86	−1,29	4,07	341	3,69	−0,83	3,78	347
04	724	38,97	4,01	−1,67	4,35	337	3,84	−1,21	4,02	342
05	727M	36,57	4,27	−1,82	4,64	336	4,09	−1,36	4,31	341
06	740	33,80	4,50	−2,27	5,04	333	4,33	−1,81	4,69	337
07	749	27,83	5,06	−2,96	5,86	329	4,88	−2,50	5,49	332
08	396	12,19	6,11	−7,36	9,57	309	5,93	−6,90	9,10	310
09	463	6,34	3,32	−14,51	14,89	282	3,15	−14,05	14,40	282
10	466	8,01	1,84	−11,50	11,65	279	1,67	−11,04	11,17	278
11	471	12,66	−0,17	−7,15	7,15	268	−0,35	−6,69	6,70	266
12	475B	19,21	−1,26	−4,51	4,69	254	−1,43	−4,05	4,30	250
13	479	27,50	−1,76	−2,96	3,45	239	−1,93	−2,50	3,17	232
14	481	36,66	−1,93	−2,06	2,83	226	−2,11	−1,60	2,65	217
15	483	41,45	−1,95	−1,75	2,62	221	−2,12	−1,29	2,48	211
16	484	46,29	−1,93	−1,50	2,44	217	−2,10	−1,04	2,35	206
17	485	51,06	−1,88	−1,30	2,29	214	−2,05	−0,84	2,22	202
18	486C	57,81	−1,78	−1,07	2,08	211	−1,95	−0,61	2,05	197
19	490	58,17	−1,99	−0,67	2,10	198	−2,16	−0,21	2,17	185
20	497	58,66	−2,19	−0,22	2,20	185	−2,36	0,23	2,38	174
21	501	59,57	−2,22	−0,06	2,22	181	−2,40	0,39	2,43	170
22	506	60,29	−2,25	0,08	2,25	177	−2,43	0,54	2,49	167
23	519G	61,02	−2,27	0,31	2,30	172	−2,45	0,77	2,57	162
24	522	63,42	−2,18	0,32	2,21	171	−2,36	0,78	2,48	161
25	535	66,19	−2,03	0,46	2,08	167	−2,21	0,92	2,39	157
26	544	72,16	−1,71	0,50	1,78	163	−1,88	0,96	2,11	152
27	561	87,80	−0,64	0,49	0,81	142	−0,82	0,95	1,26	130
28	568	93,65	−0,03	0,49	0,49	94	−0,21	0,95	0,97	102
29	569	91,98	0,02	0,50	0,50	86	−0,14	0,96	0,97	98
30	571	87,33	0,22	0,51	0,55	66	0,05	0,97	0,97	86
31	573	80,76	0,51	0,50	0,72	44	0,34	0,96	1,02	70
32	577Y	72,49	0,91	0,49	1,03	28	0,73	0,95	1,20	52
33	581	63,33	1,39	0,47	1,47	18	1,22	0,93	1,53	37
34	583	58,54	1,67	0,45	1,74	15	1,50	0,91	1,76	31
35	585	53,70	1,99	0,44	2,03	12	1,81	0,90	2,02	26
36	587R	48,93	2,32	0,42	2,36	10	2,14	0,88	2,32	22
37	592	42,18	2,86	0,38	2,88	7	2,68	0,84	2,81	17
38	631	41,82	3,18	−0,15	3,19	−2	3,01	0,30	3,02	5
39	702	41,33	3,53	−0,79	3,62	−12	3,36	−0,33	3,37	−5
U=D50		**99,99**	**0,174**	**−0,459**	**0,491**	**290**	**0,0**	**0,0**	**0,0**	**0**

$a=p_{anu}=n_a p_a=n_a[(b_{21}-b_{23})x+(b_{22}-b_{23})y+b_{23}]/y=1{,}4(3{,}0757x-2{,}5702y-0{,}0960)/y$
$b=p_{bnu}=n_b p_b=n_b[(b_{31}-b_{33})x+(b_{32}-b_{33})y+b_{33}]/y=+0{,}5(1{,}9906x+3{,}8617y-2{,}4046)/y$

DG690−8N

DG690−7R_pchartl=3_xcolorl=0(CIE02)

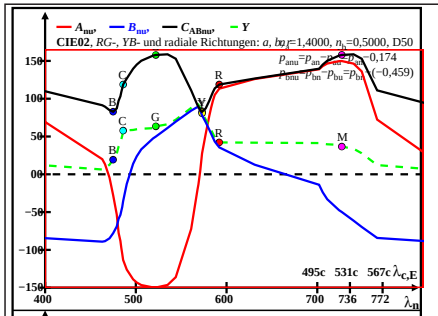

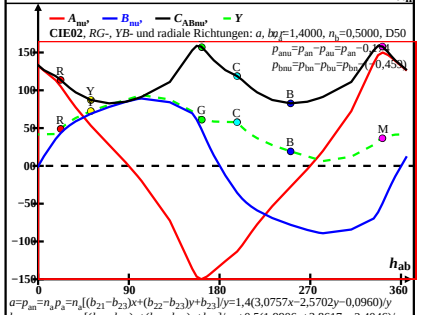

$a=p_{anu}=n_a p_a=n_a[(b_{21}-b_{23})x+(b_{22}-b_{23})y+b_{23}]/y=1{,}4(3{,}0757x-2{,}5702y-0{,}0960)/y$
$b=p_{bnu}=n_b p_b=n_b[(b_{31}-b_{33})x+(b_{32}-b_{33})y+b_{33}]/y=+0{,}5(1{,}9906x+3{,}8617y-2{,}4046)/y$

DG691−3N

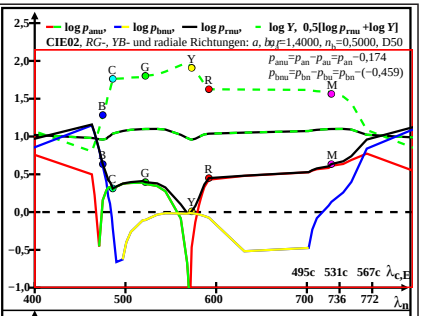

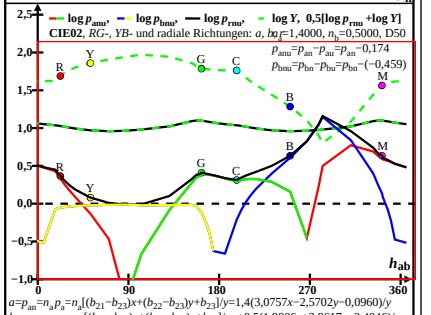

$a=p_{anu}=n_a p_a=n_a[(b_{21}-b_{23})x+(b_{22}-b_{23})y+b_{23}]/y=1{,}4(3{,}0757x-2{,}5702y-0{,}0960)/y$
$b=p_{bnu}=n_b p_b=n_b[(b_{31}-b_{33})x+(b_{32}-b_{33})y+b_{33}]/y=+0{,}5(1{,}9906x+3{,}8617y-2{,}4046)/y$

DG691−4N

X_w=96,31, Y_w=99,99, Z_w=82,24
x_w=0,3457 y_w=0,3589 z_w=0,2952
$a'_{3,nu}=(a_3-a_{3,u})\ Y_{18}\,[Y/Y_{18}]^{1/3}$
$b'_{3,nu}=(b_3-b_{3,u})\ Y_{18}\,[Y/Y_{18}]^{1/3}$
a_3=1,4(3,0757*x*−2,5702*y*−0,0960)/*y*
b_3=0,5(1,9906x3,8617*y*−2,4046)/*y*
n_a = 1,40, n_b = 0,50
n = D50

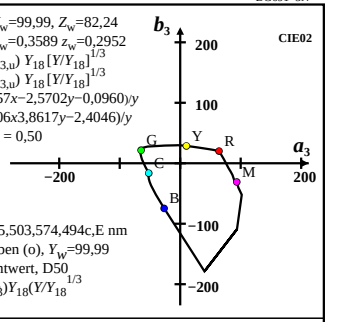

$\lambda_{B,G,Y,R}$=475,503,574,494c,E nm
Ostwald Farben (o), Y_w=99,99
max (m) Buntwert, D50
Farbart $(a_3, b_3)Y_{18}(Y/Y_{18}{}^{1/3}$

X_w=96,31, Y_w=99,99, Z_w=82,24
x_w=0,3457 y_w=0,3589 z_w=0,2952
$A_3=(a_3-a_{3,u})\ Y/[Y/Y_{18}]^{1/3}$
$B_3=(b_3-b_{3,u})\ Y/[Y/Y_{18}]^{1/3}$
a_3=1,4(3,0757*x*−2,5702*y*−0,0960)/*y*
b_3=0,5(1,9906x3,8617*y*−2,4046)/*y*
n_a = 1,40, n_b = 0,50
n = D50

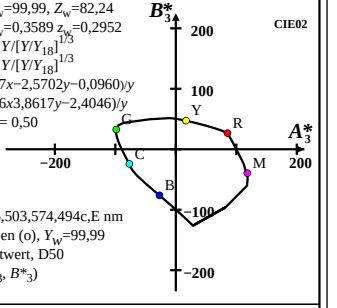

$\lambda_{B,G,Y,R}$=475,503,574,494c,E nm
Ostwald Farben (o), Y_w=99,99
max (m) Buntwert, D50
Buntheit (A^*_3, B^*_3)

X_w=96,31, Y_w=99,99, Z_w=82,24
x_w=0,3457 y_w=0,3589 z_w=0,2952
$a_{3,nu}=(a_3-a_{3,u})\ Y_{18}$
$b_{3,nu}=(b_3-b_{3,u})\ Y_{18}$
a_3=1,4(3,0757*x*−2,5702*y*−0,0960)/*y*
b_3=0,5(1,9906x3,8617*y*−2,4046)/*y*
n_a = 1,40, n_b = 0,50
n = D50

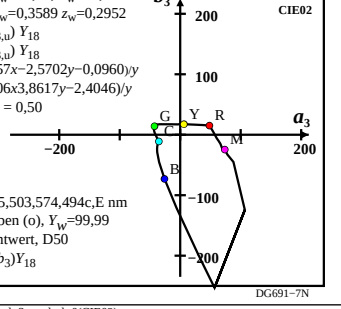

$\lambda_{B,G,Y,R}$=475,503,574,494c,E nm
Ostwald Farben (o), Y_w=99,99
max (m) Buntwert, D50
Farbart $(a_3, b_3)Y_{18}$

X_w=96,31, Y_w=99,99, Z_w=82,24
x_w=0,3457 y_w=0,3589 z_w=0,2952
$A_3=(a_3-a_{3,u})\ Y$
$B_3=(b_3-b_{3,u})\ Y$
a_3=1,4(3,0757*x*−2,5702*y*−0,0960)/*y*
b_3=0,5(1,9906x3,8617*y*−2,4046)/*y*
n_a = 1,40, n_b = 0,50
n = D50

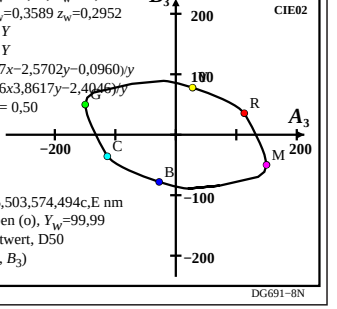

$\lambda_{B,G,Y,R}$=475,503,574,494c,E nm
Ostwald Farben (o), Y_w=99,99
max (m) Buntwert, D50
Buntwert (A_3, B_3)

DG691−7N

DG691−8N

DG691−7R_pchartl=3_xcolorl=0(CIE02)

Siehe ähnliche Dateien: http://farbe.li.tu-berlin.de/DG69/DG69.HTM
Technische Information: http://farbe.li.tu-berlin.de oder http://130.149.60.45/~farbmetrik

TUB-Registrierung: 20180801-DG69/DG69L0NP.PDF /.PS
Anwendung für Messung von Offsetdruck-Ausgabe
TUB-Material: Code=rha4ta

Siehe ähnliche Dateien: http://farbe.li.tu-berlin.de/DG69/DG69.HTM
Technische Information: http://farbe.li.tu-berlin.de oder http://130.149.60.45/~farbmetrik

TUB-Registrierung: 20180801-DG69/DG69L0NP.PDF /.PS
Anwendung für Messung von Offsetdruck-Ausgabe
TUB-Material: Code=rha4ta

CIE10-Normfarbwerte, Buntwerte und Farbarten (n_a=1,4, n_b=0,5).
Normierte *Ostwald (O)*-Farbwerte (Y_w=100), geordnet nach Wellenlänge.

		Normfarbwerte und -anteile						*nu*-Buntwerte			
	λ_n	*X*	*Y*	*Z*	*x*	*y*	*z*	A_{nu}	B_{nu}	C_{ABnu}	h_{ABnu}
00	376	55,24	26,06	71,08	0,362	0,171	0,466	118,6	−66,2	135,9	330
01	458	13,22	7,40	75,87	0,136	0,076	0,786	15,9	−85,2	86,7	280
02	460	13,26	8,89	77,33	0,133	0,089	0,777	10,0	−85,2	85,8	276
03	462	13,28	10,68	78,42	0,129	0,104	0,765	2,9	−84,4	84,5	272
04	462B	13,28	10,68	78,42	0,129	0,104	0,765	2,9	−84,4	84,5	272
05	468	13,66	17,92	80,19	0,122	0,160	0,717	−24,0	−78,1	81,8	252
06	471	14,70	24,41	80,73	0,122	0,203	0,673	−45,2	−71,4	84,5	237
07	473	15,60	28,17	80,89	0,125	0,225	0,648	−56,2	−67,3	87,7	230
08	475	18,32	36,37	81,08	0,134	0,267	0,597	−77,1	−58,5	96,7	217
09	477	22,35	45,10	81,16	0,150	0,303	0,546	−94,5	−49,1	106,5	207
10	477C	22,35	45,10	81,16	0,150	0,303	0,546	−94,5	−49,1	106,5	207
11	479	27,82	53,94	81,17	0,170	0,331	0,498	−106,4	−39,9	113,6	200
12	480	30,64	58,21	79,19	0,182	0,346	0,471	−111,1	−33,1	115,9	196
13	484	25,67	56,42	59,80	0,180	0,397	0,421	−122,2	−10,8	122,7	185
14	492	22,50	56,65	38,03	0,192	0,483	0,324	−133,4	16,2	134,4	173
15	503	21,56	57,40	24,28	0,208	0,555	0,235	−138,4	33,8	142,5	166
16	512G	22,19	58,45	18,53	0,223	0,589	0,186	−139,1	41,8	145,3	163
17	521	24,28	60,61	13,79	0,246	0,614	0,139	−138,2	49,6	146,9	160
18	531	29,00	64,47	10,07	0,280	0,622	0,097	−133,2	57,6	145,1	156
19	541	41,39	73,93	10,07	0,330	0,589	0,080	−118,6	66,2	135,8	150
20	563	83,41	92,59	5,28	0,460	0,510	0,029	−15,8	85,2	86,7	100
21	564	83,37	91,09	3,82	0,467	0,510	0,021	−9,9	85,2	85,8	96
22	565	83,35	89,31	2,74	0,475	0,509	0,015	−2,9	84,4	84,5	91
23	565Y	83,35	89,31	2,74	0,475	0,509	0,015	−2,9	84,4	84,5	91
24	568	82,96	82,07	0,96	0,499	0,494	0,005	24,0	78,1	81,8	72
25	571	81,93	75,58	0,44	0,518	0,478	0,002	45,3	71,3	84,5	57
26	573	81,03	71,82	0,27	0,529	0,469	0,001	56,3	67,3	87,7	50
27	577	78,31	63,62	0,08	0,551	0,447	0,000	77,1	58,4	96,8	37
28	581	74,28	54,89	0,01	0,575	0,424	0,000	94,5	49,1	106,6	27
29	581R	74,28	54,89	0,01	0,575	0,424	0,000	94,5	49,1	106,6	27
30	587	68,81	46,05	0,00	0,599	0,400	0,000	106,4	39,9	113,6	20
31	589	67,60	44,04	0,93	0,600	0,391	0,008	109,1	36,6	115,1	18
32	692	70,96	43,57	21,37	0,522	0,320	0,157	122,2	10,8	122,7	5
33	697	74,12	43,34	43,14	0,461	0,269	0,268	133,4	−16,2	134,4	353
34	708	75,07	42,59	56,88	0,430	0,244	0,325	138,4	−33,8	142,5	346
35	717M	74,44	41,54	62,63	0,416	0,232	0,350	139,2	−41,8	145,3	343
36	726	72,35	39,38	67,37	0,403	0,219	0,376	138,3	−49,6	146,9	340
37	736	67,62	35,52	71,08	0,388	0,203	0,408	133,2	−57,7	145,2	336
38	746	55,24	26,06	71,08	0,362	0,171	0,466	118,6	−66,2	135,9	330
39	823	13,22	7,40	75,87	0,136	0,076	0,786	15,9	−85,2	86,7	280
U=D50		**96,63**	**100,00**	**81,17**	**0,347**	**0,359**	**0,359**	**0,0**	**0,0**	**0,0**	**0**

$a=p_{anu}=n_a p_a=n_a[(b_{21}-b_{23})x+(b_{22}-b_{23})y+b_{23}]/y=1{,}4(3{,}0757x-2{,}5702y-0{,}0960)/y$
$b=p_{bnu}=n_b p_b=n_b[(b_{31}-b_{33})x+(b_{32}-b_{33})y+b_{33}]/y=+0{,}5(1{,}9906x+3{,}8617y-2{,}4046)/y$

DG690−3N

CIE10-Normfarbwerte, Buntwerte und Farbarten (n_a=1,4, n_b=0,5).
Normierte *Ostwald (O)*-Farbwerte (Y_w=100), geordnet nach Wellenlänge.

		n-Farbart					*nu*-Farbart			
	λ_n	*Y*	p_{an}	p_{bn}	p_{rn}	h_{abn}	p_{anu}	p_{bnu}	p_{rnu}	h_{abnu}
00	376	26,06	4,74	−2,98	5,60	327	4,55	−2,54	5,21	330
01	458	7,40	2,34	−11,96	12,19	281	2,15	−11,52	11,72	280
02	460	8,89	1,31	−10,02	10,11	277	1,12	−9,58	9,64	276
03	462	10,68	0,46	−8,35	8,36	273	0,27	−7,90	7,91	272
04	462B	10,68	0,46	−8,35	8,36	273	0,27	−7,90	7,91	272
05	468	17,92	−1,15	−4,81	4,94	256	−1,34	−4,36	4,56	252
06	471	24,41	−1,66	−3,37	3,76	243	−1,85	−2,92	3,46	237
07	473	28,17	−1,80	−2,83	3,36	237	−1,99	−2,39	3,11	230
08	475	36,37	−1,93	−2,05	2,82	226	−2,12	−1,60	2,66	217
09	477	45,10	−1,90	−1,53	2,44	218	−2,09	−1,09	2,36	207
10	477C	45,10	−1,90	−1,53	2,44	218	−2,09	−1,09	2,36	207
11	479	53,94	−1,78	−1,18	2,14	213	−1,97	−0,74	2,10	200
12	480	58,21	−1,71	−1,01	1,99	210	−1,90	−0,56	1,99	196
13	484	56,42	−1,97	−0,63	2,07	197	−2,16	−0,19	2,17	185
14	492	56,65	−2,16	−0,16	2,17	184	−2,35	0,28	2,37	173
15	503	57,40	−2,22	0,14	2,22	176	−2,41	0,58	2,48	166
16	512G	58,45	−2,19	0,26	2,20	173	−2,38	0,71	2,48	163
17	521	60,61	−2,09	0,37	2,12	169	−2,28	0,81	2,42	160
18	531	64,47	−1,87	0,44	1,92	166	−2,06	0,89	2,25	156
19	541	73,93	−1,41	0,44	1,48	162	−1,60	0,89	1,83	150
20	563	92,59	0,01	0,47	0,47	87	−0,17	0,92	0,93	100
21	564	91,09	0,07	0,48	0,49	80	−0,10	0,93	0,94	96
22	565	89,31	0,15	0,49	0,52	72	−0,03	0,94	0,94	91
23	565Y	89,31	0,15	0,49	0,52	72	−0,03	0,94	0,94	91
24	568	82,07	0,48	0,50	0,69	46	0,29	0,95	0,99	72
25	571	75,58	0,78	0,49	0,93	32	0,59	0,94	1,11	57
26	573	71,82	0,97	0,49	1,09	26	0,78	0,93	1,22	50
27	577	63,62	1,40	0,47	1,47	18	1,21	0,91	1,52	37
28	581	54,89	1,91	0,44	1,96	13	1,72	0,89	1,94	27
29	581R	54,89	1,91	0,44	1,96	13	1,72	0,89	1,94	27
30	587	46,05	2,50	0,41	2,53	9	2,31	0,86	2,46	20
31	589	44,04	2,66	0,38	2,69	8	2,47	0,83	2,61	18
32	692	43,57	2,99	−0,19	3,00	356	2,80	0,24	2,81	5
33	697	43,34	3,26	−0,82	3,36	345	3,07	−0,37	3,10	353
34	708	42,59	3,44	−1,24	3,65	340	3,25	−0,79	3,34	346
35	717M	41,54	3,54	−1,45	3,82	337	3,35	−1,00	3,49	343
36	726	39,38	3,70	−1,70	4,07	335	3,51	−1,26	3,73	340
37	736	35,52	3,94	−2,07	4,45	332	3,75	−1,62	4,08	336
38	746	26,06	4,74	−2,98	5,60	327	4,55	−2,54	5,21	330
39	823	7,40	2,34	−11,96	12,19	281	2,15	−11,52	11,72	280
U=D50		**100,00**	**0,189**	**−0,447**	**0,485**	**292**	**0,0**	**0,0**	**0,0**	**0**

$a=p_{anu}=n_a p_a=n_a[(b_{21}-b_{23})x+(b_{22}-b_{23})y+b_{23}]/y=1{,}4(3{,}0757x-2{,}5702y-0{,}0960)/y$
$b=p_{bnu}=n_b p_b=n_b[(b_{31}-b_{33})x+(b_{32}-b_{33})y+b_{33}]/y=+0{,}5(1{,}9906x+3{,}8617y-2{,}4046)/y$

DG690−4N

CIE10-Normfarbwerte, Buntwerte und Farbarten (n_a=1,4, n_b=0,5).
Normierte *Ostwald (O)*-Farbwerte (Y_w=100), geordnet nach Buntton winkel.

		Normfarbwerte und -anteile						*nu*-Buntwerte			
	λ_n	*X*	*Y*	*Z*	*x*	*y*	*z*	A_{nu}	B_{nu}	C_{ABnu}	h_{ABnu}
00	692	70,96	43,57	21,37	0,522	0,320	0,157	122,2	10,8	122,7	365
01	697	74,12	43,34	43,14	0,461	0,269	0,268	133,4	−16,2	134,4	353
02	708	75,07	42,59	56,88	0,430	0,244	0,325	138,4	−33,8	142,5	346
03	717	74,44	41,54	62,63	0,416	0,232	0,350	139,2	−41,8	145,3	343
04	726	72,35	39,38	67,37	0,403	0,219	0,376	138,3	−49,6	146,9	340
05	736M	67,62	35,52	71,08	0,388	0,203	0,408	133,2	−57,7	145,2	336
06	376	55,24	26,06	71,08	0,362	0,171	0,466	118,6	−66,2	135,9	330
07	458	13,22	7,40	75,87	0,136	0,076	0,786	15,9	−85,2	86,7	280
08	460	13,26	8,89	77,33	0,133	0,089	0,777	10,0	−85,2	85,8	276
09	462	13,28	10,68	78,42	0,129	0,104	0,765	2,9	−84,4	84,5	272
10	462	13,28	10,68	78,42	0,129	0,104	0,765	2,9	−84,4	84,5	272
11	468	13,66	17,92	80,19	0,122	0,160	0,717	−24,0	−78,1	81,8	252
12	471B	14,70	24,41	80,73	0,122	0,203	0,673	−45,2	−71,4	84,5	237
13	473	15,60	28,17	80,89	0,125	0,225	0,648	−56,2	−67,3	87,7	230
14	475	18,32	36,37	81,08	0,134	0,267	0,597	−77,1	−58,5	96,7	217
15	477	22,35	45,10	81,16	0,150	0,303	0,546	−94,5	−49,1	106,5	207
16	477	22,35	45,10	81,16	0,150	0,303	0,546	−94,5	−49,1	106,5	207
17	479	27,82	53,94	81,17	0,170	0,331	0,498	−106,4	−39,9	113,6	200
18	480C	30,64	58,21	79,19	0,182	0,346	0,471	−111,1	−33,1	115,9	196
19	484	25,67	56,42	59,80	0,180	0,397	0,421	−122,2	−10,8	122,7	185
20	492	22,50	56,65	38,03	0,192	0,483	0,324	−133,4	16,2	134,4	173
21	503	21,56	57,40	24,28	0,208	0,555	0,235	−138,4	33,8	142,5	166
22	512	22,19	58,45	18,53	0,223	0,589	0,186	−139,1	41,8	145,3	163
23	521G	24,28	60,61	13,79	0,246	0,614	0,139	−138,2	49,6	146,9	160
24	531	29,00	64,47	10,07	0,280	0,622	0,097	−133,2	57,6	145,1	156
25	541	41,39	73,93	10,07	0,330	0,589	0,080	−118,6	66,2	135,8	150
26	563	83,41	92,59	5,28	0,460	0,510	0,029	−15,8	85,2	86,7	100
27	564	83,37	91,09	3,82	0,467	0,510	0,021	−9,9	85,2	85,8	96
28	565	83,35	89,31	2,74	0,475	0,509	0,015	−2,9	84,4	84,5	91
29	565	83,35	89,31	2,74	0,475	0,509	0,015	−2,9	84,4	84,5	91
30	568	82,96	82,07	0,96	0,499	0,494	0,005	24,0	78,1	81,8	72
31	571	81,93	75,58	0,44	0,518	0,478	0,002	45,3	71,3	84,5	57
32	573Y	81,03	71,82	0,27	0,529	0,469	0,001	56,3	67,3	87,7	50
33	577	78,31	63,62	0,08	0,551	0,447	0,000	77,1	58,4	96,8	37
34	581	74,28	54,89	0,01	0,575	0,424	0,000	94,5	49,1	106,6	27
35	581	74,28	54,89	0,01	0,575	0,424	0,000	94,5	49,1	106,6	27
36	587R	68,81	46,05	0,00	0,599	0,400	0,000	106,4	39,9	113,6	20
37	589	67,60	44,04	0,93	0,600	0,391	0,008	109,1	36,6	115,1	18
38	692	70,96	43,57	21,37	0,522	0,320	0,157	122,2	10,8	122,7	5
39	697	74,12	43,34	43,14	0,461	0,269	0,268	133,4	−16,2	134,4	−6
U=D50		**96,63**	**100,00**	**81,17**	**0,347**	**0,359**	**0,359**	**0,0**	**0,0**	**0,0**	**0**

$a=p_{anu}=n_a p_a=n_a[(b_{21}-b_{23})x+(b_{22}-b_{23})y+b_{23}]/y=1{,}4(3{,}0757x-2{,}5702y-0{,}0960)/y$
$b=p_{bnu}=n_b p_b=n_b[(b_{31}-b_{33})x+(b_{32}-b_{33})y+b_{33}]/y=+0{,}5(1{,}9906x+3{,}8617y-2{,}4046)/y$

DG690−7N

CIE10-Normfarbwerte, Buntwerte und Farbarten (n_a=1,4, n_b=0,5).
Normierte *Ostwald (O)*-Farbwerte (Y_w=100), geordnet nach Buntton winkel.

		n-Farbart					*nu*-Farbart			
	λ_n	*Y*	p_{an}	p_{bn}	p_{rn}	h_{abn}	p_{anu}	p_{bnu}	p_{rnu}	h_{abnu}
00	692	43,57	2,99	−0,19	3,00	356	2,80	0,24	2,81	365
01	697	43,34	3,26	−0,82	3,36	345	3,07	−0,37	3,10	353
02	708	42,59	3,44	−1,24	3,65	340	3,25	−0,79	3,34	346
03	717	41,54	3,54	−1,45	3,82	337	3,35	−1,00	3,49	343
04	726	39,38	3,70	−1,70	4,07	335	3,51	−1,26	3,73	340
05	736M	35,52	3,94	−2,07	4,45	332	3,75	−1,62	4,08	336
06	376	26,06	4,74	−2,98	5,60	327	4,55	−2,54	5,21	330
07	458	7,40	2,34	−11,96	12,19	281	2,15	−11,52	11,72	280
08	460	8,89	1,31	−10,02	10,11	277	1,12	−9,58	9,64	276
09	462	10,68	0,46	−8,35	8,36	273	0,27	−7,90	7,91	272
10	462	10,68	0,46	−8,35	8,36	273	0,27	−7,90	7,91	272
11	468	17,92	−1,15	−4,81	4,94	256	−1,34	−4,36	4,56	252
12	471B	24,41	−1,66	−3,37	3,76	243	−1,85	−2,92	3,46	237
13	473	28,17	−1,80	−2,83	3,36	237	−1,99	−2,39	3,11	230
14	475	36,37	−1,93	−2,05	2,82	226	−2,12	−1,60	2,66	217
15	477	45,10	−1,90	−1,53	2,44	218	−2,09	−1,09	2,36	207
16	477	45,10	−1,90	−1,53	2,44	218	−2,09	−1,09	2,36	207
17	479	53,94	−1,78	−1,18	2,14	213	−1,97	−0,74	2,10	200
18	480C	58,21	−1,71	−1,01	1,99	210	−1,90	−0,56	1,99	196
19	484	56,42	−1,97	−0,63	2,07	197	−2,16	−0,19	2,17	185
20	492	56,65	−2,16	−0,16	2,17	184	−2,35	0,28	2,37	173
21	503	57,40	−2,22	0,14	2,22	176	−2,41	0,58	2,48	166
22	512	58,45	−2,19	0,26	2,20	173	−2,38	0,71	2,48	163
23	521G	60,61	−2,09	0,37	2,12	169	−2,28	0,81	2,42	160
24	531	64,47	−1,87	0,44	1,92	166	−2,06	0,89	2,25	156
25	541	73,93	−1,41	0,44	1,48	162	−1,60	0,89	1,83	150
26	563	92,59	0,01	0,47	0,47	87	−0,17	0,92	0,93	100
27	564	91,09	0,07	0,48	0,49	80	−0,10	0,93	0,94	96
28	565	89,31	0,15	0,49	0,52	72	−0,03	0,94	0,94	91
29	565	89,31	0,15	0,49	0,52	72	−0,03	0,94	0,94	91
30	568	82,07	0,48	0,50	0,69	46	0,29	0,95	0,99	72
31	571	75,58	0,78	0,49	0,93	32	0,59	0,94	1,11	57
32	573Y	71,82	0,97	0,49	1,09	26	0,78	0,93	1,22	50
33	577	63,62	1,40	0,47	1,47	18	1,21	0,91	1,52	37
34	581	54,89	1,91	0,44	1,96	13	1,72	0,89	1,94	27
35	581	54,89	1,91	0,44	1,96	13	1,72	0,89	1,94	27
36	587R	46,05	2,50	0,41	2,53	9	2,31	0,86	2,46	20
37	589	44,04	2,66	0,38	2,69	8	2,47	0,83	2,61	18
38	692	43,57	2,99	−0,19	3,00	−3	2,80	0,24	2,81	5
39	697	43,34	3,26	−0,82	3,36	−14	3,07	−0,37	3,10	−6
U=D50		**100,00**	**0,189**	**−0,447**	**0,485**	**292**	**0,0**	**0,0**	**0,0**	**0**

$a=p_{anu}=n_a p_a=n_a[(b_{21}-b_{23})x+(b_{22}-b_{23})y+b_{23}]/y=1{,}4(3{,}0757x-2{,}5702y-0{,}0960)/y$
$b=p_{bnu}=n_b p_b=n_b[(b_{31}-b_{33})x+(b_{32}-b_{33})y+b_{33}]/y=+0{,}5(1{,}9906x+3{,}8617y-2{,}4046)/y$

DG690−8N

DG690−7R_pchartl=3_xcolorl=1(CIE10)

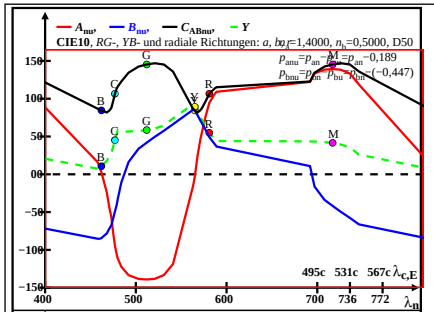

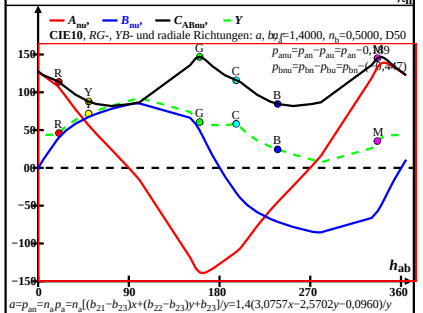

$a=p_{anu}=n_a p_a=n_a[(b_{21}-b_{23})x+(b_{22}-b_{23})y+b_{23}]/y=1{,}4(3{,}0757x-2{,}5702y-0{,}0960)/y$
$b=p_{bnu}=n_b p_b=n_b[(b_{31}-b_{33})x+(b_{32}-b_{33})y+b_{33}]/y=+0{,}5(1{,}9906x+3{,}8617y-2{,}4046)/y$

DG691−3N

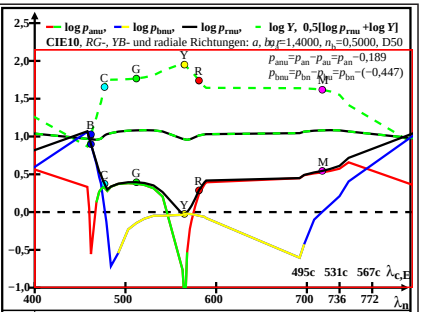

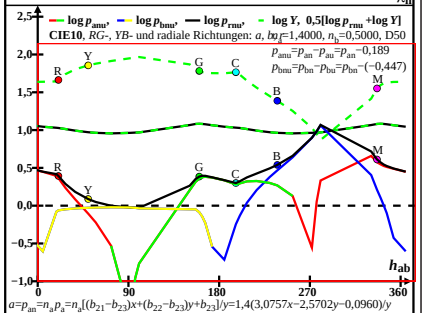

$a=p_{anu}=n_a p_a=n_a[(b_{21}-b_{23})x+(b_{22}-b_{23})y+b_{23}]/y=1{,}4(3{,}0757x-2{,}5702y-0{,}0960)/y$
$b=p_{bnu}=n_b p_b=n_b[(b_{31}-b_{33})x+(b_{32}-b_{33})y+b_{33}]/y=+0{,}5(1{,}9906x+3{,}8617y-2{,}4046)/y$

DG691−4N

X_w=96,63, Y_w=100,00, Z_w=81,17
x_w=0,3478 y_w=0,3599 z_w=0,2921
$a'_{3,nu}=(a_3-a_{3,u})\ Y_{18}\,[Y/Y_{18}]^{1/3}$
$b'_{3,nu}=(b_3-b_{3,u})\ Y_{18}\,[Y/Y_{18}]^{1/3}$
a_3=1,4(3,0757x−2,5702y−0,0960)/y
b_3=0,5(1,9906x3,8617y−2,4046)/y
n_a = 1,40, n_b = 0,50
n = D50

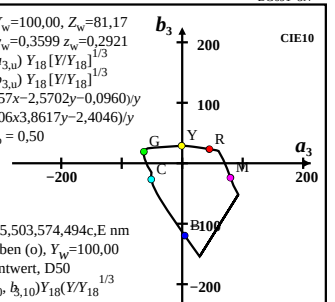

$\lambda_{B,G,Y,R}$=475,503,574,494c,E nm
Ostwald Farben (o), Y_w=100,00
max (m) Buntwert, D50
Farbart $(a_{3,10}, b_{3,10})Y_{18}(Y/Y_{18}^{1/3}$

X_w=96,63, Y_w=100,00, Z_w=81,17
x_w=0,3478 y_w=0,3599 z_w=0,2921
$a_{3,nu}=(a_3-a_{3,u})\ Y_{18}$
$b_{3,nu}=(b_3-b_{3,u})\ Y_{18}$
a_3=1,4(3,0757x−2,5702y−0,0960)/y
b_3=0,5(1,9906x3,8617y−2,4046)/y
n_a = 1,40, n_b = 0,50
n = D50

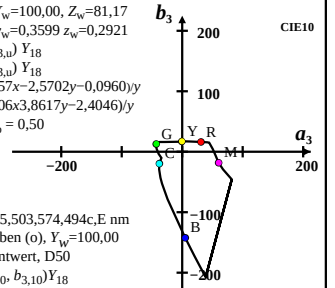

$\lambda_{B,G,Y,R}$=475,503,574,494c,E nm
Ostwald Farben (o), Y_w=100,00
max (m) Buntwert, D50
Farbart $(a_{3,10}, b_{3,10})Y_{18}$

DG691−7N

X_w=96,63, Y_w=100,00, Z_w=81,17
x_w=0,3478 y_w=0,3599 z_w=0,2921
$A_3=(a_3-a_{3,u})\ Y/[Y/Y_{18}]^{1/3}$
$B_3=(b_3-b_{3,u})\ Y/[Y/Y_{18}]^{1/3}$
a_3=1,4(3,0757x−2,5702y−0,0960)/y
b_3=0,5(1,9906x3,8617y−2,4046)/y
n_a = 1,40, n_b = 0,50
n = D50

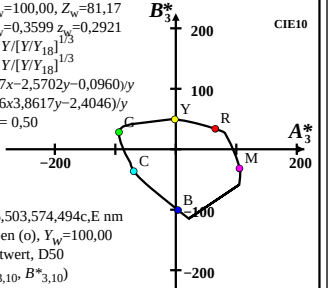

$\lambda_{B,G,Y,R}$=475,503,574,494c,E nm
Ostwald Farben (o), Y_w=100,00
max (m) Buntwert, D50
Buntheit $(A^*_{3,10}, B^*_{3,10})$

X_w=96,63, Y_w=100,00, Z_w=81,17
x_w=0,3478 y_w=0,3599 z_w=0,2921
$A_3=(a_3-a_{3,u})\ Y$
$B_3=(b_3-b_{3,u})\ Y$
a_3=1,4(3,0757x−2,5702y−0,0960)/y
b_3=0,5(1,9906x3,8617y−2,4046)/y
n_a = 1,40, n_b = 0,50
n = D50

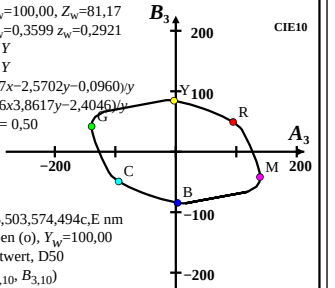

$\lambda_{B,G,Y,R}$=475,503,574,494c,E nm
Ostwald Farben (o), Y_w=100,00
max (m) Buntwert, D50
Buntwert $(A_{3,10}, B_{3,10})$

DG691−8N

DG691−7R_pchartl=3_xcolorl=1(CIE10)

Siehe ähnliche Dateien: http://farbe.li.tu-berlin.de/DG69/DG69.HTM
Technische Information: http://farbe.li.tu-berlin.de oder http://130.149.60.45/~farbmetrik

CIEF02-Normfarbwerte, Buntwerte und Farbarten (n_a=1,4, n_b=0,5).
Normierte *Ostwald (O)*-Farbwerte (Y_w=100), geordnet nach Wellenlänge.

λ_n	Normfarbwerte und -anteile X	Y	Z	x	y	z	*nu*-Buntwerte A_{nu}	B_{nu}	C_{ABnu}	h_{ABnu}
00 386	51,50	23,94	74,68	0,343	0,159	0,497	111,1	−72,0	132,4	327
01 460	12,38	6,54	76,19	0,130	0,068	0,801	15,8	−86,3	87,8	280
02 465	12,41	9,58	78,25	0,123	0,095	0,780	3,7	−85,2	85,3	272
03 467	12,45	11,64	78,87	0,120	0,113	0,766	−4,2	−83,5	83,6	267
04 473B	13,31	20,43	79,83	0,117	0,179	0,702	−35,1	−74,4	82,3	244
05 475	14,02	24,19	79,97	0,118	0,204	0,676	−46,9	−70,3	84,5	236
06 479	17,82	36,91	80,16	0,132	0,273	0,594	−80,9	−56,2	98,5	214
07 479	17,82	36,91	80,16	0,132	0,273	0,594	−80,9	−56,2	98,5	214
08 481	21,98	46,03	80,19	0,148	0,310	0,541	−99,2	−46,2	109,4	205
09 481	21,98	46,03	80,19	0,148	0,310	0,541	−99,2	−46,2	109,4	205
10 483C	27,52	55,03	80,21	0,169	0,338	0,492	−111,3	−36,7	117,2	198
11 484	28,85	57,21	79,07	0,174	0,346	0,478	−114,1	−33,0	118,8	196
12 489	25,36	57,41	57,70	0,180	0,408	0,410	−126,6	−6,4	126,7	182
13 497	22,33	57,50	36,81	0,191	0,492	0,315	−136,8	19,4	138,1	171
14 505	21,31	58,03	24,30	0,205	0,559	0,234	−141,4	35,3	145,8	165
15 512	21,41	58,69	18,79	0,216	0,593	0,190	−142,8	42,7	149,1	163
16 521G	22,42	59,91	14,10	0,232	0,621	0,146	−142,8	49,5	151,1	160
17 524	25,32	62,97	14,10	0,247	0,615	0,137	−142,6	52,6	152,0	159
18 539	30,29	66,55	7,57	0,290	0,637	0,072	−135,0	63,6	149,3	154
19 551	44,95	76,05	5,53	0,355	0,601	0,043	−110,8	74,3	133,4	146
20 568	84,08	93,45	4,02	0,463	0,514	0,022	−15,4	88,7	90,1	99
21 568	84,08	93,45	4,02	0,463	0,514	0,022	−15,4	88,7	90,1	99
22 569	84,05	90,41	1,96	0,476	0,512	0,011	−3,4	87,6	87,7	92
23 570Y	84,00	88,35	1,33	0,483	0,508	0,007	4,4	85,9	86,1	87
24 573	83,15	79,56	0,38	0,509	0,487	0,002	35,4	76,8	84,6	65
25 575	82,44	75,80	0,24	0,520	0,478	0,001	47,2	72,7	86,7	56
26 580	78,64	63,07	0,05	0,554	0,444	0,000	81,2	58,5	100,1	35
27 580	78,64	63,07	0,05	0,554	0,444	0,000	81,2	58,5	100,1	35
28 585	74,48	53,96	0,02	0,579	0,420	0,000	99,5	48,6	110,7	26
29 590R	68,94	44,96	0,00	0,605	0,394	0,000	111,6	39,1	118,3	19
30 592	67,61	42,78	1,14	0,606	0,383	0,010	114,4	35,4	119,8	17
31 694	71,10	42,58	22,52	0,522	0,312	0,165	126,9	8,7	127,2	3
32 702	74,12	42,49	43,40	0,463	0,265	0,271	137,0	−17,0	138,1	352
33 710	75,15	41,96	55,91	0,434	0,242	0,323	141,7	−32,9	145,5	346
34 717	75,05	41,30	61,43	0,422	0,232	0,345	143,1	−40,3	148,7	344
35 726M	74,04	40,08	66,11	0,410	0,222	0,366	143,1	−47,1	150,7	341
36 729	71,14	37,02	66,11	0,408	0,212	0,379	143,0	−50,2	151,5	340
37 744	66,16	33,43	72,64	0,384	0,194	0,421	135,3	−61,2	148,5	335
38 756	51,50	23,94	74,68	0,343	0,159	0,497	111,1	−72,0	132,4	327
39 825	12,38	6,54	76,19	0,130	0,068	0,801	15,8	−86,3	87,8	280
U=D50	**96,46**	**100,00**	**82,22**	**0,346**	**0,358**	**0,358**	**0,0**	**0,0**	**0,0**	**0**

$a=p_{an}=n_a p_a=n_a[(b_{21}-b_{23})x+(b_{22}-b_{23})y+b_{23}]/y=1,4(3,0757x-2,5702y-0,0960)/y$
$b=p_{bn}=n_b p_b=n_b[(b_{31}-b_{33})x+(b_{32}-b_{33})y+b_{33}]/y=+0,5(1,9906x+3,8617y-2,4046)/y$

DG690−3N

CIEF02-Normfarbwerte, Buntwerte und Farbarten (n_a=1,4, n_b=0,5).
Normierte *Ostwald (O)*-Farbwerte (Y_w=100), geordnet nach Wellenlänge.

λ_n	Y	*n*-Farbart p_{an}	p_{bn}	p_{rn}	h_{abn}	*nu*-Farbart p_{anu}	p_{bnu}	p_{rnu}	h_{abnu}
00 386	23,94	4,82	−3,46	5,93	324	4,64	−3,00	5,53	327
01 460	6,54	2,59	−13,66	13,91	280	2,41	−13,21	13,42	280
02 465	9,58	0,57	−9,36	9,37	273	0,39	−8,90	8,90	272
03 467	11,64	−0,18	−7,64	7,64	268	−0,36	−7,18	7,19	267
04 473B	20,43	−1,54	−4,10	4,38	249	−1,72	−3,64	4,03	244
05 475	24,19	−1,75	−3,36	3,79	242	−1,93	−2,90	3,49	236
06 479	36,91	−2,01	−1,98	2,82	224	−2,19	−1,52	2,66	214
07 479	36,91	−2,01	−1,98	2,82	224	−2,19	−1,52	2,66	214
08 481	46,03	−1,97	−1,46	2,45	216	−2,15	−1,00	2,37	205
09 481	46,03	−1,97	−1,46	2,45	216	−2,15	−1,00	2,37	205
10 483C	55,03	−1,84	−1,12	2,15	211	−2,02	−0,66	2,13	198
11 484	57,21	−1,81	−1,03	2,09	209	−1,99	−0,57	2,07	196
12 489	57,41	−2,02	−0,57	2,10	195	−2,20	−0,11	2,20	182
13 497	57,50	−2,19	−0,12	2,20	183	−2,37	0,33	2,40	171
14 505	58,03	−2,25	0,14	2,26	176	−2,43	0,60	2,51	165
15 512	58,69	−2,25	0,26	2,26	173	−2,43	0,72	2,54	163
16 521G	59,91	−2,20	0,36	2,23	170	−2,38	0,82	2,52	160
17 524	62,97	−2,08	0,37	2,11	169	−2,26	0,83	2,41	159
18 539	66,55	−1,84	0,49	1,91	164	−2,02	0,95	2,24	154
19 551	76,05	−1,27	0,51	1,37	157	−1,45	0,97	1,75	146
20 568	93,45	0,01	0,49	0,49	88	−0,16	0,95	0,96	99
21 568	93,45	0,01	0,49	0,49	88	−0,16	0,95	0,96	99
22 569	90,41	0,14	0,51	0,52	74	−0,03	0,96	0,97	92
23 570Y	88,35	0,23	0,51	0,56	65	0,05	0,97	0,97	87
24 573	79,56	0,62	0,50	0,80	38	0,44	0,96	1,06	65
25 575	75,80	0,80	0,49	0,94	31	0,62	0,95	1,14	56
26 580	63,07	1,46	0,46	1,54	17	1,28	0,92	1,58	35
27 580	63,07	1,46	0,46	1,54	17	1,28	0,92	1,58	35
28 585	53,96	2,02	0,44	2,07	12	1,84	0,90	2,05	26
29 590R	44,96	2,66	0,41	2,69	8	2,48	0,87	2,63	19
30 592	42,78	2,85	0,36	2,88	7	2,67	0,82	2,80	17
31 694	42,58	3,16	−0,25	3,17	355	2,98	0,20	2,98	3
32 702	42,49	3,40	−0,86	3,51	345	3,22	−0,40	3,25	352
33 710	41,96	3,55	−1,24	3,77	340	3,37	−0,78	3,46	346
34 717	41,30	3,64	−1,43	3,92	338	3,46	−0,97	3,60	344
35 726M	40,08	3,75	−1,63	4,09	336	3,57	−1,17	3,76	341
36 729	37,02	4,04	−1,81	4,43	335	3,86	−1,35	4,09	340
37 744	33,43	4,22	−2,29	4,81	331	4,04	−1,83	4,44	335
38 756	23,94	4,82	−3,46	5,93	324	4,64	−3,00	5,53	327
39 825	6,54	2,59	−13,66	13,91	280	2,41	−13,21	13,42	280
U=D50	**100,00**	**0,180**	**−0,459**	**0,493**	**291**	**0,0**	**0,0**	**0,0**	**0**

$a=p_{an}=n_a p_a=n_a[(b_{21}-b_{23})x+(b_{22}-b_{23})y+b_{23}]/y=1,4(3,0757x-2,5702y-0,0960)/y$
$b=p_{bn}=n_b p_b=n_b[(b_{31}-b_{33})x+(b_{32}-b_{33})y+b_{33}]/y=+0,5(1,9906x+3,8617y-2,4046)/y$

DG690−4N

CIEF02-Normfarbwerte, Buntwerte und Farbarten (n_a=1,4, n_b=0,5).
Normierte *Ostwald (O)*-Farbwerte (Y_w=100), geordnet nach Bunttonwinkel.

λ_n	Normfarbwerte und -anteile X	Y	Z	x	y	z	*nu*-Buntwerte A_{nu}	B_{nu}	C_{ABnu}	h_{ABnu}
00 592	67,61	42,78	1,14	0,606	0,383	0,010	114,4	35,4	119,8	377
01 694	71,10	42,58	22,52	0,522	0,312	0,165	126,9	8,7	127,2	363
02 702	74,12	42,49	43,40	0,463	0,265	0,271	137,0	−17,0	138,1	352
03 710	75,15	41,96	55,91	0,434	0,242	0,323	141,7	−32,9	145,5	346
04 717	75,05	41,30	61,43	0,422	0,232	0,345	143,1	−40,3	148,7	344
05 726M	74,04	40,08	66,11	0,410	0,222	0,366	143,1	−47,1	150,7	341
06 729	71,14	37,02	66,11	0,408	0,212	0,379	143,0	−50,2	151,5	340
07 744	66,16	33,43	72,64	0,384	0,194	0,421	135,3	−61,2	148,5	335
08 386	51,50	23,94	74,68	0,343	0,159	0,497	111,1	−72,0	132,4	327
09 460	12,38	6,54	76,19	0,130	0,068	0,801	15,8	−86,3	87,8	280
10 465	12,41	9,58	78,25	0,123	0,095	0,780	3,7	−85,2	85,3	272
11 467	12,45	11,64	78,87	0,120	0,113	0,766	−4,2	−83,5	83,6	267
12 473B	13,31	20,43	79,83	0,117	0,179	0,702	−35,1	−74,4	82,3	244
13 475	14,02	24,19	79,97	0,118	0,204	0,676	−46,9	−70,3	84,5	236
14 479	17,82	36,91	80,16	0,132	0,273	0,594	−80,9	−56,2	98,5	214
15 479	17,82	36,91	80,16	0,132	0,273	0,594	−80,9	−56,2	98,5	214
16 481	21,98	46,03	80,19	0,148	0,310	0,541	−99,2	−46,2	109,4	205
17 481	21,98	46,03	80,19	0,148	0,310	0,541	−99,2	−46,2	109,4	205
18 483C	27,52	55,03	80,21	0,169	0,338	0,492	−111,3	−36,7	117,2	198
19 484	28,85	57,21	79,07	0,174	0,346	0,478	−114,1	−33,0	118,8	196
20 489	25,36	57,41	57,70	0,180	0,408	0,410	−126,6	−6,4	126,7	182
21 497	22,33	57,50	36,81	0,191	0,492	0,315	−136,8	19,4	138,1	171
22 505	21,31	58,03	24,30	0,205	0,559	0,234	−141,4	35,3	145,8	165
23 512G	21,41	58,69	18,79	0,216	0,593	0,190	−142,8	42,7	149,1	163
24 521	22,42	59,91	14,10	0,232	0,621	0,146	−142,8	49,5	151,1	160
25 524	25,32	62,97	14,10	0,247	0,615	0,137	−142,6	52,6	152,0	159
26 539	30,29	66,55	7,57	0,290	0,637	0,072	−135,0	63,6	149,3	154
27 551	44,95	76,05	5,53	0,355	0,601	0,043	−110,8	74,3	133,4	146
28 568	84,08	93,45	4,02	0,463	0,514	0,022	−15,4	88,7	90,1	99
29 568	84,08	93,45	4,02	0,463	0,514	0,022	−15,4	88,7	90,1	99
30 569	84,05	90,41	1,96	0,476	0,512	0,011	−3,4	87,6	87,7	92
31 570	84,00	88,35	1,33	0,483	0,508	0,007	4,4	85,9	86,1	87
32 573Y	83,15	79,56	0,38	0,509	0,487	0,002	35,4	76,8	84,6	65
33 575	82,44	75,80	0,24	0,520	0,478	0,001	47,2	72,7	86,7	56
34 580	78,64	63,07	0,05	0,554	0,444	0,000	81,2	58,5	100,1	35
35 580	78,64	63,07	0,05	0,554	0,444	0,000	81,2	58,5	100,1	35
36 585R	74,48	53,96	0,02	0,579	0,420	0,000	99,5	48,6	110,7	26
37 590	68,94	44,96	0,00	0,605	0,394	0,000	111,6	39,1	118,3	19
38 592	67,61	42,78	1,14	0,606	0,383	0,010	114,4	35,4	119,8	17
39 694	71,10	42,58	22,52	0,522	0,312	0,165	126,9	8,7	127,2	3
U=D50	**96,46**	**100,00**	**82,22**	**0,346**	**0,358**	**0,358**	**0,0**	**0,0**	**0,0**	**0**

$a=p_{an}=n_a p_a=n_a[(b_{21}-b_{23})x+(b_{22}-b_{23})y+b_{23}]/y=1,4(3,0757x-2,5702y-0,0960)/y$
$b=p_{bn}=n_b p_b=n_b[(b_{31}-b_{33})x+(b_{32}-b_{33})y+b_{33}]/y=+0,5(1,9906x+3,8617y-2,4046)/y$

DG690−7N

CIEF02-Normfarbwerte, Buntwerte und Farbarten (n_a=1,4, n_b=0,5).
Normierte *Ostwald (O)*-Farbwerte (Y_w=100), geordnet nach Bunttonwinkel.

λ_n	Y	*n*-Farbart p_{an}	p_{bn}	p_{rn}	h_{abn}	*nu*-Farbart p_{anu}	p_{bnu}	p_{rnu}	h_{abnu}
00 592	42,78	2,85	0,36	2,88	367	2,67	0,82	2,80	377
01 694	42,58	3,16	−0,25	3,17	355	2,98	0,20	2,98	363
02 702	42,49	3,40	−0,86	3,51	345	3,22	−0,40	3,25	352
03 710	41,96	3,55	−1,24	3,77	340	3,37	−0,78	3,46	346
04 717	41,30	3,64	−1,43	3,92	338	3,46	−0,97	3,60	344
05 726M	40,08	3,75	−1,63	4,09	336	3,57	−1,17	3,76	341
06 729	37,02	4,04	−1,81	4,43	335	3,86	−1,35	4,09	340
07 744	33,43	4,22	−2,29	4,81	331	4,04	−1,83	4,44	335
08 386	23,94	4,82	−3,46	5,93	324	4,64	−3,00	5,53	327
09 460	6,54	2,59	−13,66	13,91	280	2,41	−13,21	13,42	280
10 465	9,58	0,57	−9,36	9,37	273	0,39	−8,90	8,90	272
11 467	11,64	−0,18	−7,64	7,64	268	−0,36	−7,18	7,19	267
12 473B	20,43	−1,54	−4,10	4,38	249	−1,72	−3,64	4,03	244
13 475	24,19	−1,75	−3,36	3,79	242	−1,93	−2,90	3,49	236
14 479	36,91	−2,01	−1,98	2,82	224	−2,19	−1,52	2,66	214
15 479	36,91	−2,01	−1,98	2,82	224	−2,19	−1,52	2,66	214
16 481	46,03	−1,97	−1,46	2,45	216	−2,15	−1,00	2,37	205
17 481	46,03	−1,97	−1,46	2,45	216	−2,15	−1,00	2,37	205
18 483C	55,03	−1,84	−1,12	2,15	211	−2,02	−0,66	2,13	198
19 484	57,21	−1,81	−1,03	2,09	209	−1,99	−0,57	2,07	196
20 489	57,41	−2,02	−0,57	2,10	195	−2,20	−0,11	2,20	182
21 497	57,50	−2,19	−0,12	2,20	183	−2,37	0,33	2,40	171
22 505	58,03	−2,25	0,14	2,26	176	−2,43	0,60	2,51	165
23 512G	58,69	−2,25	0,26	2,26	173	−2,43	0,72	2,54	163
24 521	59,91	−2,20	0,36	2,23	170	−2,38	0,82	2,52	160
25 524	62,97	−2,08	0,37	2,11	169	−2,26	0,83	2,41	159
26 539	66,55	−1,84	0,49	1,91	164	−2,02	0,95	2,24	154
27 551	76,05	−1,27	0,51	1,37	157	−1,45	0,97	1,75	146
28 568	93,45	0,01	0,49	0,49	88	−0,16	0,95	0,96	99
29 568	93,45	0,01	0,49	0,49	88	−0,16	0,95	0,96	99
30 569	90,41	0,14	0,51	0,52	74	−0,03	0,96	0,97	92
31 570	88,35	0,23	0,51	0,56	65	0,05	0,97	0,97	87
32 573Y	79,56	0,62	0,50	0,80	38	0,44	0,96	1,06	65
33 575	75,80	0,80	0,49	0,94	31	0,62	0,95	1,14	56
34 580	63,07	1,46	0,46	1,54	17	1,28	0,92	1,58	35
35 580	63,07	1,46	0,46	1,54	17	1,28	0,92	1,58	35
36 585R	53,96	2,02	0,44	2,07	12	1,84	0,90	2,05	26
37 590	44,96	2,66	0,41	2,69	8	2,48	0,87	2,63	19
38 592	42,78	2,85	0,36	2,88	7	2,67	0,82	2,80	17
39 694	42,58	3,16	−0,25	3,17	−4	2,98	0,20	2,98	3
U=D50	**100,00**	**0,180**	**−0,459**	**0,493**	**291**	**0,0**	**0,0**	**0,0**	**0**

$a=p_{an}=n_a p_a=n_a[(b_{21}-b_{23})x+(b_{22}-b_{23})y+b_{23}]/y=1,4(3,0757x-2,5702y-0,0960)/y$
$b=p_{bn}=n_b p_b=n_b[(b_{31}-b_{33})x+(b_{32}-b_{33})y+b_{33}]/y=+0,5(1,9906x+3,8617y-2,4046)/y$

DG690−8N

DG690−7R_pchartl=3_xcolorl=2(CIEF02)

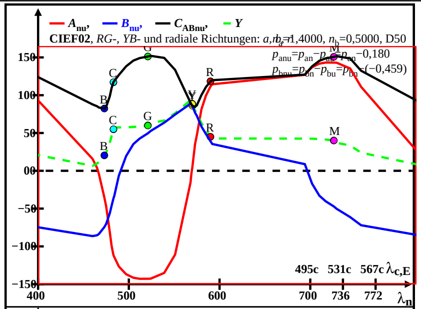

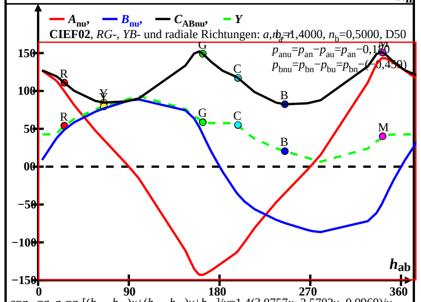

$a=p_{an}=n_a p_a=n_a[(b_{21}-b_{23})x+(b_{22}-b_{23})y+b_{23}]/y=1,4(3,0757x-2,5702y-0,0960)/y$
$b=p_{bn}=n_b p_b=n_b[(b_{31}-b_{33})x+(b_{32}-b_{33})y+b_{33}]/y=+0,5(1,9906x+3,8617y-2,4046)/y$

DG691−3N

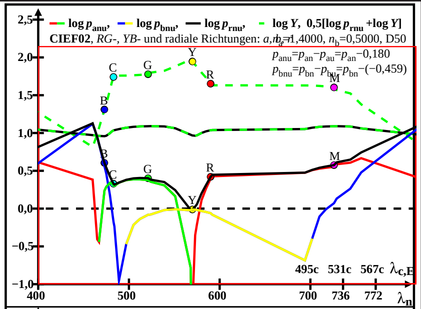

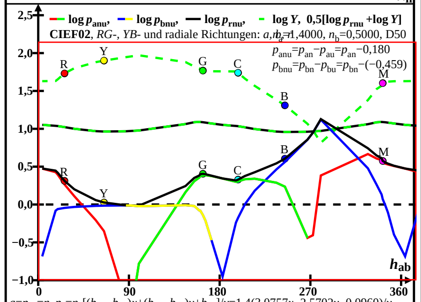

$a=p_{an}=n_a p_a=n_a[(b_{21}-b_{23})x+(b_{22}-b_{23})y+b_{23}]/y=1,4(3,0757x-2,5702y-0,0960)/y$
$b=p_{bn}=n_b p_b=n_b[(b_{31}-b_{33})x+(b_{32}-b_{33})y+b_{33}]/y=+0,5(1,9906x+3,8617y-2,4046)/y$

DG691−4N

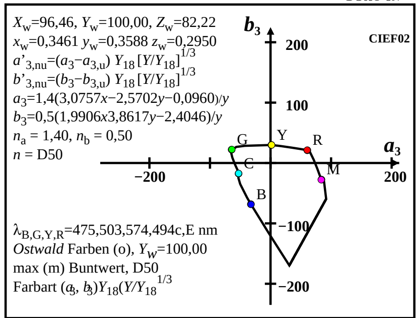

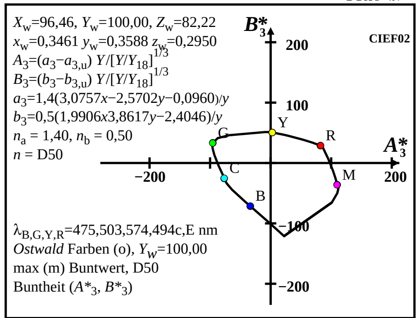

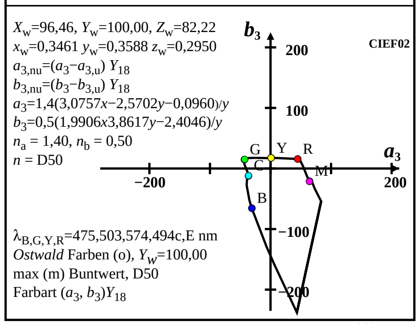

DG691−7N

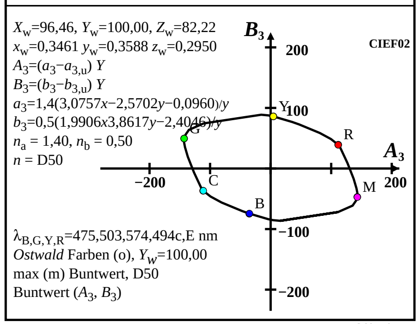

DG691−8N

DG691−7R_pchartl=3_xcolorl=2(CIEF02)

TUB-Registrierung: 20180801-DG69/DG69L0NP.PDF /.PS
Anwendung für Messung von Offsetdruck-Ausgabe

TUB-Material: Code=rha4ta

Siehe ähnliche Dateien: http://farbe.li.tu-berlin.de/DG69/DG69.HTM
Technische Information: http://farbe.li.tu-berlin.de oder http://130.149.60.45/~farbmetrik

TUB-Registrierung: 20180801-DG69/DG69L0NP.PDF /.PS
Anwendung für Messung von Offsetdruck-Ausgabe
TUB-Material: Code=rha4ta

CIEF10-Normfarbwerte, Buntwerte und Farbarten (n_a=1,4, n_b=0,5).
Normierte *Ostwald (O)*-Farbwerte (Y_w=100), geordnet nach Wellenlänge.

	λ_n	Normfarbwerte und -anteile X	Y	Z	x	y	z	*nu*-Buntwerte A_{nu}	B_{nu}	C_{ABnu}	h_{ABnu}
00	380	52,92	25,78	74,65	0,345	0,168	0,486	109,4	−70,4	130,1	327
01	455	13,14	6,61	74,65	0,139	0,070	0,790	18,8	−84,7	86,7	282
02	460	13,28	9,49	77,94	0,131	0,094	0,773	7,6	−85,3	85,6	275
03	462	13,30	11,32	78,97	0,128	0,109	0,762	0,4	−84,4	84,4	270
04	464B	13,34	13,45	79,69	0,125	0,126	0,748	−7,8	−82,7	83,1	264
05	468	13,69	18,67	80,47	0,121	0,165	0,713	−27,0	−77,6	82,2	250
06	471	14,73	25,21	80,80	0,121	0,208	0,669	−48,4	−70,5	85,5	235
07	472	15,63	28,96	80,89	0,124	0,230	0,644	−59,3	−66,4	89,1	228
08	475	18,33	37,06	80,98	0,134	0,271	0,593	−79,9	−57,6	98,5	215
09	477	22,39	45,70	81,01	0,150	0,306	0,543	−96,9	−48,3	108,3	206
10	477C	24,94	50,08	81,01	0,159	0,320	0,519	−103,4	−43,7	112,3	202
11	479	30,58	58,60	78,68	0,182	0,349	0,468	−113,1	−32,1	117,5	195
12	479	29,07	56,38	80,12	0,175	0,340	0,483	−110,8	−36,1	116,6	198
13	484	25,63	56,72	59,32	0,180	0,400	0,418	−123,7	−10,0	124,1	184
14	492	22,37	56,85	36,73	0,192	0,490	0,316	−134,8	17,9	136,0	172
15	503	21,57	57,63	22,95	0,211	0,564	0,224	−139,3	35,6	143,8	165
16	511G	22,30	58,68	17,25	0,227	0,597	0,175	−139,7	43,5	146,3	162
17	521	24,56	60,88	12,62	0,250	0,620	0,128	−138,2	51,2	147,4	159
18	532	29,89	65,12	9,04	0,287	0,625	0,086	−132,2	59,4	145,0	155
19	545	43,82	74,21	6,37	0,352	0,596	0,051	−109,4	70,4	130,1	147
20	563	83,59	93,38	6,37	0,455	0,509	0,034	−18,8	84,6	86,7	102
21	564	83,45	90,50	3,08	0,471	0,511	0,017	−7,6	85,3	85,6	95
22	565	83,43	88,67	2,06	0,479	0,509	0,011	−0,4	84,3	84,3	90
23	566Y	83,39	86,54	1,34	0,486	0,505	0,007	7,8	82,7	83,1	84
24	568	83,04	81,32	0,56	0,503	0,493	0,003	27,0	77,6	82,2	70
25	571	82,00	74,78	0,23	0,522	0,476	0,001	48,4	70,5	85,5	55
26	573	81,10	71,03	0,14	0,532	0,466	0,000	59,3	66,4	89,1	48
27	577	78,40	62,93	0,05	0,554	0,445	0,000	79,9	57,6	98,5	35
28	581	74,33	54,29	0,02	0,577	0,421	0,000	96,9	48,3	108,3	26
29	584R	71,79	49,91	0,01	0,589	0,410	0,000	103,4	43,7	112,3	22
30	591	66,15	41,39	2,33	0,602	0,376	0,021	113,1	32,1	117,5	15
31	588	67,67	43,61	0,91	0,603	0,388	0,008	110,9	36,1	116,6	18
32	689	71,10	43,27	21,71	0,522	0,317	0,159	123,7	9,9	124,1	4
33	697	74,36	43,14	44,30	0,459	0,266	0,273	134,8	−17,9	136,0	352
34	708	75,16	42,36	58,08	0,428	0,241	0,330	139,3	−35,6	143,8	345
35	716M	74,43	41,31	63,78	0,414	0,230	0,355	139,7	−43,5	146,3	342
36	726	72,17	39,11	68,41	0,401	0,217	0,380	138,2	−51,2	147,4	339
37	737	66,83	34,86	71,99	0,384	0,200	0,414	132,2	−59,4	145,0	335
38	750	52,92	25,78	74,65	0,345	0,168	0,486	109,4	−70,4	130,1	327
39	820	13,14	6,61	74,65	0,139	0,070	0,790	18,8	−84,7	86,7	282
U=D50		**96,74**	**100,00**	**81,03**	**0,348**	**0,360**	**0,360**	**0,0**	**0,0**	**0,0**	**0**

$a=p_{anu}=n_a p_a=n_a[(b_{21}-b_{23})x+(b_{22}-b_{23})y+b_{23}]/y=1{,}4(3{,}0757x-2{,}5702y-0{,}0960)/y$
$b=p_{bnu}=n_b p_b=n_b[(b_{31}-b_{33})x+(b_{32}-b_{33})y+b_{33}]/y=+0{,}5(1{,}9906x+3{,}8617y-2{,}4046)/y$

DG690−3N

CIEF10-Normfarbwerte, Buntwerte und Farbarten (n_a=1,4, n_b=0,5).
Normierte *Ostwald (O)*-Farbwerte (Y_w=100), geordnet nach Wellenlänge.

	λ_n	*n*-Farbart Y	p_{an}	p_{bn}	p_{rn}	h_{abn}	*nu*-Farbart p_{anu}	p_{bnu}	p_{rnu}	h_{abnu}
00	380	25,78	4,44	−3,17	5,46	324	4,24	−2,73	5,05	327
01	455	6,61	3,04	−13,26	13,60	282	2,84	−12,81	13,12	282
02	460	9,49	1,00	−9,43	9,48	276	0,80	−8,99	9,02	275
03	462	11,32	0,23	−7,90	7,90	271	0,03	−7,45	7,45	270
04	464B	13,45	−0,39	−6,60	6,61	266	−0,58	−6,15	6,18	264
05	468	18,67	−1,25	−4,60	4,77	254	−1,44	−4,15	4,40	250
06	471	25,21	−1,72	−3,24	3,67	241	−1,91	−2,80	3,39	235
07	472	28,96	−1,85	−2,74	3,31	235	−2,05	−2,29	3,07	228
08	475	37,06	−1,96	−2,00	2,80	225	−2,15	−1,55	2,65	215
09	477	45,70	−1,92	−1,50	2,44	217	−2,12	−1,05	2,37	206
10	477C	50,08	−1,87	−1,31	2,29	215	−2,06	−0,87	2,24	202
11	479	58,60	−1,73	−0,99	2,00	209	−1,93	−0,54	2,00	195
12	479	56,38	−1,77	−1,08	2,07	211	−1,96	−0,64	2,06	198
13	484	56,72	−1,98	−0,62	2,08	197	−2,18	−0,17	2,18	184
14	492	56,85	−2,17	−0,12	2,18	183	−2,37	0,31	2,39	172
15	503	57,63	−2,22	0,17	2,23	175	−2,41	0,61	2,49	165
16	511G	58,68	−2,18	0,29	2,20	172	−2,38	0,74	2,49	162
17	521	60,88	−2,07	0,39	2,11	169	−2,27	0,84	2,42	159
18	532	65,12	−1,83	0,46	1,89	165	−2,03	0,91	2,22	155
19	545	74,21	−1,28	0,50	1,37	158	−1,47	0,94	1,75	147
20	563	93,38	−0,00	0,46	0,46	90	−0,20	0,90	0,92	102
21	564	90,50	0,10	0,49	0,50	77	−0,08	0,94	0,94	95
22	565	88,67	0,18	0,50	0,54	69	−0,00	0,95	0,95	90
23	566Y	86,54	0,28	0,51	0,58	60	0,09	0,95	0,96	84
24	568	81,32	0,52	0,50	0,73	44	0,33	0,95	1,01	70
25	571	74,78	0,84	0,49	0,97	30	0,64	0,94	1,14	55
26	573	71,03	1,03	0,48	1,14	25	0,83	0,93	1,25	48
27	577	62,93	1,46	0,46	1,53	17	1,27	0,91	1,56	35
28	581	54,29	1,97	0,44	2,02	12	1,78	0,89	1,99	26
29	584R	49,91	2,26	0,43	2,30	10	2,07	0,87	2,25	22
30	591	41,39	2,92	0,32	2,94	6	2,73	0,77	2,84	15
31	588	43,61	2,73	0,38	2,76	7	2,54	0,82	2,67	18
32	689	43,27	3,05	−0,21	3,06	355	2,86	0,23	2,86	4
33	697	43,14	3,31	−0,86	3,43	345	3,12	−0,41	3,15	352
34	708	42,36	3,48	−1,28	3,71	339	3,29	−0,84	3,39	345
35	716M	41,31	3,57	−1,50	3,87	337	3,38	−1,05	3,54	342
36	726	39,11	3,73	−1,75	4,12	334	3,53	−1,31	3,77	339
37	737	34,86	3,98	−2,15	4,53	331	3,79	−1,70	4,15	335
38	750	25,78	4,44	−3,17	5,46	324	4,24	−2,73	5,05	327
39	820	6,61	3,04	−13,26	13,60	282	2,84	−12,81	13,12	282
U=D50		**100,00**	**0,193**	**−0,445**	**0,486**	**293**	**0,0**	**0,0**	**0,0**	**0**

$a=p_{anu}=n_a p_a=n_a[(b_{21}-b_{23})x+(b_{22}-b_{23})y+b_{23}]/y=1{,}4(3{,}0757x-2{,}5702y-0{,}0960)/y$
$b=p_{bnu}=n_b p_b=n_b[(b_{31}-b_{33})x+(b_{32}-b_{33})y+b_{33}]/y=+0{,}5(1{,}9906x+3{,}8617y-2{,}4046)/y$

DG690−4N

CIEF10-Normfarbwerte, Buntwerte und Farbarten (n_a=1,4, n_b=0,5).
Normierte *Ostwald (O)*-Farbwerte (Y_w=100), geordnet nach Buntton winkel.

	λ_n	Normfarbwerte und -anteile X	Y	Z	x	y	z	*nu*-Buntwerte A_{nu}	B_{nu}	C_{ABnu}	h_{ABnu}
00	588	67,67	43,61	0,91	0,603	0,388	0,008	110,9	36,1	116,6	378
01	689	71,10	43,27	21,71	0,522	0,317	0,159	123,7	9,9	124,1	364
02	697	74,36	43,14	44,30	0,459	0,266	0,273	134,8	−17,9	136,0	352
03	708	75,16	42,36	58,08	0,428	0,241	0,330	139,3	−35,6	143,8	345
04	716	74,43	41,31	63,78	0,414	0,230	0,355	139,7	−43,5	146,3	342
05	726M	72,17	39,11	68,41	0,401	0,217	0,380	138,2	−51,2	147,4	339
06	737	66,83	34,86	71,99	0,384	0,200	0,414	132,2	−59,4	145,0	335
07	380	52,92	25,78	74,65	0,345	0,168	0,486	109,4	−70,4	130,1	327
08	455	13,14	6,61	74,65	0,139	0,070	0,790	18,8	−84,7	86,7	282
09	460	13,28	9,49	77,94	0,131	0,094	0,773	7,6	−85,3	85,6	275
10	462	13,30	11,32	78,97	0,128	0,109	0,762	0,4	−84,4	84,4	270
11	464	13,34	13,45	79,69	0,125	0,126	0,748	−7,8	−82,7	83,1	264
12	468B	13,69	18,67	80,47	0,121	0,165	0,713	−27,0	−77,6	82,2	250
13	471	14,73	25,21	80,80	0,121	0,208	0,669	−48,4	−70,5	85,5	235
14	472	15,63	28,96	80,89	0,124	0,230	0,644	−59,3	−66,4	89,1	228
15	475	18,33	37,06	80,98	0,134	0,271	0,593	−79,9	−57,6	98,5	215
16	477	22,39	45,70	81,01	0,150	0,306	0,543	−96,9	−48,3	108,3	206
17	477	24,94	50,08	81,01	0,159	0,320	0,519	−103,4	−43,7	112,3	202
18	479C	30,58	58,60	78,68	0,182	0,349	0,468	−113,1	−32,1	117,5	195
19	479	29,07	56,38	80,12	0,175	0,340	0,483	−110,8	−36,1	116,6	198
20	484	25,63	56,72	59,32	0,180	0,400	0,418	−123,7	−10,0	124,1	184
21	492	22,37	56,85	36,73	0,192	0,490	0,316	−134,8	17,9	136,0	172
22	503	21,57	57,63	22,95	0,211	0,564	0,224	−139,3	35,6	143,8	165
23	511G	22,30	58,68	17,25	0,227	0,597	0,175	−139,7	43,5	146,3	162
24	521	24,56	60,88	12,62	0,250	0,620	0,128	−138,2	51,2	147,4	159
25	532	29,89	65,12	9,04	0,287	0,625	0,086	−132,2	59,4	145,0	155
26	545	43,82	74,21	6,37	0,352	0,596	0,051	−109,4	70,4	130,1	147
27	563	83,59	93,38	6,37	0,455	0,509	0,034	−18,8	84,6	86,7	102
28	564	83,45	90,50	3,08	0,471	0,511	0,017	−7,6	85,3	85,6	95
29	565	83,43	88,67	2,06	0,479	0,509	0,011	−0,4	84,3	84,3	90
30	566	83,39	86,54	1,34	0,486	0,505	0,007	7,8	82,7	83,1	84
31	568	83,04	81,32	0,56	0,503	0,493	0,003	27,0	77,6	82,2	70
32	571Y	82,00	74,78	0,23	0,522	0,476	0,001	48,4	70,5	85,5	55
33	573	81,10	71,03	0,14	0,532	0,466	0,000	59,3	66,4	89,1	48
34	577	78,40	62,93	0,05	0,554	0,445	0,000	79,9	57,6	98,5	35
35	581	74,33	54,29	0,02	0,577	0,421	0,000	96,9	48,3	108,3	26
36	584R	71,79	49,91	0,01	0,589	0,410	0,000	103,4	43,7	112,3	22
37	591	66,15	41,39	2,33	0,602	0,376	0,021	113,1	32,1	117,5	15
38	588	67,67	43,61	0,91	0,603	0,388	0,008	110,9	36,1	116,6	18
39	689	71,10	43,27	21,71	0,522	0,317	0,159	123,7	9,9	124,1	4
U=D50		**96,74**	**100,00**	**81,03**	**0,348**	**0,360**	**0,360**	**0,0**	**0,0**	**0,0**	**0**

$a=p_{anu}=n_a p_a=n_a[(b_{21}-b_{23})x+(b_{22}-b_{23})y+b_{23}]/y=1{,}4(3{,}0757x-2{,}5702y-0{,}0960)/y$
$b=p_{bnu}=n_b p_b=n_b[(b_{31}-b_{33})x+(b_{32}-b_{33})y+b_{33}]/y=+0{,}5(1{,}9906x+3{,}8617y-2{,}4046)/y$

DG690−7N

CIEF10-Normfarbwerte, Buntwerte und Farbarten (n_a=1,4, n_b=0,5).
Normierte *Ostwald (O)*-Farbwerte (Y_w=100), geordnet nach Buntton winkel.

	λ_n	*n*-Farbart Y	p_{an}	p_{bn}	p_{rn}	h_{abn}	*nu*-Farbart p_{anu}	p_{bnu}	p_{rnu}	h_{abnu}
00	588	43,61	2,73	0,38	2,76	367	2,54	0,82	2,67	378
01	689	43,27	3,05	−0,21	3,06	355	2,86	0,23	2,86	364
02	697	43,14	3,31	−0,86	3,43	345	3,12	−0,41	3,15	352
03	708	42,36	3,48	−1,28	3,71	339	3,29	−0,84	3,39	345
04	716	41,31	3,57	−1,50	3,87	337	3,38	−1,05	3,54	342
05	726M	39,11	3,73	−1,75	4,12	334	3,53	−1,31	3,77	339
06	737	34,86	3,98	−2,15	4,53	331	3,79	−1,70	4,15	335
07	380	25,78	4,44	−3,17	5,46	324	4,24	−2,73	5,05	327
08	455	6,61	3,04	−13,26	13,60	282	2,84	−12,81	13,12	282
09	460	9,49	1,00	−9,43	9,48	276	0,80	−8,99	9,02	275
10	462	11,32	0,23	−7,90	7,90	271	0,03	−7,45	7,45	270
11	464	13,45	−0,39	−6,60	6,61	266	−0,58	−6,15	6,18	264
12	468B	18,67	−1,25	−4,60	4,77	254	−1,44	−4,15	4,40	250
13	471	25,21	−1,72	−3,24	3,67	241	−1,91	−2,80	3,39	235
14	472	28,96	−1,85	−2,74	3,31	235	−2,05	−2,29	3,07	228
15	475	37,06	−1,96	−2,00	2,80	225	−2,15	−1,55	2,65	215
16	477	45,70	−1,92	−1,50	2,44	217	−2,12	−1,05	2,37	206
17	477	50,08	−1,87	−1,31	2,29	215	−2,06	−0,87	2,24	202
18	479C	58,60	−1,73	−0,99	2,00	209	−1,93	−0,54	2,00	195
19	479	56,38	−1,77	−1,08	2,07	211	−1,96	−0,64	2,06	198
20	484	56,72	−1,98	−0,62	2,08	197	−2,18	−0,17	2,18	184
21	492	56,85	−2,17	−0,12	2,18	183	−2,37	0,31	2,39	172
22	503	57,63	−2,22	0,17	2,23	175	−2,41	0,61	2,49	165
23	511G	58,68	−2,18	0,29	2,20	172	−2,38	0,74	2,49	162
24	521	60,88	−2,07	0,39	2,11	169	−2,27	0,84	2,42	159
25	532	65,12	−1,83	0,46	1,89	165	−2,03	0,91	2,22	155
26	545	74,21	−1,28	0,50	1,37	158	−1,47	0,94	1,75	147
27	563	93,38	−0,00	0,46	0,46	90	−0,20	0,90	0,92	102
28	564	90,50	0,10	0,49	0,50	77	−0,08	0,94	0,94	95
29	565	88,67	0,18	0,50	0,54	69	−0,00	0,95	0,95	90
30	566	86,54	0,28	0,51	0,58	60	0,09	0,95	0,96	84
31	568	81,32	0,52	0,50	0,73	44	0,33	0,95	1,01	70
32	571Y	74,78	0,84	0,49	0,97	30	0,64	0,94	1,14	55
33	573	71,03	1,03	0,48	1,14	25	0,83	0,93	1,25	48
34	577	62,93	1,46	0,46	1,53	17	1,27	0,91	1,56	35
35	581	54,29	1,97	0,44	2,02	12	1,78	0,89	1,99	26
36	584R	49,91	2,26	0,43	2,30	10	2,07	0,87	2,25	22
37	591	41,39	2,92	0,32	2,94	6	2,73	0,77	2,84	15
38	588	43,61	2,73	0,38	2,76	7	2,54	0,82	2,67	18
39	689	43,27	3,05	−0,21	3,06	−4	2,86	0,23	2,86	4
U=D50		**100,00**	**0,193**	**−0,445**	**0,486**	**293**	**0,0**	**0,0**	**0,0**	**0**

$a=p_{anu}=n_a p_a=n_a[(b_{21}-b_{23})x+(b_{22}-b_{23})y+b_{23}]/y=1{,}4(3{,}0757x-2{,}5702y-0{,}0960)/y$
$b=p_{bnu}=n_b p_b=n_b[(b_{31}-b_{33})x+(b_{32}-b_{33})y+b_{33}]/y=+0{,}5(1{,}9906x+3{,}8617y-2{,}4046)/y$

DG690−8N

DG690−7R_pchartl=3_xcolorl=3(CIEF10)

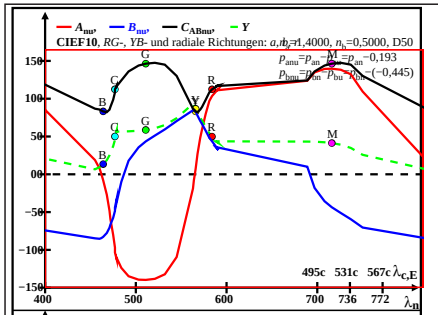

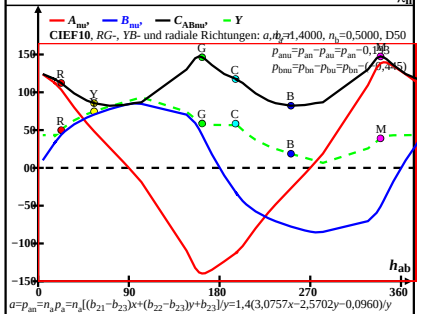

$a=p_{anu}=n_a p_a=n_a[(b_{21}-b_{23})x+(b_{22}-b_{23})y+b_{23}]/y=1{,}4(3{,}0757x-2{,}5702y-0{,}0960)/y$
$b=p_{bnu}=n_b p_b=n_b[(b_{31}-b_{33})x+(b_{32}-b_{33})y+b_{33}]/y=+0{,}5(1{,}9906x+3{,}8617y-2{,}4046)/y$

DG691−3N

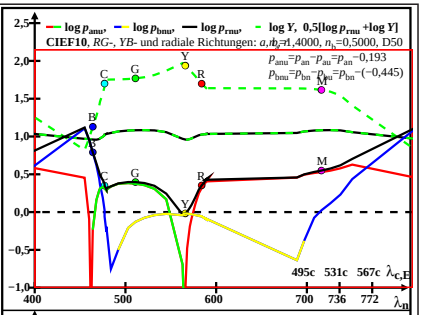

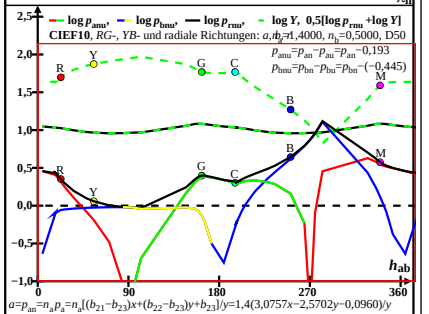

$a=p_{anu}=n_a p_a=n_a[(b_{21}-b_{23})x+(b_{22}-b_{23})y+b_{23}]/y=1{,}4(3{,}0757x-2{,}5702y-0{,}0960)/y$
$b=p_{bnu}=n_b p_b=n_b[(b_{31}-b_{33})x+(b_{32}-b_{33})y+b_{33}]/y=+0{,}5(1{,}9906x+3{,}8617y-2{,}4046)/y$

DG691−4N

X_w=96,74, Y_w=100,00, Z_w=81,03
x_w=0,3482 y_w=0,3600 z_w=0,2917
$a'_{3,nu}=(a_3-a_{3,u})\ Y_{18}\,[Y/Y_{18}]^{1/3}$
$b'_{3,nu}=(b_3-b_{3,u})\ Y_{18}\,[Y/Y_{18}]^{1/3}$
a_3=1,4(3,0757x−2,5702y−0,0960)/y
b_3=0,5(1,9906x3,8617y−2,4046)/y
n_a = 1,40, n_b = 0,50
n = D50

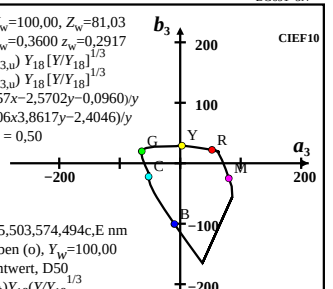

$\lambda_{B,G,Y,R}$=475,503,574,494c,E nm
Ostwald Farben (o), Y_w=100,00
max (m) Buntwert, D50
Farbart (a_3, b_3)$Y_{18}(Y/Y_{18}^{1/3}$

X_w=96,74, Y_w=100,00, Z_w=81,03
x_w=0,3482 y_w=0,3600 z_w=0,2917
$a_{3,nu}=(a_3-a_{3,u})\ Y_{18}$
$b_{3,nu}=(b_3-b_{3,u})\ Y_{18}$
a_3=1,4(3,0757x−2,5702y−0,0960)/y
b_3=0,5(1,9906x3,8617y−2,4046)/y
n_a = 1,40, n_b = 0,50
n = D50

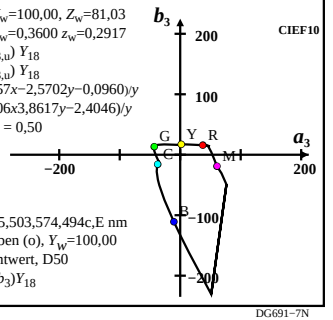

$\lambda_{B,G,Y,R}$=475,503,574,494c,E nm
Ostwald Farben (o), Y_w=100,00
max (m) Buntwert, D50
Farbart (a_3, b_3)Y_{18}

DG691−7N

X_w=96,74, Y_w=100,00, Z_w=81,03
x_w=0,3482 y_w=0,3600 z_w=0,2917
$A_3=(a_3-a_{3,u})\ Y/[Y/Y_{18}]^{1/3}$
$B_3=(b_3-b_{3,u})\ Y/[Y/Y_{18}]^{1/3}$
a_3=1,4(3,0757x−2,5702y−0,0960)/y
b_3=0,5(1,9906x3,8617y−2,4046)/y
n_a = 1,40, n_b = 0,50
n = D50

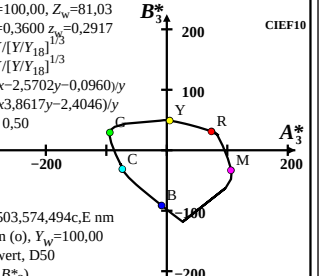

$\lambda_{B,G,Y,R}$=475,503,574,494c,E nm
Ostwald Farben (o), Y_w=100,00
max (m) Buntwert, D50
Buntheit (A^*_3, B^*_3)

X_w=96,74, Y_w=100,00, Z_w=81,03
x_w=0,3482 y_w=0,3600 z_w=0,2917
$A_3=(a_3-a_{3,u})\ Y$
$B_3=(b_3-b_{3,u})\ Y$
a_3=1,4(3,0757x−2,5702y−0,0960)/y
b_3=0,5(1,9906x3,8617y−2,4046)/y
n_a = 1,40, n_b = 0,50
n = D50

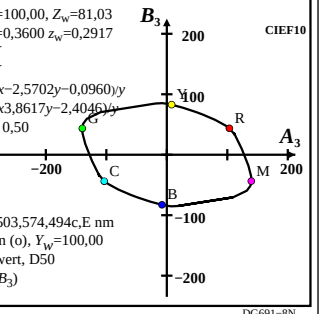

$\lambda_{B,G,Y,R}$=475,503,574,494c,E nm
Ostwald Farben (o), Y_w=100,00
max (m) Buntwert, D50
Buntwert (A_3, B_3)

DG691−8N

DG691−7R_pchartl=3_xcolorl=3(CIEF10)

R17M-Normfarbwerte, Buntwerte und Farbarten (n_a=1,4, n_b=0,5).
Normierte *Ostwald (O)*-Farbwerte (Y_w=100), geordnet nach Wellenlänge.

		Normfarbwerte und -anteile						*nu*-Buntwerte			
	λ_n	X	Y	Z	x	y	z	A_{nu}	B_{nu}	C_{ABnu}	h_{ABnu}
00	373	50,84	23,58	64,46	0,366	0,169	0,464	113,4	−60,5	128,6	331
01	450	26,22	10,37	70,14	0,245	0,097	0,657	60,4	−77,6	98,3	307
02	463	19,81	9,03	72,37	0,195	0,089	0,715	38,4	−80,5	89,3	295
03	465	19,87	11,18	74,25	0,188	0,106	0,705	30,2	−80,3	85,8	290
04	470B	20,04	16,46	77,00	0,176	0,145	0,678	10,4	−77,5	78,2	277
05	474	20,76	23,15	78,71	0,169	0,188	0,641	−12,2	−71,9	72,9	260
06	477	22,69	31,32	79,75	0,169	0,234	0,596	−35,5	−64,0	73,2	240
07	479	24,27	35,77	80,07	0,173	0,255	0,571	−45,9	−59,5	75,2	232
08	481	28,86	45,22	80,48	0,186	0,292	0,520	−62,8	−49,9	80,3	218
09	482	30,21	48,30	79,14	0,191	0,306	0,501	−68,8	−45,0	82,2	213
10	487C	26,13	48,90	65,44	0,186	0,348	0,465	−86,2	−27,0	90,4	197
11	496	20,48	50,06	44,06	0,178	0,436	0,384	−111,4	1,1	111,4	179
12	500	20,60	52,31	38,55	0,184	0,469	0,345	−118,7	10,4	119,2	174
13	509	19,40	53,50	28,42	0,191	0,528	0,280	−126,9	24,2	129,2	169
14	511	21,83	56,54	28,46	0,204	0,529	0,266	−128,3	27,2	131,2	168
15	518	24,65	60,36	24,01	0,226	0,553	0,220	−130,6	36,4	135,5	164
16	530G	29,99	65,40	16,35	0,268	0,585	0,146	−126,5	50,4	136,1	158
17	538	43,18	76,41	16,37	0,317	0,562	0,120	−113,4	60,5	128,6	151
18	553	67,80	89,62	10,69	0,403	0,533	0,063	−60,4	77,6	98,3	127
19	557	74,22	90,96	8,45	0,427	0,523	0,048	−38,4	80,5	89,2	115
20	558	74,15	88,81	6,58	0,437	0,523	0,038	−30,2	80,3	85,8	110
21	561	73,98	83,52	3,84	0,458	0,517	0,023	−10,4	77,4	78,1	97
22	565	73,26	76,83	2,11	0,481	0,504	0,013	12,3	71,9	72,9	80
23	570Y	71,33	68,67	1,09	0,505	0,486	0,007	35,5	64,0	73,2	60
24	572	69,75	64,22	0,76	0,517	0,476	0,005	45,9	59,5	75,2	52
25	578	65,16	54,77	0,35	0,541	0,455	0,002	62,8	49,9	80,3	38
26	581	63,81	51,69	1,69	0,544	0,441	0,014	68,8	45,0	82,2	33
27	600	67,89	51,09	15,38	0,505	0,380	0,114	86,2	27,0	90,4	17
28	705	73,42	47,68	42,28	0,449	0,291	0,258	118,7	−10,4	119,2	354
29	714R	74,62	46,49	52,41	0,430	0,267	0,302	126,9	−24,2	129,2	349
30	716	72,19	43,45	52,37	0,429	0,258	0,311	128,3	−27,2	131,2	348
31	723	69,37	39,63	56,82	0,418	0,238	0,342	130,6	−36,4	135,5	344
32	735	64,03	34,59	64,49	0,392	0,212	0,395	126,5	−50,4	136,2	338
33	743	50,84	23,58	64,46	0,366	0,169	0,464	113,4	−60,5	128,6	331
34	815	26,22	10,37	70,14	0,245	0,097	0,657	60,4	−77,6	98,3	307
U=D50		**94,03**	**100,00**	**80,83**	**0,342**	**0,363**	**0,363**	**0,0**	**0,0**	**0,0**	**0**

$a=p_{anu}=n_a p_a=n_a[(b_{21}-b_{23})x+(b_{22}-b_{23})y+b_{23}]/y=1{,}4(3{,}0757x-2{,}5702y-0{,}0960)/y$
$b=p_{bnu}=n_b p_b=n_b[(b_{31}-b_{33})x+(b_{32}-b_{33})y+b_{33}]/y=+0{,}5(1{,}9906x+3{,}8617y-2{,}4046)/y$

DG690−3N

R17M-Normfarbwerte, Buntwerte und Farbarten (n_a=1,4, n_b=0,5).
Normierte *Ostwald (O)*-Farbwerte (Y_w=100), geordnet nach Wellenlänge.

		n-Farbart					*nu*-Farbart			
	λ_n	Y	p_{an}	p_{bn}	p_{rn}	h_{abn}	p_{anu}	p_{bnu}	p_{rnu}	h_{abnu}
00	373	23,58	4,89	−3,00	5,74	328	4,81	−2,56	5,45	331
01	450	10,37	5,90	−7,92	9,88	306	5,82	−7,48	9,48	307
02	463	9,03	4,34	−9,36	10,32	294	4,26	−8,92	9,88	295
03	465	11,18	2,78	−7,62	8,11	290	2,70	−7,18	7,67	290
04	470B	16,46	0,71	−5,14	5,19	277	0,63	−4,70	4,74	277
05	474	23,15	−0,44	−3,54	3,57	262	−0,52	−3,10	3,15	260
06	477	31,32	−1,05	−2,48	2,69	247	−1,13	−2,04	2,33	240
07	479	35,77	−1,20	−2,10	2,42	240	−1,28	−1,66	2,10	232
08	481	45,22	−1,30	−1,54	2,02	229	−1,39	−1,10	1,77	218
09	482	48,30	−1,34	−1,37	1,91	225	−1,42	−0,93	1,70	213
10	487C	48,90	−1,68	−0,99	1,95	210	−1,76	−0,55	1,84	197
11	496	50,06	−2,14	−0,41	2,18	190	−2,22	0,02	2,22	179
12	500	52,31	−2,18	−0,23	2,20	186	−2,27	0,19	2,27	174
13	509	53,50	−2,29	0,01	2,29	179	−2,37	0,45	2,41	169
14	511	56,54	−2,18	0,04	2,19	178	−2,27	0,48	2,32	168
15	518	60,36	−2,08	0,16	2,08	175	−2,16	0,60	2,24	164
16	530G	65,40	−1,85	0,33	1,88	169	−1,93	0,77	2,08	158
17	538	76,41	−1,40	0,35	1,44	165	−1,48	0,79	1,68	151
18	553	89,62	−0,59	0,42	0,73	144	−0,67	0,86	1,09	127
19	557	90,96	−0,34	0,44	0,56	127	−0,42	0,88	0,98	115
20	558	88,81	−0,25	0,46	0,53	119	−0,34	0,90	0,96	110
21	561	83,52	−0,04	0,48	0,49	95	−0,12	0,92	0,93	97
22	565	76,83	0,24	0,49	0,55	64	0,16	0,93	0,94	80
23	570Y	68,67	0,59	0,49	0,77	39	0,51	0,93	1,06	60
24	572	64,22	0,79	0,48	0,93	31	0,71	0,92	1,17	52
25	578	54,77	1,22	0,47	1,31	21	1,14	0,91	1,46	38
26	581	51,69	1,41	0,43	1,47	17	1,33	0,87	1,59	33
27	600	51,09	1,77	0,09	1,77	2	1,68	0,52	1,77	17
28	705	47,68	2,57	−0,65	2,65	345	2,49	−0,21	2,50	354
29	714R	46,49	2,81	−0,95	2,97	341	2,73	−0,52	2,77	349
30	716	43,45	3,03	−1,06	3,21	340	2,95	−0,62	3,02	348
31	723	39,63	3,37	−1,35	3,63	338	3,29	−0,91	3,42	344
32	735	34,59	3,73	−1,89	4,19	333	3,65	−1,45	3,93	338
33	743	23,58	4,89	−3,00	5,74	328	4,81	−2,56	5,45	331
34	815	10,37	5,90	−7,92	9,88	306	5,82	−7,48	9,48	307
U=D50		**100,00**	**0,081**	**−0,437**	**0,445**	**280**	**0,0**	**0,0**	**0,0**	**0**

$a=p_{anu}=n_a p_a=n_a[(b_{21}-b_{23})x+(b_{22}-b_{23})y+b_{23}]/y=1{,}4(3{,}0757x-2{,}5702y-0{,}0960)/y$
$b=p_{bnu}=n_b p_b=n_b[(b_{31}-b_{33})x+(b_{32}-b_{33})y+b_{33}]/y=+0{,}5(1{,}9906x+3{,}8617y-2{,}4046)/y$

DG690−4N

R17M-Normfarbwerte, Buntwerte und Farbarten (n_a=1,4, n_b=0,5).
Normierte *Ostwald (O)*-Farbwerte (Y_w=100), geordnet nach Buntton winkel.

		Normfarbwerte und -anteile						*nu*-Buntwerte			
	λ_n	X	Y	Z	x	y	z	A_{nu}	B_{nu}	C_{ABnu}	h_{ABnu}
00	600	67,89	51,09	15,38	0,505	0,380	0,114	86,2	27,0	90,4	377
01	705	73,42	47,68	42,28	0,449	0,291	0,258	118,7	−10,4	119,2	354
02	714	74,62	46,49	52,41	0,430	0,267	0,302	126,9	−24,2	129,2	349
03	716	72,19	43,45	52,37	0,429	0,258	0,311	128,3	−27,2	131,2	348
04	723	69,37	39,63	56,82	0,418	0,238	0,342	130,6	−36,4	135,5	344
05	735M	64,03	34,59	64,49	0,392	0,212	0,395	126,5	−50,4	136,2	338
06	373	50,84	23,58	64,46	0,366	0,169	0,464	113,4	−60,5	128,6	331
07	450	26,22	10,37	70,14	0,245	0,097	0,657	60,4	−77,6	98,3	307
08	463	19,81	9,03	72,37	0,195	0,089	0,715	38,4	−80,5	89,3	295
09	465	19,87	11,18	74,25	0,188	0,106	0,705	30,2	−80,3	85,8	290
10	470	20,04	16,46	77,00	0,176	0,145	0,678	10,4	−77,5	78,2	277
11	474	20,76	23,15	78,71	0,169	0,188	0,641	−12,2	−71,9	72,9	260
12	477B	22,69	31,32	79,75	0,169	0,234	0,596	−35,5	−64,0	73,2	240
13	479	24,27	35,77	80,07	0,173	0,255	0,571	−45,9	−59,5	75,2	232
14	481	28,86	45,22	80,48	0,186	0,292	0,520	−62,8	−49,9	80,3	218
15	482	30,21	48,30	79,14	0,191	0,306	0,501	−68,8	−45,0	82,2	213
16	487	26,13	48,90	65,44	0,186	0,348	0,465	−86,2	−27,0	90,4	197
17	496	20,48	50,06	44,06	0,178	0,436	0,384	−111,4	1,1	111,4	179
18	500C	20,60	52,31	38,55	0,184	0,469	0,345	−118,7	10,4	119,2	174
19	509	19,40	53,50	28,42	0,191	0,528	0,280	−126,9	24,2	129,2	169
20	511	21,83	56,54	28,46	0,204	0,529	0,266	−128,3	27,2	131,2	168
21	518	24,65	60,36	24,01	0,226	0,553	0,220	−130,6	36,4	135,5	164
22	530	29,99	65,40	16,35	0,268	0,585	0,146	−126,5	50,4	136,1	158
23	538G	43,18	76,41	16,37	0,317	0,562	0,120	−113,4	60,5	128,6	151
24	553	67,80	89,62	10,69	0,403	0,533	0,063	−60,4	77,6	98,3	127
25	557	74,22	90,96	8,45	0,427	0,523	0,048	−38,4	80,5	89,2	115
26	558	74,15	88,81	6,58	0,437	0,523	0,038	−30,2	80,3	85,8	110
27	561	73,98	83,52	3,84	0,458	0,517	0,023	−10,4	77,4	78,1	97
28	565	73,26	76,83	2,11	0,481	0,504	0,013	12,3	71,9	72,9	80
29	570	71,33	68,67	1,09	0,505	0,486	0,007	35,5	64,0	73,2	60
30	572	69,75	64,22	0,76	0,517	0,476	0,005	45,9	59,5	75,2	52
31	578	65,16	54,77	0,35	0,541	0,455	0,002	62,8	49,9	80,3	38
32	581Y	63,81	51,69	1,69	0,544	0,441	0,014	68,8	45,0	82,2	33
33	600	67,89	51,09	15,38	0,505	0,380	0,114	86,2	27,0	90,4	17
34	705	73,42	47,68	42,28	0,449	0,291	0,258	118,7	−10,4	119,2	−5
U=D50		**94,03**	**100,00**	**80,83**	**0,342**	**0,363**	**0,363**	**0,0**	**0,0**	**0,0**	**0**

$a=p_{anu}=n_a p_a=n_a[(b_{21}-b_{23})x+(b_{22}-b_{23})y+b_{23}]/y=1{,}4(3{,}0757x-2{,}5702y-0{,}0960)/y$
$b=p_{bnu}=n_b p_b=n_b[(b_{31}-b_{33})x+(b_{32}-b_{33})y+b_{33}]/y=+0{,}5(1{,}9906x+3{,}8617y-2{,}4046)/y$

DG690−7N

R17M-Normfarbwerte, Buntwerte und Farbarten (n_a=1,4, n_b=0,5).
Normierte *Ostwald (O)*-Farbwerte (Y_w=100), geordnet nach Buntton winkel.

		n-Farbart					*nu*-Farbart			
	λ_n	Y	p_{an}	p_{bn}	p_{rn}	h_{abn}	p_{anu}	p_{bnu}	p_{rnu}	h_{abnu}
00	600	51,09	1,77	0,09	1,77	362	1,68	0,52	1,77	377
01	705	47,68	2,57	−0,65	2,65	345	2,49	−0,21	2,50	354
02	714	46,49	2,81	−0,95	2,97	341	2,73	−0,52	2,77	349
03	716	43,45	3,03	−1,06	3,21	340	2,95	−0,62	3,02	348
04	723	39,63	3,37	−1,35	3,63	338	3,29	−0,91	3,42	344
05	735M	34,59	3,73	−1,89	4,19	333	3,65	−1,45	3,93	338
06	373	23,58	4,89	−3,00	5,74	328	4,81	−2,56	5,45	331
07	450	10,37	5,90	−7,92	9,88	306	5,82	−7,48	9,48	307
08	463	9,03	4,34	−9,36	10,32	294	4,26	−8,92	9,88	295
09	465	11,18	2,78	−7,62	8,11	290	2,70	−7,18	7,67	290
10	470	16,46	0,71	−5,14	5,19	277	0,63	−4,70	4,74	277
11	474	23,15	−0,44	−3,54	3,57	262	−0,52	−3,10	3,15	260
12	477B	31,32	−1,05	−2,48	2,69	247	−1,13	−2,04	2,33	240
13	479	35,77	−1,20	−2,10	2,42	240	−1,28	−1,66	2,10	232
14	481	45,22	−1,30	−1,54	2,02	229	−1,39	−1,10	1,77	218
15	482	48,30	−1,34	−1,37	1,91	225	−1,42	−0,93	1,70	213
16	487	48,90	−1,68	−0,99	1,95	210	−1,76	−0,55	1,84	197
17	496	50,06	−2,14	−0,41	2,18	190	−2,22	0,02	2,22	179
18	500C	52,31	−2,18	−0,23	2,20	186	−2,27	0,19	2,27	174
19	509	53,50	−2,29	0,01	2,29	179	−2,37	0,45	2,41	169
20	511	56,54	−2,18	0,04	2,19	178	−2,27	0,48	2,32	168
21	518	60,36	−2,08	0,16	2,08	175	−2,16	0,60	2,24	164
22	530	65,40	−1,85	0,33	1,88	169	−1,93	0,77	2,08	158
23	538G	76,41	−1,40	0,35	1,44	165	−1,48	0,79	1,68	151
24	553	89,62	−0,59	0,42	0,73	144	−0,67	0,86	1,09	127
25	557	90,96	−0,34	0,44	0,56	127	−0,42	0,88	0,98	115
26	558	88,81	−0,25	0,46	0,53	119	−0,34	0,90	0,96	110
27	561	83,52	−0,04	0,48	0,49	95	−0,12	0,92	0,93	97
28	565	76,83	0,24	0,49	0,55	64	0,16	0,93	0,94	80
29	570	68,67	0,59	0,49	0,77	39	0,51	0,93	1,06	60
30	572	64,22	0,79	0,48	0,93	31	0,71	0,92	1,17	52
31	578	54,77	1,22	0,47	1,31	21	1,14	0,91	1,46	38
32	581Y	51,69	1,41	0,43	1,47	17	1,33	0,87	1,59	33
33	600	51,09	1,77	0,09	1,77	2	1,68	0,52	1,77	17
34	705	47,68	2,57	−0,65	2,65	−14	2,49	−0,21	2,50	−5
U=D50		**100,00**	**0,081**	**−0,437**	**0,445**	**280**	**0,0**	**0,0**	**0,0**	**0**

$a=p_{anu}=n_a p_a=n_a[(b_{21}-b_{23})x+(b_{22}-b_{23})y+b_{23}]/y=1{,}4(3{,}0757x-2{,}5702y-0{,}0960)/y$
$b=p_{bnu}=n_b p_b=n_b[(b_{31}-b_{33})x+(b_{32}-b_{33})y+b_{33}]/y=+0{,}5(1{,}9906x+3{,}8617y-2{,}4046)/y$

DG690−8N

DG690−7R_pchartl=3_xcolorl=4(R17M)

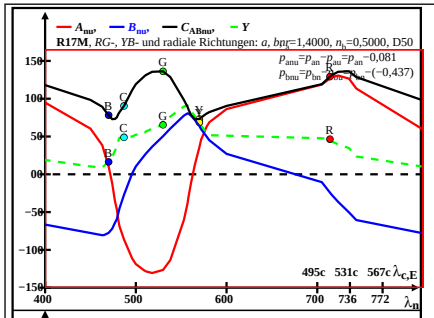

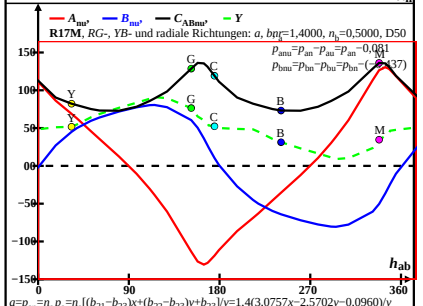

$a=p_{anu}=n_a p_a=n_a[(b_{21}-b_{23})x+(b_{22}-b_{23})y+b_{23}]/y=1{,}4(3{,}0757x-2{,}5702y-0{,}0960)/y$
$b=p_{bnu}=n_b p_b=n_b[(b_{31}-b_{33})x+(b_{32}-b_{33})y+b_{33}]/y=+0{,}5(1{,}9906x+3{,}8617y-2{,}4046)/y$

DG691−3N

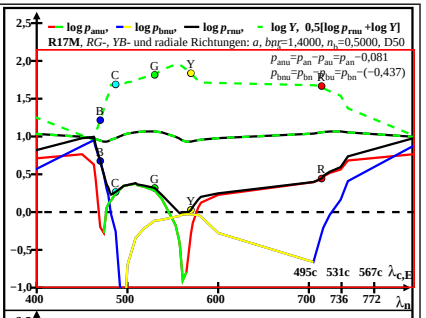

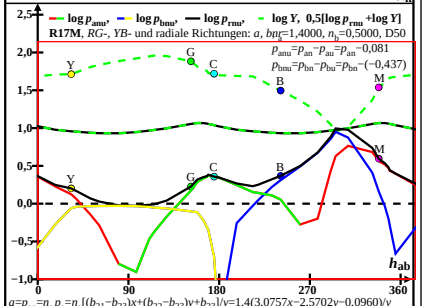

$a=p_{anu}=n_a p_a=n_a[(b_{21}-b_{23})x+(b_{22}-b_{23})y+b_{23}]/y=1{,}4(3{,}0757x-2{,}5702y-0{,}0960)/y$
$b=p_{bnu}=n_b p_b=n_b[(b_{31}-b_{33})x+(b_{32}-b_{33})y+b_{33}]/y=+0{,}5(1{,}9906x+3{,}8617y-2{,}4046)/y$

DG691−4N

X_w=94,03, Y_w=100,00, Z_w=80,83
x_w=0,3420 y_w=0,3638 z_w=0,2941
$a'_{3,nu}=(a_3-a_{3,u})\ Y_{18}\,[Y/Y_{18}]^{1/3}$
$b'_{3,nu}=(b_3-b_{3,u})\ Y_{18}\,[Y/Y_{18}]^{1/3}$
a_3=1,4(3,0757x−2,5702y−0,0960)/y
b_3=0,5(1,9906x3,8617y−2,4046)/y
n_a = 1,40, n_b = 0,50
n = D50

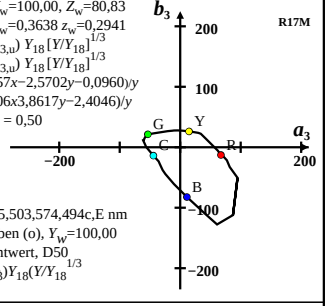

$\lambda_{B,G,Y,R}$=475,503,574,494c,E nm
Ostwald Farben (o), Y_w=100,00
max (m) Buntwert, D50
Farbart (a_3, b_3)$Y_{18}(Y/Y_{18}^{1/3}$

X_w=94,03, Y_w=100,00, Z_w=80,83
x_w=0,3420 y_w=0,3638 z_w=0,2941
$A_3=(a_3-a_{3,u})\ Y/[Y/Y_{18}]^{1/3}$
$B_3=(b_3-b_{3,u})\ Y/[Y/Y_{18}]^{1/3}$
a_3=1,4(3,0757x−2,5702y−0,0960)/y
b_3=0,5(1,9906x3,8617y−2,4046)/y
n_a = 1,40, n_b = 0,50
n = D50

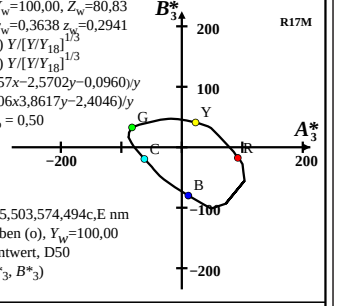

$\lambda_{B,G,Y,R}$=475,503,574,494c,E nm
Ostwald Farben (o), Y_w=100,00
max (m) Buntwert, D50
Buntheit (A^*_3, B^*_3)

X_w=94,03, Y_w=100,00, Z_w=80,83
x_w=0,3420 y_w=0,3638 z_w=0,2941
$a_{3,nu}=(a_3-a_{3,u})\ Y_{18}$
$b_{3,nu}=(b_3-b_{3,u})\ Y_{18}$
a_3=1,4(3,0757x−2,5702y−0,0960)/y
b_3=0,5(1,9906x3,8617y−2,4046)/y
n_a = 1,40, n_b = 0,50
n = D50

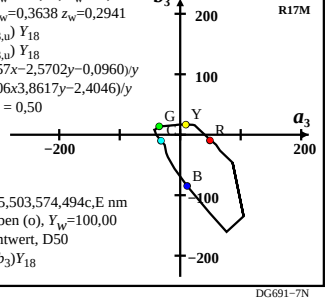

$\lambda_{B,G,Y,R}$=475,503,574,494c,E nm
Ostwald Farben (o), Y_w=100,00
max (m) Buntwert, D50
Farbart (a_3, b_3)Y_{18}

X_w=94,03, Y_w=100,00, Z_w=80,83
x_w=0,3420 y_w=0,3638 z_w=0,2941
$A_3=(a_3-a_{3,u})\ Y$
$B_3=(b_3-b_{3,u})\ Y$
a_3=1,4(3,0757x−2,5702y−0,0960)/y
b_3=0,5(1,9906x3,8617y−2,4046)/y
n_a = 1,40, n_b = 0,50
n = D50

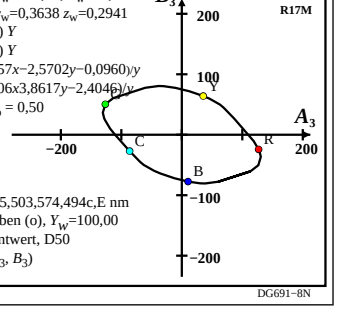

$\lambda_{B,G,Y,R}$=475,503,574,494c,E nm
Ostwald Farben (o), Y_w=100,00
max (m) Buntwert, D50
Buntwert (A_3, B_3)

DG691−7N

DG691−8N

DG691−7R_pchartl=3_xcolorl=4(R17M)

Siehe ähnliche Dateien: http://farbe.li.tu-berlin.de/DG69/DG69.HTM
Technische Information: http://farbe.li.tu-berlin.de oder http://130.149.60.45/~farbmetrik

TUB-Registrierung: 20180801-DG69/DG69L0NP.PDF /.PS
Anwendung für Messung von Offsetdruck-Ausgabe
TUB-Material: Code=rha4ta

Siehe ähnliche Dateien: http://farbe.li.tu-berlin.de/DG69/DG69.HTM
Technische Information: http://farbe.li.tu-berlin.de oder http://130.149.60.45/~farbmetrik

TUB-Registrierung: 20180801-DG69/DG69L0NP.PDF /.PS
Anwendung für Messung von Offsetdruck-Ausgabe
TUB-Material: Code=rha4ta

R17Ms-Normfarbwerte, Buntwerte und Farbarten (n_a=1,4, n_b=0,5).
Normierte *Ostwald (O)*-Farbwerte (Y_w=100), geordnet nach Wellenlänge.

		Normfarbwerte und -anteile						*nu*-Buntwerte			
	λ_n	*X*	*Y*	*Z*	*x*	*y*	*z*	A_{nu}	B_{nu}	C_{ABnu}	h_{ABnu}
00	375	52,09	25,14	67,62	0,359	0,173	0,466	112,5	−62,7	128,8	330
01	444	27,16	9,33	67,62	0,260	0,089	0,649	68,7	−76,0	102,4	312
02	463	21,19	9,55	72,48	0,205	0,092	0,702	42,3	−80,3	90,8	297
03	465	21,27	11,71	74,36	0,198	0,109	0,692	34,1	−80,1	87,1	293
04	470B	21,43	17,01	77,11	0,185	0,147	0,667	14,3	−77,2	78,6	280
05	474	22,09	23,68	78,83	0,177	0,190	0,632	−8,5	−71,7	72,2	263
06	476	22,83	27,59	79,42	0,175	0,212	0,611	−20,3	−68,0	70,9	253
07	479	25,44	36,25	80,19	0,179	0,255	0,565	−42,5	−59,3	73,0	234
08	480	27,41	40,88	80,43	0,184	0,274	0,540	−51,9	−54,6	75,4	226
09	481	29,88	45,66	80,60	0,191	0,292	0,516	−59,8	−49,7	77,8	219
10	482C	31,14	48,71	79,26	0,195	0,306	0,498	−66,0	−44,8	79,8	214
11	488	25,13	49,09	60,78	0,186	0,363	0,450	−90,0	−20,9	92,4	193
12	496	20,67	50,20	44,12	0,179	0,436	0,383	−110,6	1,2	110,6	179
13	500	20,63	52,39	38,61	0,184	0,469	0,345	−118,3	10,4	118,8	174
14	505	20,59	54,04	33,36	0,190	0,500	0,308	−124,1	18,7	125,5	171
15	515	20,37	55,82	24,00	0,203	0,557	0,239	−130,5	32,0	134,3	166
16	522G	23,24	59,39	19,95	0,226	0,578	0,194	−131,6	40,5	137,7	162
17	530	29,26	65,19	16,37	0,264	0,588	0,147	−128,1	50,3	137,6	158
18	540	41,69	74,85	13,32	0,321	0,576	0,102	−112,5	62,7	128,8	150
19	552	66,62	90,66	13,33	0,390	0,531	0,078	−68,6	76,0	102,4	132
20	557	72,58	90,44	8,47	0,423	0,527	0,049	−42,2	80,3	90,8	117
21	558	72,51	88,28	6,59	0,433	0,527	0,039	−34,1	80,1	87,0	113
22	561	72,35	82,98	3,84	0,454	0,521	0,024	−14,2	77,2	78,5	100
23	565Y	71,69	76,31	2,11	0,477	0,508	0,014	8,5	71,6	72,1	83
24	567	70,94	72,40	1,53	0,489	0,499	0,010	20,4	67,9	70,9	73
25	572	68,33	63,74	0,76	0,514	0,479	0,005	42,5	59,3	73,0	54
26	575	66,36	59,11	0,52	0,526	0,469	0,004	51,9	54,6	75,3	46
27	578	63,90	54,33	0,35	0,538	0,458	0,002	59,8	49,7	77,8	39
28	581	62,64	51,28	1,69	0,541	0,443	0,014	66,0	44,8	79,8	34
29	614R	68,65	50,90	20,17	0,491	0,364	0,144	90,0	20,9	92,4	13
30	701	73,11	49,79	36,82	0,457	0,311	0,230	110,6	−1,2	110,6	359
31	705	73,15	47,60	42,34	0,448	0,291	0,259	118,4	−10,4	118,8	354
32	710	73,19	45,95	47,59	0,438	0,275	0,285	124,1	−18,7	125,5	351
33	720	73,40	44,17	56,94	0,420	0,253	0,326	130,5	−32,0	134,4	346
34	727	70,53	40,59	61,00	0,409	0,235	0,354	131,6	−40,5	137,7	342
35	735M	64,51	34,79	64,58	0,393	0,212	0,394	128,1	−50,3	137,7	338
36	745	52,09	25,14	67,62	0,359	0,173	0,466	112,5	−62,7	128,8	330
37	809	27,16	9,33	67,62	0,260	0,089	0,649	68,7	−76,0	102,4	312
U=D50		**93,78**	**100,00**	**80,94**	**0,341**	**0,363**	**0,363**	**0,0**	**0,0**	**0,0**	**0**

$a=p_{anu}=n_a p_a=n_a[(b_{21}-b_{23})x+(b_{22}-b_{23})y+b_{23}]/y=1,4(3,0757x-2,5702y-0,0960)/y$
$b=p_{bnu}=n_b p_b=n_b[(b_{31}-b_{33})x+(b_{32}-b_{33})y+b_{33}]/y=+0,5(1,9906x+3,8617y-2,4046)/y$

DG690−3N

R17Ms-Normfarbwerte, Buntwerte und Farbarten (n_a=1,4, n_b=0,5).
Normierte *Ostwald (O)*-Farbwerte (Y_w=100), geordnet nach Wellenlänge.

		n-Farbart					*nu*-Farbart			
	λ_n	*Y*	p_{an}	p_{bn}	p_{rn}	h_{abn}	p_{anu}	p_{bnu}	p_{rnu}	h_{abnu}
00	375	25,14	4,54	−2,93	5,41	327	4,47	−2,49	5,12	330
01	444	9,33	7,43	−8,58	11,36	310	7,36	−8,14	10,98	312
02	463	9,55	4,50	−8,85	9,93	296	4,43	−8,41	9,51	297
03	465	11,71	2,99	−7,28	7,87	292	2,92	−6,84	7,44	293
04	470B	17,01	0,91	−4,98	5,06	280	0,84	−4,54	4,62	280
05	474	23,68	−0,28	−3,46	3,47	265	−0,35	−3,02	3,04	263
06	476	27,59	−0,66	−2,90	2,97	257	−0,73	−2,46	2,57	253
07	479	36,25	−1,10	−2,07	2,35	242	−1,17	−1,63	2,01	234
08	480	40,88	−1,20	−1,77	2,14	235	−1,27	−1,33	1,84	226
09	481	45,66	−1,24	−1,52	1,96	230	−1,31	−1,09	1,70	219
10	482C	48,71	−1,28	−1,36	1,87	226	−1,35	−0,92	1,63	214
11	488	49,09	−1,76	−0,86	1,96	206	−1,83	−0,42	1,88	193
12	496	50,20	−2,13	−0,41	2,17	190	−2,20	0,02	2,20	179
13	500	52,39	−2,18	−0,23	2,20	186	−2,25	0,19	2,26	174
14	505	54,04	−2,22	−0,09	2,22	182	−2,29	0,34	2,32	171
15	515	55,82	−2,26	0,13	2,27	176	−2,33	0,57	2,40	166
16	522G	59,39	−2,14	0,24	2,15	173	−2,21	0,68	2,31	162
17	530	65,19	−1,89	0,33	1,92	170	−1,96	0,77	2,11	158
18	540	74,85	−1,43	0,39	1,48	164	−1,50	0,83	1,72	150
19	552	90,66	−0,68	0,39	0,79	149	−0,75	0,83	1,13	132
20	557	90,44	−0,39	0,44	0,60	131	−0,46	0,88	1,00	117
21	558	88,28	−0,31	0,46	0,56	124	−0,38	0,90	0,98	113
22	561	82,98	−0,10	0,49	0,50	101	−0,17	0,93	0,94	100
23	565Y	76,31	0,18	0,50	0,53	69	0,11	0,93	0,94	83
24	567	72,40	0,35	0,50	0,61	54	0,28	0,93	0,98	73
25	572	63,74	0,73	0,49	0,88	33	0,66	0,93	1,14	54
26	575	59,11	0,94	0,48	1,06	27	0,87	0,92	1,27	46
27	578	54,33	1,17	0,47	1,26	22	1,10	0,91	1,43	39
28	581	51,28	1,35	0,43	1,42	17	1,28	0,87	1,55	34
29	614R	50,90	1,84	−0,02	1,84	359	1,76	0,41	1,81	13
30	701	49,79	2,29	−0,46	2,33	348	2,22	−0,02	2,22	359
31	705	47,60	2,55	−0,65	2,64	345	2,48	−0,22	2,49	354
32	710	45,95	2,77	−0,84	2,89	343	2,70	−0,40	2,73	351
33	720	44,17	3,02	−1,16	3,24	338	2,95	−0,72	3,04	346
34	727	40,59	3,31	−1,43	3,61	336	3,24	−0,99	3,39	342
35	735M	34,79	3,75	−1,88	4,20	333	3,68	−1,44	3,95	338
36	745	25,14	4,54	−2,93	5,41	327	4,47	−2,49	5,12	330
37	809	9,33	7,43	−8,58	11,36	310	7,36	−8,14	10,98	312
U=D50		**100,00**	**0,070**	**−0,438**	**0,444**	**279**	**0,0**	**0,0**	**0,0**	**0**

$a=p_{anu}=n_a p_a=n_a[(b_{21}-b_{23})x+(b_{22}-b_{23})y+b_{23}]/y=1,4(3,0757x-2,5702y-0,0960)/y$
$b=p_{bnu}=n_b p_b=n_b[(b_{31}-b_{33})x+(b_{32}-b_{33})y+b_{33}]/y=+0,5(1,9906x+3,8617y-2,4046)/y$

DG690−4N

R17Ms-Normfarbwerte, Buntwerte und Farbarten (n_a=1,4, n_b=0,5).
Normierte *Ostwald (O)*-Farbwerte (Y_w=100), geordnet nach Buntton winkel.

		Normfarbwerte und -anteile						*nu*-Buntwerte			
	λ_n	*X*	*Y*	*Z*	*x*	*y*	*z*	A_{nu}	B_{nu}	C_{ABnu}	h_{ABnu}
00	614	68,65	50,90	20,17	0,491	0,364	0,144	90,0	20,9	92,4	373
01	701	73,11	49,79	36,82	0,457	0,311	0,230	110,6	−1,2	110,6	359
02	705	73,15	47,60	42,34	0,448	0,291	0,259	118,4	−10,4	118,8	354
03	710	73,19	45,95	47,59	0,438	0,275	0,285	124,1	−18,7	125,5	351
04	720	73,40	44,17	56,94	0,420	0,253	0,326	130,5	−32,0	134,4	346
05	727M	70,53	40,59	61,00	0,409	0,235	0,354	131,6	−40,5	137,7	342
06	735	64,51	34,79	64,58	0,393	0,212	0,394	128,1	−50,3	137,7	338
07	375	52,09	25,14	67,62	0,359	0,173	0,466	112,5	−62,7	128,8	330
08	444	27,16	9,33	67,62	0,260	0,089	0,649	68,7	−76,0	102,4	312
09	463	21,19	9,55	72,48	0,205	0,092	0,702	42,3	−80,3	90,8	297
10	465	21,27	11,71	74,36	0,198	0,109	0,692	34,1	−80,1	87,1	293
11	470	21,43	17,01	77,11	0,185	0,147	0,667	14,3	−77,2	78,6	280
12	474B	22,09	23,68	78,83	0,177	0,190	0,632	−8,5	−71,7	72,2	263
13	476	22,83	27,59	79,42	0,175	0,212	0,611	−20,3	−68,0	70,9	253
14	479	25,44	36,25	80,19	0,179	0,255	0,565	−42,5	−59,3	73,0	234
15	480	27,41	40,88	80,43	0,184	0,274	0,540	−51,9	−54,6	75,4	226
16	481	29,88	45,66	80,60	0,191	0,292	0,516	−59,8	−49,7	77,8	219
17	482	31,14	48,71	79,26	0,195	0,306	0,498	−66,0	−44,8	79,8	214
18	488C	25,13	49,09	60,78	0,186	0,363	0,450	−90,0	−20,9	92,4	193
19	496	20,67	50,20	44,12	0,179	0,436	0,383	−110,6	1,2	110,6	179
20	500	20,63	52,39	38,61	0,184	0,469	0,345	−118,3	10,4	118,8	174
21	505	20,59	54,04	33,36	0,190	0,500	0,308	−124,1	18,7	125,5	171
22	515	20,37	55,82	24,00	0,203	0,557	0,239	−130,5	32,0	134,3	166
23	522G	23,24	59,39	19,95	0,226	0,578	0,194	−131,6	40,5	137,7	162
24	530	29,26	65,19	16,37	0,264	0,588	0,147	−128,1	50,3	137,6	158
25	540	41,69	74,85	13,32	0,321	0,576	0,102	−112,5	62,7	128,8	150
26	552	66,62	90,66	13,33	0,390	0,531	0,078	−68,6	76,0	102,4	132
27	557	72,58	90,44	8,47	0,423	0,527	0,049	−42,2	80,3	90,8	117
28	558	72,51	88,28	6,59	0,433	0,527	0,039	−34,1	80,1	87,0	113
29	561	72,35	82,98	3,84	0,454	0,521	0,024	−14,2	77,2	78,5	100
30	565	71,69	76,31	2,11	0,477	0,508	0,014	8,5	71,6	72,1	83
31	567	70,94	72,40	1,53	0,489	0,499	0,010	20,4	67,9	70,9	73
32	572Y	68,33	63,74	0,76	0,514	0,479	0,005	42,5	59,3	73,0	54
33	575	66,36	59,11	0,52	0,526	0,469	0,004	51,9	54,6	75,3	46
34	578	63,90	54,33	0,35	0,538	0,458	0,002	59,8	49,7	77,8	39
35	581	62,64	51,28	1,69	0,541	0,443	0,014	66,0	44,8	79,8	34
36	614R	68,65	50,90	20,17	0,491	0,364	0,144	90,0	20,9	92,4	13
37	701	73,11	49,79	36,82	0,457	0,311	0,230	110,6	−1,2	110,6	0
U=D50		**93,78**	**100,00**	**80,94**	**0,341**	**0,363**	**0,363**	**0,0**	**0,0**	**0,0**	**0**

$a=p_{anu}=n_a p_a=n_a[(b_{21}-b_{23})x+(b_{22}-b_{23})y+b_{23}]/y=1,4(3,0757x-2,5702y-0,0960)/y$
$b=p_{bnu}=n_b p_b=n_b[(b_{31}-b_{33})x+(b_{32}-b_{33})y+b_{33}]/y=+0,5(1,9906x+3,8617y-2,4046)/y$

DG690−7N

R17Ms-Normfarbwerte, Buntwerte und Farbarten (n_a=1,4, n_b=0,5).
Normierte *Ostwald (O)*-Farbwerte (Y_w=100), geordnet nach Buntton winkel.

		n-Farbart					*nu*-Farbart			
	λ_n	*Y*	p_{an}	p_{bn}	p_{rn}	h_{abn}	p_{anu}	p_{bnu}	p_{rnu}	h_{abnu}
00	614	50,90	1,84	−0,02	1,84	359	1,76	0,41	1,81	373
01	701	49,79	2,29	−0,46	2,33	348	2,22	−0,02	2,22	359
02	705	47,60	2,55	−0,65	2,64	345	2,48	−0,22	2,49	354
03	710	45,95	2,77	−0,84	2,89	343	2,70	−0,40	2,73	351
04	720	44,17	3,02	−1,16	3,24	338	2,95	−0,72	3,04	346
05	727M	40,59	3,31	−1,43	3,61	336	3,24	−0,99	3,39	342
06	735	34,79	3,75	−1,88	4,20	333	3,68	−1,44	3,95	338
07	375	25,14	4,54	−2,93	5,41	327	4,47	−2,49	5,12	330
08	444	9,33	7,43	−8,58	11,36	310	7,36	−8,14	10,98	312
09	463	9,55	4,50	−8,85	9,93	296	4,43	−8,41	9,51	297
10	465	11,71	2,99	−7,28	7,87	292	2,92	−6,84	7,44	293
11	470	17,01	0,91	−4,98	5,06	280	0,84	−4,54	4,62	280
12	474B	23,68	−0,28	−3,46	3,47	265	−0,35	−3,02	3,04	263
13	476	27,59	−0,66	−2,90	2,97	257	−0,73	−2,46	2,57	253
14	479	36,25	−1,10	−2,07	2,35	242	−1,17	−1,63	2,01	234
15	480	40,88	−1,20	−1,77	2,14	235	−1,27	−1,33	1,84	226
16	481	45,66	−1,24	−1,52	1,96	230	−1,31	−1,09	1,70	219
17	482	48,71	−1,28	−1,36	1,87	226	−1,35	−0,92	1,63	214
18	488C	49,09	−1,76	−0,86	1,96	206	−1,83	−0,42	1,88	193
19	496	50,20	−2,13	−0,41	2,17	190	−2,20	0,02	2,20	179
20	500	52,39	−2,18	−0,23	2,20	186	−2,25	0,19	2,26	174
21	505	54,04	−2,22	−0,09	2,22	182	−2,29	0,34	2,32	171
22	515	55,82	−2,26	0,13	2,27	176	−2,33	0,57	2,40	166
23	522G	59,39	−2,14	0,24	2,15	173	−2,21	0,68	2,31	162
24	530	65,19	−1,89	0,33	1,92	170	−1,96	0,77	2,11	158
25	540	74,85	−1,43	0,39	1,48	164	−1,50	0,83	1,72	150
26	552	90,66	−0,68	0,39	0,79	149	−0,75	0,83	1,13	132
27	557	90,44	−0,39	0,44	0,60	131	−0,46	0,88	1,00	117
28	558	88,28	−0,31	0,46	0,56	124	−0,38	0,90	0,98	113
29	561	82,98	−0,10	0,49	0,50	101	−0,17	0,93	0,94	100
30	565	76,31	0,18	0,50	0,53	69	0,11	0,93	0,94	83
31	567	72,40	0,35	0,50	0,61	54	0,28	0,93	0,98	73
32	572Y	63,74	0,73	0,49	0,88	33	0,66	0,93	1,14	54
33	575	59,11	0,94	0,48	1,06	27	0,87	0,92	1,27	46
34	578	54,33	1,17	0,47	1,26	22	1,10	0,91	1,43	39
35	581	51,28	1,35	0,43	1,42	17	1,28	0,87	1,55	34
36	614R	50,90	1,84	−0,02	1,84	0	1,76	0,41	1,81	13
37	701	49,79	2,29	−0,46	2,33	−11	2,22	−0,02	2,22	0
U=D50		**100,00**	**0,070**	**−0,438**	**0,444**	**279**	**0,0**	**0,0**	**0,0**	**0**

$a=p_{anu}=n_a p_a=n_a[(b_{21}-b_{23})x+(b_{22}-b_{23})y+b_{23}]/y=1,4(3,0757x-2,5702y-0,0960)/y$
$b=p_{bnu}=n_b p_b=n_b[(b_{31}-b_{33})x+(b_{32}-b_{33})y+b_{33}]/y=+0,5(1,9906x+3,8617y-2,4046)/y$

DG690−8N

DG690−7R_pchartl=3_xcolorl=5(R17Ms)

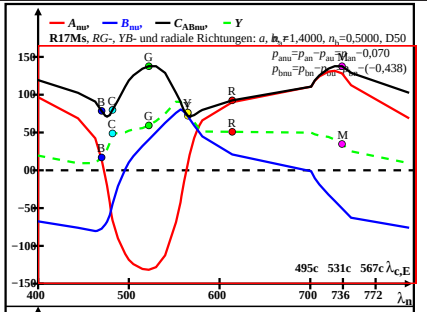

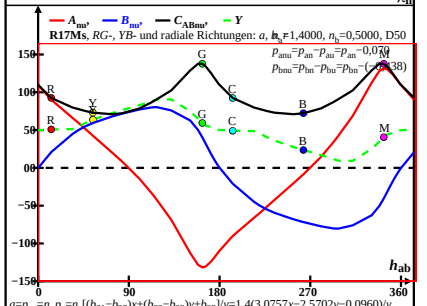

$a=p_{anu}=n_a p_a=n_a[(b_{21}-b_{23})x+(b_{22}-b_{23})y+b_{23}]/y=1,4(3,0757x-2,5702y-0,0960)/y$
$b=p_{bnu}=n_b p_b=n_b[(b_{31}-b_{33})x+(b_{32}-b_{33})y+b_{33}]/y=+0,5(1,9906x+3,8617y-2,4046)/y$

DG691−3N

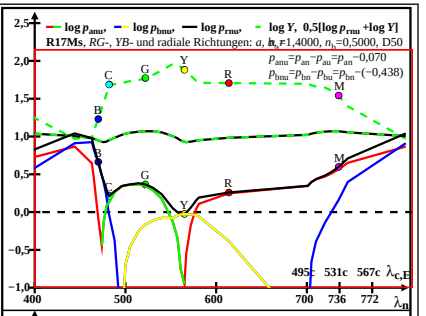

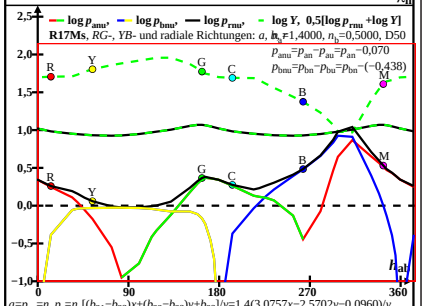

$a=p_{anu}=n_a p_a=n_a[(b_{21}-b_{23})x+(b_{22}-b_{23})y+b_{23}]/y=1,4(3,0757x-2,5702y-0,0960)/y$
$b=p_{bnu}=n_b p_b=n_b[(b_{31}-b_{33})x+(b_{32}-b_{33})y+b_{33}]/y=+0,5(1,9906x+3,8617y-2,4046)/y$

DG691−4N

X_w=93,78, Y_w=100,00, Z_w=80,94
x_w=0,3413 y_w=0,3639 z_w=0,2946
$a'_{3,nu}=(a_3-a_{3,u})\ Y_{18}\,[Y/Y_{18}]^{1/3}$
$b'_{3,nu}=(b_3-b_{3,u})\ Y_{18}\,[Y/Y_{18}]^{1/3}$
a_3=1,4(3,0757x−2,5702y−0,0960)/y
b_3=0,5(1,9906x3,8617y−2,4046)/y
n_a = 1,40, n_b = 0,50
n = D50

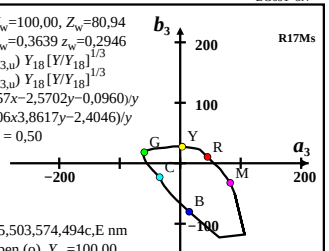

$\lambda_{B,G,Y,R}$=475,503,574,494c,E nm
Ostwald Farben (o), Y_w=100,00
max (m) Buntwert, D50
Farbart (a_3, b_3)$Y_{18}(Y/Y_{18}^{1/3}$

X_w=93,78, Y_w=100,00, Z_w=80,94
x_w=0,3413 y_w=0,3639 z_w=0,2946
$a_{3,nu}=(a_3-a_{3,u})\ Y_{18}$
$b_{3,nu}=(b_3-b_{3,u})\ Y_{18}$
a_3=1,4(3,0757x−2,5702y−0,0960)/y
b_3=0,5(1,9906x3,8617y−2,4046)/y
n_a = 1,40, n_b = 0,50
n = D50

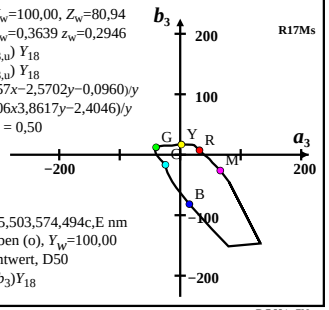

$\lambda_{B,G,Y,R}$=475,503,574,494c,E nm
Ostwald Farben (o), Y_w=100,00
max (m) Buntwert, D50
Farbart (a_3, b_3)Y_{18}

DG691−7N

X_w=93,78, Y_w=100,00, Z_w=80,94
x_w=0,3413 y_w=0,3639 z_w=0,2946
$A_3=(a_3-a_{3,u})\ Y/[Y/Y_{18}]^{1/3}$
$B_3=(b_3-b_{3,u})\ Y/[Y/Y_{18}]^{1/3}$
a_3=1,4(3,0757x−2,5702y−0,0960)/y
b_3=0,5(1,9906x3,8617y−2,4046)/y
n_a = 1,40, n_b = 0,50
n = D50

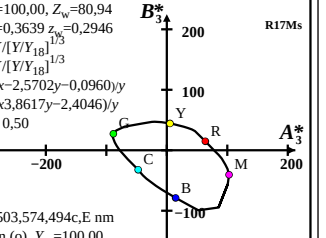

$\lambda_{B,G,Y,R}$=475,503,574,494c,E nm
Ostwald Farben (o), Y_w=100,00
max (m) Buntwert, D50
Buntheit (A^*_3, B^*_3)

X_w=93,78, Y_w=100,00, Z_w=80,94
x_w=0,3413 y_w=0,3639 z_w=0,2946
$A_3=(a_3-a_{3,u})\ Y$
$B_3=(b_3-b_{3,u})\ Y$
a_3=1,4(3,0757x−2,5702y−0,0960)/y
b_3=0,5(1,9906x3,8617y−2,4046)/y
n_a = 1,40, n_b = 0,50
n = D50

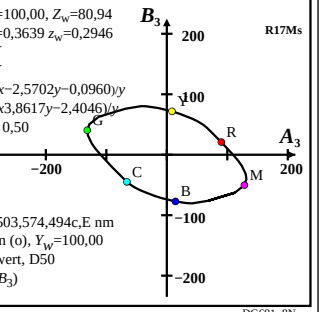

$\lambda_{B,G,Y,R}$=475,503,574,494c,E nm
Ostwald Farben (o), Y_w=100,00
max (m) Buntwert, D50
Buntwert (A_3, B_3)

DG691−8N

DG691−7R_pchartl=3_xcolorl=5(R17Ms)

Siehe ähnliche Dateien: http://farbe.li.tu-berlin.de/DG69/DG69.HTM
Technische Information: http://farbe.li.tu-berlin.de oder http://130.149.60.45/~farbmetrik

CIE02-Normfarbwerte, Buntwerte und Farbarten (n_a=1,4, n_b=0,5).
Normierte *Ostwald (O)*-Farbwerte (Y_w=100), geordnet nach Wellenlänge.

λ_n	X	Y	Z	x	y	z	A_{nu}	B_{nu}	C_{ABnu}	h_{ABnu}
	Normfarbwerte und -anteile						***nu*-Buntwerte**			
00 396	31,24	12,19	76,69	0,260	0,101	0,638	72,3	−84,1	111,0	310
01 463	13,25	6,34	78,11	0,135	0,064	0,799	20,0	−89,1	91,3	282
02 466	13,27	8,01	79,21	0,132	0,079	0,788	13,4	−88,4	89,4	278
03 471	13,39	12,66	80,68	0,125	0,118	0,755	−4,4	−84,7	84,8	266
04 475B	14,00	19,21	81,44	0,122	0,167	0,710	−27,6	−77,9	82,7	250
05 479	15,61	27,50	81,85	0,124	0,220	0,655	−53,3	−68,9	87,1	232
06 481	18,42	36,66	82,05	0,134	0,267	0,598	−77,4	−58,9	97,2	217
07 483	20,35	41,45	82,11	0,141	0,288	0,570	−88,1	−53,6	103,1	211
08 484	22,64	46,29	82,14	0,149	0,306	0,543	−97,4	−48,4	108,8	206
09 485	25,29	51,06	82,16	0,159	0,322	0,518	−105,0	−43,3	113,6	202
10 486C	29,62	57,81	81,62	0,175	0,341	0,482	−113,2	−35,5	118,7	197
11 490	26,32	58,17	63,51	0,177	0,393	0,429	−126,0	−12,6	126,6	185
12 497	23,01	58,66	42,48	0,185	0,472	0,342	−138,9	13,8	139,6	174
13 501	22,62	59,57	35,18	0,192	0,507	0,299	−143,1	23,7	145,0	170
14 506	22,26	60,29	28,28	0,200	0,543	0,255	−146,5	33,0	150,1	167
15 519	21,83	61,02	17,06	0,218	0,610	0,170	−149,6	47,4	157,0	162
16 522G	24,04	63,42	17,06	0,230	0,606	0,163	−149,8	49,8	157,9	161
17 535	27,22	66,19	9,71	0,263	0,641	0,094	−146,3	61,3	158,7	157
18 544	35,20	72,16	7,33	0,306	0,629	0,063	−136,1	69,6	152,8	152
19 561	65,07	87,80	5,54	0,410	0,554	0,034	−72,3	84,1	111,0	130
20 568	83,05	93,65	4,13	0,459	0,517	0,022	−20,0	89,1	91,3	102
21 569	83,03	91,98	3,02	0,466	0,516	0,016	−13,4	88,4	89,4	98
22 571	82,92	87,33	1,55	0,482	0,508	0,009	4,4	84,7	84,8	86
23 573Y	82,30	80,76	0,80	0,502	0,492	0,004	27,6	77,9	82,7	70
24 577	80,69	72,49	0,38	0,525	0,472	0,002	53,3	68,9	87,1	52
25 581	77,87	63,33	0,18	0,550	0,447	0,001	77,3	58,9	97,2	37
26 583	75,96	58,54	0,13	0,564	0,434	0,000	88,1	53,6	103,1	31
27 585	73,67	53,70	0,09	0,577	0,421	0,000	97,4	48,4	108,8	26
28 587	71,01	48,93	0,07	0,591	0,407	0,000	105,0	43,3	113,6	22
29 592R	66,69	42,18	0,61	0,609	0,385	0,005	113,3	35,5	118,7	17
30 631	69,99	41,82	18,71	0,536	0,320	0,143	126,0	12,6	126,6	5
31 702	73,30	41,33	39,75	0,474	0,267	0,257	138,9	−13,8	139,6	354
32 706	73,69	40,41	47,04	0,457	0,250	0,291	143,1	−23,7	145,1	350
33 711	74,05	39,70	53,95	0,441	0,236	0,321	146,5	−33,0	150,2	347
34 724	74,48	38,97	65,18	0,416	0,218	0,364	149,6	−47,4	157,0	342
35 727M	72,26	36,57	65,17	0,415	0,210	0,374	149,8	−49,8	157,9	341
36 740	69,08	33,80	72,53	0,393	0,192	0,413	146,3	−61,3	158,7	337
37 749	61,10	27,83	74,91	0,372	0,169	0,457	136,0	−69,6	152,8	332
38 766	31,24	12,19	76,69	0,260	0,101	0,638	72,3	−84,1	111,0	310
39 828	13,25	6,34	78,11	0,135	0,064	0,799	20,0	−89,1	91,3	282
U=D50	**96,31**	**99,99**	**82,24**	**0,345**	**0,358**	**0,358**	**0,0**	**0,0**	**0,0**	**0**

$a=p_{an}=n_a p_a=1,4[(5,645x-2,666+2,570z)/y]$ $A_{nu}=(a-a_u)Y$ $C_{ABnu}=[A_{nu}^2+B_{nu}^2]^{1/2}$
$b=p_{bn}=n_b p_b=0,5[(-1,871x+1,457-3,861z)/y]$ $B_{nu}=(b-b_u)Y$ $h_{ABnu}=\mathrm{atan}[B_{nu}/A_{nu}]$

DG690−3N

CIE02-Normfarbwerte, Buntwerte und Farbarten (n_a=1,4, n_b=0,5).
Normierte *Ostwald (O)*-Farbwerte (Y_w=100), geordnet nach Wellenlänge.

λ_n	Y	p_{an}	p_{bn}	p_{rn}	h_{abn}	p_{anu}	p_{bnu}	p_{rnu}	h_{abnu}
	***n*-Farbart**					***nu*-Farbart**			
00 396	12,19	6,11	−7,36	9,57	309	5,93	−6,90	9,10	310
01 463	6,34	3,32	−14,51	14,89	282	3,15	−14,05	14,40	282
02 466	8,01	1,84	−11,50	11,65	279	1,67	−11,04	11,17	278
03 471	12,66	−0,17	−7,15	7,15	268	−0,35	−6,69	6,70	266
04 475B	19,21	−1,26	−4,51	4,69	254	−1,43	−4,05	4,30	250
05 479	27,50	−1,76	−2,96	3,45	239	−1,93	−2,50	3,17	232
06 481	36,66	−1,93	−2,06	2,83	226	−2,11	−1,60	2,65	217
07 483	41,45	−1,95	−1,75	2,62	221	−2,12	−1,29	2,48	211
08 484	46,29	−1,93	−1,50	2,44	217	−2,10	−1,04	2,35	206
09 485	51,06	−1,88	−1,30	2,29	214	−2,05	−0,84	2,22	202
10 486C	57,81	−1,78	−1,07	2,08	211	−1,95	−0,61	2,05	197
11 490	58,17	−1,99	−0,67	2,10	198	−2,16	−0,21	2,17	185
12 497	58,66	−2,19	−0,22	2,20	185	−2,36	0,23	2,38	174
13 501	59,57	−2,22	−0,06	2,22	181	−2,40	0,39	2,43	170
14 506	60,29	−2,25	0,08	2,25	177	−2,43	0,54	2,49	167
15 519	61,02	−2,27	0,31	2,30	172	−2,45	0,77	2,57	162
16 522G	63,42	−2,18	0,32	2,21	171	−2,36	0,78	2,48	161
17 535	66,19	−2,03	0,46	2,08	167	−2,21	0,92	2,39	157
18 544	72,16	−1,71	0,50	1,78	163	−1,88	0,96	2,11	152
19 561	87,80	−0,64	0,49	0,81	142	−0,82	0,95	1,26	130
20 568	93,65	−0,03	0,49	0,49	94	−0,21	0,95	0,97	102
21 569	91,98	0,02	0,50	0,50	86	−0,14	0,96	0,97	98
22 571	87,33	0,22	0,51	0,55	66	0,05	0,97	0,97	86
23 573Y	80,76	0,51	0,50	0,72	44	0,34	0,96	1,02	70
24 577	72,49	0,91	0,49	1,03	28	0,73	0,95	1,20	52
25 581	63,33	1,39	0,47	1,47	18	1,22	0,93	1,53	37
26 583	58,54	1,67	0,45	1,74	15	1,50	0,91	1,76	31
27 585	53,70	1,98	0,44	2,03	12	1,81	0,90	2,02	26
28 587	48,93	2,32	0,42	2,36	10	2,14	0,88	2,32	22
29 592R	42,18	2,86	0,38	2,88	7	2,68	0,84	2,81	17
30 631	41,82	3,18	−0,15	3,19	357	3,01	0,30	3,02	5
31 702	41,33	3,53	−0,79	3,62	347	3,36	−0,33	3,37	354
32 706	40,41	3,71	−1,04	3,86	344	3,54	−0,58	3,58	350
33 711	39,70	3,86	−1,29	4,07	341	3,69	−0,83	3,78	347
34 724	38,97	4,01	−1,67	4,35	337	3,84	−1,21	4,02	342
35 727M	36,57	4,27	−1,82	4,64	336	4,09	−1,36	4,31	341
36 740	33,80	4,50	−2,27	5,04	333	4,33	−1,81	4,69	337
37 749	27,83	5,06	−2,96	5,86	329	4,88	−2,50	5,49	332
38 766	12,19	6,11	−7,36	9,57	309	5,93	−6,90	9,10	310
39 828	6,34	3,32	−14,51	14,89	282	3,15	−14,05	14,40	282
U=D50	**99,99**	**0,174**	**−0,459**	**0,491**	**290**	**0,0**	**0,0**	**0,0**	**0**

$a=p_{an}=n_a p_a=1,4[(5,645x-2,666+2,570z)/y]$ $A_{nu}=(a-a_u)Y$ $C_{ABnu}=[A_{nu}^2+B_{nu}^2]^{1/2}$
$b=p_{bn}=n_b p_b=0,5[(-1,871x+1,457-3,861z)/y]$ $B_{nu}=(b-b_u)Y$ $h_{ABnu}=\mathrm{atan}[B_{nu}/A_{nu}]$

DG690−4N

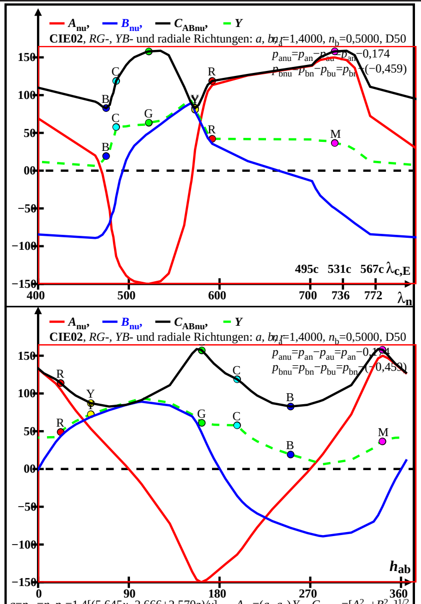

$a=p_{an}=n_a p_a=1,4[(5,645x-2,666+2,570z)/y]$ $A_{nu}=(a-a_u)Y$ $C_{ABnu}=[A_{nu}^2+B_{nu}^2]^{1/2}$
$b=p_{bn}=n_b p_b=0,5[(-1,871x+1,457-3,861z)/y]$ $B_{nu}=(b-b_u)Y$ $h_{ABnu}=\mathrm{atan}[B_{nu}/A_{nu}]$

DG691−3N

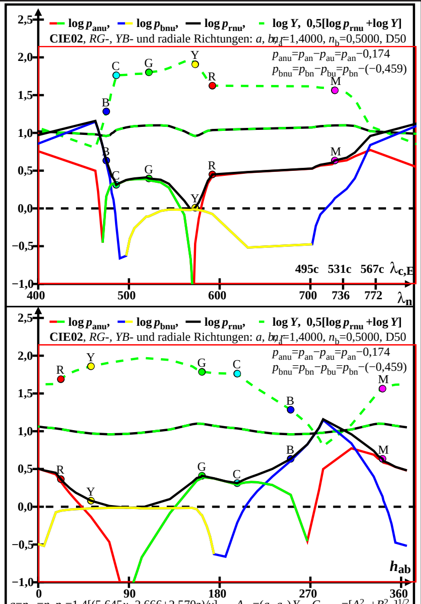

$a=p_{an}=n_a p_a=1,4[(5,645x-2,666+2,570z)/y]$ $A_{nu}=(a-a_u)Y$ $C_{ABnu}=[A_{nu}^2+B_{nu}^2]^{1/2}$
$b=p_{bn}=n_b p_b=0,5[(-1,871x+1,457-3,861z)/y]$ $B_{nu}=(b-b_u)Y$ $h_{ABnu}=\mathrm{atan}[B_{nu}/A_{nu}]$

DG691−4N

CIE02-Normfarbwerte, Buntwerte und Farbarten (n_a=1,4, n_b=0,5).
Normierte *Ostwald (O)*-Farbwerte (Y_w=100), geordnet nach Bunttonwinkel.

λ_n	X	Y	Z	x	y	z	A_{nu}	B_{nu}	C_{ABnu}	h_{ABnu}
	Normfarbwerte und -anteile						***nu*-Buntwerte**			
00 631	69,99	41,82	18,71	0,536	0,320	0,143	126,0	12,6	126,6	365
01 702	73,30	41,33	39,75	0,474	0,267	0,257	138,9	−13,8	139,6	354
02 706	73,69	40,41	47,04	0,457	0,250	0,291	143,1	−23,7	145,1	350
03 711	74,05	39,70	53,95	0,441	0,236	0,321	146,5	−33,0	150,2	347
04 724	74,48	38,97	65,18	0,416	0,218	0,364	149,6	−47,4	157,0	342
05 727M	72,26	36,57	65,17	0,415	0,210	0,374	149,8	−49,8	157,9	341
06 740	69,08	33,80	72,53	0,393	0,192	0,413	146,3	−61,3	158,7	337
07 749	61,10	27,83	74,91	0,372	0,169	0,457	136,0	−69,6	152,8	332
08 396	31,24	12,19	76,69	0,260	0,101	0,638	72,3	−84,1	111,0	310
09 463	13,25	6,34	78,11	0,135	0,064	0,799	20,0	−89,1	91,3	282
10 466	13,27	8,01	79,21	0,132	0,079	0,788	13,4	−88,4	89,4	278
11 471	13,39	12,66	80,68	0,125	0,118	0,755	−4,4	−84,7	84,8	266
12 475B	14,00	19,21	81,44	0,122	0,167	0,710	−27,6	−77,9	82,7	250
13 479	15,61	27,50	81,85	0,124	0,220	0,655	−53,3	−68,9	87,1	232
14 481	18,42	36,66	82,05	0,134	0,267	0,598	−77,4	−58,9	97,2	217
15 483	20,35	41,45	82,11	0,141	0,288	0,570	−88,1	−53,6	103,1	211
16 484	22,64	46,29	82,14	0,149	0,306	0,543	−97,4	−48,4	108,8	206
17 485	25,29	51,06	82,16	0,159	0,322	0,518	−105,0	−43,3	113,6	202
18 486C	29,62	57,81	81,62	0,175	0,341	0,482	−113,2	−35,5	118,7	197
19 490	26,32	58,17	63,51	0,177	0,393	0,429	−126,0	−12,6	126,6	185
20 497	23,01	58,66	42,48	0,185	0,472	0,342	−138,9	13,8	139,6	174
21 501	22,62	59,57	35,18	0,192	0,507	0,299	−143,1	23,7	145,0	170
22 506	22,26	60,29	28,28	0,200	0,543	0,255	−146,5	33,0	150,1	167
23 519G	21,83	61,02	17,06	0,218	0,610	0,170	−149,6	47,4	157,0	162
24 522	24,04	63,42	17,06	0,230	0,606	0,163	−149,8	49,8	157,9	161
25 535	27,22	66,19	9,71	0,263	0,641	0,094	−146,3	61,3	158,7	157
26 544	35,20	72,16	7,33	0,306	0,629	0,063	−136,1	69,6	152,8	152
27 561	65,07	87,80	5,54	0,410	0,554	0,034	−72,3	84,1	111,0	130
28 568	83,05	93,65	4,13	0,459	0,517	0,022	−20,0	89,1	91,3	102
29 569	83,03	91,98	3,02	0,466	0,516	0,016	−13,4	88,4	89,4	98
30 571	82,92	87,33	1,55	0,482	0,508	0,009	4,4	84,7	84,8	86
31 573	82,30	80,76	0,80	0,502	0,492	0,004	27,6	77,9	82,7	70
32 577Y	80,69	72,49	0,38	0,525	0,472	0,002	53,3	68,9	87,1	52
33 581	77,87	63,33	0,18	0,550	0,447	0,001	77,3	58,9	97,2	37
34 583	75,96	58,54	0,13	0,564	0,434	0,000	88,1	53,6	103,1	31
35 585	73,67	53,70	0,09	0,577	0,421	0,000	97,4	48,4	108,8	26
36 587R	71,01	48,93	0,07	0,591	0,407	0,000	105,0	43,3	113,6	22
37 592	66,69	42,18	0,61	0,609	0,385	0,005	113,3	35,5	118,7	17
38 631	69,99	41,82	18,71	0,536	0,320	0,143	126,0	12,6	126,6	5
39 702	73,30	41,33	39,75	0,474	0,267	0,257	138,9	−13,8	139,6	−5
U=D50	**96,31**	**99,99**	**82,24**	**0,345**	**0,358**	**0,358**	**0,0**	**0,0**	**0,0**	**0**

$a=p_{an}=n_a p_a=1,4[(5,645x-2,666+2,570z)/y]$ $A_{nu}=(a-a_u)Y$ $C_{ABnu}=[A_{nu}^2+B_{nu}^2]^{1/2}$
$b=p_{bn}=n_b p_b=0,5[(-1,871x+1,457-3,861z)/y]$ $B_{nu}=(b-b_u)Y$ $h_{ABnu}=\mathrm{atan}[B_{nu}/A_{nu}]$

DG690−7N

CIE02-Normfarbwerte, Buntwerte und Farbarten (n_a=1,4, n_b=0,5).
Normierte *Ostwald (O)*-Farbwerte (Y_w=100), geordnet nach Bunttonwinkel.

λ_n	Y	p_{an}	p_{bn}	p_{rn}	h_{abn}	p_{anu}	p_{bnu}	p_{rnu}	h_{abnu}
	***n*-Farbart**					***nu*-Farbart**			
00 631	41,82	3,18	−0,15	3,19	357	3,01	0,30	3,02	365
01 702	41,33	3,53	−0,79	3,62	347	3,36	−0,33	3,37	354
02 706	40,41	3,71	−1,04	3,86	344	3,54	−0,58	3,58	350
03 711	39,70	3,86	−1,29	4,07	341	3,69	−0,83	3,78	347
04 724	38,97	4,01	−1,67	4,35	337	3,84	−1,21	4,02	342
05 727M	36,57	4,27	−1,82	4,64	336	4,09	−1,36	4,31	341
06 740	33,80	4,50	−2,27	5,04	333	4,33	−1,81	4,69	337
07 749	27,83	5,06	−2,96	5,86	329	4,88	−2,50	5,49	332
08 396	12,19	6,11	−7,36	9,57	309	5,93	−6,90	9,10	310
09 463	6,34	3,32	−14,51	14,89	282	3,15	−14,05	14,40	282
10 466	8,01	1,84	−11,50	11,65	279	1,67	−11,04	11,17	278
11 471	12,66	−0,17	−7,15	7,15	268	−0,35	−6,69	6,70	266
12 475B	19,21	−1,26	−4,51	4,69	254	−1,43	−4,05	4,30	250
13 479	27,50	−1,76	−2,96	3,45	239	−1,93	−2,50	3,17	232
14 481	36,66	−1,93	−2,06	2,83	226	−2,11	−1,60	2,65	217
15 483	41,45	−1,95	−1,75	2,62	221	−2,12	−1,29	2,48	211
16 484	46,29	−1,93	−1,50	2,44	217	−2,10	−1,04	2,35	206
17 485	51,06	−1,88	−1,30	2,29	214	−2,05	−0,84	2,22	202
18 486C	57,81	−1,78	−1,07	2,08	211	−1,95	−0,61	2,05	197
19 490	58,17	−1,99	−0,67	2,10	198	−2,16	−0,21	2,17	185
20 497	58,66	−2,19	−0,22	2,20	185	−2,36	0,23	2,38	174
21 501	59,57	−2,22	−0,06	2,22	181	−2,40	0,39	2,43	170
22 506	60,29	−2,25	0,08	2,25	177	−2,43	0,54	2,49	167
23 519G	61,02	−2,27	0,31	2,30	172	−2,45	0,77	2,57	162
24 522	63,42	−2,18	0,32	2,21	171	−2,36	0,78	2,48	161
25 535	66,19	−2,03	0,46	2,08	167	−2,21	0,92	2,39	157
26 544	72,16	−1,71	0,50	1,78	163	−1,88	0,96	2,11	152
27 561	87,80	−0,64	0,49	0,81	142	−0,82	0,95	1,26	130
28 568	93,65	−0,03	0,49	0,49	94	−0,21	0,95	0,97	102
29 569	91,98	0,02	0,50	0,50	86	−0,14	0,96	0,97	98
30 571	87,33	0,22	0,51	0,55	66	0,05	0,97	0,97	86
31 573	80,76	0,51	0,50	0,72	44	0,34	0,96	1,02	70
32 577Y	72,49	0,91	0,49	1,03	28	0,73	0,95	1,20	52
33 581	63,33	1,39	0,47	1,47	18	1,22	0,93	1,53	37
34 583	58,54	1,67	0,45	1,74	15	1,50	0,91	1,76	31
35 585	53,70	1,98	0,44	2,03	12	1,81	0,90	2,02	26
36 587R	48,93	2,32	0,42	2,36	10	2,14	0,88	2,32	22
37 592	42,18	2,86	0,38	2,88	7	2,68	0,84	2,81	17
38 631	41,82	3,18	−0,15	3,19	−2	3,01	0,30	3,02	5
39 702	41,33	3,53	−0,79	3,62	−12	3,36	−0,33	3,37	−5
U=D50	**99,99**	**0,174**	**−0,459**	**0,491**	**290**	**0,0**	**0,0**	**0,0**	**0**

$a=p_{an}=n_a p_a=1,4[(5,645x-2,666+2,570z)/y]$ $A_{nu}=(a-a_u)Y$ $C_{ABnu}=[A_{nu}^2+B_{nu}^2]^{1/2}$
$b=p_{bn}=n_b p_b=0,5[(-1,871x+1,457-3,861z)/y]$ $B_{nu}=(b-b_u)Y$ $h_{ABnu}=\mathrm{atan}[B_{nu}/A_{nu}]$

DG690−8N

X_w=96,31, Y_w=99,99, Z_w=82,24
x_w=0,3457 y_w=0,3589 z_w=0,2952
$a'_{4,nu}=(a_4-a_{4,u})\ Y_{18}\ [Y/Y_{18}]^{1/3}$
$b'_{4,nu}=(b_4-b_{4,u})\ Y_{18}\ [Y/Y_{18}]^{1/3}$
$a_4=n_a[(5,645x-2,666+2,570z)/y]$
$b_4=n_b[(-1,871x+1,457-3,861z)/y]$
n_a = 1,40, n_b = 0,50
n = D50

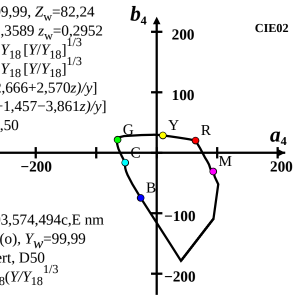

$\lambda_{B,G,Y,R}$=475,503,574,494c,E nm
Ostwald Farben (o), Y_W=99,99
max (m) Buntwert, D50
Farbart $(a_4, b_4)Y_{18}(Y/Y_{18})^{1/3}$

X_w=96,31, Y_w=99,99, Z_w=82,24
x_w=0,3457 y_w=0,3589 z_w=0,2952
$A_4=(a_4-a_{4,u})\ Y/[Y/Y_{18}]^{1/3}$
$B_4=(b_4-b_{4,u})\ Y/[Y/Y_{18}]^{1/3}$
$a_4=n_a[(5,645x-2,666+2,570z)/y]$
$b_4=n_b[(-1,871x+1,457-3,861z)/y]$
n_a = 1,40, n_b = 0,50
n = D50

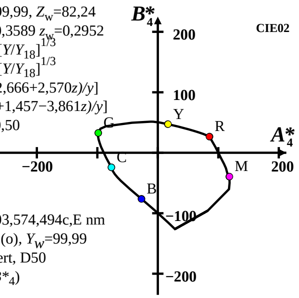

$\lambda_{B,G,Y,R}$=475,503,574,494c,E nm
Ostwald Farben (o), Y_W=99,99
max (m) Buntwert, D50
Buntheit (A^*_4, B^*_4)

X_w=96,31, Y_w=99,99, Z_w=82,24
x_w=0,3457 y_w=0,3589 z_w=0,2952
$a_{4,nu}=(a_4-a_{4,u})\ Y_{18}$
$b_{4,nu}=(b_4-b_{4,u})\ Y_{18}$
$a_4=n_a[(5,645x-2,666+2,570z)/y]$
$b_4=n_b[(-1,871x+1,457-3,861z)/y]$
n_a = 1,40, n_b = 0,50
n = D50

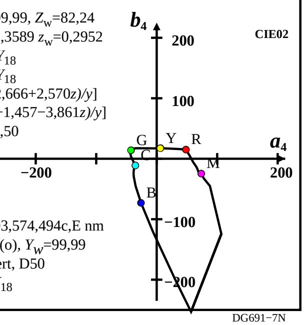

$\lambda_{B,G,Y,R}$=475,503,574,494c,E nm
Ostwald Farben (o), Y_W=99,99
max (m) Buntwert, D50
Farbart $(a_4, b_4)Y_{18}$

DG691−7N

X_w=96,31, Y_w=99,99, Z_w=82,24
x_w=0,3457 y_w=0,3589 z_w=0,2952
$A_4=(a_4-a_{4,u})\ Y$
$B_4=(b_4-b_{4,u})\ Y$
$a_4=n_a[(5,645x-2,666+2,570z)/y]$
$b_4=n_b[(-1,871x+1,457-3,861z)/y]$
n_a = 1,40, n_b = 0,50
n = D50

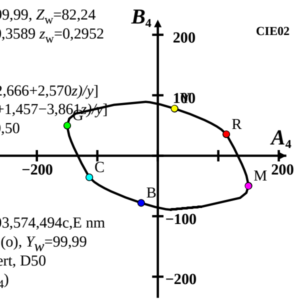

$\lambda_{B,G,Y,R}$=475,503,574,494c,E nm
Ostwald Farben (o), Y_W=99,99
max (m) Buntwert, D50
Buntwert (A_4, B_4)

DG691−8N

DG690−7R_pchartl=4_xcolorl=0(CIE02)

DG691−7R_pchartl=4_xcolorl=0(CIE02)

TUB-Registrierung: 20180801-DG69/DG69L0NP.PDF /.PS
Anwendung für Messung von Offsetdruck-Ausgabe

TUB-Material: Code=rha4ta

Siehe ähnliche Dateien: http://farbe.li.tu-berlin.de/DG69/DG69.HTM
Technische Information: http://farbe.li.tu-berlin.de oder http://130.149.60.45/~farbmetrik

TUB-Registrierung: 20180801-DG69/DG69L0NP.PDF /.PS
Anwendung für Messung von Offsetdruck-Ausgabe
TUB-Material: Code=rha4ta

CIE10-Normfarbwerte, Buntwerte und Farbarten (n_a=1,4, n_b=0,5).
Normierte *Ostwald (O)*-Farbwerte (Y_w=100), geordnet nach Wellenlänge.

λ_n	Normfarbwerte und -anteile X	Y	Z	x	y	z	*nu*-Buntwerte A_{nu}	B_{nu}	C_{ABnu}	h_{ABnu}
00 376	55,24	26,06	71,08	0,362	0,171	0,466	118,6	−66,2	135,9	330
01 458	13,22	7,40	75,87	0,136	0,076	0,786	15,9	−85,2	86,7	280
02 460	13,26	8,89	77,33	0,133	0,089	0,777	10,0	−85,2	85,8	276
03 462	13,28	10,68	78,42	0,129	0,104	0,765	2,9	−84,4	84,5	272
04 462B	13,28	10,68	78,42	0,129	0,104	0,765	2,9	−84,4	84,5	272
05 468	13,66	17,92	80,19	0,122	0,160	0,717	−24,0	−78,1	81,8	252
06 471	14,70	24,41	80,73	0,122	0,203	0,673	−45,2	−71,4	84,5	237
07 473	15,60	28,17	80,89	0,125	0,225	0,648	−56,2	−67,3	87,7	230
08 475	18,32	36,37	81,08	0,134	0,267	0,597	−77,1	−58,5	96,7	217
09 477	22,35	45,10	81,16	0,150	0,303	0,546	−94,5	−49,1	106,5	207
10 477C	22,35	45,10	81,16	0,150	0,303	0,546	−94,5	−49,1	106,5	207
11 479	27,82	53,94	81,17	0,170	0,331	0,498	−106,4	−39,9	113,6	200
12 480	30,64	58,21	79,19	0,182	0,346	0,471	−111,1	−33,1	115,9	196
13 484	25,67	56,42	59,80	0,180	0,397	0,421	−122,2	−10,8	122,7	185
14 492	22,50	56,65	38,03	0,192	0,483	0,324	−133,4	16,2	134,4	173
15 503	21,56	57,40	24,28	0,208	0,555	0,235	−138,4	33,8	142,5	166
16 512G	22,19	58,45	18,53	0,223	0,589	0,186	−139,1	41,8	145,3	163
17 521	24,28	60,61	13,79	0,246	0,614	0,139	−138,2	49,6	146,9	160
18 531	29,00	64,47	10,07	0,280	0,622	0,097	−133,2	57,6	145,1	156
19 541	41,39	73,93	10,07	0,330	0,589	0,080	−118,6	66,2	135,8	150
20 563	83,41	92,59	5,28	0,460	0,510	0,029	−15,8	85,2	86,7	100
21 564	83,37	91,09	3,82	0,467	0,510	0,021	−9,9	85,2	85,8	96
22 565	83,35	89,31	2,74	0,475	0,509	0,015	−2,9	84,4	84,5	91
23 565Y	83,35	89,31	2,74	0,475	0,509	0,015	−2,9	84,4	84,5	91
24 568	82,96	82,07	0,96	0,499	0,494	0,005	24,0	78,1	81,8	72
25 571	81,93	75,58	0,44	0,518	0,478	0,002	45,3	71,3	84,5	57
26 573	81,03	71,82	0,27	0,529	0,469	0,001	56,3	67,3	87,7	50
27 577	78,31	63,62	0,08	0,551	0,447	0,000	77,1	58,4	96,8	37
28 581	74,28	54,89	0,01	0,575	0,424	0,000	94,5	49,1	106,6	27
29 581R	74,28	54,89	0,01	0,575	0,424	0,000	94,5	49,1	106,6	27
30 587	68,81	46,05	0,00	0,599	0,400	0,000	106,4	39,9	113,6	20
31 589	67,60	44,04	0,93	0,600	0,391	0,008	109,1	36,6	115,1	18
32 692	70,96	43,57	21,37	0,522	0,320	0,157	122,2	10,8	122,7	5
33 697	74,12	43,34	43,14	0,461	0,269	0,268	133,4	−16,2	134,4	353
34 708	75,07	42,59	56,88	0,430	0,244	0,325	138,4	−33,8	142,5	346
35 717M	74,44	41,54	62,63	0,416	0,232	0,350	139,2	−41,8	145,3	343
36 726	72,35	39,38	67,37	0,403	0,219	0,376	138,3	−49,6	146,9	340
37 736	67,62	35,52	71,08	0,388	0,203	0,408	133,2	−57,7	145,2	336
38 746	55,24	26,06	71,08	0,362	0,171	0,466	118,6	−66,2	135,9	330
39 823	13,22	7,40	75,87	0,136	0,076	0,786	15,9	−85,2	86,7	280
U=D50	**96,63**	**100,00**	**81,17**	**0,347**	**0,359**	**0,359**	**0,0**	**0,0**	**0,0**	**0**

$a=p_{an}=n_a p_a=1,4[(5,645x-2,666+2,570z)/y]$ $A_{nu}=(a-a_u)\,Y$ $C_{ABnu}=[A_{nu}^2+B_{nu}^2]^{1/2}$
$b=p_{bn}=n_b p_b=0,5[(-1,871x+1,457-3,861z)/y]$ $B_{nu}=(b-b_u)\,Y$ $h_{ABnu}=\mathrm{atan}[B_{nu}/A_{nu}]$

DG690−3N

CIE10-Normfarbwerte, Buntwerte und Farbarten (n_a=1,4, n_b=0,5).
Normierte *Ostwald (O)*-Farbwerte (Y_w=100), geordnet nach Wellenlänge.

λ_n	*n*-Farbart Y	p_{an}	p_{bn}	p_{rn}	h_{abn}	*nu*-Farbart p_{anu}	p_{bnu}	p_{rnu}	h_{abnu}
00 376	26,06	4,74	−2,98	5,60	327	4,55	−2,54	5,21	330
01 458	7,40	2,34	−11,96	12,19	281	2,15	−11,52	11,72	280
02 460	8,89	1,31	−10,02	10,11	277	1,12	−9,58	9,64	276
03 462	10,68	0,46	−8,35	8,36	273	0,27	−7,90	7,91	272
04 462B	10,68	0,46	−8,35	8,36	273	0,27	−7,90	7,91	272
05 468	17,92	−1,15	−4,81	4,94	256	−1,34	−4,36	4,56	252
06 471	24,41	−1,66	−3,37	3,76	243	−1,85	−2,92	3,46	237
07 473	28,17	−1,80	−2,83	3,36	237	−1,99	−2,39	3,11	230
08 475	36,37	−1,93	−2,05	2,82	226	−2,12	−1,60	2,66	217
09 477	45,10	−1,90	−1,53	2,44	218	−2,09	−1,09	2,36	207
10 477C	45,10	−1,90	−1,53	2,44	218	−2,09	−1,09	2,36	207
11 479	53,94	−1,78	−1,18	2,14	213	−1,97	−0,74	2,10	200
12 480	58,21	−1,71	−1,01	1,99	210	−1,90	−0,56	1,99	196
13 484	56,42	−1,97	−0,63	2,07	197	−2,16	−0,19	2,17	185
14 492	56,65	−2,16	−0,16	2,17	184	−2,35	0,28	2,37	173
15 503	57,40	−2,22	0,14	2,22	176	−2,41	0,58	2,48	166
16 512G	58,45	−2,19	0,26	2,20	173	−2,38	0,71	2,48	163
17 521	60,61	−2,09	0,37	2,12	169	−2,28	0,81	2,42	160
18 531	64,47	−1,87	0,44	1,92	166	−2,06	0,89	2,25	156
19 541	73,93	−1,41	0,44	1,48	162	−1,60	0,89	1,83	150
20 563	92,59	0,01	0,47	0,47	87	−0,17	0,92	0,93	100
21 564	91,09	0,07	0,48	0,49	80	−0,10	0,93	0,94	96
22 565	89,31	0,15	0,49	0,52	72	−0,03	0,94	0,94	91
23 565Y	89,31	0,15	0,49	0,52	72	−0,03	0,94	0,94	91
24 568	82,07	0,48	0,50	0,69	46	0,29	0,95	0,99	72
25 571	75,58	0,78	0,49	0,93	32	0,59	0,94	1,11	57
26 573	71,82	0,97	0,49	1,09	26	0,78	0,93	1,22	50
27 577	63,62	1,40	0,47	1,47	18	1,21	0,91	1,52	37
28 581	54,89	1,91	0,44	1,96	13	1,72	0,89	1,94	27
29 581R	54,89	1,91	0,44	1,96	13	1,72	0,89	1,94	27
30 587	46,05	2,50	0,41	2,53	9	2,31	0,86	2,46	20
31 589	44,04	2,66	0,38	2,69	8	2,47	0,83	2,61	18
32 692	43,57	2,99	−0,19	3,00	356	2,80	0,24	2,81	5
33 697	43,34	3,26	−0,82	3,36	345	3,07	−0,37	3,10	353
34 708	42,59	3,44	−1,24	3,65	340	3,25	−0,79	3,34	346
35 717M	41,54	3,54	−1,45	3,82	337	3,35	−1,00	3,49	343
36 726	39,38	3,70	−1,70	4,07	335	3,51	−1,26	3,73	340
37 736	35,52	3,94	−2,07	4,45	332	3,75	−1,62	4,08	336
38 746	26,06	4,74	−2,98	5,60	327	4,55	−2,54	5,21	330
39 823	7,40	2,34	−11,96	12,19	281	2,15	−11,52	11,72	280
U=D50	**100,00**	**0,189**	**−0,447**	**0,485**	**292**	**0,0**	**0,0**	**0,0**	**0**

$a=p_{an}=n_a p_a=1,4[(5,645x-2,666+2,570z)/y]$ $A_{nu}=(a-a_u)\,Y$ $C_{ABnu}=[A_{nu}^2+B_{nu}^2]^{1/2}$
$b=p_{bn}=n_b p_b=0,5[(-1,871x+1,457-3,861z)/y]$ $B_{nu}=(b-b_u)\,Y$ $h_{ABnu}=\mathrm{atan}[B_{nu}/A_{nu}]$

DG690−4N

CIE10-Normfarbwerte, Buntwerte und Farbarten (n_a=1,4, n_b=0,5).
Normierte *Ostwald (O)*-Farbwerte (Y_w=100), geordnet nach Buntton winkel.

λ_n	Normfarbwerte und -anteile X	Y	Z	x	y	z	*nu*-Buntwerte A_{nu}	B_{nu}	C_{ABnu}	h_{ABnu}
00 692	70,96	43,57	21,37	0,522	0,320	0,157	122,2	10,8	122,7	365
01 697	74,12	43,34	43,14	0,461	0,269	0,268	133,4	−16,2	134,4	353
02 708	75,07	42,59	56,88	0,430	0,244	0,325	138,4	−33,8	142,5	346
03 717	74,44	41,54	62,63	0,416	0,232	0,350	139,2	−41,8	145,3	343
04 726	72,35	39,38	67,37	0,403	0,219	0,376	138,3	−49,6	146,9	340
05 736M	67,62	35,52	71,08	0,388	0,203	0,408	133,2	−57,7	145,2	336
06 376	55,24	26,06	71,08	0,362	0,171	0,466	118,6	−66,2	135,9	330
07 458	13,22	7,40	75,87	0,136	0,076	0,786	15,9	−85,2	86,7	280
08 460	13,26	8,89	77,33	0,133	0,089	0,777	10,0	−85,2	85,8	276
09 462	13,28	10,68	78,42	0,129	0,104	0,765	2,9	−84,4	84,5	272
10 462	13,28	10,68	78,42	0,129	0,104	0,765	2,9	−84,4	84,5	272
11 468	13,66	17,92	80,19	0,122	0,160	0,717	−24,0	−78,1	81,8	252
12 471B	14,70	24,41	80,73	0,122	0,203	0,673	−45,2	−71,4	84,5	237
13 473	15,60	28,17	80,89	0,125	0,225	0,648	−56,2	−67,3	87,7	230
14 475	18,32	36,37	81,08	0,134	0,267	0,597	−77,1	−58,5	96,7	217
15 477	22,35	45,10	81,16	0,150	0,303	0,546	−94,5	−49,1	106,5	207
16 477	22,35	45,10	81,16	0,150	0,303	0,546	−94,5	−49,1	106,5	207
17 479	27,82	53,94	81,17	0,170	0,331	0,498	−106,4	−39,9	113,6	200
18 480C	30,64	58,21	79,19	0,182	0,346	0,471	−111,1	−33,1	115,9	196
19 484	25,67	56,42	59,80	0,180	0,397	0,421	−122,2	−10,8	122,7	185
20 492	22,50	56,65	38,03	0,192	0,483	0,324	−133,4	16,2	134,4	173
21 503	21,56	57,40	24,28	0,208	0,555	0,235	−138,4	33,8	142,5	166
22 512	22,19	58,45	18,53	0,223	0,589	0,186	−139,1	41,8	145,3	163
23 521G	24,28	60,61	13,79	0,246	0,614	0,139	−138,2	49,6	146,9	160
24 531	29,00	64,47	10,07	0,280	0,622	0,097	−133,2	57,6	145,1	156
25 541	41,39	73,93	10,07	0,330	0,589	0,080	−118,6	66,2	135,8	150
26 563	83,41	92,59	5,28	0,460	0,510	0,029	−15,8	85,2	86,7	100
27 564	83,37	91,09	3,82	0,467	0,510	0,021	−9,9	85,2	85,8	96
28 565	83,35	89,31	2,74	0,475	0,509	0,015	−2,9	84,4	84,5	91
29 565	83,35	89,31	2,74	0,475	0,509	0,015	−2,9	84,4	84,5	91
30 568	82,96	82,07	0,96	0,499	0,494	0,005	24,0	78,1	81,8	72
31 571	81,93	75,58	0,44	0,518	0,478	0,002	45,3	71,3	84,5	57
32 573Y	81,03	71,82	0,27	0,529	0,469	0,001	56,3	67,3	87,7	50
33 577	78,31	63,62	0,08	0,551	0,447	0,000	77,1	58,4	96,8	37
34 581	74,28	54,89	0,01	0,575	0,424	0,000	94,5	49,1	106,6	27
35 581	74,28	54,89	0,01	0,575	0,424	0,000	94,5	49,1	106,6	27
36 587R	68,81	46,05	0,00	0,599	0,400	0,000	106,4	39,9	113,6	20
37 589	67,60	44,04	0,93	0,600	0,391	0,008	109,1	36,6	115,1	18
38 692	70,96	43,57	21,37	0,522	0,320	0,157	122,2	10,8	122,7	5
39 697	74,12	43,34	43,14	0,461	0,269	0,268	133,4	−16,2	134,4	−6
U=D50	**96,63**	**100,00**	**81,17**	**0,347**	**0,359**	**0,359**	**0,0**	**0,0**	**0,0**	**0**

$a=p_{an}=n_a p_a=1,4[(5,645x-2,666+2,570z)/y]$ $A_{nu}=(a-a_u)\,Y$ $C_{ABnu}=[A_{nu}^2+B_{nu}^2]^{1/2}$
$b=p_{bn}=n_b p_b=0,5[(-1,871x+1,457-3,861z)/y]$ $B_{nu}=(b-b_u)\,Y$ $h_{ABnu}=\mathrm{atan}[B_{nu}/A_{nu}]$

DG690−7N

CIE10-Normfarbwerte, Buntwerte und Farbarten (n_a=1,4, n_b=0,5).
Normierte *Ostwald (O)*-Farbwerte (Y_w=100), geordnet nach Buntton winkel.

λ_n	*n*-Farbart Y	p_{an}	p_{bn}	p_{rn}	h_{abn}	*nu*-Farbart p_{anu}	p_{bnu}	p_{rnu}	h_{abnu}
00 692	43,57	2,99	−0,19	3,00	356	2,80	0,24	2,81	365
01 697	43,34	3,26	−0,82	3,36	345	3,07	−0,37	3,10	353
02 708	42,59	3,44	−1,24	3,65	340	3,25	−0,79	3,34	346
03 717	41,54	3,54	−1,45	3,82	337	3,35	−1,00	3,49	343
04 726	39,38	3,70	−1,70	4,07	335	3,51	−1,26	3,73	340
05 736M	35,52	3,94	−2,07	4,45	332	3,75	−1,62	4,08	336
06 376	26,06	4,74	−2,98	5,60	327	4,55	−2,54	5,21	330
07 458	7,40	2,34	−11,96	12,19	281	2,15	−11,52	11,72	280
08 460	8,89	1,31	−10,02	10,11	277	1,12	−9,58	9,64	276
09 462	10,68	0,46	−8,35	8,36	273	0,27	−7,90	7,91	272
10 462	10,68	0,46	−8,35	8,36	273	0,27	−7,90	7,91	272
11 468	17,92	−1,15	−4,81	4,94	256	−1,34	−4,36	4,56	252
12 471B	24,41	−1,66	−3,37	3,76	243	−1,85	−2,92	3,46	237
13 473	28,17	−1,80	−2,83	3,36	237	−1,99	−2,39	3,11	230
14 475	36,37	−1,93	−2,05	2,82	226	−2,12	−1,60	2,66	217
15 477	45,10	−1,90	−1,53	2,44	218	−2,09	−1,09	2,36	207
16 477	45,10	−1,90	−1,53	2,44	218	−2,09	−1,09	2,36	207
17 479	53,94	−1,78	−1,18	2,14	213	−1,97	−0,74	2,10	200
18 480C	58,21	−1,71	−1,01	1,99	210	−1,90	−0,56	1,99	196
19 484	56,42	−1,97	−0,63	2,07	197	−2,16	−0,19	2,17	185
20 492	56,65	−2,16	−0,16	2,17	184	−2,35	0,28	2,37	173
21 503	57,40	−2,22	0,14	2,22	176	−2,41	0,58	2,48	166
22 512	58,45	−2,19	0,26	2,20	173	−2,38	0,71	2,48	163
23 521G	60,61	−2,09	0,37	2,12	169	−2,28	0,81	2,42	160
24 531	64,47	−1,87	0,44	1,92	166	−2,06	0,89	2,25	156
25 541	73,93	−1,41	0,44	1,48	162	−1,60	0,89	1,83	150
26 563	92,59	0,01	0,47	0,47	87	−0,17	0,92	0,93	100
27 564	91,09	0,07	0,48	0,49	80	−0,10	0,93	0,94	96
28 565	89,31	0,15	0,49	0,52	72	−0,03	0,94	0,94	91
29 565	89,31	0,15	0,49	0,52	72	−0,03	0,94	0,94	91
30 568	82,07	0,48	0,50	0,69	46	0,29	0,95	0,99	72
31 571	75,58	0,78	0,49	0,93	32	0,59	0,94	1,11	57
32 573Y	71,82	0,97	0,49	1,09	26	0,78	0,93	1,22	50
33 577	63,62	1,40	0,47	1,47	18	1,21	0,91	1,52	37
34 581	54,89	1,91	0,44	1,96	13	1,72	0,89	1,94	27
35 581	54,89	1,91	0,44	1,96	13	1,72	0,89	1,94	27
36 587R	46,05	2,50	0,41	2,53	9	2,31	0,86	2,46	20
37 589	44,04	2,66	0,38	2,69	8	2,47	0,83	2,61	18
38 692	43,57	2,99	−0,19	3,00	−3	2,80	0,24	2,81	5
39 697	43,34	3,26	−0,82	3,36	−14	3,07	−0,37	3,10	−6
U=D50	**100,00**	**0,189**	**−0,447**	**0,485**	**292**	**0,0**	**0,0**	**0,0**	**0**

$a=p_{an}=n_a p_a=1,4[(5,645x-2,666+2,570z)/y]$ $A_{nu}=(a-a_u)\,Y$ $C_{ABnu}=[A_{nu}^2+B_{nu}^2]^{1/2}$
$b=p_{bn}=n_b p_b=0,5[(-1,871x+1,457-3,861z)/y]$ $B_{nu}=(b-b_u)\,Y$ $h_{ABnu}=\mathrm{atan}[B_{nu}/A_{nu}]$

DG690−8N

DG690−7R_pchartl=4_xcolorl=1(CIE10)

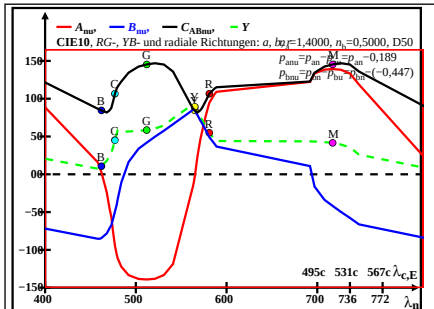

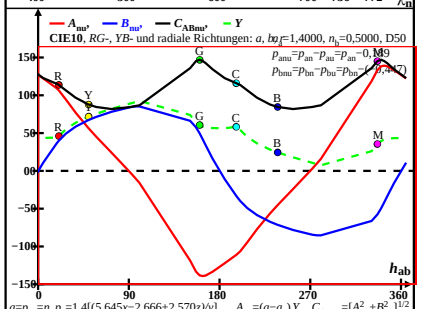

$a=p_{an}=n_a p_a=1,4[(5,645x-2,666+2,570z)/y]$ $A_{nu}=(a-a_u)\,Y$ $C_{ABnu}=[A_{nu}^2+B_{nu}^2]^{1/2}$
$b=p_{bn}=n_b p_b=0,5[(-1,871x+1,457-3,861z)/y]$ $B_{nu}=(b-b_u)\,Y$ $h_{ABnu}=\mathrm{atan}[B_{nu}/A_{nu}]$

DG691−3N

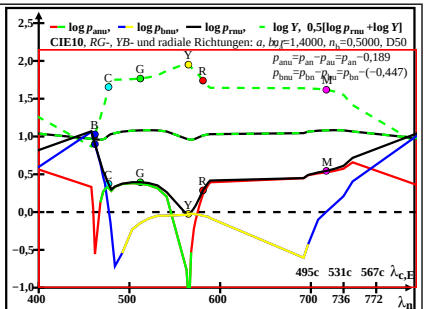

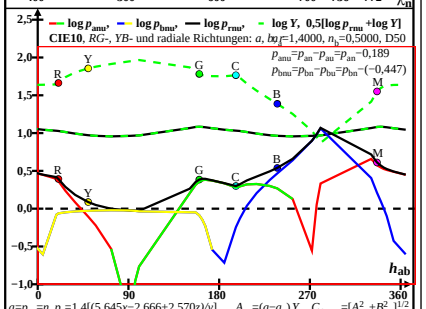

$a=p_{an}=n_a p_a=1,4[(5,645x-2,666+2,570z)/y]$ $A_{nu}=(a-a_u)\,Y$ $C_{ABnu}=[A_{nu}^2+B_{nu}^2]^{1/2}$
$b=p_{bn}=n_b p_b=0,5[(-1,871x+1,457-3,861z)/y]$ $B_{nu}=(b-b_u)\,Y$ $h_{ABnu}=\mathrm{atan}[B_{nu}/A_{nu}]$

DG691−4N

X_w=96,63, Y_w=100,00, Z_w=81,17
x_w=0,3478 y_w=0,3599 z_w=0,2921
$a'_{4,nu}=(a_4-a_{4,u})\,Y_{18}\,[Y/Y_{18}]^{1/3}$
$b'_{4,nu}=(b_4-b_{4,u})\,Y_{18}\,[Y/Y_{18}]^{1/3}$
$a_4=n_a[(5,645x-2,666+2,570z)/y]$
$b_4=n_b[(-1,871x+1,457-3,861z)/y]$
n_a = 1,40, n_b = 0,50
n = D50

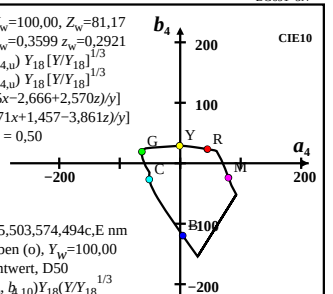

$\lambda_{B,G,Y,R}$=475,503,574,494c,E nm
Ostwald Farben (o), Y_w=100,00
max (m) Buntwert, D50
Farbart $(a_{4,10}, b_{4,10})Y_{18}(Y/Y_{18}^{1/3}$

X_w=96,63, Y_w=100,00, Z_w=81,17
x_w=0,3478 y_w=0,3599 z_w=0,2921
$A_4=(a_4-a_{4,u})\,Y/[Y/Y_{18}]^{1/3}$
$B_4=(b_4-b_{4,u})\,Y/[Y/Y_{18}]^{1/3}$
$a_4=n_a[(5,645x-2,666+2,570z)/y]$
$b_4=n_b[(-1,871x+1,457-3,861z)/y]$
n_a = 1,40, n_b = 0,50
n = D50

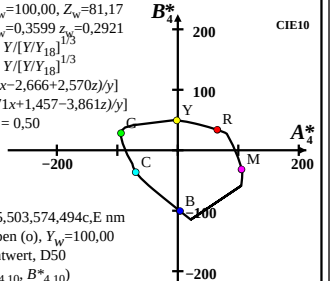

$\lambda_{B,G,Y,R}$=475,503,574,494c,E nm
Ostwald Farben (o), Y_w=100,00
max (m) Buntwert, D50
Buntheit $(A^*_{4,10}, B^*_{4,10})$

X_w=96,63, Y_w=100,00, Z_w=81,17
x_w=0,3478 y_w=0,3599 z_w=0,2921
$a_{4,nu}=(a_4-a_{4,u})\,Y_{18}$
$b_{4,nu}=(b_4-b_{4,u})\,Y_{18}$
$a_4=n_a[(5,645x-2,666+2,570z)/y]$
$b_4=n_b[(-1,871x+1,457-3,861z)/y]$
n_a = 1,40, n_b = 0,50
n = D50

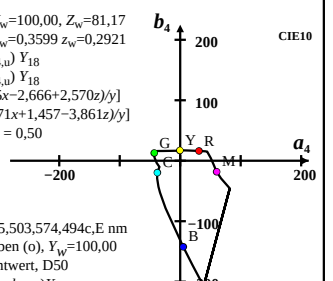

$\lambda_{B,G,Y,R}$=475,503,574,494c,E nm
Ostwald Farben (o), Y_w=100,00
max (m) Buntwert, D50
Farbart $(a_{4,10}, b_{4,10})Y_{18}$

X_w=96,63, Y_w=100,00, Z_w=81,17
x_w=0,3478 y_w=0,3599 z_w=0,2921
$A_4=(a_4-a_{4,u})\,Y$
$B_4=(b_4-b_{4,u})\,Y$
$a_4=n_a[(5,645x-2,666+2,570z)/y]$
$b_4=n_b[(-1,871x+1,457-3,861z)/y]$
n_a = 1,40, n_b = 0,50
n = D50

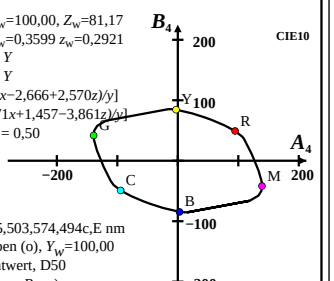

$\lambda_{B,G,Y,R}$=475,503,574,494c,E nm
Ostwald Farben (o), Y_w=100,00
max (m) Buntwert, D50
Buntwert $(A_{4,10}, B_{4,10})$

DG691−7N

DG691−8N

DG691−7R_pchartl=4_xcolorl=1(CIE10)

Siehe ähnliche Dateien: http://farbe.li.tu-berlin.de/DG69/DG69.HTM
Technische Information: http://farbe.li.tu-berlin.de oder http://130.149.60.45/~farbmetrik

CIEF02-Normfarbwerte, Buntwerte und Farbarten (n_a=1,4, n_b=0,5).
Normierte *Ostwald (O)*-Farbwerte (Y_w=100), geordnet nach Wellenlänge.

	Normfarbwerte und -anteile						*nu*-Buntwerte			
λ_n	*X*	*Y*	*Z*	*x*	*y*	*z*	A_{nu}	B_{nu}	C_{ABnu}	h_{ABnu}
00 386	51,50	23,94	74,68	0,343	0,159	0,497	111,1	−72,0	132,4	327
01 460	12,38	6,54	76,19	0,130	0,068	0,801	15,8	−86,3	87,8	280
02 465	12,41	9,58	78,25	0,123	0,095	0,780	3,7	−85,2	85,3	272
03 467	12,45	11,64	78,87	0,120	0,113	0,766	−4,2	−83,5	83,6	267
04 473B	13,31	20,43	79,83	0,117	0,179	0,702	−35,1	−74,4	82,3	244
05 475	14,02	24,19	79,97	0,118	0,204	0,676	−46,9	−70,3	84,5	236
06 479	17,82	36,91	80,16	0,132	0,273	0,594	−80,9	−56,2	98,5	214
07 479	17,82	36,91	80,16	0,132	0,273	0,594	−80,9	−56,2	98,5	214
08 481	21,98	46,03	80,19	0,148	0,310	0,541	−99,2	−46,2	109,4	205
09 481	21,98	46,03	80,19	0,148	0,310	0,541	−99,2	−46,2	109,4	205
10 483C	27,52	55,03	80,21	0,169	0,338	0,492	−111,3	−36,7	117,2	198
11 484	28,85	57,21	79,07	0,174	0,346	0,478	−114,1	−33,0	118,8	196
12 489	25,36	57,41	57,70	0,180	0,408	0,410	−126,6	−6,4	126,7	182
13 497	22,33	57,50	36,81	0,191	0,492	0,315	−136,8	19,4	138,1	171
14 505	21,31	58,03	24,30	0,205	0,559	0,234	−141,4	35,3	145,8	165
15 512	21,41	58,69	18,79	0,216	0,593	0,190	−142,8	42,7	149,1	163
16 521G	22,42	59,91	14,10	0,232	0,621	0,146	−142,8	49,5	151,1	160
17 524	25,32	62,97	14,10	0,247	0,615	0,137	−142,6	52,6	152,0	159
18 539	30,29	66,55	7,57	0,290	0,637	0,072	−135,0	63,6	149,3	154
19 551	44,95	76,05	5,53	0,355	0,601	0,043	−110,8	74,3	133,4	146
20 568	84,08	93,45	4,02	0,463	0,514	0,022	−15,4	88,7	90,1	99
21 568	84,08	93,45	4,02	0,463	0,514	0,022	−15,4	88,7	90,1	99
22 569	84,05	90,41	1,96	0,476	0,512	0,011	−3,4	87,6	87,7	92
23 570Y	84,00	88,35	1,33	0,483	0,508	0,007	4,4	85,9	86,1	87
24 573	83,15	79,56	0,38	0,509	0,487	0,002	35,4	76,8	84,6	65
25 575	82,44	75,80	0,24	0,520	0,478	0,001	47,2	72,7	86,7	56
26 580	78,64	63,07	0,05	0,554	0,444	0,000	81,2	58,5	100,1	35
27 580	78,64	63,07	0,05	0,554	0,444	0,000	81,2	58,5	100,1	35
28 585	74,48	53,96	0,02	0,579	0,420	0,000	99,5	48,6	110,7	26
29 590R	68,94	44,96	0,00	0,605	0,394	0,000	111,6	39,1	118,3	19
30 592	67,61	42,78	1,14	0,606	0,383	0,010	114,4	35,4	119,8	17
31 694	71,10	42,58	22,52	0,522	0,312	0,165	126,9	8,7	127,2	3
32 702	74,12	42,49	43,40	0,463	0,265	0,271	137,0	−17,0	138,1	352
33 710	75,15	41,96	55,91	0,434	0,242	0,323	141,7	−32,9	145,5	346
34 717	75,05	41,30	61,43	0,422	0,232	0,345	143,1	−40,3	148,7	344
35 726M	74,04	40,08	66,11	0,410	0,222	0,366	143,1	−47,1	150,7	341
36 729	71,14	37,02	66,11	0,408	0,212	0,379	143,0	−50,2	151,5	340
37 744	66,16	33,43	72,64	0,384	0,194	0,421	135,3	−61,2	148,5	335
38 756	51,50	23,94	74,68	0,343	0,159	0,497	111,1	−72,0	132,4	327
39 825	12,38	6,54	76,19	0,130	0,068	0,801	15,8	−86,3	87,8	280
U=D50	**96,46**	**100,00**	**82,22**	**0,346**	**0,358**	**0,358**	**0,0**	**0,0**	**0,0**	**0**

$a=p_{an}=n_a p_a=1{,}4[(5{,}645x-2{,}666+2{,}570z)/y]$ $A_{nu}=(a-a_u)Y$ $C_{ABnu}=[A_{nu}^2+B_{nu}^2]^{1/2}$
$b=p_{bn}=n_b p_b=0{,}5[(-1{,}871x+1{,}457-3{,}861z)/y]$ $B_{nu}=(b-b_u)Y$ $h_{ABnu}=\text{atan}[B_{nu}/A_{nu}]$

DG690−3N

CIEF02-Normfarbwerte, Buntwerte und Farbarten (n_a=1,4, n_b=0,5).
Normierte *Ostwald (O)*-Farbwerte (Y_w=100), geordnet nach Wellenlänge.

		n-Farbart				*nu*-Farbart			
λ_n	*Y*	p_{an}	p_{bn}	p_{rn}	h_{abn}	p_{anu}	p_{bnu}	p_{rnu}	h_{abnu}
00 386	23,94	4,82	−3,46	5,93	324	4,64	−3,00	5,53	327
01 460	6,54	2,59	−13,66	13,91	280	2,41	−13,21	13,42	280
02 465	9,58	0,57	−9,35	9,37	273	0,39	−8,90	8,90	272
03 467	11,64	−0,18	−7,64	7,64	268	−0,36	−7,18	7,19	267
04 473B	20,43	−1,54	−4,10	4,38	249	−1,72	−3,64	4,03	244
05 475	24,19	−1,75	−3,36	3,79	242	−1,93	−2,90	3,49	236
06 479	36,91	−2,01	−1,98	2,82	224	−2,19	−1,52	2,66	214
07 479	36,91	−2,01	−1,98	2,82	224	−2,19	−1,52	2,66	214
08 481	46,03	−1,97	−1,46	2,45	216	−2,15	−1,00	2,37	205
09 481	46,03	−1,97	−1,46	2,45	216	−2,15	−1,00	2,37	205
10 483C	55,03	−1,84	−1,12	2,15	211	−2,02	−0,66	2,13	198
11 484	57,21	−1,81	−1,03	2,09	209	−1,99	−0,57	2,07	196
12 489	57,41	−2,02	−0,57	2,10	195	−2,20	−0,11	2,20	182
13 497	57,50	−2,19	−0,12	2,20	183	−2,37	0,33	2,40	171
14 505	58,03	−2,25	0,14	2,26	176	−2,43	0,60	2,51	165
15 512	58,69	−2,25	0,26	2,26	173	−2,43	0,72	2,54	163
16 521G	59,91	−2,20	0,36	2,23	170	−2,38	0,82	2,52	160
17 524	62,97	−2,08	0,37	2,11	169	−2,26	0,83	2,41	159
18 539	66,55	−1,84	0,49	1,91	164	−2,02	0,95	2,24	154
19 551	76,05	−1,27	0,51	1,37	157	−1,45	0,97	1,75	146
20 568	93,45	0,01	0,49	0,49	88	−0,16	0,95	0,96	99
21 568	93,45	0,01	0,49	0,49	88	−0,16	0,95	0,96	99
22 569	90,41	0,14	0,51	0,52	74	−0,03	0,96	0,97	92
23 570Y	88,35	0,23	0,51	0,56	65	0,05	0,97	0,97	87
24 573	79,56	0,62	0,50	0,80	38	0,44	0,96	1,06	65
25 575	75,80	0,80	0,49	0,94	31	0,62	0,95	1,14	56
26 580	63,07	1,46	0,46	1,54	17	1,28	0,92	1,58	35
27 580	63,07	1,46	0,46	1,54	17	1,28	0,92	1,58	35
28 585	53,96	2,02	0,44	2,07	12	1,84	0,90	2,05	26
29 590R	44,96	2,66	0,41	2,69	8	2,48	0,87	2,63	19
30 592	42,78	2,85	0,36	2,88	7	2,67	0,82	2,80	17
31 694	42,58	3,16	−0,25	3,17	355	2,98	0,20	2,98	3
32 702	42,49	3,40	−0,86	3,51	345	3,22	−0,40	3,25	352
33 710	41,96	3,55	−1,24	3,77	340	3,37	−0,78	3,46	346
34 717	41,30	3,64	−1,43	3,92	338	3,46	−0,97	3,60	344
35 726M	40,08	3,75	−1,63	4,09	336	3,57	−1,17	3,76	341
36 729	37,02	4,04	−1,81	4,43	335	3,86	−1,35	4,09	340
37 744	33,43	4,22	−2,29	4,81	331	4,04	−1,83	4,44	335
38 756	23,94	4,82	−3,46	5,93	324	4,64	−3,00	5,53	327
39 825	6,54	2,59	−13,66	13,91	280	2,41	−13,21	13,42	280
U=D50	**100,00**	**0,180**	**−0,459**	**0,493**	**291**	**0,0**	**0,0**	**0,0**	**0**

$a=p_{an}=n_a p_a=1{,}4[(5{,}645x-2{,}666+2{,}570z)/y]$ $A_{nu}=(a-a_u)Y$ $C_{ABnu}=[A_{nu}^2+B_{nu}^2]^{1/2}$
$b=p_{bn}=n_b p_b=0{,}5[(-1{,}871x+1{,}457-3{,}861z)/y]$ $B_{nu}=(b-b_u)Y$ $h_{ABnu}=\text{atan}[B_{nu}/A_{nu}]$

DG690−4N

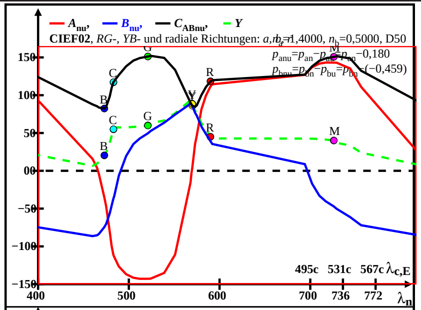

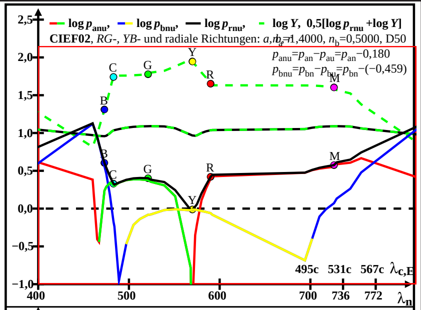

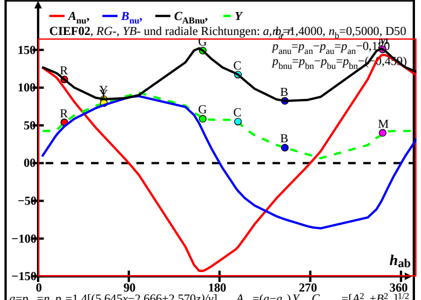

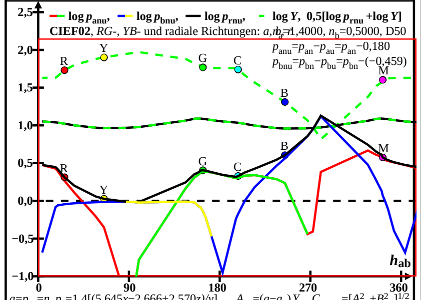

$a=p_{an}=n_a p_a=1{,}4[(5{,}645x-2{,}666+2{,}570z)/y]$ $A_{nu}=(a-a_u)Y$ $C_{ABnu}=[A_{nu}^2+B_{nu}^2]^{1/2}$
$b=p_{bn}=n_b p_b=0{,}5[(-1{,}871x+1{,}457-3{,}861z)/y]$ $B_{nu}=(b-b_u)Y$ $h_{ABnu}=\text{atan}[B_{nu}/A_{nu}]$

DG691−3N DG691−4N

CIEF02-Normfarbwerte, Buntwerte und Farbarten (n_a=1,4, n_b=0,5).
Normierte *Ostwald (O)*-Farbwerte (Y_w=100), geordnet nach Bunttonwinkel.

	Normfarbwerte und -anteile						*nu*-Buntwerte			
λ_n	*X*	*Y*	*Z*	*x*	*y*	*z*	A_{nu}	B_{nu}	C_{ABnu}	h_{ABnu}
00 592	67,61	42,78	1,14	0,606	0,383	0,010	114,4	35,4	119,8	377
01 694	71,10	42,58	22,52	0,522	0,312	0,165	126,9	8,7	127,2	363
02 702	74,12	42,49	43,40	0,463	0,265	0,271	137,0	−17,0	138,1	352
03 710	75,15	41,96	55,91	0,434	0,242	0,323	141,7	−32,9	145,5	346
04 717	75,05	41,30	61,43	0,422	0,232	0,345	143,1	−40,3	148,7	344
05 726M	74,04	40,08	66,11	0,410	0,222	0,366	143,1	−47,1	150,7	341
06 729	71,14	37,02	66,11	0,408	0,212	0,379	143,0	−50,2	151,5	340
07 744	66,16	33,43	72,64	0,384	0,194	0,421	135,3	−61,2	148,5	335
08 386	51,50	23,94	74,68	0,343	0,159	0,497	111,1	−72,0	132,4	327
09 460	12,38	6,54	76,19	0,130	0,068	0,801	15,8	−86,3	87,8	280
10 465	12,41	9,58	78,25	0,123	0,095	0,780	3,7	−85,2	85,3	272
11 467	12,45	11,64	78,87	0,120	0,113	0,766	−4,2	−83,5	83,6	267
12 473B	13,31	20,43	79,83	0,117	0,179	0,702	−35,1	−74,4	82,3	244
13 475	14,02	24,19	79,97	0,118	0,204	0,676	−46,9	−70,3	84,5	236
14 479	17,82	36,91	80,16	0,132	0,273	0,594	−80,9	−56,2	98,5	214
15 479	17,82	36,91	80,16	0,132	0,273	0,594	−80,9	−56,2	98,5	214
16 481	21,98	46,03	80,19	0,148	0,310	0,541	−99,2	−46,2	109,4	205
17 481	21,98	46,03	80,19	0,148	0,310	0,541	−99,2	−46,2	109,4	205
18 483C	27,52	55,03	80,21	0,169	0,338	0,492	−111,3	−36,7	117,2	198
19 484	28,85	57,21	79,07	0,174	0,346	0,478	−114,1	−33,0	118,8	196
20 489	25,36	57,41	57,70	0,180	0,408	0,410	−126,6	−6,4	126,7	182
21 497	22,33	57,50	36,81	0,191	0,492	0,315	−136,8	19,4	138,1	171
22 505	21,31	58,03	24,30	0,205	0,559	0,234	−141,4	35,3	145,8	165
23 512G	21,41	58,69	18,79	0,216	0,593	0,190	−142,8	42,7	149,1	163
24 521	22,42	59,91	14,10	0,232	0,621	0,146	−142,8	49,5	151,1	160
25 524	25,32	62,97	14,10	0,247	0,615	0,137	−142,6	52,6	152,0	159
26 539	30,29	66,55	7,57	0,290	0,637	0,072	−135,0	63,6	149,3	154
27 551	44,95	76,05	5,53	0,355	0,601	0,043	−110,8	74,3	133,4	146
28 568	84,08	93,45	4,02	0,463	0,514	0,022	−15,4	88,7	90,1	99
29 568	84,08	93,45	4,02	0,463	0,514	0,022	−15,4	88,7	90,1	99
30 569	84,05	90,41	1,96	0,476	0,512	0,011	−3,4	87,6	87,7	92
31 570	84,00	88,35	1,33	0,483	0,508	0,007	4,4	85,9	86,1	87
32 573Y	83,15	79,56	0,38	0,509	0,487	0,002	35,4	76,8	84,6	65
33 575	82,44	75,80	0,24	0,520	0,478	0,001	47,2	72,7	86,7	56
34 580	78,64	63,07	0,05	0,554	0,444	0,000	81,2	58,5	100,1	35
35 580	78,64	63,07	0,05	0,554	0,444	0,000	81,2	58,5	100,1	35
36 585R	74,48	53,96	0,02	0,579	0,420	0,000	99,5	48,6	110,7	26
37 590	68,94	44,96	0,00	0,605	0,394	0,000	111,6	39,1	118,3	19
38 592	67,61	42,78	1,14	0,606	0,383	0,010	114,4	35,4	119,8	17
39 694	71,10	42,58	22,52	0,522	0,312	0,165	126,9	8,7	127,2	3
U=D50	**96,46**	**100,00**	**82,22**	**0,346**	**0,358**	**0,358**	**0,0**	**0,0**	**0,0**	**0**

$a=p_{an}=n_a p_a=1{,}4[(5{,}645x-2{,}666+2{,}570z)/y]$ $A_{nu}=(a-a_u)Y$ $C_{ABnu}=[A_{nu}^2+B_{nu}^2]^{1/2}$
$b=p_{bn}=n_b p_b=0{,}5[(-1{,}871x+1{,}457-3{,}861z)/y]$ $B_{nu}=(b-b_u)Y$ $h_{ABnu}=\text{atan}[B_{nu}/A_{nu}]$

DG690−7N

CIEF02-Normfarbwerte, Buntwerte und Farbarten (n_a=1,4, n_b=0,5).
Normierte *Ostwald (O)*-Farbwerte (Y_w=100), geordnet nach Bunttonwinkel.

		n-Farbart				*nu*-Farbart			
λ_n	*Y*	p_{an}	p_{bn}	p_{rn}	h_{abn}	p_{anu}	p_{bnu}	p_{rnu}	h_{abnu}
00 592	42,78	2,85	0,36	2,88	367	2,67	0,82	2,80	377
01 694	42,58	3,16	−0,25	3,17	355	2,98	0,20	2,98	363
02 702	42,49	3,40	−0,86	3,51	345	3,22	−0,40	3,25	352
03 710	41,96	3,55	−1,24	3,77	340	3,37	−0,78	3,46	346
04 717	41,30	3,64	−1,43	3,92	338	3,46	−0,97	3,60	344
05 726M	40,08	3,75	−1,63	4,09	336	3,57	−1,17	3,76	341
06 729	37,02	4,04	−1,81	4,43	335	3,86	−1,35	4,09	340
07 744	33,43	4,22	−2,29	4,81	331	4,04	−1,83	4,44	335
08 386	23,94	4,82	−3,46	5,93	324	4,64	−3,00	5,53	327
09 460	6,54	2,59	−13,66	13,91	280	2,41	−13,21	13,42	280
10 465	9,58	0,57	−9,35	9,37	273	0,39	−8,90	8,90	272
11 467	11,64	−0,18	−7,64	7,64	268	−0,36	−7,18	7,19	267
12 473B	20,43	−1,54	−4,10	4,38	249	−1,72	−3,64	4,03	244
13 475	24,19	−1,75	−3,36	3,79	242	−1,93	−2,90	3,49	236
14 479	36,91	−2,01	−1,98	2,82	224	−2,19	−1,52	2,66	214
15 479	36,91	−2,01	−1,98	2,82	224	−2,19	−1,52	2,66	214
16 481	46,03	−1,97	−1,46	2,45	216	−2,15	−1,00	2,37	205
17 481	46,03	−1,97	−1,46	2,45	216	−2,15	−1,00	2,37	205
18 483C	55,03	−1,84	−1,12	2,15	211	−2,02	−0,66	2,13	198
19 484	57,21	−1,81	−1,03	2,09	209	−1,99	−0,57	2,07	196
20 489	57,41	−2,02	−0,57	2,10	195	−2,20	−0,11	2,20	182
21 497	57,50	−2,19	−0,12	2,20	183	−2,37	0,33	2,40	171
22 505	58,03	−2,25	0,14	2,26	176	−2,43	0,60	2,51	165
23 512G	58,69	−2,25	0,26	2,26	173	−2,43	0,72	2,54	163
24 521	59,91	−2,20	0,36	2,23	170	−2,38	0,82	2,52	160
25 524	62,97	−2,08	0,37	2,11	169	−2,26	0,83	2,41	159
26 539	66,55	−1,84	0,49	1,91	164	−2,02	0,95	2,24	154
27 551	76,05	−1,27	0,51	1,37	157	−1,45	0,97	1,75	146
28 568	93,45	0,01	0,49	0,49	88	−0,16	0,95	0,96	99
29 568	93,45	0,01	0,49	0,49	88	−0,16	0,95	0,96	99
30 569	90,41	0,14	0,51	0,52	74	−0,03	0,96	0,97	92
31 570	88,35	0,23	0,51	0,56	65	0,05	0,97	0,97	87
32 573Y	79,56	0,62	0,50	0,80	38	0,44	0,96	1,06	65
33 575	75,80	0,80	0,49	0,94	31	0,62	0,95	1,14	56
34 580	63,07	1,46	0,46	1,54	17	1,28	0,92	1,58	35
35 580	63,07	1,46	0,46	1,54	17	1,28	0,92	1,58	35
36 585R	53,96	2,02	0,44	2,07	12	1,84	0,90	2,05	26
37 590	44,96	2,66	0,41	2,69	8	2,48	0,87	2,63	19
38 592	42,78	2,85	0,36	2,88	7	2,67	0,82	2,80	17
39 694	42,58	3,16	−0,25	3,17	−4	2,98	0,20	2,98	3
U=D50	**100,00**	**0,180**	**−0,459**	**0,493**	**291**	**0,0**	**0,0**	**0,0**	**0**

$a=p_{an}=n_a p_a=1{,}4[(5{,}645x-2{,}666+2{,}570z)/y]$ $A_{nu}=(a-a_u)Y$ $C_{ABnu}=[A_{nu}^2+B_{nu}^2]^{1/2}$
$b=p_{bn}=n_b p_b=0{,}5[(-1{,}871x+1{,}457-3{,}861z)/y]$ $B_{nu}=(b-b_u)Y$ $h_{ABnu}=\text{atan}[B_{nu}/A_{nu}]$

DG690−8N

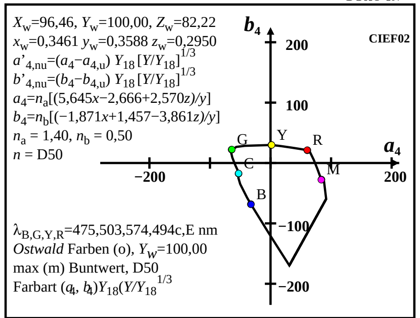

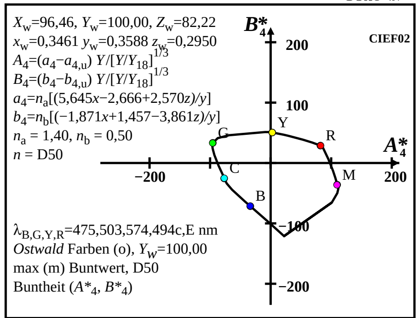

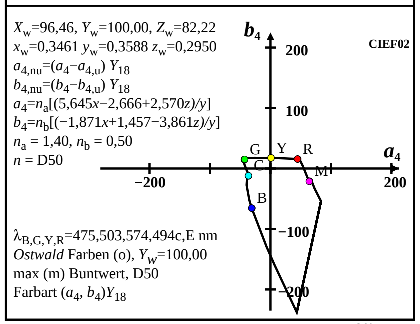

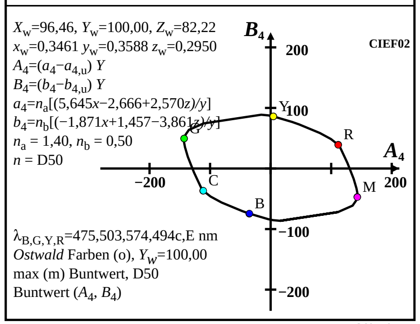

DG691−7N DG691−8N

DG690−7R_pchartl=4_xcolorl=2(CIEF02)
DG691−7R_pchartl=4_xcolorl=2(CIEF02)

TUB-Registrierung: 20180801-DG69/DG69L0NP.PDF /.PS
Anwendung für Messung von Offsetdruck-Ausgabe

TUB-Material: Code=rha4ta

Siehe ähnliche Dateien: http://farbe.li.tu-berlin.de/DG69/DG69.HTM
Technische Information: http://farbe.li.tu-berlin.de oder http://130.149.60.45/~farbmetrik

CIEF10-Normfarbwerte, Buntwerte und Farbarten (n_a=1,4, n_b=0,5).
Normierte *Ostwald (O)*-Farbwerte (Y_w=100), geordnet nach Wellenlänge.

λ_n	*X*	*Y*	*Z*	*x*	*y*	*z*	A_{nu}	B_{nu}	C_{ABnu}	h_{ABnu}
	Normfarbwerte und -anteile						***nu*-Buntwerte**			
00 380	52,92	25,78	74,65	0,345	0,168	0,486	109,4	−70,4	130,1	327
01 455	13,14	6,61	74,65	0,139	0,070	0,790	18,8	−84,7	86,7	282
02 460	13,28	9,49	77,94	0,131	0,094	0,773	7,6	−85,3	85,6	275
03 462	13,30	11,32	78,97	0,128	0,109	0,762	0,4	−84,4	84,4	270
04 464B	13,34	13,45	79,69	0,125	0,126	0,748	−7,8	−82,7	83,1	264
05 468	13,69	18,67	80,47	0,121	0,165	0,713	−27,0	−77,6	82,2	250
06 471	14,73	25,21	80,80	0,121	0,208	0,669	−48,4	−70,5	85,5	235
07 472	15,63	28,96	80,89	0,124	0,230	0,644	−59,3	−66,4	89,1	228
08 475	18,33	37,06	80,98	0,134	0,271	0,593	−79,9	−57,6	98,5	215
09 477	22,39	45,70	81,01	0,150	0,306	0,543	−96,9	−48,3	108,3	206
10 477C	24,94	50,08	81,01	0,159	0,320	0,519	−103,4	−43,7	112,3	202
11 479	30,58	58,60	78,68	0,182	0,349	0,468	−113,1	−32,1	117,5	195
12 479	29,07	56,38	80,12	0,175	0,340	0,483	−110,8	−36,1	116,6	198
13 484	25,63	56,72	59,32	0,180	0,400	0,418	−123,7	−10,0	124,1	184
14 492	22,37	56,85	36,73	0,192	0,490	0,316	−134,8	17,9	136,0	172
15 503	21,57	57,63	22,95	0,211	0,564	0,224	−139,3	35,6	143,8	165
16 511G	22,30	58,68	17,25	0,227	0,597	0,175	−139,7	43,5	146,3	162
17 521	24,56	60,88	12,62	0,250	0,620	0,128	−138,2	51,2	147,4	159
18 532	29,89	65,12	9,04	0,287	0,625	0,086	−132,2	59,4	145,0	155
19 545	43,82	74,21	6,37	0,352	0,596	0,051	−109,4	70,4	130,1	147
20 563	83,59	93,38	6,37	0,455	0,509	0,034	−18,8	84,6	86,7	102
21 564	83,45	90,50	3,08	0,471	0,511	0,017	−7,6	85,3	85,6	95
22 565	83,43	88,67	2,06	0,479	0,509	0,011	−0,4	84,3	84,3	90
23 566Y	83,39	86,54	1,34	0,486	0,505	0,007	7,8	82,7	83,1	84
24 568	83,04	81,32	0,56	0,503	0,493	0,003	27,0	77,6	82,2	70
25 571	82,00	74,78	0,23	0,522	0,476	0,001	48,4	70,5	85,5	55
26 573	81,10	71,03	0,14	0,532	0,466	0,000	59,3	66,4	89,1	48
27 577	78,40	62,93	0,05	0,554	0,445	0,000	79,9	57,6	98,5	35
28 581	74,33	54,29	0,02	0,577	0,421	0,000	96,9	48,3	108,3	26
29 584R	71,79	49,91	0,01	0,589	0,410	0,000	103,4	43,7	112,3	22
30 591	66,15	41,39	2,33	0,602	0,376	0,021	113,1	32,1	117,5	15
31 588	67,67	43,61	0,91	0,603	0,388	0,008	110,9	36,1	116,6	18
32 689	71,10	43,27	21,71	0,522	0,317	0,159	123,7	9,9	124,1	4
33 697	74,36	43,14	44,30	0,459	0,266	0,273	134,8	−17,9	136,0	352
34 708	75,16	42,36	58,08	0,428	0,241	0,330	139,3	−35,6	143,8	345
35 716M	74,43	41,31	63,78	0,414	0,230	0,355	139,7	−43,5	146,3	342
36 726	72,17	39,11	68,41	0,401	0,217	0,380	138,2	−51,2	147,4	339
37 737	66,83	34,86	71,99	0,384	0,200	0,414	132,2	−59,4	145,0	335
38 750	52,92	25,78	74,65	0,345	0,168	0,486	109,4	−70,4	130,1	327
39 820	13,14	6,61	74,65	0,139	0,070	0,790	18,8	−84,7	86,7	282
U=D50	**96,74**	**100,00**	**81,03**	**0,348**	**0,360**	**0,360**	**0,0**	**0,0**	**0,0**	**0**

$a=p_{an}=n_a p_a=1{,}4[(5{,}645x-2{,}666+2{,}570z)/y]$ $A_{nu}=(a-a_u)Y$ $C_{ABnu}=[A_{nu}^2+B_{nu}^2]^{1/2}$
$b=p_{bn}=n_b p_b=0{,}5[(-1{,}871x+1{,}457-3{,}861z)/y]$ $B_{nu}=(b-b_u)Y$ $h_{ABnu}=\text{atan}[B_{nu}/A_{nu}]$

DG690−3N

CIEF10-Normfarbwerte, Buntwerte und Farbarten (n_a=1,4, n_b=0,5).
Normierte *Ostwald (O)*-Farbwerte (Y_w=100), geordnet nach Wellenlänge.

λ_n	*Y*	p_{an}	p_{bn}	p_{rn}	h_{abn}	p_{anu}	p_{bnu}	p_{rnu}	h_{abnu}
	***n*-Farbart**					***nu*-Farbart**			
00 380	25,78	4,44	−3,17	5,46	324	4,24	−2,73	5,05	327
01 455	6,61	3,04	−13,26	13,60	282	2,84	−12,81	13,12	282
02 460	9,49	1,00	−9,43	9,48	276	0,80	−8,99	9,02	275
03 462	11,32	0,23	−7,90	7,90	271	0,03	−7,45	7,45	270
04 464B	13,45	−0,39	−6,60	6,61	266	−0,58	−6,15	6,18	264
05 468	18,67	−1,25	−4,60	4,77	254	−1,44	−4,15	4,40	250
06 471	25,21	−1,72	−3,24	3,67	241	−1,91	−2,80	3,39	235
07 472	28,96	−1,85	−2,74	3,31	235	−2,05	−2,29	3,07	228
08 475	37,06	−1,96	−2,00	2,80	225	−2,15	−1,55	2,65	215
09 477	45,70	−1,92	−1,50	2,44	217	−2,12	−1,05	2,37	206
10 477C	50,08	−1,87	−1,31	2,29	215	−2,06	−0,87	2,24	202
11 479	58,60	−1,73	−0,99	2,00	209	−1,93	−0,54	2,00	195
12 479	56,38	−1,77	−1,08	2,07	211	−1,96	−0,64	2,06	198
13 484	56,72	−1,98	−0,62	2,08	197	−2,18	−0,17	2,18	184
14 492	56,85	−2,17	−0,12	2,18	183	−2,37	0,31	2,39	172
15 503	57,63	−2,22	0,17	2,23	175	−2,41	0,61	2,49	165
16 511G	58,68	−2,18	0,29	2,20	172	−2,38	0,74	2,49	162
17 521	60,88	−2,07	0,39	2,11	169	−2,27	0,84	2,42	159
18 532	65,12	−1,83	0,46	1,89	165	−2,03	0,91	2,22	155
19 545	74,21	−1,28	0,50	1,37	158	−1,47	0,94	1,75	147
20 563	93,38	−0,00	0,46	0,46	90	−0,20	0,90	0,92	102
21 564	90,50	0,10	0,49	0,50	77	−0,08	0,94	0,94	95
22 565	88,67	0,18	0,50	0,54	69	−0,00	0,95	0,95	90
23 566Y	86,54	0,28	0,51	0,58	60	0,09	0,95	0,96	84
24 568	81,32	0,52	0,50	0,73	44	0,33	0,95	1,01	70
25 571	74,78	0,84	0,49	0,97	30	0,64	0,94	1,14	55
26 573	71,03	1,03	0,48	1,14	25	0,83	0,93	1,25	48
27 577	62,93	1,46	0,46	1,53	17	1,27	0,91	1,56	35
28 581	54,29	1,97	0,44	2,02	12	1,78	0,89	1,99	26
29 584R	49,91	2,26	0,43	2,30	10	2,07	0,87	2,25	22
30 591	41,39	2,92	0,32	2,94	6	2,73	0,77	2,84	15
31 588	43,61	2,73	0,38	2,76	7	2,54	0,82	2,67	18
32 689	43,27	3,05	−0,21	3,06	355	2,86	0,23	2,86	4
33 697	43,14	3,31	−0,86	3,43	345	3,12	−0,41	3,15	352
34 708	42,36	3,48	−1,28	3,71	339	3,29	−0,84	3,39	345
35 716M	41,31	3,57	−1,50	3,87	337	3,38	−1,05	3,54	342
36 726	39,11	3,73	−1,75	4,12	334	3,53	−1,31	3,77	339
37 737	34,86	3,98	−2,15	4,53	331	3,79	−1,70	4,15	335
38 750	25,78	4,44	−3,17	5,46	324	4,24	−2,73	5,05	327
39 820	6,61	3,04	−13,26	13,60	282	2,84	−12,81	13,12	282
U=D50	**100,00**	**0,193**	**−0,445**	**0,486**	**293**	**0,0**	**0,0**	**0,0**	**0**

$a=p_{an}=n_a p_a=1{,}4[(5{,}645x-2{,}666+2{,}570z)/y]$ $A_{nu}=(a-a_u)Y$ $C_{ABnu}=[A_{nu}^2+B_{nu}^2]^{1/2}$
$b=p_{bn}=n_b p_b=0{,}5[(-1{,}871x+1{,}457-3{,}861z)/y]$ $B_{nu}=(b-b_u)Y$ $h_{ABnu}=\text{atan}[B_{nu}/A_{nu}]$

DG690−4N

CIEF10-Normfarbwerte, Buntwerte und Farbarten (n_a=1,4, n_b=0,5).
Normierte *Ostwald (O)*-Farbwerte (Y_w=100), geordnet nach Bunttonwinkel.

λ_n	*X*	*Y*	*Z*	*x*	*y*	*z*	A_{nu}	B_{nu}	C_{ABnu}	h_{ABnu}
	Normfarbwerte und -anteile						***nu*-Buntwerte**			
00 588	67,67	43,61	0,91	0,603	0,388	0,008	110,9	36,1	116,6	378
01 689	71,10	43,27	21,71	0,522	0,317	0,159	123,7	9,9	124,1	364
02 697	74,36	43,14	44,30	0,459	0,266	0,273	134,8	−17,9	136,0	352
03 708	75,16	42,36	58,08	0,428	0,241	0,330	139,3	−35,6	143,8	345
04 716	74,43	41,31	63,78	0,414	0,230	0,355	139,7	−43,5	146,3	342
05 726M	72,17	39,11	68,41	0,401	0,217	0,380	138,2	−51,2	147,4	339
06 737	66,83	34,86	71,99	0,384	0,200	0,414	132,2	−59,4	145,0	335
07 380	52,92	25,78	74,65	0,345	0,168	0,486	109,4	−70,4	130,1	327
08 455	13,14	6,61	74,65	0,139	0,070	0,790	18,8	−84,7	86,7	282
09 460	13,28	9,49	77,94	0,131	0,094	0,773	7,6	−85,3	85,6	275
10 462	13,30	11,32	78,97	0,128	0,109	0,762	0,4	−84,4	84,4	270
11 464	13,34	13,45	79,69	0,125	0,126	0,748	−7,8	−82,7	83,1	264
12 468B	13,69	18,67	80,47	0,121	0,165	0,713	−27,0	−77,6	82,2	250
13 471	14,73	25,21	80,80	0,121	0,208	0,669	−48,4	−70,5	85,5	235
14 472	15,63	28,96	80,89	0,124	0,230	0,644	−59,3	−66,4	89,1	228
15 475	18,33	37,06	80,98	0,134	0,271	0,593	−79,9	−57,6	98,5	215
16 477	22,39	45,70	81,01	0,150	0,306	0,543	−96,9	−48,3	108,3	206
17 477	24,94	50,08	81,01	0,159	0,320	0,519	−103,4	−43,7	112,3	202
18 479C	30,58	58,60	78,68	0,182	0,349	0,468	−113,1	−32,1	117,5	195
19 479	29,07	56,38	80,12	0,175	0,340	0,483	−110,8	−36,1	116,6	198
20 484	25,63	56,72	59,32	0,180	0,400	0,418	−123,7	−10,0	124,1	184
21 492	22,37	56,85	36,73	0,192	0,490	0,316	−134,8	17,9	136,0	172
22 503	21,57	57,63	22,95	0,211	0,564	0,224	−139,3	35,6	143,8	165
23 511G	22,30	58,68	17,25	0,227	0,597	0,175	−139,7	43,5	146,3	162
24 521	24,56	60,88	12,62	0,250	0,620	0,128	−138,2	51,2	147,4	159
25 532	29,89	65,12	9,04	0,287	0,625	0,086	−132,2	59,4	145,0	155
26 545	43,82	74,21	6,37	0,352	0,596	0,051	−109,4	70,4	130,1	147
27 563	83,59	93,38	6,37	0,455	0,509	0,034	−18,8	84,6	86,7	102
28 564	83,45	90,50	3,08	0,471	0,511	0,017	−7,6	85,3	85,6	95
29 565	83,43	88,67	2,06	0,479	0,509	0,011	−0,4	84,3	84,3	90
30 566	83,39	86,54	1,34	0,486	0,505	0,007	7,8	82,7	83,1	84
31 568	83,04	81,32	0,56	0,503	0,493	0,003	27,0	77,6	82,2	70
32 571Y	82,00	74,78	0,23	0,522	0,476	0,001	48,4	70,5	85,5	55
33 573	81,10	71,03	0,14	0,532	0,466	0,000	59,3	66,4	89,1	48
34 577	78,40	62,93	0,05	0,554	0,445	0,000	79,9	57,6	98,5	35
35 581	74,33	54,29	0,02	0,577	0,421	0,000	96,9	48,3	108,3	26
36 584R	71,79	49,91	0,01	0,589	0,410	0,000	103,4	43,7	112,3	22
37 591	66,15	41,39	2,33	0,602	0,376	0,021	113,1	32,1	117,5	15
38 588	67,67	43,61	0,91	0,603	0,388	0,008	110,9	36,1	116,6	18
39 689	71,10	43,27	21,71	0,522	0,317	0,159	123,7	9,9	124,1	4
U=D50	**96,74**	**100,00**	**81,03**	**0,348**	**0,360**	**0,360**	**0,0**	**0,0**	**0,0**	**0**

$a=p_{an}=n_a p_a=1{,}4[(5{,}645x-2{,}666+2{,}570z)/y]$ $A_{nu}=(a-a_u)Y$ $C_{ABnu}=[A_{nu}^2+B_{nu}^2]^{1/2}$
$b=p_{bn}=n_b p_b=0{,}5[(-1{,}871x+1{,}457-3{,}861z)/y]$ $B_{nu}=(b-b_u)Y$ $h_{ABnu}=\text{atan}[B_{nu}/A_{nu}]$

DG690−7N

CIEF10-Normfarbwerte, Buntwerte und Farbarten (n_a=1,4, n_b=0,5).
Normierte *Ostwald (O)*-Farbwerte (Y_w=100), geordnet nach Bunttonwinkel.

λ_n	*Y*	p_{an}	p_{bn}	p_{rn}	h_{abn}	p_{anu}	p_{bnu}	p_{rnu}	h_{abnu}
	***n*-Farbart**					***nu*-Farbart**			
00 588	43,61	2,73	0,38	2,76	367	2,54	0,82	2,67	378
01 689	43,27	3,05	−0,21	3,06	355	2,86	0,23	2,86	364
02 697	43,14	3,31	−0,86	3,43	345	3,12	−0,41	3,15	352
03 708	42,36	3,48	−1,28	3,71	339	3,29	−0,84	3,39	345
04 716	41,31	3,57	−1,50	3,87	337	3,38	−1,05	3,54	342
05 726M	39,11	3,73	−1,75	4,12	334	3,53	−1,31	3,77	339
06 737	34,86	3,98	−2,15	4,53	331	3,79	−1,70	4,15	335
07 380	25,78	4,44	−3,17	5,46	324	4,24	−2,73	5,05	327
08 455	6,61	3,04	−13,26	13,60	282	2,84	−12,81	13,12	282
09 460	9,49	1,00	−9,43	9,48	276	0,80	−8,99	9,02	275
10 462	11,32	0,23	−7,90	7,90	271	0,03	−7,45	7,45	270
11 464	13,45	−0,39	−6,60	6,61	266	−0,58	−6,15	6,18	264
12 468B	18,67	−1,25	−4,60	4,77	254	−1,44	−4,15	4,40	250
13 471	25,21	−1,72	−3,24	3,67	241	−1,91	−2,80	3,39	235
14 472	28,96	−1,85	−2,74	3,31	235	−2,05	−2,29	3,07	228
15 475	37,06	−1,96	−2,00	2,80	225	−2,15	−1,55	2,65	215
16 477	45,70	−1,92	−1,50	2,44	217	−2,12	−1,05	2,37	206
17 477	50,08	−1,87	−1,31	2,29	215	−2,06	−0,87	2,24	202
18 479C	58,60	−1,73	−0,99	2,00	209	−1,93	−0,54	2,00	195
19 479	56,38	−1,77	−1,08	2,07	211	−1,96	−0,64	2,06	198
20 484	56,72	−1,98	−0,62	2,08	197	−2,18	−0,17	2,18	184
21 492	56,85	−2,17	−0,12	2,18	183	−2,37	0,31	2,39	172
22 503	57,63	−2,22	0,17	2,23	175	−2,41	0,61	2,49	165
23 511G	58,68	−2,18	0,29	2,20	172	−2,38	0,74	2,49	162
24 521	60,88	−2,07	0,39	2,11	169	−2,27	0,84	2,42	159
25 532	65,12	−1,83	0,46	1,89	165	−2,03	0,91	2,22	155
26 545	74,21	−1,28	0,50	1,37	158	−1,47	0,94	1,75	147
27 563	93,38	−0,00	0,46	0,46	90	−0,20	0,90	0,92	102
28 564	90,50	0,10	0,49	0,50	77	−0,08	0,94	0,94	95
29 565	88,67	0,18	0,50	0,54	69	−0,00	0,95	0,95	90
30 566	86,54	0,28	0,51	0,58	60	0,09	0,95	0,96	84
31 568	81,32	0,52	0,50	0,73	44	0,33	0,95	1,01	70
32 571Y	74,78	0,84	0,49	0,97	30	0,64	0,94	1,14	55
33 573	71,03	1,03	0,48	1,14	25	0,83	0,93	1,25	48
34 577	62,93	1,46	0,46	1,53	17	1,27	0,91	1,56	35
35 581	54,29	1,97	0,44	2,02	12	1,78	0,89	1,99	26
36 584R	49,91	2,26	0,43	2,30	10	2,07	0,87	2,25	22
37 591	41,39	2,92	0,32	2,94	6	2,73	0,77	2,84	15
38 588	43,61	2,73	0,38	2,76	7	2,54	0,82	2,67	18
39 689	43,27	3,05	−0,21	3,06	−4	2,86	0,23	2,86	4
U=D50	**100,00**	**0,193**	**−0,445**	**0,486**	**293**	**0,0**	**0,0**	**0,0**	**0**

$a=p_{an}=n_a p_a=1{,}4[(5{,}645x-2{,}666+2{,}570z)/y]$ $A_{nu}=(a-a_u)Y$ $C_{ABnu}=[A_{nu}^2+B_{nu}^2]^{1/2}$
$b=p_{bn}=n_b p_b=0{,}5[(-1{,}871x+1{,}457-3{,}861z)/y]$ $B_{nu}=(b-b_u)Y$ $h_{ABnu}=\text{atan}[B_{nu}/A_{nu}]$

DG690−8N

DG690−7R_pchartl=4_xcolorl=3(CIEF10)

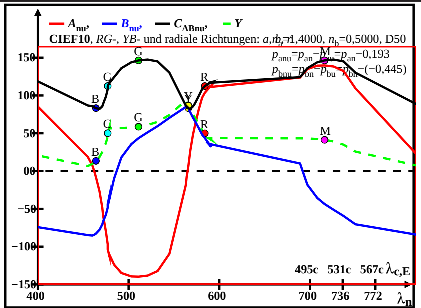

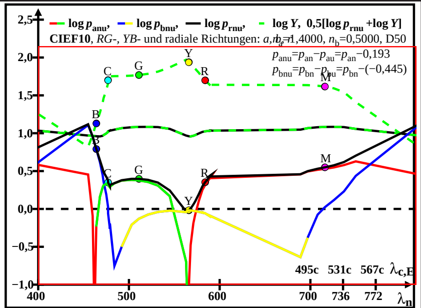

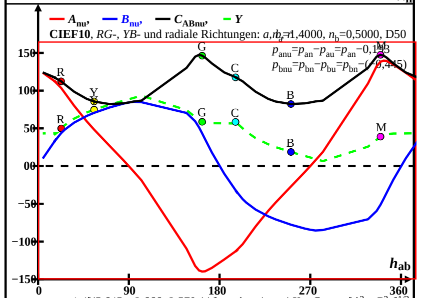

$a=p_{an}=n_a p_a=1{,}4[(5{,}645x-2{,}666+2{,}570z)/y]$ $A_{nu}=(a-a_u)Y$ $C_{ABnu}=[A_{nu}^2+B_{nu}^2]^{1/2}$
$b=p_{bn}=n_b p_b=0{,}5[(-1{,}871x+1{,}457-3{,}861z)/y]$ $B_{nu}=(b-b_u)Y$ $h_{ABnu}=\text{atan}[B_{nu}/A_{nu}]$

DG691−3N

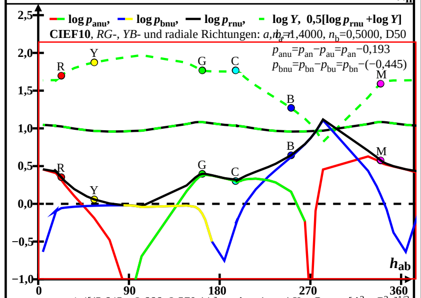

$a=p_{an}=n_a p_a=1{,}4[(5{,}645x-2{,}666+2{,}570z)/y]$ $A_{nu}=(a-a_u)Y$ $C_{ABnu}=[A_{nu}^2+B_{nu}^2]^{1/2}$
$b=p_{bn}=n_b p_b=0{,}5[(-1{,}871x+1{,}457-3{,}861z)/y]$ $B_{nu}=(b-b_u)Y$ $h_{ABnu}=\text{atan}[B_{nu}/A_{nu}]$

DG691−4N

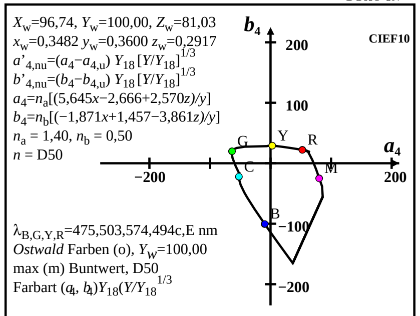

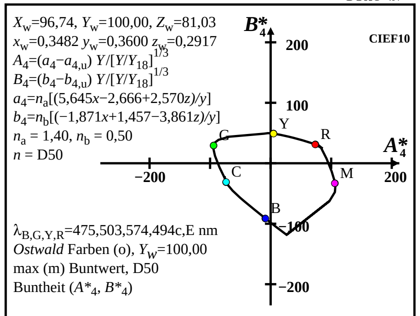

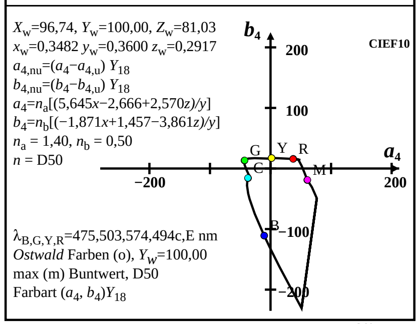

DG691−7N

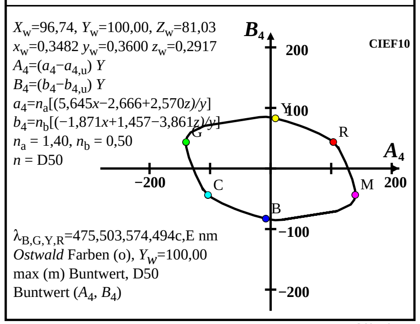

DG691−8N

DG691−7R_pchartl=4_xcolorl=3(CIEF10)

TUB-Registrierung: 20180801-DG69/DG69L0NP.PDF /.PS
Anwendung für Messung von Offsetdruck-Ausgabe

TUB-Material: Code=rha4ta

R17M-Normfarbwerte, Buntwerte und Farbarten (n_a=1,4, n_b=0,5).
Normierte *Ostwald (O)*-Farbwerte (Y_w=100), geordnet nach Wellenlänge.

		Normfarbwerte und -anteile						nu-Buntwerte			
	λ_n	X	Y	Z	x	y	z	A_{nu}	B_{nu}	C_{ABnu}	h_{ABnu}
00	373	50,84	23,58	64,46	0,366	0,169	0,464	113,4	−60,5	128,6	331
01	450	26,22	10,37	70,14	0,245	0,097	0,657	60,4	−77,6	98,3	307
02	463	19,81	9,03	72,37	0,195	0,089	0,715	38,4	−80,5	89,3	295
03	465	19,87	11,18	74,25	0,188	0,106	0,705	30,2	−80,3	85,8	290
04	470B	20,04	16,46	77,00	0,176	0,145	0,678	10,4	−77,5	78,2	277
05	474	20,76	23,15	78,71	0,169	0,188	0,641	−12,2	−71,9	72,9	260
06	477	22,69	31,32	79,75	0,169	0,234	0,596	−35,5	−64,0	73,2	240
07	479	24,27	35,77	80,07	0,173	0,255	0,571	−45,9	−59,5	75,2	232
08	481	28,86	45,22	80,48	0,186	0,292	0,520	−62,8	−49,9	80,3	218
09	482	30,21	48,30	79,14	0,191	0,306	0,501	−68,8	−45,0	82,2	213
10	487C	26,13	48,90	65,44	0,186	0,348	0,465	−86,2	−27,0	90,4	197
11	496	20,48	50,06	44,06	0,178	0,436	0,384	−111,4	1,1	111,4	179
12	500	20,60	52,31	38,55	0,184	0,469	0,345	−118,7	10,4	119,2	174
13	509	19,40	53,50	28,42	0,191	0,528	0,280	−126,9	24,2	129,2	169
14	511	21,83	56,54	28,46	0,204	0,529	0,266	−128,3	27,2	131,2	168
15	518	24,65	60,36	24,01	0,226	0,553	0,220	−130,6	36,4	135,5	164
16	530G	29,99	65,40	16,35	0,268	0,585	0,146	−126,5	50,4	136,1	158
17	538	43,18	76,41	16,37	0,317	0,562	0,120	−113,4	60,5	128,6	151
18	553	67,80	89,62	10,69	0,403	0,533	0,063	−60,4	77,6	98,3	127
19	557	74,22	90,96	8,45	0,427	0,523	0,048	−38,4	80,5	89,2	115
20	558	74,15	88,81	6,58	0,437	0,523	0,038	−30,2	80,3	85,8	110
21	561	73,98	83,52	3,84	0,458	0,517	0,023	−10,4	77,4	78,1	97
22	565	73,26	76,83	2,11	0,481	0,504	0,013	12,3	71,9	72,9	80
23	570Y	71,33	68,67	1,09	0,505	0,486	0,007	35,5	64,0	73,2	60
24	572	69,75	64,22	0,76	0,517	0,476	0,005	45,9	59,5	75,2	52
25	578	65,16	54,77	0,35	0,541	0,455	0,002	62,8	49,9	80,3	38
26	581	63,81	51,69	1,69	0,544	0,441	0,014	68,8	45,0	82,2	33
27	600	67,89	51,09	15,38	0,505	0,380	0,114	86,2	27,0	90,4	17
28	705	73,42	47,68	42,28	0,449	0,291	0,258	118,7	−10,4	119,2	354
29	714R	74,62	46,49	52,41	0,430	0,267	0,302	126,9	−24,2	129,2	349
30	716	72,19	43,45	52,37	0,429	0,258	0,311	128,3	−27,2	131,2	348
31	723	69,37	39,63	56,82	0,418	0,238	0,342	130,6	−36,4	135,5	344
32	735	64,03	34,59	64,49	0,392	0,212	0,395	126,5	−50,4	136,2	338
33	743	50,84	23,58	64,46	0,366	0,169	0,464	113,4	−60,5	128,6	331
34	815	26,22	10,37	70,14	0,245	0,097	0,657	60,4	−77,6	98,3	307
U=D50		**94,03**	**100,00**	**80,83**	**0,342**	**0,363**	**0,363**	**0,0**	**0,0**	**0,0**	**0**

$a=p_{an}=n_a p_a=1{,}4[(5{,}645x-2{,}666+2{,}570z)/y]$ $A_{nu}=(a-a_u)\,Y$ $C_{ABnu}=[A_{nu}^2+B_{nu}^2]^{1/2}$
$b=p_{bn}=n_b p_b=0{,}5[(-1{,}871x+1{,}457-3{,}861z)/y]$ $B_{nu}=(b-b_u)\,Y$ $h_{ABnu}=\mathrm{atan}[B_{nu}/A_{nu}]$

DG690−3N

R17M-Normfarbwerte, Buntwerte und Farbarten (n_a=1,4, n_b=0,5).
Normierte *Ostwald (O)*-Farbwerte (Y_w=100), geordnet nach Wellenlänge.

		n-Farbart					nu-Farbart			
	λ_n	Y	p_{an}	p_{bn}	p_{rn}	h_{abn}	p_{anu}	p_{bnu}	p_{rnu}	h_{abnu}
00	373	23,58	4,89	−3,00	5,74	328	4,81	−2,56	5,45	331
01	450	10,37	5,90	−7,92	9,88	306	5,82	−7,48	9,48	307
02	463	9,03	4,34	−9,36	10,32	294	4,26	−8,92	9,88	295
03	465	11,18	2,78	−7,62	8,11	290	2,70	−7,18	7,67	290
04	470B	16,46	0,71	−5,14	5,19	277	0,63	−4,70	4,74	277
05	474	23,15	−0,44	−3,54	3,57	262	−0,52	−3,10	3,15	260
06	477	31,32	−1,05	−2,48	2,69	247	−1,13	−2,04	2,33	240
07	479	35,77	−1,20	−2,10	2,42	240	−1,28	−1,66	2,10	232
08	481	45,22	−1,30	−1,54	2,02	229	−1,39	−1,10	1,77	218
09	482	48,30	−1,34	−1,37	1,91	225	−1,42	−0,93	1,70	213
10	487C	48,90	−1,68	−0,99	1,95	210	−1,76	−0,55	1,84	197
11	496	50,06	−2,14	−0,41	2,18	190	−2,22	0,02	2,22	179
12	500	52,31	−2,18	−0,23	2,20	186	−2,27	0,19	2,27	174
13	509	53,50	−2,29	0,01	2,29	179	−2,37	0,45	2,41	169
14	511	56,54	−2,18	0,04	2,19	178	−2,27	0,48	2,32	168
15	518	60,36	−2,08	0,16	2,08	175	−2,16	0,60	2,24	164
16	530G	65,40	−1,85	0,33	1,88	169	−1,93	0,77	2,08	158
17	538	76,41	−1,40	0,35	1,44	165	−1,48	0,79	1,68	151
18	553	89,62	−0,59	0,42	0,73	144	−0,67	0,86	1,09	127
19	557	90,96	−0,34	0,44	0,56	127	−0,42	0,88	0,98	115
20	558	88,81	−0,25	0,46	0,53	119	−0,34	0,90	0,96	110
21	561	83,52	−0,04	0,48	0,49	95	−0,12	0,92	0,93	97
22	565	76,83	0,24	0,49	0,55	64	0,16	0,93	0,94	80
23	570Y	68,67	0,59	0,49	0,77	39	0,51	0,93	1,06	60
24	572	64,22	0,79	0,48	0,93	31	0,71	0,92	1,17	52
25	578	54,77	1,22	0,47	1,31	21	1,14	0,91	1,46	38
26	581	51,69	1,41	0,43	1,47	17	1,33	0,87	1,59	33
27	600	51,09	1,77	0,09	1,77	2	1,68	0,52	1,77	17
28	705	47,68	2,57	−0,65	2,65	345	2,49	−0,21	2,50	354
29	714R	46,49	2,81	−0,95	2,97	341	2,73	−0,52	2,77	349
30	716	43,45	3,03	−1,06	3,21	340	2,95	−0,62	3,02	348
31	723	39,63	3,37	−1,35	3,63	338	3,29	−0,91	3,42	344
32	735	34,59	3,73	−1,89	4,19	333	3,65	−1,45	3,93	338
33	743	23,58	4,89	−3,00	5,74	328	4,81	−2,56	5,45	331
34	815	10,37	5,90	−7,92	9,88	306	5,82	−7,48	9,48	307
U=D50		**100,00**	**0,081**	**−0,437**	**0,445**	**280**	**0,0**	**0,0**	**0,0**	**0**

$a=p_{an}=n_a p_a=1{,}4[(5{,}645x-2{,}666+2{,}570z)/y]$ $A_{nu}=(a-a_u)\,Y$ $C_{ABnu}=[A_{nu}^2+B_{nu}^2]^{1/2}$
$b=p_{bn}=n_b p_b=0{,}5[(-1{,}871x+1{,}457-3{,}861z)/y]$ $B_{nu}=(b-b_u)\,Y$ $h_{ABnu}=\mathrm{atan}[B_{nu}/A_{nu}]$

DG690−4N

R17M-Normfarbwerte, Buntwerte und Farbarten (n_a=1,4, n_b=0,5).
Normierte *Ostwald (O)*-Farbwerte (Y_w=100), geordnet nach Buntton winkel.

		Normfarbwerte und -anteile						nu-Buntwerte			
	λ_n	X	Y	Z	x	y	z	A_{nu}	B_{nu}	C_{ABnu}	h_{ABnu}
00	600	67,89	51,09	15,38	0,505	0,380	0,114	86,2	27,0	90,4	377
01	705	73,42	47,68	42,28	0,449	0,291	0,258	118,7	−10,4	119,2	354
02	714	74,62	46,49	52,41	0,430	0,267	0,302	126,9	−24,2	129,2	349
03	716	72,19	43,45	52,37	0,429	0,258	0,311	128,3	−27,2	131,2	348
04	723	69,37	39,63	56,82	0,418	0,238	0,342	130,6	−36,4	135,5	344
05	735M	64,03	34,59	64,49	0,392	0,212	0,395	126,5	−50,4	136,2	338
06	373	50,84	23,58	64,46	0,366	0,169	0,464	113,4	−60,5	128,6	331
07	450	26,22	10,37	70,14	0,245	0,097	0,657	60,4	−77,6	98,3	307
08	463	19,81	9,03	72,37	0,195	0,089	0,715	38,4	−80,5	89,3	295
09	465	19,87	11,18	74,25	0,188	0,106	0,705	30,2	−80,3	85,8	290
10	470	20,04	16,46	77,00	0,176	0,145	0,678	10,4	−77,5	78,2	277
11	474	20,76	23,15	78,71	0,169	0,188	0,641	−12,2	−71,9	72,9	260
12	477B	22,69	31,32	79,75	0,169	0,234	0,596	−35,5	−64,0	73,2	240
13	479	24,27	35,77	80,07	0,173	0,255	0,571	−45,9	−59,5	75,2	232
14	481	28,86	45,22	80,48	0,186	0,292	0,520	−62,8	−49,9	80,3	218
15	482	30,21	48,30	79,14	0,191	0,306	0,501	−68,8	−45,0	82,2	213
16	487	26,13	48,90	65,44	0,186	0,348	0,465	−86,2	−27,0	90,4	197
17	496	20,48	50,06	44,06	0,178	0,436	0,384	−111,4	1,1	111,4	179
18	500C	20,60	52,31	38,55	0,184	0,469	0,345	−118,7	10,4	119,2	174
19	509	19,40	53,50	28,42	0,191	0,528	0,280	−126,9	24,2	129,2	169
20	511	21,83	56,54	28,46	0,204	0,529	0,266	−128,3	27,2	131,2	168
21	518	24,65	60,36	24,01	0,226	0,553	0,220	−130,6	36,4	135,5	164
22	530	29,99	65,40	16,35	0,268	0,585	0,146	−126,5	50,4	136,1	158
23	538G	43,18	76,41	16,37	0,317	0,562	0,120	−113,4	60,5	128,6	151
24	553	67,80	89,62	10,69	0,403	0,533	0,063	−60,4	77,6	98,3	127
25	557	74,22	90,96	8,45	0,427	0,523	0,048	−38,4	80,5	89,2	115
26	558	74,15	88,81	6,58	0,437	0,523	0,038	−30,2	80,3	85,8	110
27	561	73,98	83,52	3,84	0,458	0,517	0,023	−10,4	77,4	78,1	97
28	565	73,26	76,83	2,11	0,481	0,504	0,013	12,3	71,9	72,9	80
29	570	71,33	68,67	1,09	0,505	0,486	0,007	35,5	64,0	73,2	60
30	572	69,75	64,22	0,76	0,517	0,476	0,005	45,9	59,5	75,2	52
31	578	65,16	54,77	0,35	0,541	0,455	0,002	62,8	49,9	80,3	38
32	581Y	63,81	51,69	1,69	0,544	0,441	0,014	68,8	45,0	82,2	33
33	600	67,89	51,09	15,38	0,505	0,380	0,114	86,2	27,0	90,4	17
34	705	73,42	47,68	42,28	0,449	0,291	0,258	118,7	−10,4	119,2	−5
U=D50		**94,03**	**100,00**	**80,83**	**0,342**	**0,363**	**0,363**	**0,0**	**0,0**	**0,0**	**0**

$a=p_{an}=n_a p_a=1{,}4[(5{,}645x-2{,}666+2{,}570z)/y]$ $A_{nu}=(a-a_u)\,Y$ $C_{ABnu}=[A_{nu}^2+B_{nu}^2]^{1/2}$
$b=p_{bn}=n_b p_b=0{,}5[(-1{,}871x+1{,}457-3{,}861z)/y]$ $B_{nu}=(b-b_u)\,Y$ $h_{ABnu}=\mathrm{atan}[B_{nu}/A_{nu}]$

DG690−7N

R17M-Normfarbwerte, Buntwerte und Farbarten (n_a=1,4, n_b=0,5).
Normierte *Ostwald (O)*-Farbwerte (Y_w=100), geordnet nach Buntton winkel.

		n-Farbart					nu-Farbart			
	λ_n	Y	p_{an}	p_{bn}	p_{rn}	h_{abn}	p_{anu}	p_{bnu}	p_{rnu}	h_{abnu}
00	600	51,09	1,77	0,09	1,77	362	1,68	0,52	1,77	377
01	705	47,68	2,57	−0,65	2,65	345	2,49	−0,21	2,50	354
02	714	46,49	2,81	−0,95	2,97	341	2,73	−0,52	2,77	349
03	716	43,45	3,03	−1,06	3,21	340	2,95	−0,62	3,02	348
04	723	39,63	3,37	−1,35	3,63	338	3,29	−0,91	3,42	344
05	735M	34,59	3,73	−1,89	4,19	333	3,65	−1,45	3,93	338
06	373	23,58	4,89	−3,00	5,74	328	4,81	−2,56	5,45	331
07	450	10,37	5,90	−7,92	9,88	306	5,82	−7,48	9,48	307
08	463	9,03	4,34	−9,36	10,32	294	4,26	−8,92	9,88	295
09	465	11,18	2,78	−7,62	8,11	290	2,70	−7,18	7,67	290
10	470	16,46	0,71	−5,14	5,19	277	0,63	−4,70	4,74	277
11	474	23,15	−0,44	−3,54	3,57	262	−0,52	−3,10	3,15	260
12	477B	31,32	−1,05	−2,48	2,69	247	−1,13	−2,04	2,33	240
13	479	35,77	−1,20	−2,10	2,42	240	−1,28	−1,66	2,10	232
14	481	45,22	−1,30	−1,54	2,02	229	−1,39	−1,10	1,77	218
15	482	48,30	−1,34	−1,37	1,91	225	−1,42	−0,93	1,70	213
16	487	48,90	−1,68	−0,99	1,95	210	−1,76	−0,55	1,84	197
17	496	50,06	−2,14	−0,41	2,18	190	−2,22	0,02	2,22	179
18	500C	52,31	−2,18	−0,23	2,20	186	−2,27	0,19	2,27	174
19	509	53,50	−2,29	0,01	2,29	179	−2,37	0,45	2,41	169
20	511	56,54	−2,18	0,04	2,19	178	−2,27	0,48	2,32	168
21	518	60,36	−2,08	0,16	2,08	175	−2,16	0,60	2,24	164
22	530	65,40	−1,85	0,33	1,88	169	−1,93	0,77	2,08	158
23	538G	76,41	−1,40	0,35	1,44	165	−1,48	0,79	1,68	151
24	553	89,62	−0,59	0,42	0,73	144	−0,67	0,86	1,09	127
25	557	90,96	−0,34	0,44	0,56	127	−0,42	0,88	0,98	115
26	558	88,81	−0,25	0,46	0,53	119	−0,34	0,90	0,96	110
27	561	83,52	−0,04	0,48	0,49	95	−0,12	0,92	0,93	97
28	565	76,83	0,24	0,49	0,55	64	0,16	0,93	0,94	80
29	570	68,67	0,59	0,49	0,77	39	0,51	0,93	1,06	60
30	572	64,22	0,79	0,48	0,93	31	0,71	0,92	1,17	52
31	578	54,77	1,22	0,47	1,31	21	1,14	0,91	1,46	38
32	581Y	51,69	1,41	0,43	1,47	17	1,33	0,87	1,59	33
33	600	51,09	1,77	0,09	1,77	2	1,68	0,52	1,77	17
34	705	47,68	2,57	−0,65	2,65	−14	2,49	−0,21	2,50	−5
U=D50		**100,00**	**0,081**	**−0,437**	**0,445**	**280**	**0,0**	**0,0**	**0,0**	**0**

$a=p_{an}=n_a p_a=1{,}4[(5{,}645x-2{,}666+2{,}570z)/y]$ $A_{nu}=(a-a_u)\,Y$ $C_{ABnu}=[A_{nu}^2+B_{nu}^2]^{1/2}$
$b=p_{bn}=n_b p_b=0{,}5[(-1{,}871x+1{,}457-3{,}861z)/y]$ $B_{nu}=(b-b_u)\,Y$ $h_{ABnu}=\mathrm{atan}[B_{nu}/A_{nu}]$

DG690−8N

DG690−7R_pchartl=4_xcolorl=4(R17M)

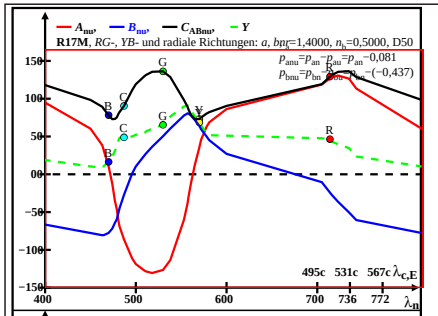

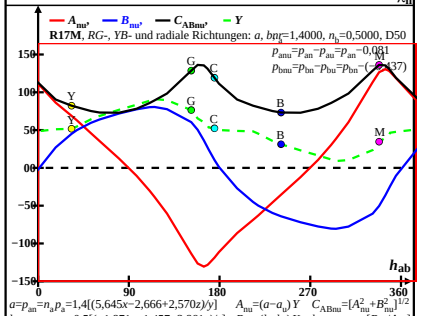

$a=p_{an}=n_a p_a=1{,}4[(5{,}645x-2{,}666+2{,}570z)/y]$ $A_{nu}=(a-a_u)\,Y$ $C_{ABnu}=[A_{nu}^2+B_{nu}^2]^{1/2}$
$b=p_{bn}=n_b p_b=0{,}5[(-1{,}871x+1{,}457-3{,}861z)/y]$ $B_{nu}=(b-b_u)\,Y$ $h_{ABnu}=\mathrm{atan}[B_{nu}/A_{nu}]$

DG691−3N

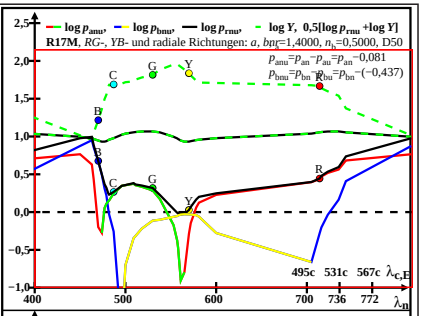

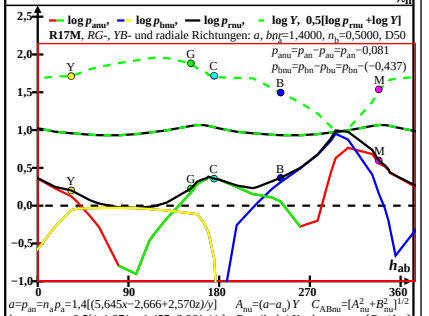

$a=p_{an}=n_a p_a=1{,}4[(5{,}645x-2{,}666+2{,}570z)/y]$ $A_{nu}=(a-a_u)\,Y$ $C_{ABnu}=[A_{nu}^2+B_{nu}^2]^{1/2}$
$b=p_{bn}=n_b p_b=0{,}5[(-1{,}871x+1{,}457-3{,}861z)/y]$ $B_{nu}=(b-b_u)\,Y$ $h_{ABnu}=\mathrm{atan}[B_{nu}/A_{nu}]$

DG691−4N

X_w=94,03, Y_w=100,00, Z_w=80,83
x_w=0,3420 y_w=0,3638 z_w=0,2941
$a'_{4,nu}=(a_4-a_{4,u})\,Y_{18}\,[Y/Y_{18}]^{1/3}$
$b'_{4,nu}=(b_4-b_{4,u})\,Y_{18}\,[Y/Y_{18}]^{1/3}$
$a_4=n_a[(5{,}645x-2{,}666+2{,}570z)/y]$
$b_4=n_b[(-1{,}871x+1{,}457-3{,}861z)/y]$
n_a = 1,40, n_b = 0,50
n = D50

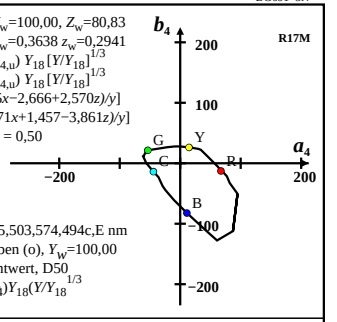

$\lambda_{B,G,Y,R}$=475,503,574,494c,E nm
Ostwald Farben (o), Y_w=100,00
max (m) Buntwert, D50
Farbart $(a_4, b_4)Y_{18}(Y/Y_{18}^{1/3}$

X_w=94,03, Y_w=100,00, Z_w=80,83
x_w=0,3420 y_w=0,3638 z_w=0,2941
$A_4=(a_4-a_{4,u})\,Y/[Y/Y_{18}]^{1/3}$
$B_4=(b_4-b_{4,u})\,Y/[Y/Y_{18}]^{1/3}$
$a_4=n_a[(5{,}645x-2{,}666+2{,}570z)/y]$
$b_4=n_b[(-1{,}871x+1{,}457-3{,}861z)/y]$
n_a = 1,40, n_b = 0,50
n = D50

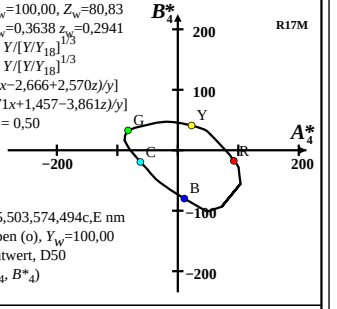

$\lambda_{B,G,Y,R}$=475,503,574,494c,E nm
Ostwald Farben (o), Y_w=100,00
max (m) Buntwert, D50
Buntheit (A^*_4, B^*_4)

X_w=94,03, Y_w=100,00, Z_w=80,83
x_w=0,3420 y_w=0,3638 z_w=0,2941
$a_{4,nu}=(a_4-a_{4,u})\,Y_{18}$
$b_{4,nu}=(b_4-b_{4,u})\,Y_{18}$
$a_4=n_a[(5{,}645x-2{,}666+2{,}570z)/y]$
$b_4=n_b[(-1{,}871x+1{,}457-3{,}861z)/y]$
n_a = 1,40, n_b = 0,50
n = D50

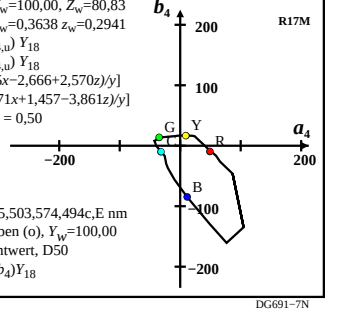

$\lambda_{B,G,Y,R}$=475,503,574,494c,E nm
Ostwald Farben (o), Y_w=100,00
max (m) Buntwert, D50
Farbart $(a_4, b_4)Y_{18}$

X_w=94,03, Y_w=100,00, Z_w=80,83
x_w=0,3420 y_w=0,3638 z_w=0,2941
$A_4=(a_4-a_{4,u})\,Y$
$B_4=(b_4-b_{4,u})\,Y$
$a_4=n_a[(5{,}645x-2{,}666+2{,}570z)/y]$
$b_4=n_b[(-1{,}871x+1{,}457-3{,}861z)/y]$
n_a = 1,40, n_b = 0,50
n = D50

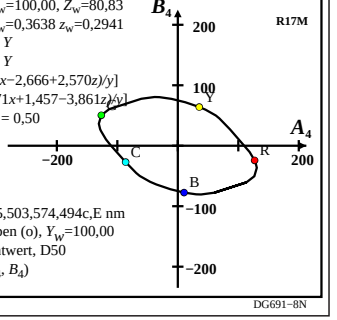

$\lambda_{B,G,Y,R}$=475,503,574,494c,E nm
Ostwald Farben (o), Y_w=100,00
max (m) Buntwert, D50
Buntwert (A_4, B_4)

DG691−7N

DG691−8N

DG691−7R_pchartl=4_xcolorl=4(R17M)

Siehe ähnliche Dateien: http://farbe.li.tu-berlin.de/DG69/DG69.HTM
Technische Information: http://farbe.li.tu-berlin.de oder http://130.149.60.45/~farbmetrik

TUB-Registrierung: 20180801-DG69/DG69L0NP.PDF /.PS
Anwendung für Messung von Offsetdruck-Ausgabe

TUB-Material: Code=rha4ta

Siehe ähnliche Dateien: http://farbe.li.tu-berlin.de/DG69/DG69.HTM
Technische Information: http://farbe.li.tu-berlin.de oder http://130.149.60.45/~farbmetrik

TUB-Registrierung: 20180801-DG69/DG69L0NP.PDF /.PS
Anwendung für Messung von Offsetdruck-Ausgabe
TUB-Material: Code=rha4ta

R17Ms-Normfarbwerte, Buntwerte und Farbarten (n_a=1,4, n_b=0,5).
Normierte *Ostwald (O)*-Farbwerte (Y_w=100), geordnet nach Wellenlänge.

		Normfarbwerte und -anteile						*nu*-Buntwerte			
	λ_n	*X*	*Y*	*Z*	*x*	*y*	*z*	A_{nu}	B_{nu}	C_{ABnu}	h_{ABnu}
00	375	52,09	25,14	67,62	0,359	0,173	0,466	112,5	−62,7	128,8	330
01	444	27,16	9,33	67,62	0,260	0,089	0,649	68,7	−76,0	102,4	312
02	463	21,19	9,55	72,48	0,205	0,092	0,702	42,3	−80,3	90,8	297
03	465	21,27	11,71	74,36	0,198	0,109	0,692	34,1	−80,1	87,1	293
04	470B	21,43	17,01	77,11	0,185	0,147	0,667	14,3	−77,2	78,6	280
05	474	22,09	23,68	78,83	0,177	0,190	0,632	−8,5	−71,7	72,2	263
06	476	22,83	27,59	79,42	0,175	0,212	0,611	−20,3	−68,0	70,9	253
07	479	25,44	36,25	80,19	0,179	0,255	0,565	−42,5	−59,3	73,0	234
08	480	27,41	40,88	80,43	0,184	0,274	0,540	−51,9	−54,6	75,4	226
09	481	29,88	45,66	80,60	0,191	0,292	0,516	−59,8	−49,7	77,8	219
10	482C	31,14	48,71	79,26	0,195	0,306	0,498	−66,0	−44,8	79,8	214
11	488	25,13	49,09	60,78	0,186	0,363	0,450	−90,0	−20,9	92,4	193
12	496	20,67	50,20	44,12	0,179	0,436	0,383	−110,6	1,2	110,6	179
13	500	20,63	52,39	38,61	0,184	0,469	0,345	−118,3	10,4	118,8	174
14	505	20,59	54,04	33,36	0,190	0,500	0,308	−124,1	18,7	125,5	171
15	515	20,37	55,82	24,00	0,203	0,557	0,239	−130,5	32,0	134,3	166
16	522G	23,24	59,39	19,95	0,226	0,578	0,194	−131,6	40,5	137,7	162
17	530	29,26	65,19	16,37	0,264	0,588	0,147	−128,1	50,3	137,6	158
18	540	41,69	74,85	13,32	0,321	0,576	0,102	−112,5	62,7	128,8	150
19	552	66,62	90,66	13,33	0,390	0,531	0,078	−68,6	76,0	102,4	132
20	557	72,58	90,44	8,47	0,423	0,527	0,049	−42,2	80,3	90,8	117
21	558	72,51	88,28	6,59	0,433	0,527	0,039	−34,1	80,1	87,0	113
22	561	72,35	82,98	3,84	0,454	0,521	0,024	−14,2	77,2	78,5	100
23	565Y	71,69	76,31	2,11	0,477	0,508	0,014	8,5	71,6	72,1	83
24	567	70,94	72,40	1,53	0,489	0,499	0,010	20,4	67,9	70,9	73
25	572	68,33	63,74	0,76	0,514	0,479	0,005	42,5	59,3	73,0	54
26	575	66,36	59,11	0,52	0,526	0,469	0,004	51,9	54,6	75,3	46
27	578	63,90	54,33	0,35	0,538	0,458	0,002	59,8	49,7	77,8	39
28	581	62,64	51,28	1,69	0,541	0,443	0,014	66,0	44,8	79,8	34
29	614R	68,65	50,90	20,17	0,491	0,364	0,144	90,0	20,9	92,4	13
30	701	73,11	49,79	36,82	0,457	0,311	0,230	110,6	−1,2	110,6	359
31	705	73,15	47,60	42,34	0,448	0,291	0,259	118,4	−10,4	118,8	354
32	710	73,19	45,95	47,59	0,438	0,275	0,285	124,1	−18,7	125,5	351
33	720	73,40	44,17	56,94	0,420	0,253	0,326	130,5	−32,0	134,4	346
34	727	70,53	40,59	61,00	0,409	0,235	0,354	131,6	−40,5	137,7	342
35	735M	64,51	34,79	64,58	0,393	0,212	0,394	128,1	−50,3	137,7	338
36	745	52,09	25,14	67,62	0,359	0,173	0,466	112,5	−62,7	128,8	330
37	809	27,16	9,33	67,62	0,260	0,089	0,649	68,7	−76,0	102,4	312
U=D50		**93,78**	**100,00**	**80,94**	**0,341**	**0,363**	**0,363**	**0,0**	**0,0**	**0,0**	**0**

$a=p_{an}=n_a p_a=1{,}4[(5{,}645x-2{,}666+2{,}570z)/y]$ $A_{nu}=(a-a_u)\,Y$ $C_{ABnu}=[A_{nu}^2+B_{nu}^2]^{1/2}$
$b=p_{bn}=n_b p_b=0{,}5[(-1{,}871x+1{,}457-3{,}861z)/y]$ $B_{nu}=(b-b_u)\,Y$ $h_{ABnu}=\mathrm{atan}[B_{nu}/A_{nu}]$

DG690−3N

R17Ms-Normfarbwerte, Buntwerte und Farbarten (n_a=1,4, n_b=0,5).
Normierte *Ostwald (O)*-Farbwerte (Y_w=100), geordnet nach Wellenlänge.

		n-Farbart					*nu*-Farbart			
	λ_n	*Y*	p_{an}	p_{bn}	p_{rn}	h_{abn}	p_{anu}	p_{bnu}	p_{rnu}	h_{abnu}
00	375	25,14	4,54	−2,93	5,41	327	4,47	−2,49	5,12	330
01	444	9,33	7,43	−8,58	11,36	310	7,36	−8,14	10,98	312
02	463	9,55	4,50	−8,85	9,93	296	4,43	−8,41	9,51	297
03	465	11,71	2,99	−7,28	7,87	292	2,92	−6,84	7,44	293
04	470B	17,01	0,91	−4,98	5,06	280	0,84	−4,54	4,62	280
05	474	23,68	−0,28	−3,46	3,47	265	−0,35	−3,02	3,04	263
06	476	27,59	−0,66	−2,90	2,97	257	−0,73	−2,46	2,57	253
07	479	36,25	−1,10	−2,07	2,35	242	−1,17	−1,63	2,01	234
08	480	40,88	−1,20	−1,77	2,14	235	−1,27	−1,33	1,84	226
09	481	45,66	−1,24	−1,52	1,96	230	−1,31	−1,09	1,70	219
10	482C	48,71	−1,28	−1,36	1,87	226	−1,35	−0,92	1,63	214
11	488	49,09	−1,76	−0,86	1,96	206	−1,83	−0,42	1,88	193
12	496	50,20	−2,13	−0,41	2,17	190	−2,20	0,02	2,20	179
13	500	52,39	−2,18	−0,23	2,20	186	−2,25	0,19	2,26	174
14	505	54,04	−2,22	−0,09	2,22	182	−2,29	0,34	2,32	171
15	515	55,82	−2,26	0,13	2,27	176	−2,33	0,57	2,40	166
16	522G	59,39	−2,14	0,24	2,15	173	−2,21	0,68	2,31	162
17	530	65,19	−1,89	0,33	1,92	170	−1,96	0,77	2,11	158
18	540	74,85	−1,43	0,39	1,48	164	−1,50	0,83	1,72	150
19	552	90,66	−0,68	0,39	0,79	149	−0,75	0,83	1,13	132
20	557	90,44	−0,39	0,44	0,60	131	−0,46	0,88	1,00	117
21	558	88,28	−0,31	0,46	0,56	124	−0,38	0,90	0,98	113
22	561	82,98	−0,10	0,49	0,50	101	−0,17	0,93	0,94	100
23	565Y	76,31	0,18	0,50	0,53	69	0,11	0,93	0,94	83
24	567	72,40	0,35	0,50	0,61	54	0,28	0,93	0,98	73
25	572	63,74	0,73	0,49	0,88	33	0,66	0,93	1,14	54
26	575	59,11	0,94	0,48	1,06	27	0,87	0,92	1,27	46
27	578	54,33	1,17	0,47	1,26	22	1,10	0,91	1,43	39
28	581	51,28	1,35	0,43	1,42	17	1,28	0,87	1,55	34
29	614R	50,90	1,84	−0,02	1,84	359	1,76	0,41	1,81	13
30	701	49,79	2,29	−0,46	2,33	348	2,22	−0,02	2,22	359
31	705	47,60	2,55	−0,65	2,64	345	2,48	0,22	2,49	354
32	710	45,95	2,77	−0,84	2,89	343	2,70	−0,40	2,73	351
33	720	44,17	3,02	−1,16	3,24	338	2,95	−0,72	3,04	346
34	727	40,59	3,31	−1,43	3,61	336	3,24	−0,99	3,39	342
35	735M	34,79	3,75	−1,88	4,20	333	3,68	−1,44	3,95	338
36	745	25,14	4,54	−2,93	5,41	327	4,47	−2,49	5,12	330
37	809	9,33	7,43	−8,58	11,36	310	7,36	−8,14	10,98	312
U=D50		**100,00**	**0,070**	**−0,438**	**0,444**	**279**	**0,0**	**0,0**	**0,0**	**0**

$a=p_{an}=n_a p_a=1{,}4[(5{,}645x-2{,}666+2{,}570z)/y]$ $A_{nu}=(a-a_u)\,Y$ $C_{ABnu}=[A_{nu}^2+B_{nu}^2]^{1/2}$
$b=p_{bn}=n_b p_b=0{,}5[(-1{,}871x+1{,}457-3{,}861z)/y]$ $B_{nu}=(b-b_u)\,Y$ $h_{ABnu}=\mathrm{atan}[B_{nu}/A_{nu}]$

DG690−4N

R17Ms-Normfarbwerte, Buntwerte und Farbarten (n_a=1,4, n_b=0,5).
Normierte *Ostwald (O)*-Farbwerte (Y_w=100), geordnet nach Buntton winkel.

		Normfarbwerte und -anteile						*nu*-Buntwerte			
	λ_n	*X*	*Y*	*Z*	*x*	*y*	*z*	A_{nu}	B_{nu}	C_{ABnu}	h_{ABnu}
00	614	68,65	50,90	20,17	0,491	0,364	0,144	90,0	20,9	92,4	373
01	701	73,11	49,79	36,82	0,457	0,311	0,230	110,6	−1,2	110,6	359
02	705	73,15	47,60	42,34	0,448	0,291	0,259	118,4	−10,4	118,8	354
03	710	73,19	45,95	47,59	0,438	0,275	0,285	124,1	−18,7	125,5	351
04	720	73,40	44,17	56,94	0,420	0,253	0,326	130,5	−32,0	134,4	346
05	727M	70,53	40,59	61,00	0,409	0,235	0,354	131,6	−40,5	137,7	342
06	735	64,51	34,79	64,58	0,393	0,212	0,394	128,1	−50,3	137,7	338
07	375	52,09	25,14	67,62	0,359	0,173	0,466	112,5	−62,7	128,8	330
08	444	27,16	9,33	67,62	0,260	0,089	0,649	68,7	−76,0	102,4	312
09	463	21,19	9,55	72,48	0,205	0,092	0,702	42,3	−80,3	90,8	297
10	465	21,27	11,71	74,36	0,198	0,109	0,692	34,1	−80,1	87,1	293
11	470	21,43	17,01	77,11	0,185	0,147	0,667	14,3	−77,2	78,6	280
12	474B	22,09	23,68	78,83	0,177	0,190	0,632	−8,5	−71,7	72,2	263
13	476	22,83	27,59	79,42	0,175	0,212	0,611	−20,3	−68,0	70,9	253
14	479	25,44	36,25	80,19	0,179	0,255	0,565	−42,5	−59,3	73,0	234
15	480	27,41	40,88	80,43	0,184	0,274	0,540	−51,9	−54,6	75,4	226
16	481	29,88	45,66	80,60	0,191	0,292	0,516	−59,8	−49,7	77,8	219
17	482	31,14	48,71	79,26	0,195	0,306	0,498	−66,0	−44,8	79,8	214
18	488C	25,13	49,09	60,78	0,186	0,363	0,450	−90,0	−20,9	92,4	193
19	496	20,67	50,20	44,12	0,179	0,436	0,383	−110,6	1,2	110,6	179
20	500	20,63	52,39	38,61	0,184	0,469	0,345	−118,3	10,4	118,8	174
21	505	20,59	54,04	33,36	0,190	0,500	0,308	−124,1	18,7	125,5	171
22	515	20,37	55,82	24,00	0,203	0,557	0,239	−130,5	32,0	134,3	166
23	522G	23,24	59,39	19,95	0,226	0,578	0,194	−131,6	40,5	137,7	162
24	530	29,26	65,19	16,37	0,264	0,588	0,147	−128,1	50,3	137,6	158
25	540	41,69	74,85	13,32	0,321	0,576	0,102	−112,5	62,7	128,8	150
26	552	66,62	90,66	13,33	0,390	0,531	0,078	−68,6	76,0	102,4	132
27	557	72,58	90,44	8,47	0,423	0,527	0,049	−42,2	80,3	90,8	117
28	558	72,51	88,28	6,59	0,433	0,527	0,039	−34,1	80,1	87,0	113
29	561	72,35	82,98	3,84	0,454	0,521	0,024	−14,2	77,2	78,5	100
30	565	71,69	76,31	2,11	0,477	0,508	0,014	8,5	71,6	72,1	83
31	567	70,94	72,40	1,53	0,489	0,499	0,010	20,4	67,9	70,9	73
32	572Y	68,33	63,74	0,76	0,514	0,479	0,005	42,5	59,3	73,0	54
33	575	66,36	59,11	0,52	0,526	0,469	0,004	51,9	54,6	75,3	46
34	578	63,90	54,33	0,35	0,538	0,458	0,002	59,8	49,7	77,8	39
35	581	62,64	51,28	1,69	0,541	0,443	0,014	66,0	44,8	79,8	34
36	614R	68,65	50,90	20,17	0,491	0,364	0,144	90,0	20,9	92,4	13
37	701	73,11	49,79	36,82	0,457	0,311	0,230	110,6	−1,2	110,6	0
U=D50		**93,78**	**100,00**	**80,94**	**0,341**	**0,363**	**0,363**	**0,0**	**0,0**	**0,0**	**0**

$a=p_{an}=n_a p_a=1{,}4[(5{,}645x-2{,}666+2{,}570z)/y]$ $A_{nu}=(a-a_u)\,Y$ $C_{ABnu}=[A_{nu}^2+B_{nu}^2]^{1/2}$
$b=p_{bn}=n_b p_b=0{,}5[(-1{,}871x+1{,}457-3{,}861z)/y]$ $B_{nu}=(b-b_u)\,Y$ $h_{ABnu}=\mathrm{atan}[B_{nu}/A_{nu}]$

DG690−7N

R17Ms-Normfarbwerte, Buntwerte und Farbarten (n_a=1,4, n_b=0,5).
Normierte *Ostwald (O)*-Farbwerte (Y_w=100), geordnet nach Buntton winkel.

		n-Farbart					*nu*-Farbart			
	λ_n	*Y*	p_{an}	p_{bn}	p_{rn}	h_{abn}	p_{anu}	p_{bnu}	p_{rnu}	h_{abnu}
00	614	50,90	1,84	−0,02	1,84	359	1,76	0,41	1,81	373
01	701	49,79	2,29	−0,46	2,33	348	2,22	−0,02	2,22	359
02	705	47,60	2,55	−0,65	2,64	345	2,48	−0,22	2,49	354
03	710	45,95	2,77	−0,84	2,89	343	2,70	−0,40	2,73	351
04	720	44,17	3,02	−1,16	3,24	338	2,95	−0,72	3,04	346
05	727M	40,59	3,31	−1,43	3,61	336	3,24	−0,99	3,39	342
06	735	34,79	3,75	−1,88	4,20	333	3,68	−1,44	3,95	338
07	375	25,14	4,54	−2,93	5,41	327	4,47	−2,49	5,12	330
08	444	9,33	7,43	−8,58	11,36	310	7,36	−8,14	10,98	312
09	463	9,55	4,50	−8,85	9,93	296	4,43	−8,41	9,51	297
10	465	11,71	2,99	−7,28	7,87	292	2,92	−6,84	7,44	293
11	470	17,01	0,91	−4,98	5,06	280	0,84	−4,54	4,62	280
12	474B	23,68	−0,28	−3,46	3,47	265	−0,35	−3,02	3,04	263
13	476	27,59	−0,66	−2,90	2,97	257	−0,73	−2,46	2,57	253
14	479	36,25	−1,10	−2,07	2,35	242	−1,17	−1,63	2,01	234
15	480	40,88	−1,20	−1,77	2,14	235	−1,27	−1,33	1,84	226
16	481	45,66	−1,24	−1,52	1,96	230	−1,31	−1,09	1,70	219
17	482	48,71	−1,28	−1,36	1,87	226	−1,35	−0,92	1,63	214
18	488C	49,09	−1,76	−0,86	1,96	206	−1,83	−0,42	1,88	193
19	496	50,20	−2,13	−0,41	2,17	190	−2,20	0,02	2,20	179
20	500	52,39	−2,18	−0,23	2,20	186	−2,25	0,19	2,26	174
21	505	54,04	−2,22	−0,09	2,22	182	−2,29	0,34	2,32	171
22	515	55,82	−2,26	0,13	2,27	176	−2,33	0,57	2,40	166
23	522G	59,39	−2,14	0,24	2,15	173	−2,21	0,68	2,31	162
24	530	65,19	−1,89	0,33	1,92	170	−1,96	0,77	2,11	158
25	540	74,85	−1,43	0,39	1,48	164	−1,50	0,83	1,72	150
26	552	90,66	−0,68	0,39	0,79	149	−0,75	0,83	1,13	132
27	557	90,44	−0,39	0,44	0,60	131	−0,46	0,88	1,00	117
28	558	88,28	−0,31	0,46	0,56	124	−0,38	0,90	0,98	113
29	561	82,98	−0,10	0,49	0,50	101	−0,17	0,93	0,94	100
30	565	76,31	0,18	0,50	0,53	69	0,11	0,93	0,94	83
31	567	72,40	0,35	0,50	0,61	54	0,28	0,93	0,98	73
32	572Y	63,74	0,73	0,49	0,88	33	0,66	0,93	1,14	54
33	575	59,11	0,94	0,48	1,06	27	0,87	0,92	1,27	46
34	578	54,33	1,17	0,47	1,26	22	1,10	0,91	1,43	39
35	581	51,28	1,35	0,43	1,42	17	1,28	0,87	1,55	34
36	614R	50,90	1,84	−0,02	1,84	0	1,76	0,41	1,81	13
37	701	49,79	2,29	−0,46	2,33	−11	2,22	−0,02	2,22	0
U=D50		**100,00**	**0,070**	**−0,438**	**0,444**	**279**	**0,0**	**0,0**	**0,0**	**0**

$a=p_{an}=n_a p_a=1{,}4[(5{,}645x-2{,}666+2{,}570z)/y]$ $A_{nu}=(a-a_u)\,Y$ $C_{ABnu}=[A_{nu}^2+B_{nu}^2]^{1/2}$
$b=p_{bn}=n_b p_b=0{,}5[(-1{,}871x+1{,}457-3{,}861z)/y]$ $B_{nu}=(b-b_u)\,Y$ $h_{ABnu}=\mathrm{atan}[B_{nu}/A_{nu}]$

DG690−8N

DG690−7R_pchartl=4_xcolorl=5(R17Ms)

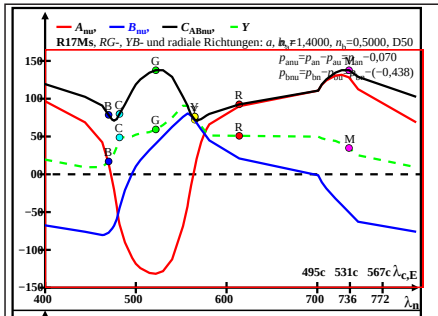

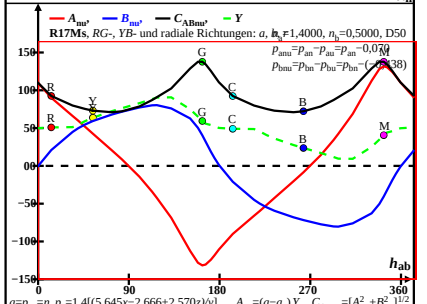

$a=p_{an}=n_a p_a=1{,}4[(5{,}645x-2{,}666+2{,}570z)/y]$ $A_{nu}=(a-a_u)\,Y$ $C_{ABnu}=[A_{nu}^2+B_{nu}^2]^{1/2}$
$b=p_{bn}=n_b p_b=0{,}5[(-1{,}871x+1{,}457-3{,}861z)/y]$ $B_{nu}=(b-b_u)\,Y$ $h_{ABnu}=\mathrm{atan}[B_{nu}/A_{nu}]$

DG691−3N

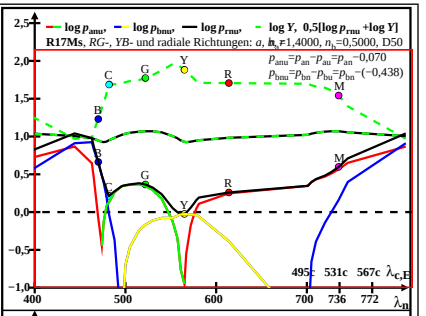

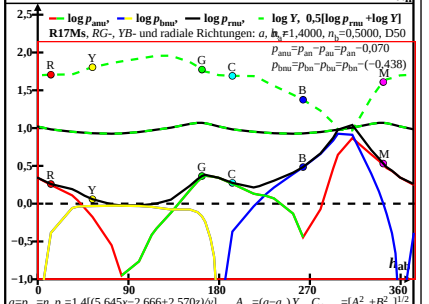

$a=p_{an}=n_a p_a=1{,}4[(5{,}645x-2{,}666+2{,}570z)/y]$ $A_{nu}=(a-a_u)\,Y$ $C_{ABnu}=[A_{nu}^2+B_{nu}^2]^{1/2}$
$b=p_{bn}=n_b p_b=0{,}5[(-1{,}871x+1{,}457-3{,}861z)/y]$ $B_{nu}=(b-b_u)\,Y$ $h_{ABnu}=\mathrm{atan}[B_{nu}/A_{nu}]$

DG691−4N

X_w=93,78, Y_w=100,00, Z_w=80,94
x_w=0,3413 y_w=0,3639 z_w=0,2946
$a'_{4,nu}=(a_4-a_{4,u})\,Y_{18}\,[Y/Y_{18}]^{1/3}$
$b'_{4,nu}=(b_4-b_{4,u})\,Y_{18}\,[Y/Y_{18}]^{1/3}$
$a_4=n_a[(5{,}645x-2{,}666+2{,}570z)/y]$
$b_4=n_b[(-1{,}871x+1{,}457-3{,}861z)/y]$
n_a = 1,40, n_b = 0,50
n = D50

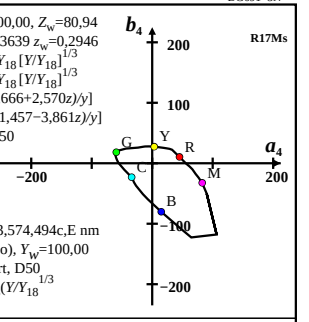

$\lambda_{B,G,Y,R}$=475,503,574,494c,E nm
Ostwald Farben (o), Y_w=100,00
max (m) Buntwert, D50
Farbart $(a_4, b_4)Y_{18}(Y/Y_{18}^{1/3}$

X_w=93,78, Y_w=100,00, Z_w=80,94
x_w=0,3413 y_w=0,3639 z_w=0,2946
$A_4=(a_4-a_{4,u})\,Y/[Y/Y_{18}]^{1/3}$
$B_4=(b_4-b_{4,u})\,Y/[Y/Y_{18}]^{1/3}$
$a_4=n_a[(5{,}645x-2{,}666+2{,}570z)/y]$
$b_4=n_b[(-1{,}871x+1{,}457-3{,}861z)/y]$
n_a = 1,40, n_b = 0,50
n = D50

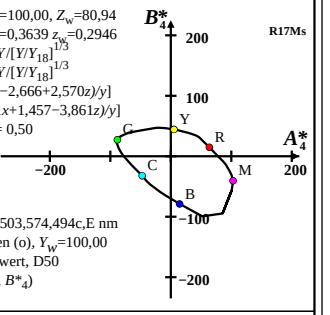

$\lambda_{B,G,Y,R}$=475,503,574,494c,E nm
Ostwald Farben (o), Y_w=100,00
max (m) Buntwert, D50
Buntheit (A^*_4, B^*_4)

X_w=93,78, Y_w=100,00, Z_w=80,94
x_w=0,3413 y_w=0,3639 z_w=0,2946
$a_{4,nu}=(a_4-a_{4,u})\,Y_{18}$
$b_{4,nu}=(b_4-b_{4,u})\,Y_{18}$
$a_4=n_a[(5{,}645x-2{,}666+2{,}570z)/y]$
$b_4=n_b[(-1{,}871x+1{,}457-3{,}861z)/y]$
n_a = 1,40, n_b = 0,50
n = D50

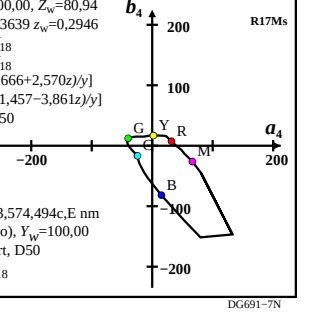

$\lambda_{B,G,Y,R}$=475,503,574,494c,E nm
Ostwald Farben (o), Y_w=100,00
max (m) Buntwert, D50
Farbart $(a_4, b_4)Y_{18}$

X_w=93,78, Y_w=100,00, Z_w=80,94
x_w=0,3413 y_w=0,3639 z_w=0,2946
$A_4=(a_4-a_{4,u})\,Y$
$B_4=(b_4-b_{4,u})\,Y$
$a_4=n_a[(5{,}645x-2{,}666+2{,}570z)/y]$
$b_4=n_b[(-1{,}871x+1{,}457-3{,}861z)/y]$
n_a = 1,40, n_b = 0,50
n = D50

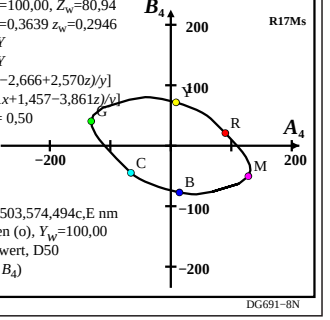

$\lambda_{B,G,Y,R}$=475,503,574,494c,E nm
Ostwald Farben (o), Y_w=100,00
max (m) Buntwert, D50
Buntwert (A_4, B_4)

DG691−7N

DG691−8N

DG691−7R_pchartl=4_xcolorl=5(R17Ms)